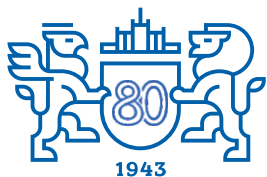


ВЕСТНИК



ЮЖНО-УРАЛЬСКОГО
ГОСУДАРСТВЕННОГО
УНИВЕРСИТЕТА

2023
Т.23, № 4

ISSN 1991-976X (Print)
ISSN 2409-6571 (Online)

СЕРИЯ

«КОМПЬЮТЕРНЫЕ ТЕХНОЛОГИИ, УПРАВЛЕНИЕ, РАДИОЭЛЕКТРОНИКА»

Решением ВАК России включен в Перечень рецензируемых научных изданий

Учредитель – Федеральное государственное автономное образовательное учреждение высшего образования «Южно-Уральский государственный университет (национальный исследовательский университет)»

Журнал освещает новые научные достижения и практические разработки ученых по актуальным проблемам компьютерных технологий, управления и радиоэлектроники.

Основной целью издания является пропаганда научных исследований в следующих областях:

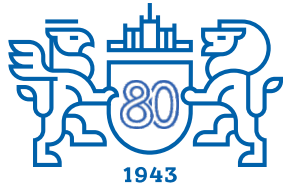
- Автоматизированные системы управления в энергосбережении
- Автоматизированные системы управления технологическими процессами
- Антенная техника
- Инфокоммуникационные технологии
- Информационно-измерительная техника
- Навигационные приборы и системы
- Радиотехнические комплексы
- Системы автоматизированного управления предприятиями в промышленности
- Системы управления летательными аппаратами

Редакционная коллегия:

Логиновский О.В., д.т.н., проф., засл. деятель науки РФ (*гл. редактор*) (г. Челябинск);
Бурков В.Н., д.т.н., проф., засл. деятель науки РФ (*зам. гл. редактора*) (г. Москва);
Голлай А.В., д.т.н., доц. (*зам. гл. редактора*) (г. Челябинск);
Захаров В.В., *отв. секретарь* (г. Челябинск);
Баркалов С.А., д.т.н., проф. (г. Воронеж);
Березанский Л., PhD, проф. (г. Беэр-Шева, Израиль);
Джапаров Б.А., д.т.н., проф. (г. Астана, Казахстан);
Затонский А.В., д.т.н., проф. (г. Пермь);
Куликов Г.Г., д.т.н., проф., засл. деятель науки РФ (г. Уфа);
Мазуров В.Д., д.ф.-м.н., проф. (г. Екатеринбург);
Максимов А.А., д.т.н. (г. Новокузнецк);
Мельников А.В., д.т.н., проф. (г. Ханты-Мансийск);
Прангишвили А.И., д.т.н., проф. (г. Тбилиси, Грузия);
Щепкин А.В., д.т.н., проф. (г. Москва);
Ячиков И.М., д.т.н., проф. (г. Магнитогорск)

Редакционный совет:

Шестаков А.Л., д.т.н., проф. (*председатель*) (г. Челябинск);
Авербах И., PhD, проф. (г. Торонто, Канада);
Браверман Е., PhD, проф. (г. Калгари, Канада);
Дегтярь В.Г., д.т.н., проф., чл.-корр. РАН (г. Миасс, Челябинская обл.);
Казаринов Л.С., д.т.н., проф. (г. Челябинск);
Кибалов Е.Б., д.э.н., проф. (г. Новосибирск);
Новиков Д.А., д.т.н., проф., чл.-корр. РАН (г. Москва);
Панферов В.И., д.т.н., проф. (г. Челябинск);
Слинько А., PhD, проф. (г. Окленд, Новая Зеландия);
Столбов В.Ю., д.т.н., проф. (г. Пермь);
Танана В.П., д.ф.-м.н., проф. (г. Челябинск);
Ухоботов В.И., д.ф.-м.н., проф. (г. Челябинск);
Ушаков В.Н., д.ф.-м.н., проф., чл.-корр. РАН (г. Екатеринбург);
Шестаков И., д.ф.-м.н., проф. (г. Сан-Паулу, Бразилия);
Ширяев В.И., д.т.н., проф. (г. Челябинск);
Шнайдер Д.А., д.т.н., проф. (г. Челябинск);
Штессель Ю., PhD, проф. (г. Хантсвилл, Алабама, США)



BULLETIN

OF THE SOUTH URAL
STATE UNIVERSITY

2023

Vol. 23, no. 4

SERIES

“COMPUTER TECHNOLOGIES,
AUTOMATIC CONTROL,
RADIO ELECTRONICS”

ISSN 1991-976X (Print)
ISSN 2409-6571 (Online)

Vestnik Yuzhno-Ural'skogo Gosudarstvennogo Universiteta.
Seriya “Komp'yuternye Tekhnologii, Upravlenie, Radioelektronika”

South Ural State University

The journal covers new scientific achievements and practical developments of scientists on actual problems of computer technologies, control and radio electronics.

The main purpose of the series is information of scientific researches in the following areas:

- Automated control systems in energy saving
- Automated process control
- Antenna technique
- Communication technologies
- Information and measuring equipment
- Navigation devices and systems
- Radio engineering complexes
- Computer-aided management of enterprises in industry
- Control systems of aircrafts

Editorial Board:

Loginosvkiy O.V., Dr. of Sci. (Eng.), Prof., Honored Worker of Science of the Russian Federation (*editor-in-chief*), South Ural State University, Chelyabinsk, Russian Federation;

Burkov V.N., Dr. of Sci. (Eng.), Prof., Honored Worker of Science of the Russian Federation (*deputy editor-in-chief*), Institute of Control Sciences named by V.A. Trapeznikov of the Russian Academy of Sciences, Moscow, Russian Federation;

Gollai A.V., Dr. of Sci. (Eng.), Ass. Prof. (*deputy editor-in-chief*), South Ural State University, Chelyabinsk, Russian Federation;

Zakharov V.V., *executive secretary*, South Ural State University, Chelyabinsk, Russian Federation;

Barkalov S.A., Dr. of Sci. (Eng.), Prof., Voronezh State Technical University Voronezh, Russian Federation;

Berezansky L., PhD, Prof., Ben Gurion University of the Negev, Israel;

Dzhaparov B.A., Dr. of Sci. (Eng.), Prof., Archive of the President of the Republic of Kazakhstan, Astana, Kazakhstan;

Zatonskiy A.V., Dr. of Sci. (Eng.), Prof., Honored Worker of Science and Education of the Russian Federation, Berezniki Branch of the Perm National Research Polytechnic University, Perm, Russia;

Kulikov G.G., Dr. of Sci. (Eng.), Prof., Honored Worker of Science of the Russian Federation, Ufa State Aviation Technical University, Ufa, Russian Federation;

Mazurov V.D., Dr. of Sci. (Phys. and Math.), Prof., Ural Federal University, Ekaterinburg, Russian Federation;

Maksimov A.A., Dr. of Sci. (Eng.), Open Joint Stock Company ‘Kuznetsk Ferroalloys’, Novokuznetsk, Russian Federation;

Melnikov A.V., Dr. of Sci. (Eng.), Prof., Ugra Research Institute of Information Technologies, Khanty-Mansiysk, Russian Federation;

Prangishvili A.I., Dr. of Sci. (Eng.), Prof., Corresponding Member of National Academy of Sciences of Georgia, Georgian Technical University, Tbilisi, Georgia;

Shechepkin A.V., Dr. of Sci. (Eng.), Prof., V.A. Trapeznikov Institute of Control Sciences of Russian Academy of Sciences, Moscow, Russian Federation;

Yachikov I.M., Dr. of Sci. (Eng.), Prof., Magnitogorsk State Technical University of G.I. Nosov, Magnitogorsk, Russian Federation.

Editorial Council:

Shestakov A.L., Dr. of Sci. (Eng.), Prof. (*chairman*), South Ural State University, Chelyabinsk, Russian Federation;

Averbakh I., PhD, Prof., University of Toronto, Canada;

Braverman E., PhD, Prof., St. Mary's University, Calgary, and Athabasca University, Department of Science, Athabasca, Canada;

Degtyar' V.G., Dr. of Sci. (Eng.), Prof., Member Correspondent of the Russian Academy of Sciences, Academician V.P. Makeyev State Rocket Centre, Miass, Chelyabinsk region, Russian Federation;

Kazarinov L.S., Dr. of Sci. (Eng.), Prof., South Ural State University, Chelyabinsk, Russian Federation;

Kibalov E.B., Dr. of Sci. (Econ.), Prof., Siberian Transport University, Novosibirsk, Russian Federation;

Novikov D.A., Dr. of Sci. (Eng.), Prof., Member Correspondent of the Russian Academy of Sciences, Institute of Control Sciences named by V.A. Trapeznikov of the Russian Academy of Sciences, Moscow, Russian Federation;

Panferov V.I., Dr. of Sci. (Eng.), Prof., Russian Air Force Military Educational and Scientific Center “Air Force Academy named after Professor N.E. Zhukovsky and Y.A. Gagarin”, Chelyabinsk branch, Chelyabinsk, Russian Federation;

Slinko A., PhD, Prof., University of Auckland, New Zealand;

Stolbov V.Yu., Dr. of Sci. (Eng.), Prof., Perm National Research Polytechnic University, Perm, Russian Federation;

Tanana V.P., Dr. of Sci. (Phys. and Math.), Prof., South Ural State University, Chelyabinsk, Russian Federation;

Ukhobotov V.I., Dr. of Sci. (Phys. and Math.), Prof., Chelyabinsk State University, Chelyabinsk, Russian Federation;

Ushakov V.N., Dr. of Sci. (Phys. and Math.), Prof., Member Correspondent of the Russian Academy of Sciences, N.N. Krasovskiy Institute of Mathematics and Mechanics of Ural Branch of Russian Academy of Sciences, Ekaterinburg, Russian Federation;

Shestakov I., Dr. of Sci. (Phys. and Math.), Prof., São Paulo University, Brazil;

Shiryayev V.I., Dr. of Sci. (Eng.), Prof., South Ural State University, Chelyabinsk, Russian Federation;

Schneider D.A., Dr. of Sci. (Eng.), Prof., South Ural State University, Chelyabinsk, Russian Federation;

Shtessel Yu., PhD, Prof., Huntsville, Alabama, USA.

СОДЕРЖАНИЕ

Информатика и вычислительная техника

ОРЛОВ А.А., МИРОНОВ М.И., АБРАМОВА Е.С. Обзор и анализ подходов и практических областей применения распознавания эмоций человека 5

СОКОЛ Е.С., ТОГАЧЕВ А.А., ПОПКОВ А.Ю., ДУБНОВ Ю.А., ПОЛИЩУК В.Ю., ПОПКОВ Ю.С., МЕЛЬНИКОВ А.В., ПОЛИЩУК Ю.М. Программно-алгоритмический комплекс прогнозирования динамики арктических озер России на основе спутниковых снимков и энтропийно-рандомизированного подхода 16

Управление в технических системах

ДМИТРИЕВ В.М., ГЕМБУХ Л.А., САХАБУТДИНОВ А.Е. Реализация цифрового двойника в среде моделирования MARC 26

ЛЮТОВ А.Г., НОВОЖЕНИН М.Б. Адаптивное беспойсковое управление насосным комплексом в условиях нестационарности 37

БАРКАЛОВ С.А., БЕЛОУСОВ В.Е., ДОРОФЕЕВ Д.В., НИЖЕГОРОДОВ К.А., СЕРЕБРЯКОВА Е.А. Информационная модель поддержки процессов управления производственными потоками автоматизированного производства 47

ВОЛОВИЧ Г.И., ТОПОЛЬСКИЙ Д.В., ТОПОЛЬСКИЙ Н.Д., МАКСИМОВ А.А. Оптимизация системы управления программно-аппаратного комплекса для учета электроэнергии 57

Управление в социально-экономических системах

ДРАНКО О.И., ТАРОЯН К.К. О модели прогнозирования выручки организации с быстрым ростом 66

ГОЛЛАЙ А.В., КОСТЫЛЕВА Л.Ю., КОРЕННАЯ К.А., ЛОГИНОВСКИЙ О.В. Повышение эффективности деятельности промышленных предприятий, связанных с производством и использованием биметаллических листовых материалов 76

КОПОТЕВА А.В., ЗАТОНСКИЙ А.В. Использование модели множественной линейной регрессии для краткосрочного прогнозирования цен на калийную продукцию 89

Краткие сообщения

ВАГНЕР А.Р., ЛОГИНОВСКИЙ О.В. Развитие методов и моделей управления деятельностью высших учебных заведений 98

AL-KHAFAJI I.M.A., ALISAWI W.Ch., IBRAHEEM M.Kh., DJURAEV Kh.A., PANOV A.V. Enabling flexible and adaptable navigation of ground robots in dynamic environments with live learning 103

К 80-летию Южно-Уральского государственного университета

ЗАГРЕБИН И.С. Научная школа главного редактора журнала «Вестник Южно-Уральского государственного университета. Серия «Компьютерные технологии, управление, радиоэлектроника» О.В. Логиновского 112

CONTENTS

Informatics and computer engineering

- ORLOV A.A., MIRONOV M.I., ABRAMOVA E.S. Review and analysis of approaches and practical applications of human emotion recognition 5
- SOKOL E.S., TOGACHEV A.A., POPKOV A.Yu., DUBNOV Yu.A., POLISHCHUK V.Yu., POPKOV Yu.S., MELNIKOV A.V., POLISHCHUK Yu.M. Software-algorithmic complex of forecasting the dynamics of arctic lakes in Russia based on satellite images and entropy-randomized approach 16

Control in technical systems

- DMITRIEV V.M., GEMBUH L.A., SAKHABUTDINOV A.E. Digital twin in simulation environment MARS 26
- LUTOV A.G., NOVOZHENIN M.B. Adaptive search less control of a pumping complex in conditions of non-stationarity 37
- BARKALOV S.A., BELOUSOV V.E., DOROFEEV D.V., NIZHEGORODOV K.A., SEREBRYAKOVA E.A. Information model of support of processes of management of production flows of the automated production 47
- VOLOVICH G.I., TOPOLSKII D.V., TOPOLSKII N.D., MAKSIMOV A.A. Optimization of the control system of a software and hardware complex for electricity accounting 57

Control in social and economic systems

- DRANKO O.I., TAROYAN K.K. The revenue forecasting model of fast-growing organization 66
- HOLLAY A.V., KOSTYLEVA L.Yu., KORENNAYA K.A., LOGINOVSKIY O.V. Improving the efficiency of industrial enterprises involved in the production and use of bimetallic sheet materials 76
- KOPOTEVA A.V., ZATONSKIY A.V. Application of multiple linear regression model for potash prices short-term forecasting 89

Brief reports

- WAGNER A.R., LOGINOVSKIY O.V. Development of methods and models of higher education institutions' activity management 98
- AL-KHAFAJI I.M.A., ALISAWI W.Ch., IBRAHEEM M.Kh., DJURAEV Kh.A., PANOV A.V. Enabling flexible and adaptable navigation of ground robots in dynamic environments with live learning 103

To the 80th anniversary of the South Ural State University

- ZAGREBIN I.S. Scientific school of the editor-in-chief of the journal "Bulletin of the South Ural State University. Ser. Computer Technologies, Automatic Control, Radio Electronics" O.V. Loginosvkiy 112

Информатика и вычислительная техника Informatics and computer engineering

Научная статья

УДК 004.8

DOI: 10.14529/ctcr230401

ОБЗОР И АНАЛИЗ ПОДХОДОВ И ПРАКТИЧЕСКИХ ОБЛАСТЕЙ ПРИМЕНЕНИЯ РАСПОЗНАВАНИЯ ЭМОЦИЙ ЧЕЛОВЕКА

А.А. Орлов, AlexeyAlexOrlov@gmail.com, <https://orcid.org/0000-0001-5833-7747>

М.И. Миронов, ma.mironoff2017@yandex.ru, <https://orcid.org/0000-0002-4559-8793>

Е.С. Абрамова, elena.tarantova@yandex.ru, <https://orcid.org/0000-0002-0070-2753>

*Владимирский государственный университет имени Александра Григорьевича
и Николая Григорьевича Столетовых, Владимир, Россия*

Аннотация. Человеческие эмоции сложны и многогранны, что делает их сложными для количественной оценки и анализа. Однако с развитием технологий исследователи изучают возможности использования искусственного интеллекта для лучшего понимания и классификации человеческих эмоций. В частности, нейронные сети становятся все более популярными для распознавания и анализа эмоций благодаря их способности обучаться и адаптироваться на основе больших массивов данных. **Цель.** Целью данного исследования является обзор и анализ различных подходов и практических областей применения распознавания человеческих эмоций с помощью нейронных сетей. В частности, исследование направлено на изучение различных типов нейронных сетей, используемых для распознавания эмоций, методов сбора данных, а также практического применения распознавания эмоций в различных областях. Исследование также направлено на выявление ограничений и проблем, связанных с распознаванием эмоций с помощью нейронных сетей. **Методы.** В данном исследовании использовался комплексный обзор соответствующей литературы, включая научные статьи, материалы конференций и книги, для сбора информации о подходах и практических областях применения распознавания эмоций человека с помощью нейронных сетей. Обзор был сосредоточен на последних исследованиях. Собранные информация была проанализирована с целью выявления различных типов нейронных сетей, используемых для распознавания эмоций, и методов сбора данных. **Результаты.** Обзор литературы позволил выявить несколько подходов к распознаванию эмоций с помощью нейронных сетей, включая сверточные нейронные сети, рекуррентные нейронные сети и гибридные нейронные сети. Практическое применение распознавания эмоций с помощью нейронных сетей встречается в различных областях, включая маркетинг, здравоохранение и образование. Также показываются ограничения и проблемы, связанные с распознаванием эмоций с помощью нейронных сетей, включая предвзятость и необходимость в более разнообразных и репрезентативных наборах данных. **Заключение.** Обзор и анализ подходов и практических областей применения технологии распознавания эмоций человека с помощью нейронных сетей подчеркивают потенциальные преимущества и проблемы, связанные с этой технологией. Результаты данного исследования могут быть использованы для руководства будущими исследованиями в области распознавания эмоций с помощью нейронных сетей с целью повышения точности и применимости распознавания эмоций в различных областях.

Ключевые слова: нейронные сети, распознавание эмоций, сбор данных, человеческие эмоции, искусственный интеллект

Для цитирования: Орлов А.А., Миронов М.И., Абрамова Е.С. Обзор и анализ подходов и практических областей применения распознавания эмоций человека // Вестник ЮУрГУ. Серия «Компьютерные технологии, управление, радиоэлектроника». 2023. Т. 23, № 4. С. 5–15. DOI: 10.14529/ctcr230401

REVIEW AND ANALYSIS OF APPROACHES AND PRACTICAL APPLICATIONS OF HUMAN EMOTION RECOGNITION

A.A. Orlov, *AlexeyAlexOrlov@gmail.com*, <https://orcid.org/0000-0001-5833-7747>
M.I. Mironov, *ma.mironoff2017@yandex.ru*, <https://orcid.org/0000-0002-4559-8793>
E.S. Abramova, *elena.tarantova@yandex.ru*, <https://orcid.org/0000-0002-0070-2753>
Vladimir State University named after Alexander and Nicolay Stoletovs, Vladimir, Russia

Abstract. Human emotions are complex and multifaceted, making them difficult to quantify and analyze. However, as technology advances, researchers are exploring the artificial intelligence used to better understand and classify human emotions. In particular, neural networks are becoming increasingly popular for emotion recognition and analysis because of their ability to learn and adapt from large datasets. **Objective.** This study aims to review and analyze different approaches and practical applications of recognizing human emotions using neural networks. In particular, the study focuses on examining neural networks different types used for emotion recognition, data collection methods, as well as emotion recognition practical applications in various fields. The study also aims to identify limitations and issues associated with emotion recognition using neural networks. **Methods.** This study used a comprehensive review of relevant literature, including scholarly articles, conference proceedings, and books, to gather information on approaches and practical applications of human emotion recognition using neural networks. The review focused on recent research. The information collected was analyzed to identify the neural networks different types used for emotion recognition and data collection methods. **Results.** The literature review revealed several approaches to emotion recognition using neural networks, including convolutional neural networks, recurrent neural networks, and hybrid neural networks. Practical applications of emotion recognition using neural networks are found in a variety of fields, including marketing, health care, and education. The review also identified limitations and challenges associated with emotion recognition using neural networks, including dataset bias and the need for more diverse and representative datasets. **Conclusion.** A review and analysis of the approaches and practical applications of human emotion recognition technology using neural networks highlight the potential benefits and challenges associated with this technology. The results of this study can be used to guide future research on emotion recognition using neural networks to improve the accuracy and applicability of emotion recognition in various fields.

Keywords: neural networks, emotion recognition, data collection, human emotions, artificial intelligence

For citation: Orlov A.A., Mironov M.I., Abramova E.S. Review and analysis of approaches and practical applications of human emotion recognition. *Bulletin of the South Ural State University. Ser. Computer Technologies, Automatic Control, Radio Electronics*. 2023;23(4):5–15. (In Russ.) DOI: 10.14529/ctcr230401

Введение

В последние годы анализ и автоматическое распознавание эмоций человека является важной научно-исследовательской задачей, которая применяется в таких практических областях, как маркетинг, сфера развлечений, медицина, образование и безопасность. В статье приведен аналитический обзор видов эмоций, определены этапы анализа изображений, предварительная обработка, извлечение признаков и классификация. Представлен обзор популярных методов и алгоритмов предварительной обработки входных данных, необходимых для обнаружения лиц на входном изображении. Рассмотрены основные типы классификаторов, используемых на заключительной стадии построения модели: классические и модели глубокого обучения (convolutional neural network (CNN) и recurrent neural network (RNN)). Проведен анализ научно-технической литературы, включающий сравнение традиционных методов классификации эмоций и методов, основанных на нейросетях. Этот обзор может быть полезен для будущих исследований в области распознавания эмоций.

1. Обзор и анализ задачи распознавания эмоций человека

1.1. Виды эмоций человека

Человеческое лицо состоит из нескольких компонентов, таких как глаза, нос, рот, брови. Основываясь на движении этих компонентов и изменении формы и размеров, можно извлечь эмоции человека различными способами.

Ученые выделяют разное количество и различные типы базовых эмоций. Например, профессор Пол Экман говорит о шести первичных эмоциях, таких как гнев, страх, отвращение, удивление, печаль и радость. Дж. Грей выделяет три мозговые системы, определяющие появление трех основных групп эмоций: тревожности, радости-счастья, ужаса-гнева. В своей психоэволюционной теории Роберт Плутчик описывает восемь базовых эмоций, добавляя к первичным эмоциям Экмана такие эмоции, как одобрение и ожидание. В свою очередь, Дж. Мауэр утверждает, что существуют всего две первичные эмоции: боль и удовольствие.

В некоторых исследованиях, включая работу [1], наиболее распространенным считается список из семи универсальных базовых эмоций: к таким эмоциям относят нейтральность, гнев, отвращение, страх, радость, грусть и удивление. Эти основные эмоции можно распознать по мимическим выражениям лица человека. Эмоции играют неотъемлемую роль в общении и способствуют взаимопониманию между людьми. Они представляют собой особый вид психических процессов, которые отражают субъективное оценочное отношение к текущим или возможным ситуациям, окружающему миру и самому себе в определенный момент времени.

Моделирование и распознавание эмоций играют важную роль в сфере межличностного общения, поскольку невозможно представить общение между людьми без участия эмоций и их анализа. В связи с этим исследования в области моделирования и распознавания эмоций имеют большое значение и остаются актуальной областью исследований [2].

1.2. Датчики для распознавания эмоций человека

Для распознавания эмоции на лице человека могут быть использованы различные датчики, такие как электрокардиограмма (ЭКГ), электроэнцефалограф (ЭЭГ) и камера.

Электроэнцефалограф (ЭЭГ) – это электрофизиологический метод регистрации электрической активности, возникающий в человеческом мозге. Первый отчет о применении этой методики был представлен немецким психиатром Гансом Бергом в 1924 году [3]. Результат ЭЭГ получают с помощью специального устройства, называемого электроэнцефалограммой.

Электрокардиография (ЭКГ) используется в качестве метода интерпретации электрической активности сердца в режиме реального времени [4]. Поскольку сердечная деятельность связана с центральной системой человека, ЭКГ полезна не только для анализа сердечной деятельности, но и может быть использована для распознавания эмоций [5].

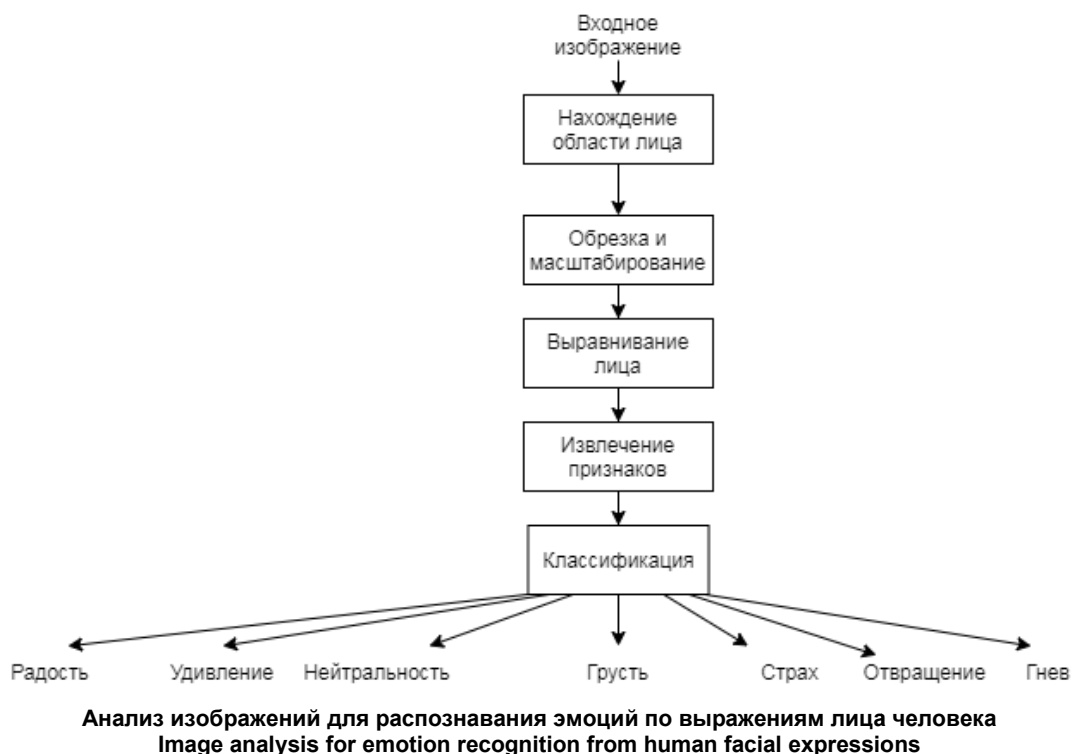
Камера является наиболее перспективным типом датчика, поскольку она обеспечивает наиболее информативные подсказки для распознавания эмоции. Основным преимуществом метода оценки эмоций с помощью камеры является возможность реализации бесконтактных методов измерения, в отличие от ЭЭГ или ЭКГ, например, измерения мимических выражений лица.

1.3. Этапы распознавания эмоций человека

В 1872 году Чарльз Дарвин объявил эмоцию универсальной характеристикой, что стало началом исследований в области автоматического распознавания эмоций человека [6].

В середине XX века психолог Рэй Бердвистел создал науку кинесика, главным специалистом которой стал Пол Экман. В 1978 году он предложил FACS (Facial Action Coding System) и выявил шесть базовых эмоций: радость, удивление, печаль, гнев, отвращение и страх [7].

Прохождение современных систем распознавания выражений лица включает в себя три основных этапа [8]. Вначале предварительная обработка, извлечение признаков и классификация обеспечивают современным системам распознавания выражений лица возможность точного и эффективного определения эмоций на основе анализа лицевых характеристик. Представленная на рисунке схема общего анализа изображений демонстрирует процесс распознавания эмоций по выражениям лица человека.



1.4. Методы предварительной обработки данных

Методы обнаружения лиц используются для создания рамок, которые выделяют лица в качестве областей интереса для системы распознавания эмоций. Однако обнаружение лиц на изображениях остается сложной задачей, особенно в случаях, когда изображения получены из неконтролируемой среды. Это связано с наличием различных факторов, которые могут затруднять классификацию эмоционального состояния, включая движение, недостаточное освещение, различные ракурсы, большие расстояния [9] и другие подобные факторы.

Предварительная обработка изображений – это набор техник, применяемых для улучшения качества исходного изображения перед его анализом или обработкой. Она включает в себя такие операции, как изменение размера, улучшение контрастности, фильтрация шума и удаление лишних деталей. Предварительная обработка помогает улучшить точность и эффективность последующего анализа изображений.

1. Определение размера и расположения лица на изображении достигается через локализацию области лица. Для этой задачи используются такие методы, как *single shot multibox detector*, *SSD*, которые разбивают выходное пространство границ объектов на базовые прямоугольники с разными соотношениями сторон [10], и классический детектор лиц Виолы – Джонса, основанный на машинном обучении и признаках Хаара [11]. Однако, найденные области лица могут содержать элементы, такие как очки, макияж или медицинские маски, которые могут затруднить дальнейший анализ [12].

2. После обнаружения и локализации лица на изображении, необходимо обрезать и масштабировать найденную область лица согласно полученным координатам. Процесс масштабирования изображений необходим для приведения обнаруженных областей лица к одному унифицированному разрешению, так как их размеры могут различаться. Для этой цели используются методы, такие как коррекция Бесселя (*Bessel's correction*) [13] и применение гауссового распределения (*Gaussian distribution*) [14]. Кроме того, выравнивание лица помогает уменьшить внутриклассовую вариабельность и обеспечивает более точное сопоставление и сравнение лиц, для этого к изображениям лиц могут быть применены геометрические преобразования, такие как алгоритм *SIFT* (*scale-invariant feature transform*) [15], который представляет собой метод компьютерного зрения, обеспечивающий масштабное инвариантное преобразование объектов. Он используется для обнаружения и описания локальных характеристик на изображении, не зависимо от их размеров или масштаба.

3. Регулировка контрастности изображения лица имеет несколько полезных эффектов, включая сглаживание изображений, уменьшение шума, повышение контрастности и улучшение насыщенности. Эти меры помогают справиться с проблемами, связанными с освещением, и улучшают качество обработки изображения лица. Для этого могут быть использованы методы, такие как двусторонний фильтр [16], использующий гауссову функцию пространства, и Фильтр Гаусса [17], являющийся эффективным средством для удаления гауссова шума с изображений. Отбор подходящих методов предварительной обработки изображений может занять значительное время, но это важный этап, который оказывает существенное влияние на точность и скорость процесса распознавания лиц.

1.5. Методы извлечение визуальных признаков

После завершения этапа предварительной обработки данных возможно извлечение характеристик, которые содержат наиболее содержательную информацию для последующей обработки. Этот этап является важным для достижения высокой точности и эффективности в анализе данных, особенно в области распознавания эмоций.

Наиболее популярными методами извлечения признаков являются:

– локальные бинарные шаблоны (LBP) [18] – это метод обработки текстур, который нацелен на сравнение центрального пикселя с его квадратной окрестностью 3×3 . Он исследует, каким образом пиксели находятся вокруг центрального пикселя, и на основе этого генерирует бинарный шаблон. Этот метод широко используется для выделения особенностей в изображениях лиц и достаточно быстро работает;

– оптический поток (OF) [19] – это метод, который оценивает величину и направление движения объектов на последовательности кадров видеопотока. Это позволяет определить, как движения в изображении связаны с выражениями лица. Этот метод широко используется в системах распознавания эмоций и определения действий. Авторы работы [20] используют данный метод;

– активная модель внешнего вида (active appearance model, AAM) [21]. Этот метод фокусируется исключительно на изображении лица, учитывая его текстурные особенности и игнорируя все остальные объекты на изображении. Он широко применяется в системах распознавания эмоций, основанных на лицах. В [22] приведены примеры использования метода AAM;

– метод, известный как фильтр Габора [23], является математическим инструментом, используемым для обработки и анализа изображений. Преимущество фильтра Габора заключается в его способности извлекать информацию из изображения на разных частотных и ориентационных уровнях. Он может быть настроен на определенные характеристики, такие как размер и ориентация текстуры, что позволяет более точно выделить интересующие участки на изображении. Пример применения фильтра представлен в [24];

– метод главных компонент (PCA) [25] – статистический метод, используемый для снижения размерности данных. Он позволяет найти наиболее информативные комбинации признаков и представить данные в новом пространстве. Это помогает улучшить эффективность распознавания эмоций и снизить нагрузку на вычислительные ресурсы.

1.6. Методы и подходы к распознаванию эмоций человека

Глубокое обучение стало общим подходом к машинному обучению, дающим самые современные результаты во многих исследованиях компьютерного зрения с использованием больших данных.

Луиджи Роза предложил алгоритм распознавания выражения лица, который может классифицировать входное изображение по одной из семи основных категорий выражения лица (счастье, печаль, страх, удивление, гнев, отвращение и нейтральное). PCA используется для уменьшения размерности входных данных при сохранении тех характеристик набора данных, которые вносят наибольший вклад в его дисперсию, за счет сохранения основных компонентов более низкого порядка и игнорирования компонентов более высокого порядка [25]. Этот подход является чрезвычайно мощным, поскольку он не требует обнаружения какой-либо опорной точки или сетки узлов. Предлагаемый способ быстр и может быть использован для приложений реального времени. Этот алгоритм был протестирован с использованием набора данных JAFFE [26]. Используя 150 изображений, случайно выбранных для обучения, и 63 изображения для тестирования, получаем отличную точность распознавания, превышающую 83 % [27].

В статье [28] представлена система распознавания эмоций, которая распознает шесть основных эмоций, определенных Экманом в выражениях лица. Система выявляет, является ли выражение эмоциональным, на основе классификатора support vector machine (SVM), а затем распознает конкретные эмоции, передаваемые выражением лица, на основе MLPNN (multilayer perceptron neural network). Оценка, проведенная по базам данных JAFFE и Kohn Kanade [29], показала результаты 85,9 и 84,1 %

По результатам проведенных испытаний в работе [30] удалось разработать систему с использованием сверточной нейронной сети (convolutional neural network, CNN) для прогнозирования семи выражений лица человека [31]. При проектировании системы в этом исследовании используется набор данных FER-2013.

Для локализации области лица в режиме реального времени используется каскадный метод Хаара. Экспериментальные исследования показали точность системы 91,2 %.

Авторы в исследовании [32] используют метод многослойной функции активации maxout (multilayer maxout activation function, MMAF), который позволяет избежать взрыва градиентов путем замены стандартной функции активации на функцию maxout, которая может линейно комбинировать несколько активаций. Это позволяет сети более стабильно обучаться и более эффективно передавать градиенты на более глубокие слои. Для извлечения визуальных признаков использовались комбинации CNN, RNN и LSTM, что позволяет создать мощную модель, способную извлекать и учитывать как статические, так и динамические визуальные признаки выражений лица, что приводит к более точному и глубокому распознаванию эмоций. В работе также применялся метод опорных векторов (SVM) для классификации эмоций. Обработка изображений включала случайное обрезание до размера 24×24 пикселей.

Набор данных JAFFE используется в статье [33] для обучения метода кластеризации k-средних (k-means) и получения центров кластеров в качестве начальных значений ядер сверточной нейронной сети (CNN) для классификации. В процессе обучения метода k-средних на наборе данных JAFFE изображения лиц были предварительно обработаны и преобразованы в числовое представление, чтобы их можно было использовать для кластеризации. Полученные центры кластеров являются представлением выражений лица в каждой группе. Для предварительной обработки изображений был использован метод Виолы – Джонса, который позволяет обнаружить лица на изображениях. Локализованные области лица были выделены и изменены до разрешения 48×48 пикселей.

В работе [34] исследователи представили новый подход к динамическому анализу выражений лица, используя функции, основанные на фильтре Габора, в сочетании с генетическим алгоритмом (GA) и методом опорных векторов (SVM). Генетический алгоритм используется для решения проблемы многомерных векторов признаков и стоимости вычислений. GA создает локальный банк фильтров Габора с выбранными частотами и ориентациями. Частота обнаружения шести основных эмоций была достигнута на 92,97 % для базы данных Кон-Канада (CK+).

1.7. Метрики оценки качества распознавания эмоций человека

Для оценки качества работы алгоритмов распознавания эмоций человека используют следующие метрики:

$$- \text{Accuracy} = \frac{\text{TN} + \text{TP}}{\text{TP} + \text{FP} + \text{TN} + \text{FN}},$$

где TP – объекты, которые были правильно классифицированы как положительные, то есть они действительно принадлежат к данному классу; TN – объекты, которые были правильно классифицированы как отрицательные и действительно не принадлежат к данному классу; FP – объекты, которые были ошибочно классифицированы как положительные, но являются отрицательными; FN – объекты, которые были ошибочно классифицированы как отрицательные, хотя на самом деле они положительные;

$$- \text{Recall} = \frac{\text{TP}}{\text{TP} + \text{FN}};$$

$$- \text{Precision} = \frac{\text{TP}}{\text{TP} + \text{FP}};$$

$$- F_{\beta} = (1 + \beta^2) \cdot \frac{\text{Precision} \cdot \text{Recall}}{(\beta^2 \cdot \text{Precision}) + \text{Recall}}$$

Accuracy – это показатель, используемый для оценки точности модели или алгоритма классификации. Он представляет собой отношение числа правильно классифицированных образцов к общему числу образцов в наборе данных.

Recall показывает, какую долю лиц из всех лиц на изображении нашел алгоритм. Precision можно интерпретировать как долю лиц, названных детектором лицами и при этом действительно являющимися лицами. Если наш детектор будет обнаруживать все как лицо, то Recall будет стремиться к единице, а Precision – к нулю. Зеркальная ситуация (та, в которой детектор ничего не обнаруживает) дает нам TP = FP = 0, следовательно, Precision не определен. Если же детектор обнаружил верно лишь одно лицо и больше не обнаружил ничего, то TP = 1, FP = 0, следовательно, Precision = 1, а Recall стремится к нулю. Получается, что невозможно оценить качество работы алгоритма только лишь по одному из этих параметров [35]. Поэтому вводится метрика F-мера. Она представляет собой среднее гармоническое Precision и Recall. F-мера позволяет точно определить качество работающего алгоритма.

2. Обзор практических областей, требующих применения распознавания эмоций человека

2.1. Маркетинг

Распознавание эмоций может быть полезным инструментом в маркетинге для улучшения качества обслуживания, оптимизации работы магазинов и повышения эффективности рекламных кампаний. Например, системы распознавания эмоций могут помочь оперативно определять очереди и их оптимизировать, а также анализировать поведение персонала и оценивать качество обслуживания [36].

Кроме того, с помощью распознавания эмоций можно классифицировать посетителей по возрасту, полу и расе, что позволяет более точно настраивать маркетинговые кампании и определять оптимальное положение рекламных мест. Также системы распознавания эмоций могут помочь определить «горячие» зоны в магазинах, то есть места, которые наиболее привлекают внимание и вызывают интерес у клиентов, и использовать эту информацию для размещения продукции.

В целом распознавание эмоций может помочь маркетологам и рекламистам более точно понимать потребности и предпочтения своей целевой аудитории, что может привести к улучшению качества продукции и услуг, а также повышению уровня продаж.

2.2. Развлечения

В развлекательной индустрии распознавание эмоций может быть использовано для определения реакции аудитории на фильмы, телешоу, концерты и другие мероприятия. Например, компания Disney в 2017 году провела эксперимент [37], используя камеры и алгоритмы глубокого обучения для оценки эмоций зрителей в кинотеатре. В результате был собран внушительный объем данных, позволивший предсказать реакцию людей на основе 16 миллионов изображений лиц с 68 маркерами каждого из 3179 зрителей. Кроме того, эмоциональный ИИ начинают применять в игровой индустрии, например, для создания игр в жанре психологических триллеров. Компания Affectiva помогла создать игру Nevermind, в которой напряженность сюжета зависит от состояния игрока, что позволяет создавать более глубокие и эмоциональные игровые сценарии [38].

2.3. Образование

С помощью распознавания эмоций можно улучшить образование, изучая эмоциональное состояние и внимание учащихся во время уроков. Несколько камер, установленных в аудитории, могут зафиксировать изменения в эмоциональной реакции аудитории на протяжении лекции. Анализ данных позволяет выявить связь между уровнем знаний студентов и их вовлеченностью в учебный процесс. Эти результаты можно использовать для улучшения качества обучения: отрегулировать программу обучения, разбить лекции на более мелкие блоки, добавить больше интерактивных элементов и т. д. В России разработчики уже применили эмоциональный ИИ в Перми,

где была разработана программа «Умная и безопасная школа» [39] с использованием распознавания эмоций, чтобы выявлять асоциальных подростков на ранних этапах и предотвращать возможные трагедии. По словам создателей, точность системы составляет 72 %.

2.4. Безопасность

Автоматическое распознавание эмоций находит свое применение в повышении безопасности людей через автоматизированные системы охраны. Использование распознавания эмоций в сфере общественной безопасности позволяет обнаружить подозрительные действия на ранней стадии и обеспечить своевременное вмешательство правоохранительных органов. Она может применяться в различных условиях, таких как аэропорты, вокзалы, стадионы и другие места скопления людей, где общественная безопасность является приоритетом. С помощью сложных алгоритмов и моделей машинного обучения технология распознавания эмоций может анализировать модели поведения, связанные с потенциальными угрозами, включая агрессию, тревогу или другие признаки беспокойства. Системы распознавания эмоций, интегрированные с камерами наблюдения или устройствами мониторинга, могут подавать сигналы тревоги в режиме реального времени, что позволяет принимать упреждающие меры и повышать общую безопасность [40].

Выводы

В статье приведен обзор методов для автоматического распознавания эмоций, также в работе представлены некоторые популярные наборы данных, связанные с распознаванием эмоций и состоящие из изображений. Определены базовые эмоции по П. Экману (радость, гнев, страх, отвращение/презрение, удивление, печаль), описаны датчики распознавания эмоций. Анализ статей позволил выделить распространенные методы, которые наиболее эффективно применяются при решении задачи распознавания эмоций.

Автоматическое распознавание выражения лица играет важную роль в области взаимодействия между человеком и компьютером. Эта технология позволяет компьютерам анализировать и интерпретировать эмоции, выражаемые через мимику лица, что открывает новые возможности для более естественного и эмоционального взаимодействия. Вариативность выражений лица и контекстуальные факторы требуют разработки более сложных и адаптивных моделей распознавания эмоций. Кроме того, необходимо учитывать этические и конфиденциальные аспекты при использовании данной технологии. Таким образом, автоматическое распознавание выражения лица продолжает привлекать внимание и вызывать интерес в научном и практическом сообществе. Технология открывает новые перспективы, способствуя развитию более эмоционального и глубокого взаимодействия между людьми и компьютерами.

Список литературы/References

1. Ильин В.И. «Чувства» и «эмоции» как социологические категории // Вестник Санкт-Петербургского университета. Социология. 2016. № 4. С. 28–40. [Ilyin V.I. “Feelings” and “emotions” as sociological categories. *Vestnik of Saint Petersburg University. Sociology*. 2016;4:28–40. (In Russ.)] DOI: 10.21638/11701/spbu12.2016.402
2. Vizilter Y., Gorbatshevich V., Vorotnikov A., Kostromov N Real-time face identification via multi-convolutional neural network and Boosted Hashing Forest. *Advances in Computer Vision and Pattern Recognition*. 2017;PartF1:33–55. DOI: 10.1007/978-3-319-61657-5_2
3. Navid M.S., Niazi I.K., Lelic D. et al. Investigating the effects of chiropractic spinal manipulation on EEG in stroke patients. *Brain Sciences*. 2020;5(10). DOI: 10.3390/brainsci10050253
4. International Neural Network Society; Verband der Elektrotechnik; Institute of Electrical and Electronics Engineers. ANNA’18: Advances in Neural Networks and Applications 2018 September 15–17, 2018, St. St. Konstantin and Elena Resort, Bulgaria. Berlin, Germany: VDE Verlag GmbH; 2018. ISBN 9783800747566.
5. Goshvarpour A., Abbasi A., Goshvarpour A. An Emotion Recognition Approach based on Wavelet Transform and Second-Order Difference Plot of ECG. *Journal of AI and Data Mining*. 2017;2(5):211–221. DOI: 10.22044/jadm.2017.887

6. Дэвидсон Р., Бегли Ш. Эмоциональная жизнь мозга: пер. с англ. СПб.: Питер, 2017. 256 с. ISBN 978-5-4461-0515-1. [Davidson R.J., Sharon B. *The Emotional Life of Your Brain*. Hudson Street Press; 2012.]
7. Grandgirard J., Poinot D., Krespi L. et al. Costs of secondary parasitism in the facultative hyperparasitoid *Pachycrepoideus dubius*: Does host size matter? *Entomologia Experimentalis et Applicata*. 2002;3(103):239–248. DOI: 10.1023/A:1021193329749
8. Iqtait M., Mohamad F.S., Mamat M. Feature extraction for face recognition via active shape model (ASM) and active appearance model (AAM). *IOP Conference Series: Materials Science and Engineering*. 2018. 332(1):012032. DOI: 10.1088/1757-899X/332/1/012032
9. Zafeiriou S., Zhang C., Zhang Z. A survey on face detection in the wild: Past, present and future. *Computer Vision and Image Understanding*. 2015;138:1–24. DOI: 10.1016/j.cviu.2015.03.015
10. Liu W., Anguelov D., Erhan D., Szegedy C., Reed S., Fu C.-Y., Berg A.C. SSD: single shot multibox detector. *Lecture Notes in Computer Science (including subseries Lecture Notes in Artificial Intelligence and Lecture Notes in Bioinformatics)*. 2016;9905:21–37. DOI: 10.1007/978-3-319-46448-0_2
11. Viola P., Jones M. Robust Real-Time Face Detection Intro to Face Detection. *International Journal of Computer Vision*. 2004;2(57):137–154. DOI: 10.1023/B:VISI.0000013087.49260.fb
12. Azulay A., Weiss Y. Why do deep convolutional networks generalize so poorly to small image transformations? *Journal of Machine Learning Research*. 2019;20:1–25.
13. Ganga Mohan P., Prakash C., Gangashetty S.V. Bessel transform for image resizing. In: *International Conference on Systems, Signals, and Image Processing*; 2011. P. 75–78.
14. Owusu E., Abdulai J.-D., Zhan Y. Face detection based on multilayer feed-forward neural network and Haar features. *Software: Practice and Experience*. 2019;49(1):120–129. DOI: 10.1002/spe.2646
15. Lowe D.G. Distinctive image features from scale-invariant keypoints. *International Journal of Computer Vision*. 2004;60(2):91–110. DOI: 10.1023/B:VISI.0000029664.99615.94
16. Tomasi C., Manduchi R. Bilateral Filtering for Gray and Color Images. In: *Proceedings of the IEEE International Conference on Computer Vision*. Bombay, India; 1998. P. 839–846.
17. Delbracio M., Kelly D., Brown M.S., Milanfar P. Mobile Computational Photography: A Tour. *Annual Review of Vision Science*. 2021;7:571–604. DOI: 10.1146/annurev-vision-093019-115521
18. Ojala T., Pietikainen M., Maenpaa T. Multi Resolution Gray-Scale and Rotation Invariant Texture Classification with Local Binary Patterns. *IEEE Transactions on Pattern Analysis and Machine Intelligence*. 2002;24(7):971–987. DOI: 10.1109/TPAMI.2002.1017623
19. Horn B.K.P., Schunck B.G. Determining optical flow. *Artificial Intelligence*. 1981;17(1–3): 185–203. DOI: 10.1016/0004-3702(81)90024-2
20. Zhao J., Mao X., Zhang J. Learning deep facial expression features from image and optical flow sequences using 3D CNN. *Visual Computer*. 2018;34(10):1461–1475. DOI: 10.1007/s00371-018-1477-y
21. Li S., Gong D., Yuan Y. Face recognition using Weber local descriptors. *Neurocomputing*. 2013;122:272–283. DOI: 10.1016/j.neucom.2013.05.038
22. Revina I.M., Emmanuel W.R.S. Face expression recognition using weber local descriptor and F-RBFNN. In: *Proc. 2nd International Conference on Intelligent Computing and Control Systems (ICICCS 2018)*. Madurai, India; 2018. P. 196–199. DOI: 10.1109/ICCONS.2018.8662891
23. Peng Z. et al. Conformer: Local Features Coupling Global Representations for Visual Recognition. In: *Proceedings of the IEEE International Conference on Computer Vision*; 2021. P. 357–366. DOI: 10.1109/ICCV48922.2021.00042
24. Бобе А.С., Коньшев Д.В., Воротников С.А. Система распознавания базовых эмоций на основе анализа двигательных единиц лица // Инженерный журнал: наука и инновации. 2016. № 9 (57). С. 7. [Bobe A.S., Konyshev D.V., Vorotnikov S.A. Emotion recognition system based on the facial motor units' analysis. *Engineering Journal: Science and Innovation*. 2016; 9(57):7. (In Russ.)] DOI: 10.18698/2308-6033-2016-9-1530
25. Martínez A.M., Kak A.C. PCA versus LDA. *IEEE Transactions on Pattern Analysis and Machine Intelligence*. 2001;23(2):228–233. DOI: 10.1109/34.908974
26. Lyons M.J., Kamachi M.G., Gyoba J. The Japanese Female Facial Expression (JAFFE) Dataset. 1998. [Electronic resource] (accessed 19.12.2022).

27. Perikos I., Ziakopoulos E., Hatzilygeroudis I. Recognize Emotions from Facial Expressions Using a SVM and Neural Network Schema. In: *Engineering Applications of Neural Networks. EANN 2015. Communications in Computer and Information Science, vol 517*. Springer, Cham.; 2015. DOI: 10.1007/978-3-319-23983-5_25
28. Komala K. Human Emotion Detection and Classification Using Convolution Neural Network. *European Journal of Molecular and Clinical Medicine*. 2020; 6(7):237–245.
29. Lucey P., Cohn J.F., Kanade T., Saragih J., Ambadar Z., Matthews I. The Extended Cohn-Kanade Dataset (CK+): A complete dataset for action unit and emotion-specified expression. In: *2010 IEEE Computer Society Conference on Computer Vision and Pattern Recognition – Workshops*, San Francisco, CA, USA; 2010. P. 94–101. DOI: 10.1109/CVPRW.2010.5543262
30. An F., Liu Z. Facial expression recognition algorithm based on parameter adaptive initialization of CNN and LSTM. *Visual Computer*. 2020;36(3):483–498. DOI: 10.1007/s00371-019-01635-4
31. Challenges in Representation Learning Facial Expression Recognition Challenge [Electronic resource]. Available at: <https://www.kaggle.com/c/challenges-in-representation-learning-facial-expression-recognition-challenge> (accessed 19.12.2022).
32. Cao T., Li M. Facial Expression Recognition Algorithm Based on the Combination of CNN and K-Means. In: *Proc. 11th International Conference on Machine Learning and Computing (ICMLC 2019)*; 2019. P. 400–404. DOI: 10.1145/3318299.3318344
33. Connie T., Al-Shabi M., Cheah W.P., Goh M. Facial Expression Recognition Using a Hybrid CNN-SIFT Aggregator. In: *Conference: International Workshop on Multi-disciplinary Trends in Artificial Intelligence*. 2017. DOI: 10.1007/978-3-319-69456-6_12
34. Springenberg J.T., Dosovitskiy A., Brox T., Riedmiller M. Striving for simplicity: The all convolutional net. In: *3rd International Conference on Learning Representations, ICLR 2015 – Workshop Track Proceedings*; 2015. P. 1–14.
35. Sokolova M., Lalpalme G. A systematic analysis of performance measures for classification tasks. *Information Processing and Management*. 2009;4(45):427–437. DOI: 10.1016/j.ipm.2009.03.002
36. Ахметшин Р.И., Кирпичников А.П., Шлеймович М.П. Распознавание эмоций человека на изображениях // Вестник технологического университета. 2015. Т. 18, № 11. С. 160–163. [Akhmetshin R.I., Kirpichnikov A.P., Shleymovich M.P. [Recognizing human emotions from images]. *Herald of technological university*. 2015;18(11):160–163. (In Russ.)].
37. Perkins R. Neural Networks Model Audience Reactions to Movies. *Caltech: website*. Available at: <https://www.caltech.edu/about/news/neural-networks-model-audience-reactions-movies-79098> (accessed 15.02.2023).
38. *Affectiva: website*. Available at: <https://www.affectiva.com/success-story/flying-mollusk/> (accessed 15.12.2022).
39. Talele A.K., Chourasia B. Student’s Emotions Identification Using CNN. *International Journal of Advanced Research in Engineering and Technology (IJARET)*. 2020;11(11):1426–1434. DOI: 10.34218/IJARET.11.11.2020.130
40. Кирпичников А.П., Ляшева С.А., Шлеймович М.П. Обнаружение и сопровождение людей в интеллектуальных детекторах внештатных ситуаций // Вестник Казанского технологического университета. 2014. Т. 17, № 21. С. 351–356. [Kirpichnikov A.P., Lyasheva S.A., Shleymovich M.P. [Detection and tracking of people in intelligent detectors of emergency situations]. *Bulletin of Kazan Technological University*. 2014;17(21):351–356. (In Russ.)]

Информация об авторах

Орлов Алексей Александрович, д-р техн. наук, доц., заведующий кафедрой физики и прикладной математики, Владимирский государственный университет имени Александра Григорьевича и Николая Григорьевича Столетовых, Владимир, Россия; AlexeyAlexOrlov@gmail.com.

Миронов Максим Игоревич, магистрант кафедры физики и прикладной математики, Владимирский государственный университет имени Александра Григорьевича и Николая Григорьевича Столетовых, Владимир, Россия; ma.mironoff2017@yandex.ru.

Абрамова Елена Сергеевна, аспирант кафедры информационных систем и программной инженерии, Владимирский государственный университет имени Александра Григорьевича и Николая Григорьевича Столетовых, Владимир, Россия; elena.tarantova@yandex.ru.

Information about the authors

Alexey A. Orlov, Dr. Sci. (Eng.), Prof., Ass. Prof., Head of the Department of Physics and Applied Mathematics, Vladimir State University named after Alexander and Nicolay Stoletovs, Vladimir, Russia; AlexeyAlexOrlov@gmail.com.

Maksim I. Mironov, Master's Student of the Department of Physics and Applied Mathematics, Vladimir State University named after Alexander and Nicolay Stoletovs, Vladimir, Russia; ma.mironoff2017@yandex.ru.

Elena S. Abramova, Postgraduate student of the Department of Information Systems and Software Engineering, Vladimir State University named after Alexander and Nicolay Stoletovs, Vladimir, Russia; elena.tarantova@yandex.ru.

Статья поступила в редакцию 16.04.2023

The article was submitted 16.04.2023

ПРОГРАММНО-АЛГОРИТМИЧЕСКИЙ КОМПЛЕКС ПРОГНОЗИРОВАНИЯ ДИНАМИКИ АРКТИЧЕСКИХ ОЗЕР РОССИИ НА ОСНОВЕ СПУТНИКОВЫХ СНИМКОВ И ЭНТРОПИЙНО-РАНДОМИЗИРОВАННОГО ПОДХОДА

Е.С. Сокол¹, eugen137@gmail.com
А.А. Тогачев¹, togachevaa@uriit.ru
А.Ю. Попков², Popkov.alexey@gmail.com, <https://orcid.org/0000-0003-4039-7746>
Ю.А. Дубнов^{2,3}, yury.dubnov90@phystech.edu, <https://orcid.org/0000-0001-5471-3733>
В.Ю. Полищук⁴, liquid_metal@mail.ru, <https://orcid.org/0000-0002-2058-1725>
Ю.С. Попков^{2,5}, popkov.yuri@gmail.com, <https://orcid.org/0000-0002-9692-507X>
А.В. Мельников¹, MelnikovAV@uriit.ru, <https://orcid.org/0000-0002-1073-7108>
Ю.М. Полищук¹, yupolishchuk@gmail.com, <https://orcid.org/0000-0002-4944-4919>

¹ Югорский научно-исследовательский институт информационных технологий, Ханты-Мансийск, Россия

² Федеральный исследовательский центр «Информатика и управление» Российской академии наук, Москва, Россия

³ Национальный исследовательский университет «Высшая школа экономики», Москва, Россия

⁴ Институт мониторинга климатических и экологических систем Сибирского отделения Российской академии наук, Томск, Россия

⁵ Институт проблем управления им. В.А. Трапезникова Российской академии наук, Москва, Россия

Аннотация. Статья посвящена проблеме прогнозирования эволюции термокарстовых озер в зонах мерзлоты как интенсивных источников природной эмиссии парниковых газов в атмосферу в арктических территориях. **Цель работы.** Целью работы является рассмотрение вопросов создания программно-алгоритмического комплекса прогнозирования пространственно-временной динамики озер Российской Арктики на основе методов и алгоритмов рандомизированного машинного обучения. **Материалы и методы.** Для прогнозирования в качестве исторических данных используются временные ряды спутниковых измерений площадей термокарстовых озер в арктической зоне России и данных о среднегодовой температуре и годовой сумме осадков, полученных на основе систем реанализа ERA-5, ERA-Interim и др. Применяются методы энтропийно-рандомизированного моделирования динамики полей термокарстовых озер, позволяющие прогнозировать изменения площадей озер арктической зоны. Для программной реализации комплекса прогнозирования эволюции площади термокарстовых озер используются средства современных геоинформационных систем. **Результаты.** Разработана архитектура программно-алгоритмического комплекса, основанная на использовании алгоритмов энтропийно-рандомизированного моделирования. Программно-алгоритмический комплекс прогнозирования позволяет проводить обучение и тестирование модели на основе имеющихся исторических данных о динамике площади термокарстовых озер и климатических изменениях в Российской Арктике. **Заключение.** Реализация программного комплекса на основе веб-геоинформационной системы NextGIS Web позволяет включать прикладные программы прогнозирования на языке Python. Разработанный программный комплекс может быть использован в задачах оценки и прогноза динамики объемов озерной эмиссии парниковых газов, оказывающей влияние на изменение температуры воздуха в северных регионах.

Ключевые слова: машинное обучение, рандомизированная модель, программно-алгоритмический комплекс, прогнозирование, термокарстовые озера, парниковые газы

Благодарности. Работа проводилась при финансовой поддержке гранта Российского научного фонда по проекту № 22–11–20023.

Для цитирования: Программно-алгоритмический комплекс прогнозирования динамики арктических озер России на основе спутниковых снимков и энтропийно-рандомизированного подхода / Е.С. Сокол, А.А. Тогачев, А.Ю. Попков и др. // Вестник ЮУрГУ. Серия «Компьютерные технологии, управление, радиоэлектроника». 2023. Т. 23, № 4. С. 16–25. DOI: 10.14529/ctcr230402

Original article

DOI: 10.14529/ctcr230402

SOFTWARE-ALGORITHMIC COMPLEX OF FORECASTING THE DYNAMICS OF ARCTIC LAKES IN RUSSIA BASED ON SATELLITE IMAGES AND ENTROPY-RANDOMIZED APPROACH

E.S. Sokol¹, eugen137@gmail.com

A.A. Togachev¹, togachevaa@uriit.ru

A.Yu. Popkov², Popkov.alexey@gmail.com, <https://orcid.org/0000-0003-4039-7746>

Yu.A. Dubnov^{2,3}, yury.dubnov90@phystech.edu, <https://orcid.org/0000-0001-5471-3733>

V.Yu. Polishchuk⁴, liquid_metal@mail.ru, <https://orcid.org/0000-0002-2058-1725>

Yu.S. Popkov^{2,5}, popkov.yuri@gmail.com, <https://orcid.org/0000-0002-9692-507X>

A.V. Melnikov¹, MelnikovAV@uriit.ru, <https://orcid.org/0000-0002-1073-7108>

Yu.M. Polishchuk¹, yupolishchuk@gmail.com, <https://orcid.org/0000-0002-4944-4919>

¹ Ugra Research Institute of Information Technologies, Khanty-Mansiysk, Russia

² Federal Research Center Computer Science and Control of the Russian Academy of Sciences, Moscow, Russia

³ National Research University Higher School of Economics, Moscow, Russia

⁴ Institute of Monitoring of Climatic and Ecological Systems of the Siberian Branch of the Russian Academy of Sciences, Tomsk, Russia

⁵ V.A. Trapeznikov Institute of Control Sciences of Russian Academy of Sciences, Moscow, Russia

Abstract. The article is devoted to the problem of predicting the evolution of thermokarst lakes in permafrost zones as intensive sources of natural emissions of greenhouse gases into the atmosphere in the Arctic territories. **Goal of the work.** The purpose of the work was to consider the issues of creating a software-algorithmic complex for predicting the spatio-temporal dynamics of lakes in the Russian Arctic based on methods and algorithms of randomized machine learning. **Materials and methods.** For forecasting, time series of satellite measurements of the areas of thermokarst lakes in the Arctic zone of Russia and data on the average annual temperature and annual precipitation obtained on the basis of the ERA-5, ERA-Interim, etc. reanalysis systems are used for forecasting. Methods of entropy-randomized dynamics modeling are used fields of thermokarst lakes, allowing to predict changes in the areas of lakes in the Arctic zone. For the software implementation of a complex for predicting the evolution of the area of thermokarst lakes, modern geographic information systems are used. **Results.** The architecture of the software-algorithmic complex has been developed, based on the use of entropy-randomized modeling algorithms. The software-algorithmic forecasting complex makes it possible to train and test the model based on available historical data on the dynamics of the area of thermokarst lakes and climate changes in the Russian Arctic. **Conclusion.** The implementation of a software package based on the NextGIS Web geographic information system allows you to include forecasting applications in Python. The developed software package can be used in assessing and forecasting the dynamics of greenhouse gas emissions from lakes, which influence changes in air temperature in the northern regions.

Keywords: machine learning, randomized model, software-algorithmic complex, forecasting, thermokarst lakes, greenhouse gases

Acknowledgments. The work was supported by grant of Russian scientific fund for the project No. 22-11-20023.

For citation: Sokol E.S., Togachev A.A., Popkov A.Yu., Dubnov Yu.A., Polishchuk V.Yu., Popkov Yu.S., Melnikov A.V., Polishchuk Yu.M. Software-algorithmic complex of forecasting the dynamics of arctic lakes in Russia based on satellite images and entropy-randomized approach. *Bulletin of the South Ural State University. Ser. Computer Technologies, Automatic Control, Radio Electronics*. 2023;23(4):16–25. (In Russ.) DOI: 10.14529/ctcr230402

Введение

Потепление климата в ближайшие десятилетия будет приводить к таянию мерзлоты и дополнительной эмиссии углекислого газа и метана, способной внести заметный вклад в потепление климата, что вызывает озабоченность мировой общественности и требует разработки эффективных мер по ограничению роста среднегодовой температуры Земли до 1,5–2 °С до 2050 г. Разработка таких мер на региональном уровне для арктических регионов невозможна без формирования обоснованных прогнозов объемов эмиссии метана и углекислого газа с использованием экспериментальных данных о пространственно-временной динамике полей термокарстовых озер как важных источников эмиссии природного метана и углекислого газа на территории регионов. Известно, что наибольший вклад в глобальную эмиссию парниковых газов вносят территории вечной мерзлоты арктических регионов, что подтверждается многочисленными экспериментальными исследованиями в Сибири и в других северных регионах [1–5].

Известно [6], что объемы озерной эмиссии парниковых газов в атмосферу на отдельной территории определяются суммарной площадью озер на этой территории. Поэтому важной с точки зрения прогнозирования объемов озерной эмиссии парниковых газов в атмосферу является информация о динамике площадей термокарстовых озер на различных территориях Арктики, получаемая в настоящее время вследствие труднодоступности и высокой степени заболоченности арктических территорий дистанционными методами с использованием спутниковых снимков. В последние годы дистанционные исследования динамики площадей термокарстовых озер по спутниковым снимкам проведены в Западной Сибири, на Аляске и в других северных регионах [1, 5, 7].

Наиболее перспективным для разработки эффективной модели прогнозирования объемов накопления парниковых газов в арктических озерах представляется, по нашему мнению, подход, основанный на методах рандомизированного машинного обучения [8, 9], которые показали высокую эффективность в решении проблем прогнозирования мировой экономики, демографии и др.

Основанные на рандомизированном подходе методы позволяют определить энтропийно-оптимальную апостериорную плотность распределения вероятностей оцениваемых параметров модели при «наихудших», в терминах энтропии, шумах измерений [9]. Такой подход позволяет получать состоятельные и эффективные оценки параметров модели в условиях ограниченных объемов эмпирических данных. Поэтому особую важность рандомизированный подход представляет для решения задач прогнозирования динамики накопления парниковых газов в термокарстовых озерах Арктики в связи с их влиянием на глобальные климатические изменения, что может явиться основой разработки и функционирования систем адаптации к меняющимся условиям среды обитания на различных управленческих уровнях. Отметим, что с использованием этого подхода для задач прогноза динамики арктических озер в [10, 11] были разработаны модели и эффективные алгоритмы восстановления пропусков во временных рядах экспериментальных данных о площадях озер, возникающих из-за отсутствия безоблачных космических снимков в периоды пасмурной погоды на арктических территориях.

В задачах моделирования и прогноза динамики полей термокарстовых озер наиболее характерной является ситуация, когда объемы массивов реальных данных скудны, а сами данные содержат ошибки. В этих условиях оценивание значений характеристик (параметров) модели осуществляется по малому количеству не вполне достоверных данных. Если их рассматривать как случайные объекты, то и оценки характеристик модели приобретают свойства случайных переменных. Поэтому естественным образом возникает предложение рассматривать параметры модели как случайные величины. Это предложение приводит к трансформации модели с детерминированными параметрами в модель со случайными параметрами, которую будем называть рандомизированной моделью.

Процессы образования и эволюции термокарстовых озер изучены недостаточно, исторические данные о площадях озер, получаемые по спутниковым снимкам, скудны и сопровождаются значительными погрешностями. Все это приводит к тому, что прогнозные модели должны функционировать в условиях достаточно высокой неопределенности. В [12] предлагается альтернативный существующему в машинном обучении подход, который назван *рандомизированным прогнозированием*. Этот подход основан на *рандомизированной параметризованной модели (РПМ)* исследуемого процесса, параметры которой предполагаются случайными величинами.

Поэтому под характеристиками *РПМ* понимаются функции плотности распределения вероятностей (*ПРВ*) параметров.

В отличие от детерминированных моделей, где восстанавливаются оценки параметров, в рандомизированных моделях необходимо сформировать оптимальные оценки функций *ПРВ*. Последнее достигается методами *рандомизированного машинного обучения (РМО)* [8]. Смысл *рандомизированного прогнозирования* состоит в том, чтобы, используя энтропийно-оптимизированную модель, генерировать ансамбль предсказательных траекторий при энтропийно-наихудших измерительных шумах (ошибках) и определять его числовые характеристики методами математической статистики.

Опыт использования рассматриваемого подхода для прогнозирования динамики площадей термокарстовых озер в [12] на примере арктической территории Западной Сибири показывает, что такой подход позволяет получать состоятельные и эффективные оценки параметров модели в условиях ограниченных объемов эмпирических данных. В цитированной работе [12] прогнозные оценки динамики площадей озер были получены средствами MATLAB. Однако для развития технологии рандомизированного прогнозирования возникает необходимость создания программно-алгоритмического комплекса прогнозирования, основанного на применении алгоритмов энтропийно-рандомизированного моделирования. Вопросы создания таких комплексов применительно к моделированию пространственно-временной динамики полей термокарстовых озер в настоящее время не разработаны, что определяет важность и актуальность поставленной задачи.

В связи с изложенным целью работы является рассмотрение вопросов создания программно-алгоритмического комплекса прогнозирования пространственно-временной динамики озерных полей Российской Арктики в условиях современных климатических изменений на основе методов и алгоритмов энтропийно-рандомизированного машинного обучения, ориентированных на использование исторических данных о временных рядах площадей термокарстовых озер и климатических параметрах за период последних десятилетий.

1. Общая характеристика исторических данных

Имеющиеся исторические данные для прогнозирования динамики термокарстовых озер на территориях арктических регионов России, согласно вышеизложенному, включают средние (по территории региона) значения площадей озер, среднегодовые значения температуры воздуха и годовые суммы осадков на территории этого региона, полученные за период последних 3–4 десятилетий [1–5]. Одной из важных особенностей исторических данных является наличие пропусков во временных рядах данных о средних площадях озер, вызванных отсутствием в некоторые годы безоблачных спутниковых снимков. Восстановление пропущенных значений о площадях озер проводится в рамках рассматриваемого подхода к прогнозированию динамики площадей озер с использованием рандомизированного алгоритма, что демонстрируется на примере территории Западно-Сибирской Арктики в [10, 11].

Важной проблемой прогнозирования эволюции термокарстовых озер является формирование временных рядов данных о климатических параметрах, наиболее существенно влияющих на изменение площадей арктических озер, основными из которых являются среднегодовая температура воздуха и годовая сумма осадков. Эти климатические параметры для прогнозирования динамики озер на исследуемой территории определяются с использованием известных систем реанализа метеорологических полей ERA-5, ERA-40, ERA-INTERIM и APHRODITE JMA.

Далее на рис. 1 приведем для иллюстрации графики временных рядов данных о площадях озер и климатических параметрах, полученные за период 1985–2021 гг. по результатам исследований на территории самого западного региона Российской Арктики – арктической тундры на севере Кольского полуострова.

Временные ряды данных на рис. 1 получены за период 1985–2021 гг. Отрезками сплошных линий на графиках отображены линейные тренды, определенные на основе аппроксимации временных рядов соответствующих показателей. Данные о площадях озер основаны на результатах измерения площадей озер по спутниковым изображениям Landsat. Вопросы получения этих данных рассматриваются в [3]. Особенностью данных о средних площадях озер является наличие пропусков во временных рядах этих данных, вызванных отсутствием в некоторые годы безоб-

ланных спутниковых снимков. Восстановление пропущенных значений о площадях озёр проводится с использованием рандомизированного алгоритма [10].

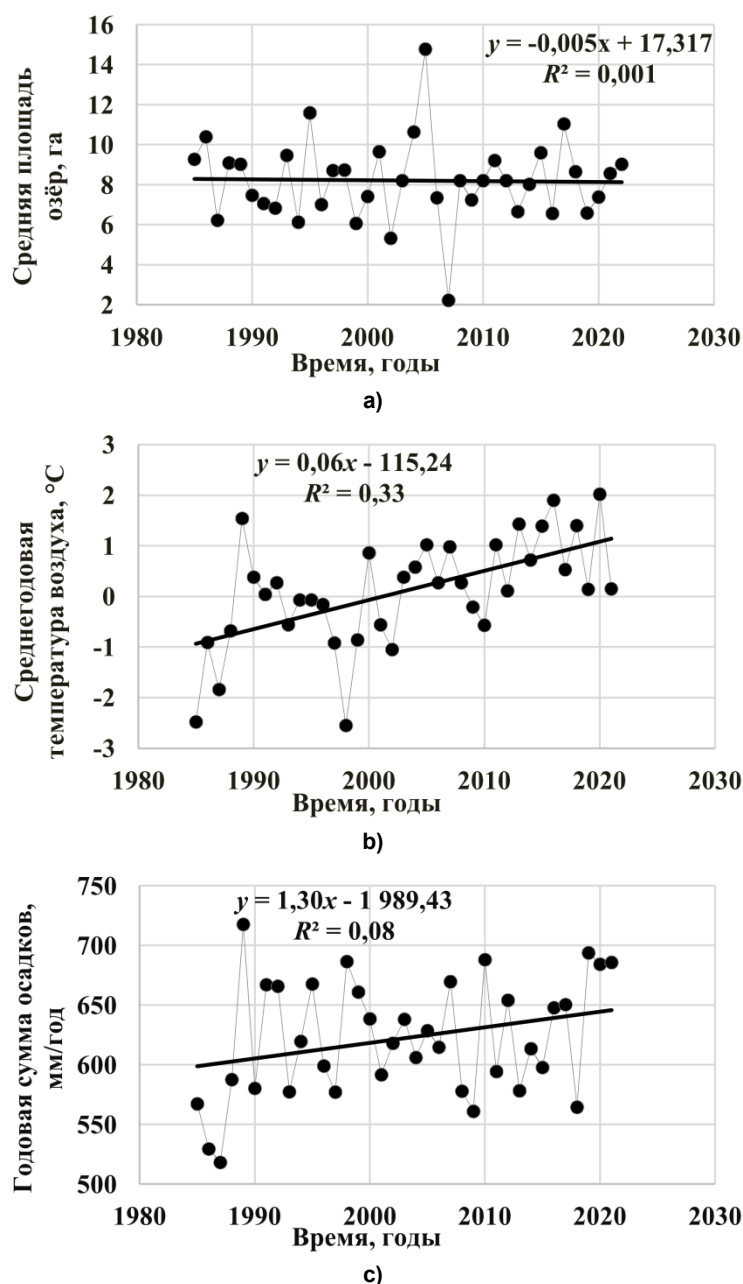


Рис. 1. Графики временных рядов средней площади термокарстовых озёр (а), среднегодовой температуры воздуха (б) и годовой суммы осадков (с) на арктической территории Кольского полуострова
Fig. 1. Time series graphs of the average area of thermokarst lakes (a), average annual air temperature (b) and annual summa precipitation (c) on the Arctic territory of the Kola Peninsula

Временные ряды среднегодовой температуры и годовой суммы осадков получены по результатам реанализа, являющегося способом получения метеорологической информации в заданных пунктах исследуемой территории. Преимуществом данных реанализа является равномерное покрытие территории. В настоящей работе для определения температуры и годовой суммы осадков на исследуемой территории использовались данные системы реанализа ERA-5. График временного хода среднегодовых значений температуры воздуха на рис. 1б показывает рост среднегодовой температуры со временем с величиной коэффициента линейного тренда $\alpha_1 = 0,06$ °C/год как результат

потепления. Временной ход годовой суммы осадков показывает увеличение во времени годовой суммы осадков с коэффициентом линейного тренда $\alpha_2 = 1,30$ мм/год на Кольской территории.

2. Алгоритмические основы рандомизированного моделирования

Важными этапами разработки рандомизированной параметризованной модели (РПМ) для прогнозирования эволюции термокарстовых озер является обучение и тестирование модели. Обучение РПМ состоит в оценивании ПРВ ее параметров и шумов по имеющимся данным. Обучение реализуется с помощью алгоритмов РМО [8, 9], использующих исторические данные о площадях озер, среднегодовых значениях температуры и годовых суммах осадков на исследуемых территориях, которые получены за 35–40-летний период.

Согласно [12], формирование рандомизированных моделей эволюции площади термокарстовых озер и влияющих на нее климатических параметров предполагает для моделирования указанных переменных использование математических моделей линейной динамической рандомизированной регрессии (ЛДРР). Временная эволюция площади озер (ЛДРР-П) $S[n]$ описывается следующим уравнением динамической рандомизированной регрессии с двумя влияющими факторами – среднегодовой температурой $T[n]$ и годовой суммой осадков $R[n]$:

$$S[n] = a_0 + \sum_{k=1}^p a_k S[n-k] + a_{(p+1)} T[n] + a_{(p+2)} R[n],$$

где

$$a_k \in \mathcal{A}_k = [a_k^-, a_k^+], \quad k = \overline{0, (p+2)};$$

$$a = \{a_0, \dots, a_{p+2}\} \in \mathcal{A} = \bigcup_{k=0}^{p+2} \mathcal{A}_k.$$

Наблюдаемый выход модели

$$v[n] = S[n] + \xi[n],$$

где $\xi[n]$ – измерительный шум.

Случайные параметры модели характеризуются функцией ПРВ $P(a)$. Значения случайного измерительного шума $\xi[n]$ в различные моменты n времени могут принадлежать различным интервалам:

$$\xi[n] \in \Xi_n = [\xi^-[n], \xi^+[n]]$$

с функцией ПРВ $Q_n(\xi[n])$, $n = \overline{0, N}$.

Для обучения этой модели, т. е. оценивания функций ПРВ $P(a)$, $Q_n(\xi[n])$ используются коллекции исторических данных о площади озер, температуре и осадках. Однако на этапе прогнозирования площади прогнозные данные о температуре и осадках отсутствуют. Для их генерации на этапе прогнозирования эволюции озер формируются вспомогательные модели температуры ЛДРР-Т и осадков ЛДРР-О. Подробное описание этих моделей дано в [12].

3. Архитектура программно-алгоритмического комплекса

ПАК имеет микросервисную архитектуру [13], т. е. некоторые его части (сервисы) существуют автономно, являясь отдельными узкоспециализированными приложениями, и взаимодействуют с остальными компонентами по сети. Для реализации многопользовательского режима работы ПАК, а также для повышения отказоустойчивости, необходимо управление очередью сообщений, представляющих собой задачи для прогнозирования или подготовки данных. Для управления очередью сообщений выбран программный продукт с открытым исходным кодом Apache Kafka [14]. Архитектура программно-алгоритмического комплекса представлена на рис. 2.

Дадим описание основных составных частей схемы на рис. 2. Интерфейс ПАК разработан на основе широко используемой при создании геопорталов серверной географической информационной системы NextGIS Web [15], обеспечивающей функции: создание и отображение цифровых карт и использование их в качестве геопорталов; выполнение навигации по картам; взаимодействие с внешними программами; отображение данных в виде графиков; загрузка данных о площадях озер в виде Shape-файлов и таблиц Excell; загрузку данных о климатических параметрах в виде таблиц Excell. Часть перечисленных функций являются встроенными в NextGIS Web, остальные реализуются в процессе разработки ПАК.

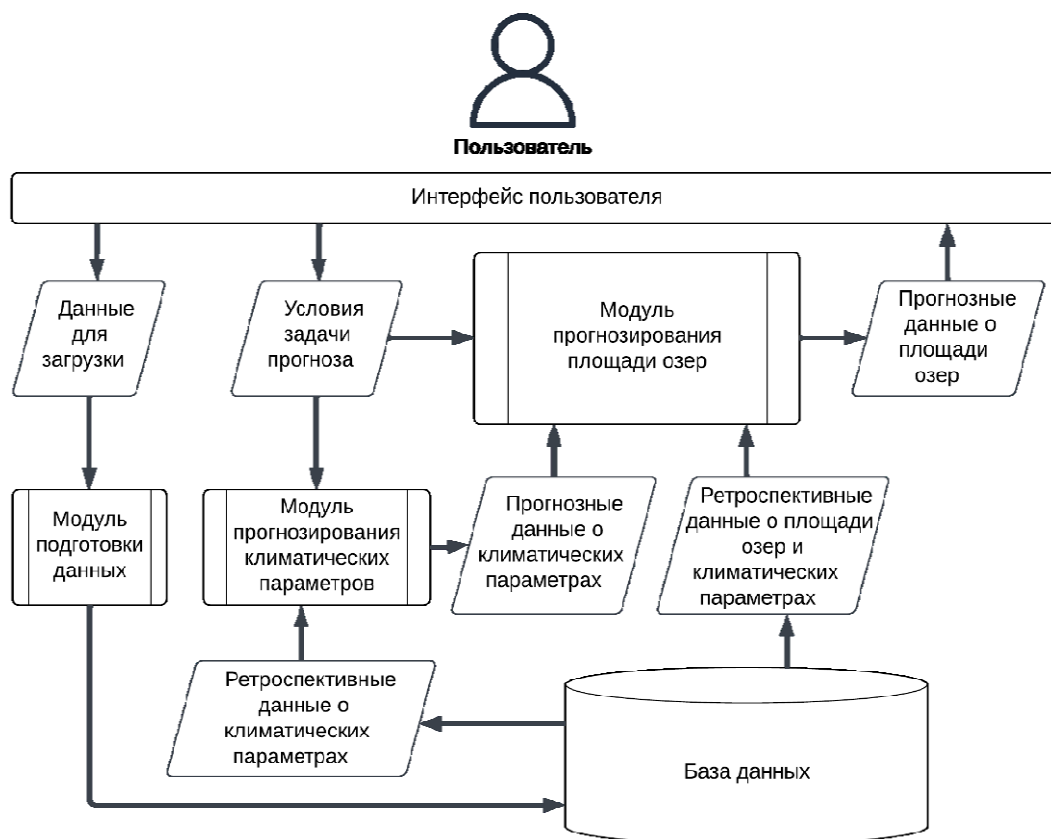


Рис. 2. Архитектура программно-алгоритмического комплекса
Fig. 2. Architecture of the software-algorithmic complex

В качестве СУБД сервера базы данных выбрана широко используемая PostgreSQL [16] с расширением PostGIS [17], позволяющая хранить геоданные и имеющая встроенные пространственные функции (определение пересечения, расчет площади и т. п.).

Указанные на рис. 2 модули прогнозирования имеют схожую структуру, но основаны на разных моделях. Модули прогнозирования включают компоненты обучения, тестирования и прогнозирования. Модуль прогнозирования площади озер основан на модели ЛДРР-П, модуль прогнозирования климатических параметров – на моделях ЛДРР-О и ЛДРР-Т. Все модули прогнозирования объединены в один сервис, реализованный на языке программирования Python 3.10. Взаимодействие с этим сервисом осуществляется через очередь сообщений.

Модуль подготовки данных реализован как отдельный сервис, разработанный на языке Python 3.10. Он включает в себя компоненту восстановления пропусков в данных о средней площади озер, возникающих из-за большого количества пасмурных дней на арктических территориях. Загружаемые в ПАК данные имеют форматы Shape-файлов и таблиц Excel. Конечным результатом работы ПАК являются временные ряды прогнозных значений средней площади озер в заданных арктических регионах. Предполагается возможность свободного использования разработанного исходного программного кода ПАК согласно лицензии GPLv3 [18]. Заметим, что NextGIS Web – серверная ГИС, на основе которой разработан интерфейс ПАК, также распространяется на основе лицензии GPLv3.

Заключение

Разработан программно-алгоритмический комплекс энтропийно-рандомизированного прогнозирования пространственно-временной динамики полей термокарстовых озер арктической зоны России в условиях современных климатических изменений. Архитектура программно-алгоритмического комплекса (ПАК) ориентирована на использование алгоритмов рандомизированного моделирования, позволяющих вычислять оценки функций плотности распределения вероятностей (ПРВ) параметров модели линейной динамической регрессии и измерительных шу-

мов. Исторические данные о динамике площадей термокарстовых озер арктической зоны, загружаемые в базу данных ПАК, основаны на дистанционных измерениях площадей озер по космическим снимкам Landsat. При прогнозировании динамики площадей озер климатические данные для прогнозного периода неизвестны. Поэтому в ПАК предусмотрена возможность прогнозирования климатических параметров с использованием моделей динамической регрессии со входом в виде случайной последовательности, *ПРВ* которых определяются с помощью процедуры энтропийно-рандомизированного машинного обучения и коллекции обучающих данных. Программно-алгоритмический комплекс реализован на основе современной веб-геоинформационной системы NextGIS Web, позволяющей включать прикладные программы рандомизированного прогнозирования на языке Python.

Список литературы

1. Закономерности распределения размеров термокарстовых озер / А.С. Викторов, В.Н. Карпалова, Т.В. Орлов и др. // Доклады Академии наук. 2017. Т. 474, № 5. С. 625–627. DOI: 10.7868/S0869565217050218
2. Carbon Emission from Thermokarst Lakes in NE European Tundra / S. Zabelina, L. Shirokova, S. Klimov et al. // Limnology and Oceanography. 2020. Vol. 66, iss. S1. P. 1–15. DOI: 10.1002/lno.11560
3. Minor contribution of small thaw ponds to the pools of carbon and methane in the inland waters of the permafrost-affected part of the Western Siberian lowland / Y.M. Polishchuk, A.N. Bogdanov, I.N. Muratov et al. // Environmental Research Letters. 2018. Vol. 13, no. 4. P. 1–16. DOI: 10.1088/1748-9326/aab046
4. A Global Inventory of Lakes Based on High Resolution Satellite Imagery / C. Verpoorter, T. Kutser, D.A. Seekel, L.J. Tranvik // Geophysical Research Letters, 2014. Vol. 41. P. 6396–6402. DOI: 10.1002/2014GL060641
5. Webb E.E., Liljedahl A.K. Diminishing lake area across the northern permafrost zone // Nature Geoscience. 2023. Vol. 16. P. 202–209. DOI: 10.1038/s41561-023-01128-z
6. Методические вопросы оценки запасов метана в малых термокарстовых озерах криолитозоны Западной Сибири / Ю.М. Полищук, В.Ю. Полищук, Н.А. Брыксина и др. // Известия Томского политехнического университета. Инжиниринг георесурсов. 2015. Т. 326, № 2. С. 127–135.
7. Polishchuk Y.M., Muratov I.N., Polishchuk V.Y. Remote research of spatiotemporal dynamics of thermokarst lakes fields in Siberian permafrost. Ch. 8 // The Arctic: Current Issues and Challenges; Eds.: O.S. Pokrovsky, S.N. Kirpotin, A.I. Malov. New York: Nova Science Publishers, 2020. P. 208–237.
8. Попков Ю.С., Попков А.Ю., Дубнов Ю.А. Рандомизированное машинное обучение при ограниченных объемах данных. М.: URSS, 2019. 310 с.
9. Popkov Y.S., Popkov A.Y. New Method of Entropy-Robust Estimation for Randomized Models under Limited Data // Entropy. 2014. Vol. 16, no. 2. P. 675–698. DOI: 10.3390/e16020675
10. A randomized algorithm for restoring missing data in the time series of lake areas using information on climatic parameters / Y.S. Popkov, E.S. Sokol, A.V. Melnikov et al. // Advances in Social Science, Education and Humanities Research. 2020. Vol. 483. P. 186–190. DOI: 10.2991/assehr.k.201029.035
11. Entropy-Randomized Method for the Reconstruction of Missing Data / Y.A. Dubnov, V.Y. Polishchuk, Y.S. Popkov et al. // Automation and Remote Control. 2021. Vol. 82, no. 4. P. 670–686. DOI: 10.1134/S0005117921040056
12. Алгоритмы рандомизированного машинного обучения для прогнозирования эволюции площади термокарстовых озер в зонах вечной мерзлоты / Ю.А. Дубнов, А.Ю. Попков, В.Ю. Полищук и др. // Автоматика и телемеханика. 2023. № 1. С. 98–120. DOI: 10.31857/S0005231023010051
13. Микросервисы. Паттерны разработки и рефакторинга. СПб.: Питер, 2019. 544 с.
14. *Apache Kafka*. URL: <https://kafka.apache.org/documentation/> (дата обращения: 02.06.2023).
15. *NextGIS Web*. URL: https://docs.nextgis.ru/docs_ngweb/source/toc.html#nextgis-web (дата обращения: 02.06.2023).
16. *PostgreSQL*. URL: <https://postgrespro.ru/docs/postgresql> (дата обращения: 02.06.2023).
17. *PostGIS*. URL: <https://postgis.net/documentation/> (дата обращения: 02.06.2023).
18. *Standard public license GNU (GPL)*. URL: <https://www.gnu.org/licenses/gpl-3.0.html> (дата обращения: 02.06.2023).

References

1. Viktorov A.S., Kapralova V.N., Orlov T.V. et al. Consistent patterns of the size distribution of thermokarst lakes. *Doklady Earth Sciences*. 2017;474(2):692–694. DOI: 10.1134/S1028334X17060162
2. Zabelina S., Shirokova L., Klimov S. et al. Carbon Emission from Thermokarst Lakes in NE European Tundra. *Limnology and Oceanography*. 2020;66(S1):1–15. DOI: 10.1002/Ino.11560
3. Polishchuk Y.M., Bogdanov A.N., Muratov I.N. et al. Minor contribution of small thaw ponds to the pools of carbon and methane in the inland waters of the permafrost-affected part of the Western Siberian lowland. *Environmental Research Letters*. 2018;13(4):1–16. DOI: 10.1088/1748-9326/aab046
4. Verpoorter C., Kutser T., Seekel D.A., Tranvik L.J. A Global Inventory of Lakes Based on High Resolution Satellite Imagery. *Geophys. Geophysical Research Letters*. 2014;41:6396–6402. DOI: 10.1002/2014GL060641
5. Webb E.E., Liljedahl A.K. Diminishing lake area across the northern permafrost zone. *Nature Geoscience*. 2023;16:202–209. DOI: 10.1038/s41561-023-01128-z
6. Polishchuk Yu.M., Polishchuk V.Yu., Pokrovsky O.S., Kirpotin S.N., Shirokova L.S. [Methodological issues of estimating methane reserves in small thermokarst lakes in the permafrost zone of Western Siberia]. *Bulletin of the Tomsk polytechnic university. Geo assets engineering*. 2015;326(2):127–135. (In Russ.)
7. Polishchuk Y.M., Muratov I.N., Polishchuk V.Y. Remote research of spatiotemporal dynamics of thermokarst lakes fields in Siberian permafrost. Ch. 8. In: *Pokrovsky O.S., Kirpotin S.N., Malov A.I. (Eds.). The Arctic: Current Issues and Challenges*. New York: Nova Science Publishers; 2020. P. 208–237.
8. Popkov Yu.S., Popkov A.Yu., Dubnov Yu.A. *Randomizirovannoe mashinnoe obuchenie pri ogranichennykh ob'emakh dannykh* [Randomized Machine Learning with Limited Data]. Moscow: URSS Publ.; 2019. 310 p. (In Russ.)
9. Popkov Y.S., Popkov A.Y. New Method of Entropy-Robust Estimation for Randomized Models under Limited Data. *Entropy*. 2014;16(2):675–698. DOI: 10.3390/e16020675
10. Popkov Y.S., Sokol E.S., Melnikov A.V. et al. A randomized algorithm for restoring missing data in the time series of lake areas using information on climatic parameters. *Advances in Social Science, Education and Humanities Research*. 2020;483:186–190. DOI: 10.2991/assehr.k.201029.035
11. Dubnov Y.A., Polishchuk V.Y., Popkov Y.S. et al. Entropy-Randomized Method for the Reconstruction of Missing Data. *Automation and Remote Control*. 2021;82(4):670–686. DOI: 10.1134/S0005117921040056
12. Dubnov Y.A., Popkov A.Y., Polishchuk V.Y. et al. Randomized Machine Learning Algorithms to Forecast the Evolution of Thermokarst Lakes Area in Permafrost Zones. *Automation and Remote Control*. 2023;84(1):56–70. DOI: 10.1134/S0005117923010034
13. *Mikroservisy. Patterny razrabotki i refaktoringa* [Microservices. Development and refactoring patterns]. St. Petersburg: Piter Publ.; 2019. 544 p. (In Russ.)
14. *Apache Kafka*. Available at: <https://kafka.apache.org/documentation/> (accessed 02.06.2023).
15. *NextGIS Web*. Available at: https://docs.nextgis.ru/docs_ngweb/source/toc.html#nextgis-web (accessed 02.06.2023).
16. *PostgreSQL*. Available at: <https://postgrespro.ru/docs/postgresql> (accessed 02.06.2023).
17. *PostGIS*. Available at: <https://postgis.net/documentation/> (accessed 02.06.2023).
18. *Standard public license GNU (GPL)*. Available at: <https://www.gnu.org/licenses/gpl-3.0.html> (accessed 02.06.2023).

Информация об авторах

Сокол Евгений Сергеевич, начальник отдела информационных систем, ведущий специалист, Югорский научно-исследовательский институт информационных технологий, Ханты-Мансийск, Россия; eugen137@gmai.com.

Тогачев Александр Алексеевич, главный специалист Центра космического обслуживания, Югорский научно-исследовательский институт информационных технологий, Ханты-Мансийск, Россия; togachevaa@uriit.ru.

Попков Алексей Юрьевич, канд. техн. наук, ведущий научный сотрудник, Федеральный исследовательский центр «Информатика и управление» Российской академии наук, Москва, Россия; Popkov.alexey@gmail.com.

Дубнов Юрий Андреевич, научный сотрудник, Федеральный исследовательский центр «Информатика и управление» Российской академии наук, Москва, Россия; Национальный исследовательский университет «Высшая школа экономики», Москва, Россия; yury.dubnov@phystech.edu.

Полищук Владимир Юрьевич, канд. техн. наук, научный сотрудник Отдела геоинформационных технологий, Институт мониторинга климатических и экологических систем Сибирского отделения Российской академии наук, Томск, Россия; liquid_metal@mail.ru.

Попков Юрий Соломонович, д-р техн. наук, проф., академик РАН, главный научный сотрудник, Федеральный исследовательский центр «Информатика и управление» Российской академии наук, Москва, Россия; Институт проблем управления им. В.А. Трапезникова Российской академии наук, Москва, Россия; popkov.yuri@gmail.com.

Мельников Андрей Витальевич, д-р техн. наук, проф., директор, Югорский научно-исследовательский институт информационных технологий, Ханты-Мансийск, Россия; MelnikovAV@uriit.ru.

Полищук Юрий Михайлович, д-р физ.-мат. наук, проф., главный научный сотрудник Центра космического обслуживания, Югорский научно-исследовательский институт информационных технологий, Ханты-Мансийск, Россия; yupolishchuk@gmail.com.

Information about the authors

Eugeny S. Sokol, Head of the Information Systems Department, Leading Specialist, Ugra Research Institute of Information Technologies, Khanty-Mansiysk, Russia; eugen137@gmai.com.

Aleksandr A. Togachev, Chief specialist of the Space Service Center, Ugra Research Institute of Information Technologies, Khanty-Mansiysk, Russia; togachevaa@uriit.ru.

Aleksey Yu. Popkov, Cand. Sci. (Eng.), Senior researcher, Federal Research Center Computer Science and Control of the Russian Academy of Sciences, Moscow, Russia; Popkov.alexey@gmail.com.

Yury A. Dubnov, Researcher, Federal Research Center Computer Science and Control of the Russian Academy of Sciences, Moscow, Russia; National Research University Higher School of Economics, Moscow, Russia; yury.dubnov90@phystech.edu.

Vladimir Yu. Polishchuk, Cand. Sci. (Eng.), Researcher of the Geoinformation Technologies Department, Institute of Monitoring of Climatic and Ecological Systems of the Siberian Branch of the Russian Academy of Sciences, Tomsk, Russia; liquid_metal@mail.ru.

Yuri S. Popkov, Dr. Sci. (Eng.), Prof., RAS Academician, Principal researcher, Federal Research Center Computer Science and Control of the Russian Academy of Sciences, Moscow, Russia; V.A. Trapeznikov Institute of Control Sciences of Russian Academy of Sciences, Moscow, Russia; popkov.yuri@gmail.com.

Andrey V. Melnikov, Dr. Sci. (Eng.), Prof., Director, Ugra Research Institute of Information Technologies, Khanty-Mansiysk, Russia; MelnikovAV@uriit.ru.

Yury M. Polishchuk, Dr. Sci. (Phys. and Math.), Prof., Principal researcher of the Space Service Center, Ugra Research Institute of Information Technologies, Khanty-Mansiysk, Russia; yupolishchuk@gmail.com.

Статья поступила в редакцию 05.06.2023

The article was submitted 05.06.2023

Управление в технических системах Control in technical systems

Научная статья
УДК 004.942
DOI: 10.14529/ctcr230403

РЕАЛИЗАЦИЯ ЦИФРОВОГО ДВОЙНИКА В СРЕДЕ МОДЕЛИРОВАНИЯ MАРС

В.М. Дмитриев, dmitriewvm@gmail.com

Л.А. Гембух, lev.gembuh@mail.ru, <https://orcid.org/0000-0002-6714-352X>

А.Е. Сахабутдинов, ale.xander.s@yandex.ru, <https://orcid.org/0000-0001-8675-2817>

Томский государственный университет систем управления и радиоэлектроники,
Томск, Россия

Аннотация. В статье рассмотрена методика построения цифрового двойника для имитации процессов старения компонентов электрической схемы и связанных с ними постепенными отказами оборудования. Данный двойник создается посредством плат ввода-вывода, подключаемых к микроконтроллеру STM32. Это позволяет передавать некоторый аналоговый сигнал от объекта и оцифровывать его в микроконтроллере, который далее передается на компьютер с запущенной на нем средой моделирования MАРС. Другой канал реализует те же сигналы, но от компьютерной модели объекта, и далее сигналы с компьютерной модели и с реального объекта сравниваются с помощью компаратора, а затем визуализируются с помощью виртуального осциллографа. Приведена программно-аппаратная реализация цифрового двойника. **Цель:** реализовать цифровой двойник выпрямителя с фильтром в среде моделирования MАРС. **Методы.** Для реализации цифрового двойника необходимо собрать электрическую схему реального объекта, а также собрать виртуальную схему на основе компонентов среды моделирования MАРС. Затем необходимо симулировать деградацию параметров реального объекта путем понижения емкости конденсатора. Сравнение сигналов напряжений, полученных с реального объекта и виртуальной модели, происходит при помощи сопоставления коэффициентов пульсаций. По разнице коэффициентов пульсаций определить, находится ли отклонение напряжения на конденсаторе реального объекта от напряжения на конденсаторе виртуального объекта в заданном допустимом диапазоне. **Результаты.** Собрана электрическая схема выпрямителя с фильтром. Реализована виртуальная схема выпрямителя с фильтром в среде моделирования MАРС. Проведен эксперимент, имитирующий деградацию параметров реального объекта. Полученные результаты визуализированы при помощи виртуального осциллографа. Рассчитаны коэффициенты пульсаций и их разница. **Заключение.** Проведенный эксперимент показал, что цифровой двойник справляется со своей задачей, а именно – с выявлением сильного отклонения заданных параметров от нормы.

Ключевые слова: цифровой двойник, объект, модель, MАРС, STM32

Для цитирования: Дмитриев В.М., Гембух Л.А., Сахабутдинов А.Е. Реализация цифрового двойника в среде моделирования MАРС // Вестник ЮУрГУ. Серия «Компьютерные технологии, управление, радиоэлектроника». 2023. Т. 23, № 4. С. 26–36. DOI: 10.14529/ctcr230403

Original article
DOI: 10.14529/ctcr230403

DIGITAL TWIN IN SIMULATION ENVIRONMENT MARS

V.M. Dmitriev, dmitriewvm@gmail.com

L.A. Gembuh, lev.gembuh@mail.ru, <https://orcid.org/0000-0002-6714-352X>

A.E. Sakhabutdinov, ale.xander.s@yandex.ru, <https://orcid.org/0000-0001-8675-2817>

Tomsk State University of Control Systems and Radioelectronics, Tomsk, Russia

Abstract. The article considers a technique for constructing a digital twin to simulate the aging processes of electrical circuit components and associated gradual equipment failures. This twin is created by means of I/O boards connected to the STM 32 microcontroller. This allows you to transfer some analog signal from the object and digitize it in the microcontroller, which is then transferred to a computer running the MARS simulation environment on it. The other channel implements the same signals, but from the computer model of the object and further, the signals from the computer model and from the real object are compared using a comparator, and then visualized using a virtual oscilloscope. The hardware-software implementation of the digital twin is given. **Goal:** implement a digital twin of a rectifier with a filter in the MARS simulation environment. **Methods.** To implement a digital twin, it is necessary to assemble an electrical circuit of a real object, as well as assemble a virtual circuit based on the components of the MARS simulation environment. Then it is necessary to simulate the degradation of the parameters of a real object by lowering the capacitance of the capacitor. Comparison of voltage signals obtained from a real object and a virtual model is carried out by comparing the ripple coefficients. By the difference in ripple coefficients, determine whether the deviation of the voltage on the capacitor of the real object from the voltage on the capacitor of the virtual object is within the specified allowable range. **Results.** An electrical circuit of a rectifier with a filter has been assembled. A virtual circuit of a rectifier with a filter has been implemented in the MARS simulation environment. An experiment simulating the degradation of the parameters of a real object was carried out. The results obtained are visualized using a virtual oscilloscope. The pulsation coefficients and their difference are calculated. **Conclusion.** The experiment showed that the digital twin copes with its task, namely, the detection of a strong deviation of the given parameters from the norm.

Keywords: digital twin, object, model, MARS, STM 32

For citation: Dmitriev V.M., Gembuh L.A., Sakhabutdinov A.E. Digital twin in simulation environment MARS. *Bulletin of the South Ural State University. Ser. Computer Technologies, Automatic Control, Radio Electronics*. 2023;23(4):26–36. (In Russ.) DOI: 10.14529/ctcr230403

Введение

В настоящее время активно развивается область моделирования различных процессов и явлений. Одним из перспективных направлений развития моделирования является проведение моделирования в специализированных средах моделирования, позволяющих имитировать различные процессы и явления реального мира. Моделирование поведения реальных объектов в среде моделирования позволяет пронаблюдать за их реакцией на изменяющиеся условия, а также спрогнозировать их поведение в определенном промежутке времени.

В ходе эксплуатации любого технического объекта имеет место быть деградация компонентов. Она может проявляться на примере эксплуатации литий-серных аккумуляторов [1]. В связи с этой проблемой возникает необходимость в реализации такой модели, которая позволит отслеживать состояние параметров в реальном времени и оповещать о текущем состоянии объекта. Также в перспективе такая модель должна имитировать процесс деградации компонентов с целью получить возможность принять превентивные меры до выхода объекта из работоспособного состояния.

В данной работе рассмотрена концепция цифровых двойников, а также представлена своя концепция цифрового двойника, реализованного в среде моделирования MАРС (СМ MАРС) [2]. Описана схема цифрового двойника, имитирующего работу схемы выпрямителя напряжения в условиях деградации компонентов.

Данная схема позволяет предотвратить серьезные отклонения параметров электрической схемы от допустимых значений путем раннего предупреждения об отклонении какой-либо электрической характеристики.

Концепция цифрового двойника

Цифровой двойник – это программный аналог физического устройства, моделирующий внутренние процессы, технические характеристики и поведение реального объекта в условиях воздействий помех и окружающей среды. В концепции цифрового двойника виртуальная модель не отбрасывается после создания материального объекта, а используется в связке с ним на протяжении всего его жизненного цикла: на этапе тестирования, доработки, эксплуатации и утилизации. Важно отметить, что связь между физическим и цифровым двойником продолжается и после создания физического объекта, что позволяет отслеживать характеристики и историю обслуживания каждого изделия (физического двойника), а также выявлять и сообщать об аномальном его поведении и рекомендовать/планировать техническое обслуживание. То есть цифровой двойник не ограничивается задачами разработки продукта, а решает задачи поддержания его на всех стадиях жизненного цикла. Например, когда продукт выходит на стадию эксплуатации, параметры его работы могут быть собраны с помощью датчиков и использованы для улучшения цифровой модели. Цифровой двойник на базе высокоадекватной математической модели может использоваться для диагностики проблем с реальным объектом и прогнозировать оптимальные циклы его профилактического обслуживания [3].

Многие ученые, занимавшиеся проблемами цифровых двойников, дают различные понятия термину «цифровой двойник». Впервые концепцию цифрового двойника описал М. Гриффин в 2003 г. [4].

Следует отличать цифровой двойник от таких понятий, как «цифровая модель» и «цифровая тень»:

– цифровая модель – описывается как цифровая версия ранее существовавшего или планируемого физического объекта, для правильного определения цифровой модели не должно быть автоматического обмена данными между физической моделью и цифровой моделью. Примерами цифровой модели могут быть планы зданий, проекты и разработки продуктов. Важной отличительной чертой является отсутствие формы автоматического обмена данными между физической системой и цифровой моделью. Это означает, что после создания цифровой модели изменения, внесенные в физический объект, никоим образом не влияют на цифровую модель [5];

– цифровая тень – это цифровое представление объекта, который имеет односторонний поток между физическим и цифровым объектом. Изменение состояния физического объекта приводит к изменению цифрового объекта, а не наоборот [6];

– цифровой двойник – если данные передаются между существующим физическим объектом и цифровым объектом и они полностью интегрированы в обоих направлениях, это представляет собой «цифровой двойник». Изменение физического объекта автоматически приводит к изменению цифрового объекта и наоборот. На рис. 1 показан цифровой двойник. Эти три определения помогают выявить распространенные заблуждения, встречающиеся в литературе. Одно из них гласит, что цифровые двойники должны быть точной трехмерной моделью физического объекта. В то же время некоторые люди считают, что цифровой двойник – это просто 3D-модель, созданная в графическом редакторе [7].

На текущий момент, цифровые двойники делятся на следующие типы:

– прототип – представляет собой виртуальный аналог реального объекта, который содержит все данные для производства оригинала;

– экземпляр – содержит данные обо всех характеристиках и эксплуатации физического объекта, включая трехмерную модель, и действует параллельно с оригиналом;

– агрегированный двойник – вычислительная система из цифровых двойников и реальных объектов, которыми можно управлять из единого центра и обмениваться данными [8].

Концепция цифрового двойника в среде моделирования МАРС

В качестве объекта исследования в данной работе будут рассматриваться сложные технические управляемые системы (СТУС). Целью работы является исследование структуры ЦД в про-

екции метода многоуровневых компонентных цепей для сложных технических систем. В задачи проводимых исследований входит адаптация комплексной модели СТУС к особенностям структурных характеристик ЦД как для каждого из слоев многоуровневой модели, так и для ее периферии, связанной с подготовкой, обработкой и регистрацией данных.

Рассмотрим здесь методику построения ЦД для сложных технических систем на основе метода многоуровневых компонентных цепей (МКЦ). Она впервые была предложена в работе [9] и является хорошей основой для построения ЦД, но требует дальнейшего развития и детализации. Цифровой двойник формируется в виде компьютерной модели сложной технической управляемой системы, состоящей из трех взаимосвязанных уровней:

- объектный уровень, содержащий в себе компьютерную модель СТУС, ее вход-выходные переменные и переменные состояния участвующих в реализации алгоритма функционирования системы, с подключенными к ней моделями исполнительных и измерительных устройств;
- логический, который содержит имитационную модель алгоритма функционирования системы управления СТУС, а также блоки обработки данных;
- визуальный, на котором осуществляется визуализация данных, полученных с логического слоя, а также формирование задающих воздействий, представляющих собой команды пользовательского или интеллектуального управления.

Работа цифрового двойника, представленная в данной статье, реализована при помощи СМ MАРС. Данная среда разрабатывается на кафедре КСУП и позволяет осуществлять моделирование различных процессов, а также работу различной периферии. В качестве периферии могут выступать микроконтроллеры. На рис. 1 представлена общая структурно-функциональная схема работы цифрового двойника.

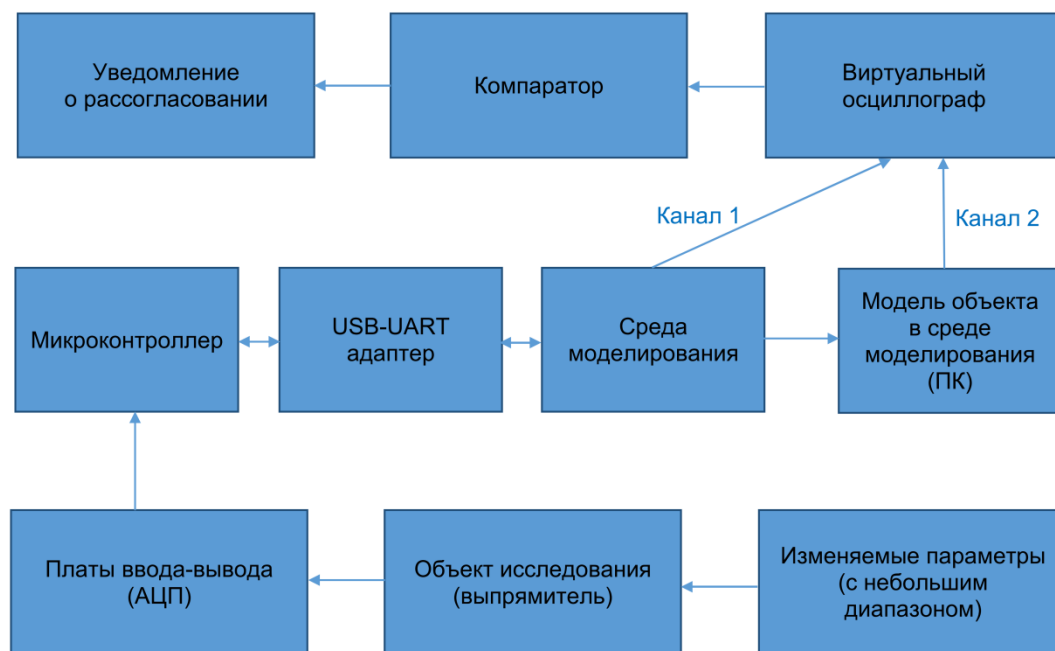


Рис. 1. Схема цифрового двойника
Fig. 1. Digital twin diagram

Как видно из схемы, представленной на рис. 1, у нас имеется объект исследования, у которого можно варьировать некоторые параметры в небольшом диапазоне, имитируя процесс деградации компонентов. Данный объект посредством плат ввода-вывода подключен к микроконтроллеру. Это позволяет передавать и обрабатывать некоторый аналоговый сигнал, характеризующий значение тока и напряжения. Микроконтроллер оцифровывает аналоговый сигнал, поступающий с объекта исследования, после чего передает оцифрованный сигнал на компьютер с запущенной СМ MАРС посредством USB-UART-адаптера фирмы FTDI [10]. В СМ MАРС полученный с микроконтроллера сигнал обрабатывается и затем передается на блок виртуального осциллографа, также реализованного в СМ MАРС [11]. В то же время в данной среде собрана компьютерная

модель объекта исследования, имитирующая его работу на основе математической логики. Значение сигнала, выходящего с компьютерной модели, передается на канал блока виртуального осциллографа, после чего реальный сигнал, полученный с реального объекта исследования, и сигнал, полученный с компьютерной модели, сравниваются между собой. В случае если сигнал, полученный с реального объекта, значительно отличается от идеального сигнала, полученного с компьютерной модели, выдается предупреждение о рассогласовании.

Описание реализации стенда и цифрового двойника

Для имитации работы цифрового двойника была собрана схема простейшего выпрямителя напряжения с фильтром, состоящая из трансформатора, диодного моста, фильтра из двух конденсаторов, дросселя и сопротивления нагрузки (рис. 2).

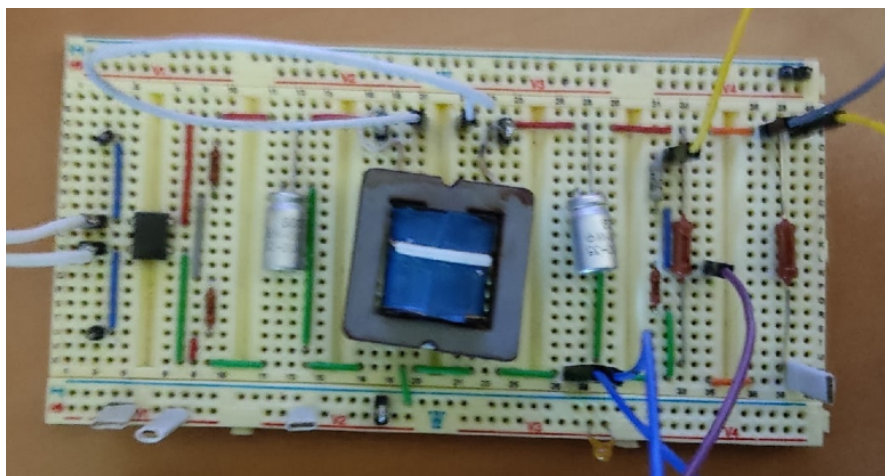


Рис. 2. Схема простейшего выпрямителя напряжения с фильтром
Fig. 2. Scheme of the simplest voltage rectifier with a filter

Передача аналогового сигнала с данной схемы на компьютер осуществляется при помощи USB-адаптера FTDI и микроконтроллера STM32.

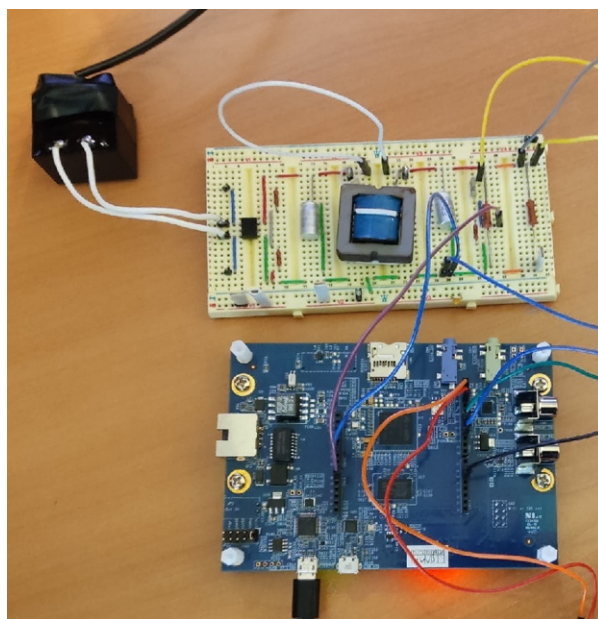


Рис. 3. Собранный стенд для реализации цифрового двойника
Fig. 3. Assembled stand for the implementation of a digital double

В начале входное напряжение со схемы уменьшается делителем напряжения для того, чтобы подстроиться к входному напряжению согласно техническим требованиям микроконтроллера STM32 [12]. Для STM32 входное напряжение не должно превышать 3,6 В.

В тот момент, как выходное с платы напряжение понижается, оно передается на ногу микроконтроллера в виде аналогового сигнала. На микроконтроллере полученное значение оцифровывается с помощью аналого-цифрового преобразователя (АЦП), после чего осуществляется его передача по интерфейсу UART через USB-UART-адаптер FTDI (рис. 3) [13]. Для ускорения процесса оцифровки аналогового сигнала используется опрос АЦП через direct memory access (DMA) [14, 15]. Передача через USB-UART-адаптер происходит со скоростью 900 000 бит/с.

В СМ МАРС реализована схема, осуществляющая расчет коэффициента пульсации [16]. Расчет коэффициента пульсации напряжения проводится по формуле

$$k = \frac{U_{\max} - U_{\min}}{U_{\max} + U_{\min}},$$

где U_{\max} – максимальное значение амплитуда пульсации, U_{\min} – минимальное значение амплитуды пульсации.

Данный коэффициент будет использоваться для количественного сравнения амплитуды пульсаций, полученных с реальной и виртуальной схем.

Для получения коэффициента пульсации с модели выпрямителя в CM MARS была построена виртуальная схема, имитирующая работу реальной схемы, собранной ранее (рис. 4).

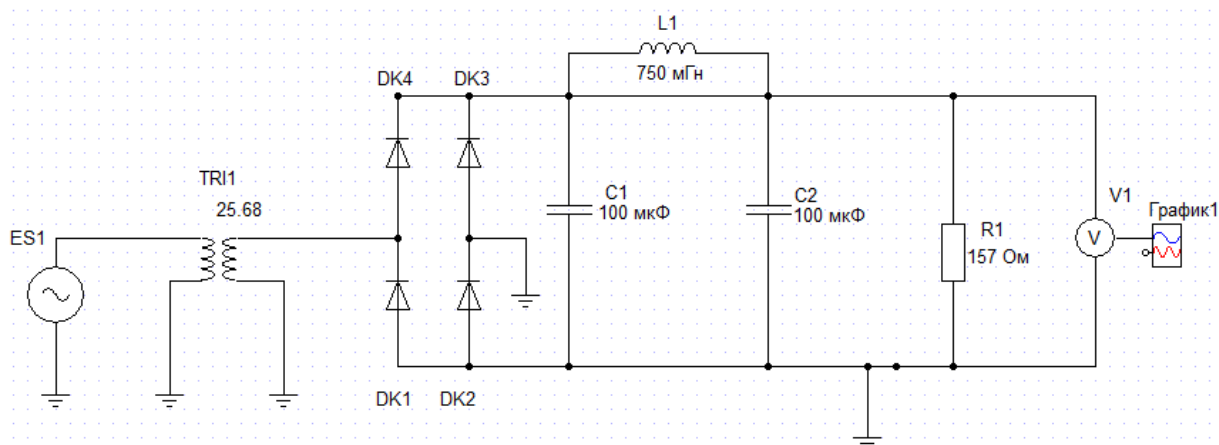


Рис. 4. Схема выпрямителя с фильтром в CM MARS
Fig. 4. Rectifier circuit with filter in CM MARS

Электрические параметры данной схемы выставлены в соответствие с реальной схемой. Выходное напряжение данной схемы подается на блок виртуального осциллографа.

Расчет коэффициента пульсации с модели и сравнение его с коэффициентом, полученным с реальной схемой, осуществляется при помощи компонентной цепи, собранной на логическом уровне CM MARS (рис. 5, 6).

На рис. 6 компонент DIF2 производит расчет разницы коэффициентов пульсаций (ошибки) реального объекта и виртуальной модели. Компонент Ab1 производит сравнение полученной ошибки с заранее заданным значением допустимой ошибки, задаваемой в компоненте Err.

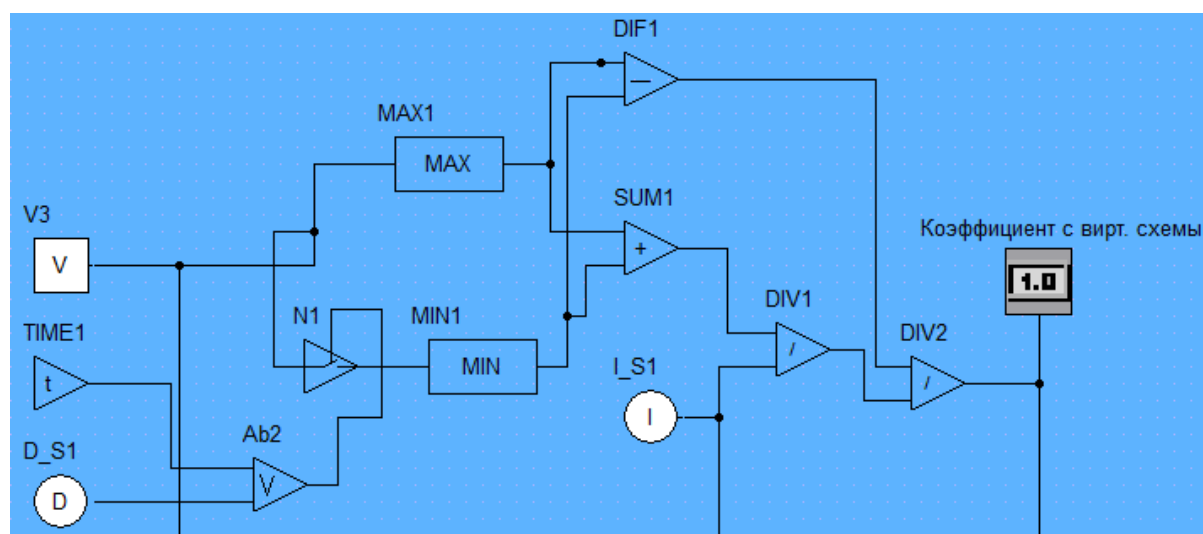


Рис. 5. Схема, реализующая расчет коэффициентов пульсаций
Fig. 5. The diagram implementing the calculation of ripple coefficients

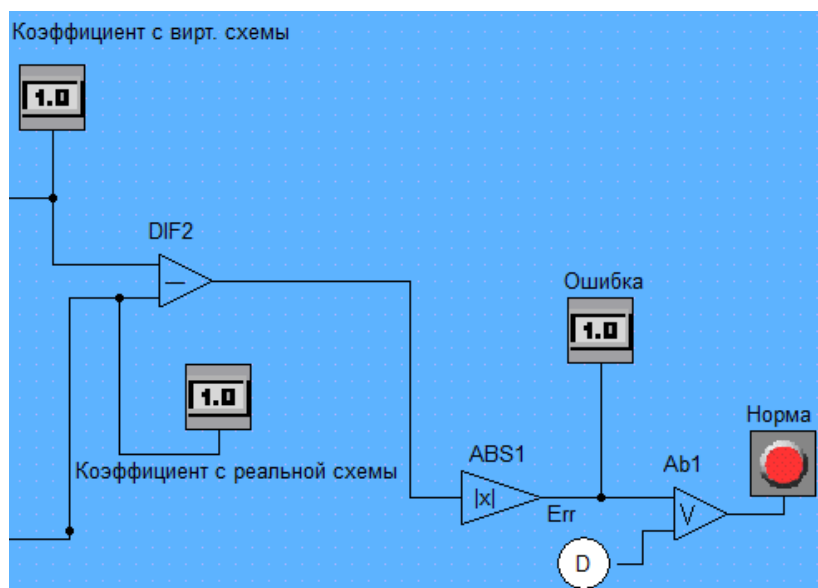


Рис. 6. Схема, реализующая расчет отклонения коэффициента реальной схемы от коэффициента виртуальной модели
Fig. 6. The diagram implementing the calculation of the deviation of the coefficient of the real scheme from the coefficient of the virtual model

Графический интерфейс для пользователя, реализованный на визуальном уровне СМ MAPС, представлен на рис. 7.

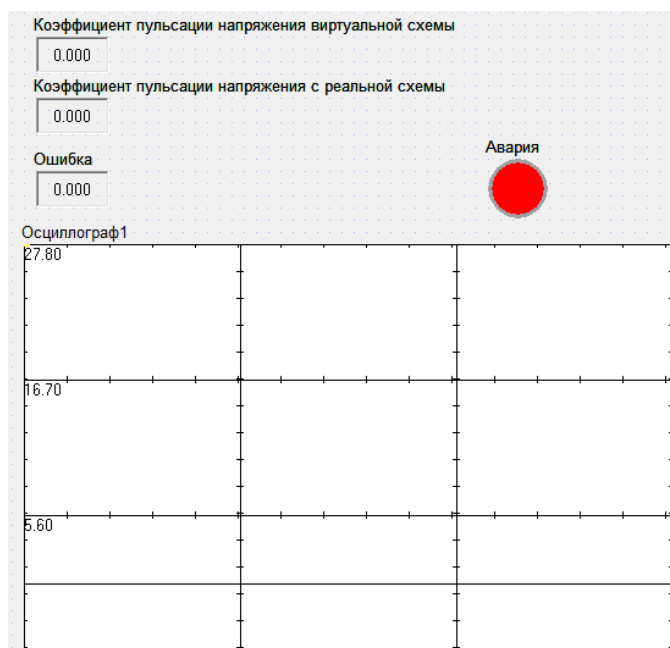


Рис. 7. Графический интерфейс
Fig. 7. Graphical interface

Графический интерфейс отображает значения коэффициентов пульсаций реальной и виртуальной схем, а также значение отклонения реальных пульсаций от идеальных. Если значение отклонения будет выше заданной ошибки, равной 0,1, то индикатор «Норма» загорится красным цветом. Также графический интерфейс в реальном времени визуализирует напряжения реальной и виртуальной схем при помощи компонента виртуального осциллографа.

Запустим симуляцию цифрового двойника, учитывая, что цифровые параметры виртуальной схемы совпадают с параметрами реальной схемы (рис. 8).

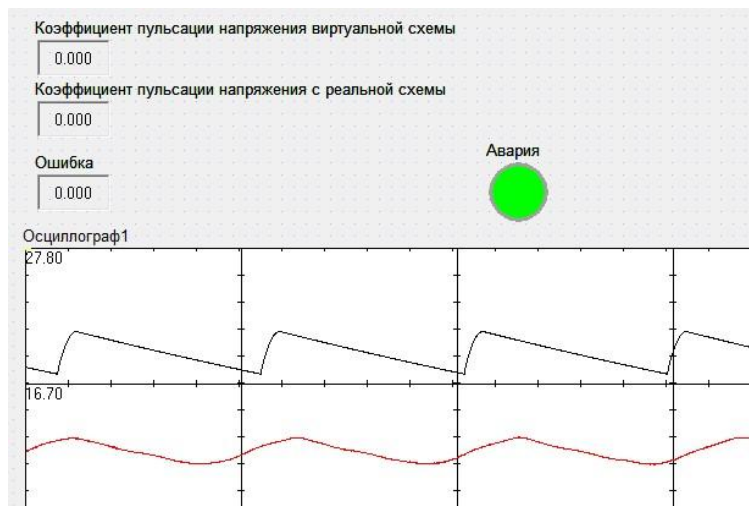


Рис. 8. Сравнение коэффициентов при одинаковых параметрах схем
Fig. 8. Comparison of coefficients with the same circuit parameters

Из рис. 8 видно, что при одинаковых параметрах реальной и виртуальной схем расхождение коэффициентов пульсации минимальное.

Далее для того чтобы удостовериться в работоспособности цифрового двойника, понизим емкость конденсатора в схеме фильтра на 100 мкФ и запустим симуляцию цифрового двойника (рис. 9).

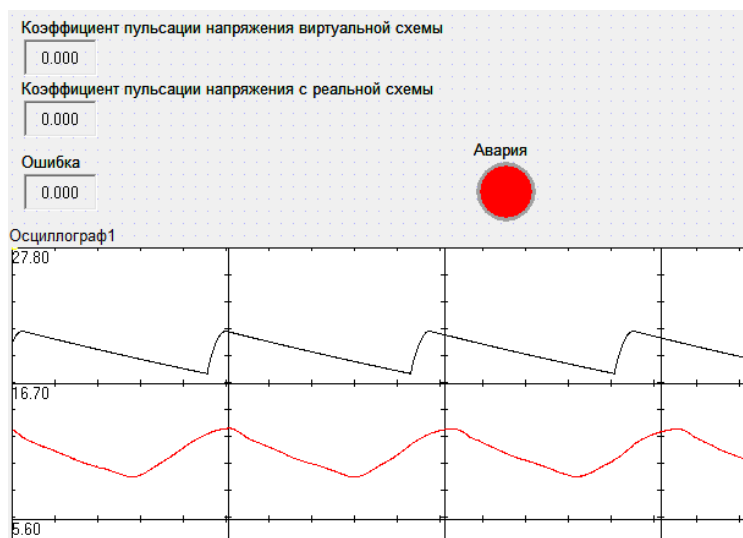


Рис. 9. Сравнение коэффициентов при уменьшении емкости в ходе старения
Fig. 9. Comparison of coefficients with decreasing capacity during aging

Из рис. 9 видно, что при разных параметрах реальной и виртуальной схем преобладает значительное расхождение коэффициентов пульсации.

Проведенный эксперимент позволяет говорить о том, что предложенная концепция цифрового двойника работоспособна и может быть применена в системах, где возможна деградация её параметров.

Выводы

В данной работе рассмотрена общая концепция цифрового двойника, а также концепция цифрового двойника в СМ MAPS. Для реализации цифрового двойника по предложенной концепции был разработан стенд, состоящий из схемы простейшего выпрямителя с фильтром, микроконтроллера STM32, USB-UART-адаптера FTDI и компьютера с интегрированной СМ MAPS.

Проведенный эксперимент показал, что коэффициент пульсации напряжения компьютерной модели простейшего выпрямителя с фильтром и коэффициент пульсации напряжения реального объекта отличаются незначительно.

Заключение

Разработанный стенд выпрямителя с фильтром и компьютерная модель в СМ MAPC позволяют имитировать процесс старения компонентов электрической схемы, а также позволяют временно предотвращать выход электрической схемы из строя.

Список литературы

1. Возможные причины деградации литий-серных аккумуляторов / Т.Л. Кулова, С.А. Ли, Е.В. Рыжикова, А.М. Скундин // *Электрохимия*. 2022. Т. 58, № 5. С. 203–210. DOI: 10.31857/S0424 857022050085
2. Дмитриев В.М. MAPC – среда моделирования технических устройств и систем / А.В. Шутенков, Т.Н. Зайченко, Т.В. Ганджа. Томск: В-Спектр, 2011. 278 с.
3. Прохоров А., Лысачев М. Цифровой двойник. Анализ, тренды, мировой опыт / науч. ред. М. Боровков. М.: ООО «АльянсПринт», 2020. 401 с.
4. Griffin M. Digital Twin: Manufacturing Excellence through Virtual Factory Replication. Digital Twin Institute, 2015. P. 1–7.
5. The Concept of Digital Twin and Digital Shadow in Manufacturing / T. Bergs, S. Gierlings, T. Auerbach et al. // *Procedia CIRP*. 2021. Vol. 101. P. 81–84. DOI: 10.1016/j.procir.2021.02.010
6. Van der Aalst W., Hinz O., Weinhardt C. Resilient Digital Twins: Organizations Need to Prepare for the Unexpected // *Business & Information Systems Engineering*. 2021. Vol. 63 (2). P. 615–619. DOI: 10.1007/s12599-021-00721-z
7. Sepasgozar S.M.E. Differentiating Digital Twin from Digital Shadow: Elucidating a Paradigm Shift to Expedite a Smart, Sustainable Built Environment // *Buildings*. 2021. Vol. 11 (4). P. 151–166. DOI: 10.3390/buildings11040151
8. Что такое цифровые двойники и где их используют [Электронный ресурс]. URL: <https://trends.rbc.ru/trends/industry/6107e5339a79478125166eeb> (дата обращения: 29.10.2022).
9. СВИП – система виртуальных инструментов и приборов / В.М. Дмитриев, Т.В. Ганджа, В.В. Ганджа, Ю.И. Мальцев. Томск: В-Спектр, 2014. 216 с.
10. FTDI chip [Электронный ресурс]. URL: <https://ftdichip.com> (дата обращения: 06.11.2022).
11. Дмитриев В.М., Ганджа Т.В., Панов С.А. Система виртуальных инструментов и приборов для автоматизации учебных и научных экспериментов // *Программные продукты и системы*. 2016. № 3. С. 154–162. DOI: 10.15827/0236-235X.115.154-162
12. STM32F76xxx advanced Arm®-based 32-bit MCUs. Datasheet [Электронный ресурс]. URL: <https://www.st.com/en/microcontrollers-microprocessors/stm32f7-series.html> (дата обращения: 04.11.2022).
13. Петров А.А. Протокол передачи данных для UART // *Достижения науки и образования*. 2016. № 1 (2). С. 9–10.
14. Aarno D., Engblom J. Software and System Development using Virtual Platforms: Full-System Simulation with Wind River Simics. Morgan Kaufmann, 2014. DOI: 10.1016/B978-0-12-800725-9.00007-X
15. Mohsen Fallah, Seyyed Alireza Davodi Navokh, Mehran Mozaffari-Jovein. STM32 ADC Tutorial with application to real-time control. Mashhad: Ferdowsi University of Mashhad, CAD/CAM Laboratory, 2021. 65 p. DOI: 10.13140/RG.2.2.17875.30249/1
16. Коэффициент пульсации [Электронный ресурс]. URL: <https://www.rotr.info/cloud/002-ripple-factor/index.htm> (дата обращения: 05.11.2022).

References

1. Kulova T.L., Li S.A., Ryzhikova E.V., Skundin A.M. Possible Causes of Lithium–Sulfur Battery Degradation. *Russian Journal of Electrochemistry*. 2022;58(5):391–397. DOI: 10.1134/S102319352205007X
2. Dmitriyev V.M., Shutenkov A.V., Zaychenko T.N., Gandzha T.V. *MARS – sreda modelirovaniya tekhnicheskikh ustroystv i sistem* [MARS – environment for modeling technical devices and systems]. Tomsk: V-Spektr Publ.; 2011. 278 p. (In Russ.)
3. Prokhorov A., Lysachev M., Borovkov M. (Ed.). *Tsifrovoy dvoynik. Analiz, trendy, mirovoy opyt* [Digital twin. Analysis, trends, world experience]. Moscow: Al'yansPrint LLC; 2020. 401 p. (In Russ.)
4. Griffin M. *Digital Twin: Manufacturing Excellence through Virtual Factory Replication*. Digital Twin Institute; 2015. P. 1–7.
5. Thomas Bergs, Sascha Gierlings, Thomas Auerbach, Andreas Klink, Daniel Schraknepper, Thorsten Augspurger. The Concept of Digital Twin and Digital Shadow in Manufacturing. *Procedia CIRP*. 2021;101:81–84. DOI: 10.1016/j.procir.2021.02.010
6. Van der Aalst W., Hinz O., Weinhardt C. Resilient Digital Twins: Organizations Need to Prepare for the Unexpected. *Business & Information Systems Engineering*. 2021;63(2):615–619. DOI: 10.1007/s12599-021-00721-z
7. Sepasgozar S.M.E. Differentiating Digital Twin from Digital Shadow: Elucidating a Paradigm Shift to Expedite a Smart, Sustainable Built Environment. *Buildings*. 2021;11(4):151–166. DOI: 10.3390/buildings11040151
8. *Chto takoye tsifrovyye dvoyniki i gde ikh ispol'zuyut* [What are digital twins and where they are used]. (In Russ.) Available at: <https://trends.rbc.ru/trends/industry/6107e5339a79478125166eeb> (accessed 29.10.2022)
9. Dmitriyev V.M., Gandzha T.V., Gandzha V.V., Maltsev J.I. *SVID – system of virtual instruments and devices*. Tomsk: V-Spektr Publ.; 2014. 216 p. (In Russ.)
10. FTDI chip. Available at: <https://ftdichip.com> (accessed 06.11.2022).
11. Dmitriyev V.M., Gandzha T.V., Panov S.A. The system of virtual instruments and devices for education and scientific experiment automation. *Software & Systems*. 2016;3:154–162. (In Russ.) DOI: 10.15827/0236-235X.115.154-162
12. STM32F76xxx advanced Arm®-based 32-bit MCUs. Datasheet. Available at: <https://www.st.com/en/microcontrollers-microprocessors/stm32f7-series.html> (accessed 04.11.2022).
13. Petrov A.A. [Data transfer protocol for UART]. *Dostizheniya nauki i obrazovaniya*. 2016;1(2):9–10.
14. Aarno D., Engblom J. *Software and System Development using Virtual Platforms: Full-System Simulation with Wind River Simics*. Morgan Kaufmann; 2014. DOI: 10.1016/B978-0-12-800725-9.00007-X
15. Mohsen Fallah, Seyyed Alireza Davodi Navokh, Mehran Mozaffari-Jovein. *STM32 ADC Tutorial with application to real-time control*. Mashhad: Ferdowsi University of Mashhad, CAD/CAM Laboratory; 2021. 65 p. DOI: 10.13140/RG.2.2.17875.30249/1
16. *Koeffitsient pul'satsii* [Ripple factor]. (In Russ.) Available at: <https://www.rotr.info/cloud/002-ripple-factor/index.htm> (accessed 05.11.2022).

Информация об авторах

Дмитриев Вячеслав Михайлович, д-р техн. наук, проф. кафедры компьютерных систем в управлении и проектировании, Томский государственный университет систем управления и радиоэлектроники, Томск, Россия; dmitriewvm@gmail.com.

Гембух Лев Алексеевич, аспирант кафедры компьютерных систем в управлении и проектировании, Томский государственный университет систем управления и радиоэлектроники, Томск, Россия; lev.gembuh@mail.ru.

Сахабутдинов Александр Евгеньевич, аспирант кафедры компьютерных систем в управлении и проектировании, Томский государственный университет систем управления и радиоэлектроники, Томск, Россия; ale.xander.s@yandex.ru.

Information about the authors

Vyacheslav M. Dmitriev, Dr. Sci. (Eng.), Prof. of the Department of Computer Systems in the Management and Design, Tomsk State University of Control Systems and Radioelectronics, Tomsk, Russia; dmitriewvm@gmail.com.

Lev A. Gembuh, Postgraduate student of the Department of Computer Systems in the Management and Design, Tomsk State University of Control Systems and Radioelectronics, Tomsk, Russia; lev.gembuh@mail.ru.

Alexander E. Sakhabutdinov, Postgraduate student of the Department of Computer Systems in the Management and Design, Tomsk State University of Control Systems and Radioelectronics, Tomsk, Russia; ale.xander.s@yandex.ru.

Вклад авторов: все авторы сделали эквивалентный вклад в подготовку публикации.

Авторы заявляют об отсутствии конфликта интересов.

Contribution of the authors: the authors contributed equally to this article.

The authors declare no conflicts of interests.

Статья поступила в редакцию 22.03.2023

The article was submitted 22.03.2023

АДАПТИВНОЕ БЕСПОИСКОВОЕ УПРАВЛЕНИЕ НАСОСНЫМ КОМПЛЕКСОМ В УСЛОВИЯХ НЕСТАЦИОНАРНОСТИ

А.Г. Лютов, lutov1@mail.ru, <https://orcid.org/0000-0002-6048-8816>

М.Б. Новоженин, novozhenin.maxim@yandex.ru, <https://orcid.org/0000-0001-9157-9991>

МИРЭА – Российский технологический университет, Москва, Россия

Аннотация. При работе автоматизированных насосных комплексов кроме сигнальных (координатных) возмущений имеют место параметрические возмущения, обусловленные нестационарностью параметров данного комплекса, в частности гидравлических сопротивлений сети, насоса, входного трубопровода, а также колебания параметров перекачиваемой жидкости. Традиционный подход к автоматическому регулированию выходных координат насосного комплекса сводится к построению систем с координатной обратной связью и, как правило, регулированию частоты вращения центробежного насоса, что для решения задач быстродействующего параметрического управления в условиях действия соответствующих возмущений является неэффективным. Использование автоматизированного управления каналом байпаса насосного комплекса позволяет обеспечить более адекватную обработку параметрических возмущений, таких как, в частности, вибрации и элементы гидроудара, а также возмущений, активизирующих различные нежелательные гидравлические процессы, например, кавитацию и помпаж. В статье рассмотрены вопросы построения адаптивной беспоисковой самонастраивающейся системы для решения задачи повышения эффективности обработки указанных выше параметрических возмущений. **Цель исследования:** исследование возможности автоматической обработки параметрических возмущений при управлении насосным комплексом по каналу байпаса путем построения адаптивной системы в классе беспоисковых самонастраивающихся систем управления с эталонной моделью. **Материалы и методы.** Для проведения исследования были использованы методы математического моделирования, в частности метод электроаналогии, методы теории автоматического управления с использованием аппарата передаточных функций, методы теории адаптивного управления, методы численного моделирования с применением программного комплекса SimInTech. **Результаты.** Осуществлен синтез алгоритма управления беспоисковой самонастраивающейся системы с эталонной моделью для решения задачи обработки параметрических возмущений в насосном комплексе с использованием канала байпаса. **Заключение.** Результаты исследования обосновывают возможность построения и использования адаптивной беспоисковой системы управления насосным комплексом для более эффективной автоматической обработки параметрических возмущений с целью компенсации и снижения их негативного действия.

Ключевые слова: насосный комплекс, байпас, параметрические возмущения, электроаналогия, математическая модель, эталонная модель, алгоритм самонастройки

Для цитирования: Лютов А.Г., Новоженин М.Б. Адаптивное беспоисковое управление насосным комплексом в условиях нестационарности // Вестник ЮУрГУ. Серия «Компьютерные технологии, управление, радиоэлектроника». 2023. Т. 23, № 4. С. 37–46. DOI: 10.14529/ctcr230404

ADAPTIVE SEARCH LESS CONTROL OF A PUMPING COMPLEX IN CONDITIONS OF NON-STATIONARITY

A.G. Lutov, lutov1@mail.ru, <https://orcid.org/0000-0002-6048-8816>

M.B. Novozhenin, novozhenin.maxim@yandex.ru, <https://orcid.org/0000-0001-9157-9991>

MIREA – Russian Technological University, Moscow, Russia

Abstract. At operation of the automated pump complexes except for signal (coordinate) disturbances, there are the parametric disturbances, caused by non-stationarity of parameters of the given complex, in particular hydraulic resistances of the network, pump, inlet pipeline, and also fluctuations of parameters of the pumped liquid. The traditional approach to the automatic control of the output coordinates of the pump complex is reduced to the construction of systems with coordinate feedback and, as a rule, the regulation of speed of the centrifugal pump, which is inefficient for solving the problems of fast parametric control in the conditions of the relevant perturbations. The use of automated control of the bypass channel of pumping complex allows to provide more adequate processing of parametric disturbances, such as, in particular, vibration and elements of water hammer, as well as disturbances activating various undesirable hydraulic processes, such as cavitation and surge. The article considers the issues of building an adaptive search-less self-adaptive system to solve the problem of increasing the efficiency of working off the above parametric disturbances. **Research objective:** Investigation of the possibility of automatic processing of parametric disturbances when controlling the pumping complex by the bypass channel by constructing an adaptive system in the class of searchless self-adaptive control systems with a reference model. **Materials and methods.** The methods of mathematical modelling, in particular, the method of electron analogy, methods of the theory of automatic control with use of the apparatus of transfer functions, methods of the theory of adaptive control, methods of numerical modelling with use of the program complex SimInTech have been used to conduct research. **Results.** The synthesis of the control algorithm of the search-free self-adaptive system with a reference model to solve the problem of parametric perturbations in the pumping complex using the bypass channel has been made. **Conclusion.** The results of the study substantiate the possibility of building and using the adaptive searchless control system of the pumping complex for more effective automatic processing of parametric disturbances in order to compensate and reduce their negative effects.

Keywords: pumping complex, bypass, parametric disturbances, electroanalogy, mathematical model, reference model, self-tuning algorithm

For citation: Lutov A.G., Novozhenin M.B. Adaptive search less control of a pumping complex in conditions of non-stationarity. *Bulletin of the South Ural State University. Ser. Computer Technologies, Automatic Control, Radio Electronics*. 2023;23(4):37–46. (In Russ.) DOI: 10.14529/ctcr230404

Введение

В процессе функционирования автоматизированных насосных комплексов (НК), предназначенных для реализации технологических процессов перекачивания жидкостей в различных отраслях промышленности, установках и устройствах, имеют место не только координатные (напор, расход), но и параметрические возмущения (нестационарные параметры), к которым, в частности, можно отнести изменения гидравлических сопротивлений сети, насоса, всасывающего (входного) трубопровода, а также колебания параметров перекачиваемой жидкости [1]. При определенных условиях данные параметрические возмущения приводят к появлению в НК локальных колебаний гидродинамического характера, способствующих возникновению или активизации таких нежелательных процессов, как, например, кавитация [2, 3]. Последняя служит источником разрушения рабочих органов, шумов, вибрации и пульсаций давления в системе и, как следствие, снижения производительности, уменьшения КПД, повышения износа и уменьшения срока службы НК [4].

В [5] представлены результаты исследования условий устойчивости и возникновения локальных колебательных процессов при автоматизированном прецедентном управлении НК на

основе центробежных насосов (ЦН) с учетом канала байпаса [6, 7]. НК с ЦН получили широкое распространение в связи с выигрышными массогабаритными показателями, высокой производительностью, способностью перекачивать загрязненные среды [8]. Показано, что способ регулирования методом байпасирования путем перепуска части жидкости во всасывающую линию насосов образует дополнительный канал управления НК, реализуемый с помощью регулируемой задвижки. Это увеличивает пространство возможных состояний НК как динамического объекта управления и, соответственно, расширяет возможности формирования потенциальных прецедентов при выборе рациональных (безкавитационных) режимов его работы [9].

При этом необходимо отметить следующее обстоятельство: если управление НК по каналу частоты вращения ЦН является координатным (сигнальным), то управление по каналу байпаса – это параметрическое управление, реализуемое путем изменения такого параметра, как сопротивление канала байпаса. Отсюда следует, что организация данного параметрического управления в автоматическом режиме требует использования соответствующих методов синтеза системы управления, в частности в классе адаптивных самонастраивающихся систем.

Одним из эффективных подходов к построению систем с нестационарными параметрами является реализация их в классе беспоисковых самонастраивающихся систем с эталонной моделью, получивших большое теоретическое развитие и широкое практическое применение для управления нестационарными объектами [10, 11].

Далее рассмотрено построение алгоритма адаптивного беспоисового параметрического управления НК в условиях нестационарности его упомянутых выше параметров с использованием одного из достаточно эффективных для этого подходов на базе градиентного метода синтеза структуры самонастраивающейся системы (СНС) с эталонной моделью [10, 11].

Математическая модель насосного комплекса

В работе [5] представлена математическая модель НК с учетом канала байпаса, полученная на основе метода электроанalogии [12, 13]. Применение данного подхода дает возможность исследования различного рода динамических процессов в НК, анализа их устойчивости.

При этом для исследования динамических процессов в НК на основе методов теории автоматического управления применительно к линейным системам [14] использована линеаризация напорно-расходной характеристики (НРХ) в области ее рабочей точки с целью получения дифференциальных сопротивлений элементов НК:

$$R_c = \left. \frac{dH_c}{dQ} \right|_{Q_0} > 0; \quad R_{цн} = \left. \frac{dH_{цн}}{dQ} \right|_{Q_0} < 0,$$

где $H_{цн}$ – напор, развиваемый ЦН; H_c – напор гидравлической сети; Q – расход жидкости в системе; R_c – дифференциальное сопротивление сети; $R_{цн}$ – дифференциальное сопротивление ЦН.

Предполагая, что в модели [5] в первом приближении учитываются только дифференциальные сопротивления элементов НК, данная исходная модель представлена на рис. 1.

На рис. 1: E – электрический эквивалент напора, развиваемого ЦН; I – электрический эквивалент расхода; $R_c, R_{цн}, R_{вх}, R_б$ – эквиваленты дифференциальных гидравлических сопротивлений сети, центробежного насоса, всасывающего (входного) трубопровода, байпаса с регулируемой задвижкой (соответственно).

В соответствии со 2-м законом Кирхгофа уравнение для электрической цепи в комплексной форме будет иметь вид:

$$E(j\omega) = I(j\omega) \left[R_{цн} + \frac{R_б \cdot (R_{вх} + R_c)}{R_б + R_{вх} + R_c} \right]. \quad (1)$$

После перехода к операторной форме записи ($p = j\omega$, где p – оператор Лапласа) модель НК можно представить в виде передаточной функции:

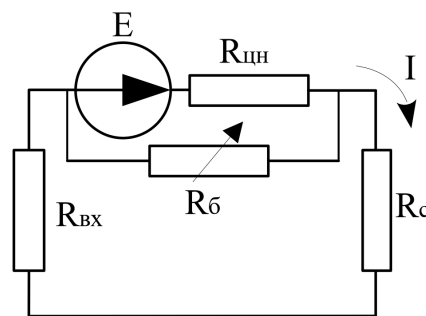


Рис. 1. Модель насосного комплекса, построенная на основе метода электроанalogии
Fig. 1. Model of the pumping complex based on the electroanalogy method

$$W(p) = \frac{I(p)}{E(p)} = \frac{1}{R_{\text{цн}} + \frac{R_{\text{б}} \cdot (R_{\text{вх}} + R_{\text{с}})}{R_{\text{б}} + R_{\text{вх}} + R_{\text{с}}}} = \frac{1}{R_{\text{цн}} + \frac{1}{\frac{1}{R_{\text{вх}} + R_{\text{с}}} + \frac{1}{R_{\text{б}}}}}. \quad (2)$$

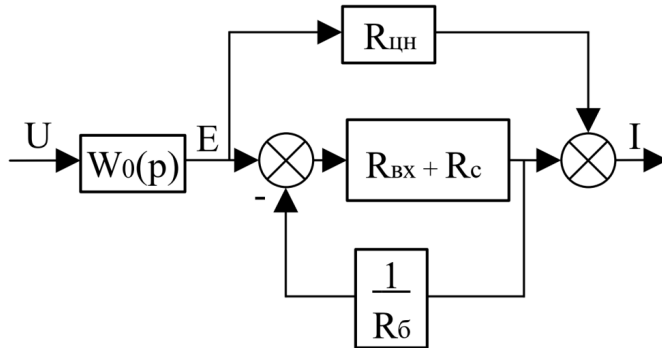


Рис. 2. Структурная схема системы управления НК
Fig. 2. Block diagram of the control system PS

Соответствующая структурная схема системы управления представлена на рис. 2. Здесь передаточная функция $W_0(p)$ отражает учет динамики привода ЦН, а также инерционность средств измерения выходной координаты системы и является по сути неизменяемой (в процессе управления) ее частью.

Компенсация изменений во времени дифференциальных сопротивлений R_c , $R_{\text{вх}}$, а также $R_{\text{цн}}$ возможна, согласно выражению для передаточной функции (2), путем перестройки значения сопротивления байпаса

R_b , которое на практике осуществляется автоматизированной регулируемой задвижкой [15].

Для удобства дальнейших выкладок заменим значения сопротивлений на эквивалентные значения проводимости:

$$G_{\text{цн}} = \frac{1}{R_{\text{цн}}}; \quad G_o = \frac{1}{R_{\text{вх}} + R_{\text{с}}}; \quad G_b = \frac{1}{R_b}.$$

В этом случае передаточная функция (2) примет вид

$$W(p) = \frac{1}{\frac{1}{G_{\text{цн}}} + \frac{1}{G_o + G_b}}. \quad (3)$$

Таким образом, компенсация возможной нестационарности параметров НК, в частности значения G_o , будет производиться путем перестройки значения проводимости байпаса G_b .

Синтез алгоритма самонастройки

Для построения алгоритма перестройки G_b воспользуемся градиентным методом синтеза структуры СНС с эталонной моделью [10, 11].

В качестве эталонной модели выберем звено, описываемое передаточной функцией:

$$W_M(p) = \frac{I_M(p)}{U(p)} = W_0(p) \cdot \frac{1}{\frac{1}{G_{\text{цн}}^0} + \frac{1}{G_o^0 + G_b^0}}, \quad (4)$$

где I_M – выходная координата модели; $G_{\text{цн}}^0$, G_o^0 , G_b^0 – некоторые базовые (желаемые) значения проводимостей $G_{\text{цн}}$, G_o , G_b .

Согласно методу градиента, алгоритм перестройки значения G_b должен обеспечивать такое изменение выбранного критерия качества работы системы J , которое было бы направлено в сторону его уменьшения, как функции G_b :

$$\frac{dG_b}{dt} = -\lambda \frac{\partial J}{\partial G_b}, \quad (5)$$

где J – показатель качества на основе меры рассогласования движений системы и модели, в качестве которой выберем функцию от ошибки $\varepsilon = i(t) - i_M(t)$:

$$J = \varepsilon^2 = (i(t) - i_M(t))^2. \quad (6)$$

Исходя из выражения (5), найдем:

$$\frac{\partial J}{\partial G_6} = \frac{\partial}{\partial G_6} \varepsilon^2 = 2\varepsilon \frac{\partial \varepsilon}{\partial G_6}. \tag{7}$$

С учетом того, что i_m , u и $W_0(p)$ не зависят от G_6 , получим следующее выражение:

$$\frac{\partial \varepsilon}{\partial G_6} = \frac{\partial}{\partial G_6} (i - i_m) = \frac{\partial i}{\partial G_6} = \frac{\partial [W_0(p) \cdot W(p)]}{\partial G_6} \cdot u = W_0(p) \frac{\partial W(p)}{\partial G_6} \cdot u. \tag{8}$$

Здесь

$$\begin{aligned} \frac{\partial W(p)}{\partial G_6} &= \frac{\partial}{\partial G_6} \left[\frac{1}{\frac{1}{G_{цн}} + \frac{1}{G_0 + G_6}} \right] - \\ &- \left[\frac{1}{\frac{1}{G_{цн}} + \frac{1}{G_0 + G_6}} \right]^2 \cdot (-) \left[\frac{1}{G_0 + G_6} \right]^2 = W^2(p) \cdot \left[\frac{1}{G_0 + G_6} \right]^2. \end{aligned} \tag{9}$$

Тогда выражение (8) примет вид:

$$\frac{dG_6}{dt} = -2\lambda\varepsilon W_0(p) W^2(p) \cdot \left[\frac{1}{G_0 + G_6} \right]^2 \cdot u = -2\lambda\varepsilon W(p) \left[\frac{1}{G_0 + G_6} \right]^2 \cdot i. \tag{10}$$

В соответствии с предположением, что в процессе функционирования СНС оператор системы должен поддерживаться близким к оператору модели, можно считать передаточную функцию

$$W(p) \approx W_M(p), \text{ а также, что } \left[\frac{1}{G_0 + G_6} \right]^2 \approx \left[\frac{1}{G_0^0 + G_6^0} \right]^2.$$

Тогда

$$\frac{dG_6}{dt} = -\lambda' \varepsilon W_M(p) \cdot x, \tag{11}$$

где $\lambda' = 2\lambda \left[\frac{1}{G_0^0 + G_6^0} \right]^2$.

Структурная схема самонастраивающейся системы с контуром самонастройки, функционирующим в соответствии с аналитическим алгоритмом (11), представлена на рис. 3. Здесь динамическое звено $\frac{1}{T_B p + 1}$ в контуре адаптации, соответствующее позиционному исполнительному устройству для перестройки G_6 , учитывает его реальную инерционность, имеющую место при работе автоматизированной регулируемой задвижки байпаса.

Численное моделирование

С целью исследования работоспособности синтезированной СНС с эталонной моделью произведено ее численное моделирование в условиях действия параметрических возмущений различного харак-

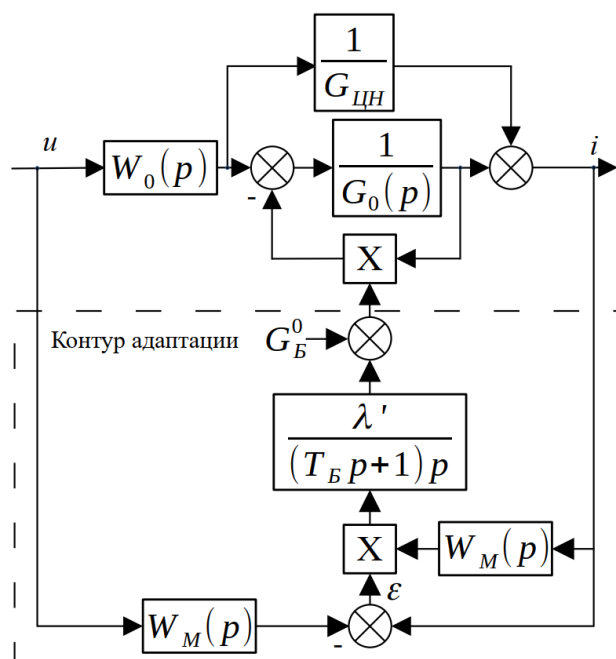


Рис. 3. Структурная схема СНС с эталонной моделью
Fig. 3. Structural diagram of the SAS (self-adjusting system) with a reference model

тера. В качестве последних рассматривались изменения дифференциальных гидравлических сопротивлений сети R_c и входного трубопровода $R_{вх}$ (или соответствующей величины проводимости $G_o = \frac{1}{R_{вх} + R_c}$). Численный эксперимент осуществлялся с использованием программной среды SimInTech, соответствующая компьютерная модель ЧНС приведена на рис. 4. Там же расположена модель системы без адаптации для сравнительного анализа переходных процессов. Значения параметров элементов модели представлены в таблице.

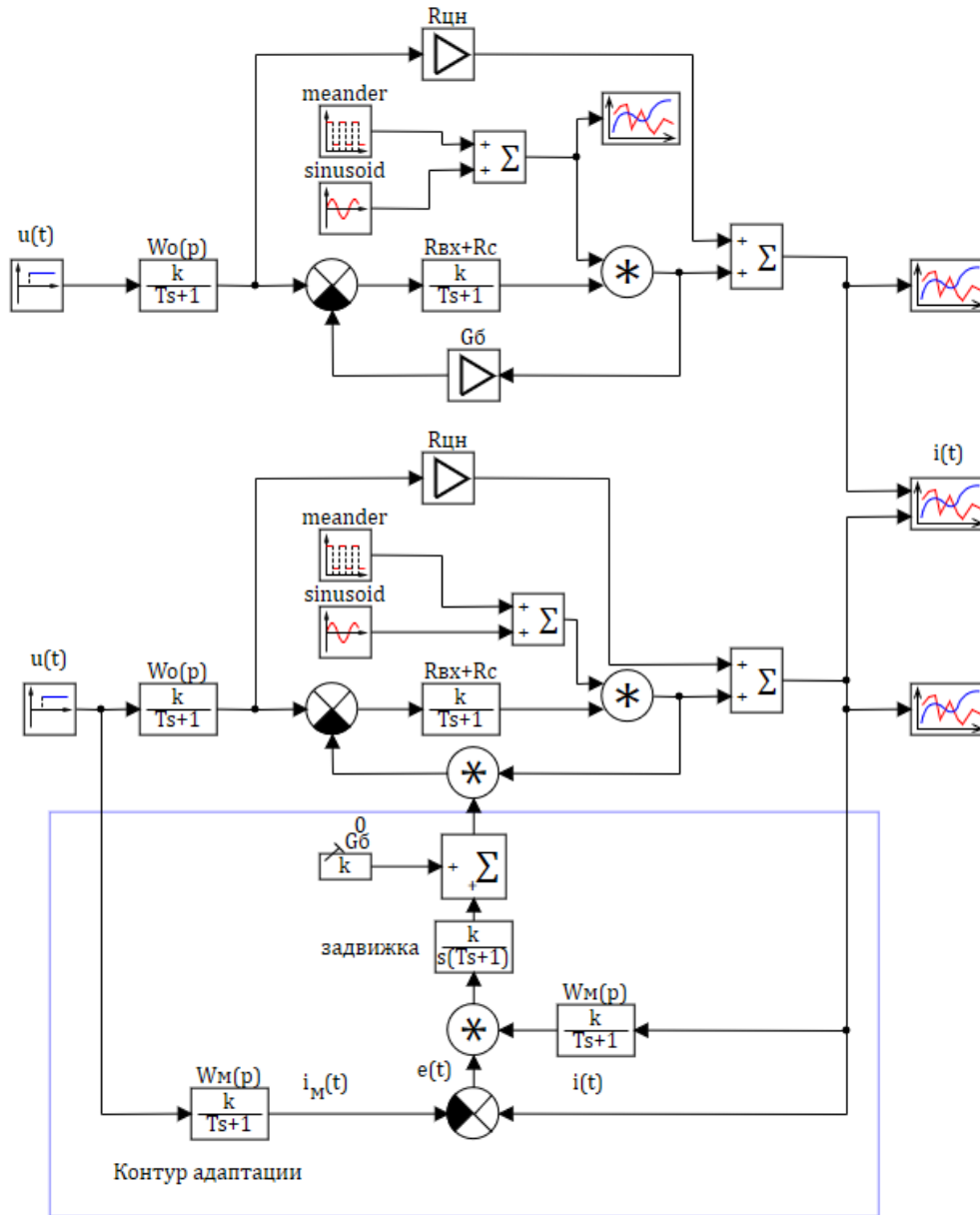


Рис. 4. Компьютерная SimInTech-модель ЧНС
Fig. 4. Computer SimInTech model of the SAS

Значения параметров элементов модели
Model element parameter values

Параметр	G_o	G_o^0	$G_{цн}$	$G_{цн}^0$	$G_б$	$G_б^0$	T_0	$T_б$
Значение	1	1	-0,33	-0,33	1	1	0,1	0,02

Результаты численного моделирования динамических процессов в СНС в окрестности рабочей точки НХР НК при параметрических возмущениях в виде изменений G_0 периодического (синусоидального) и ступенчатого приведены на рис. 5.

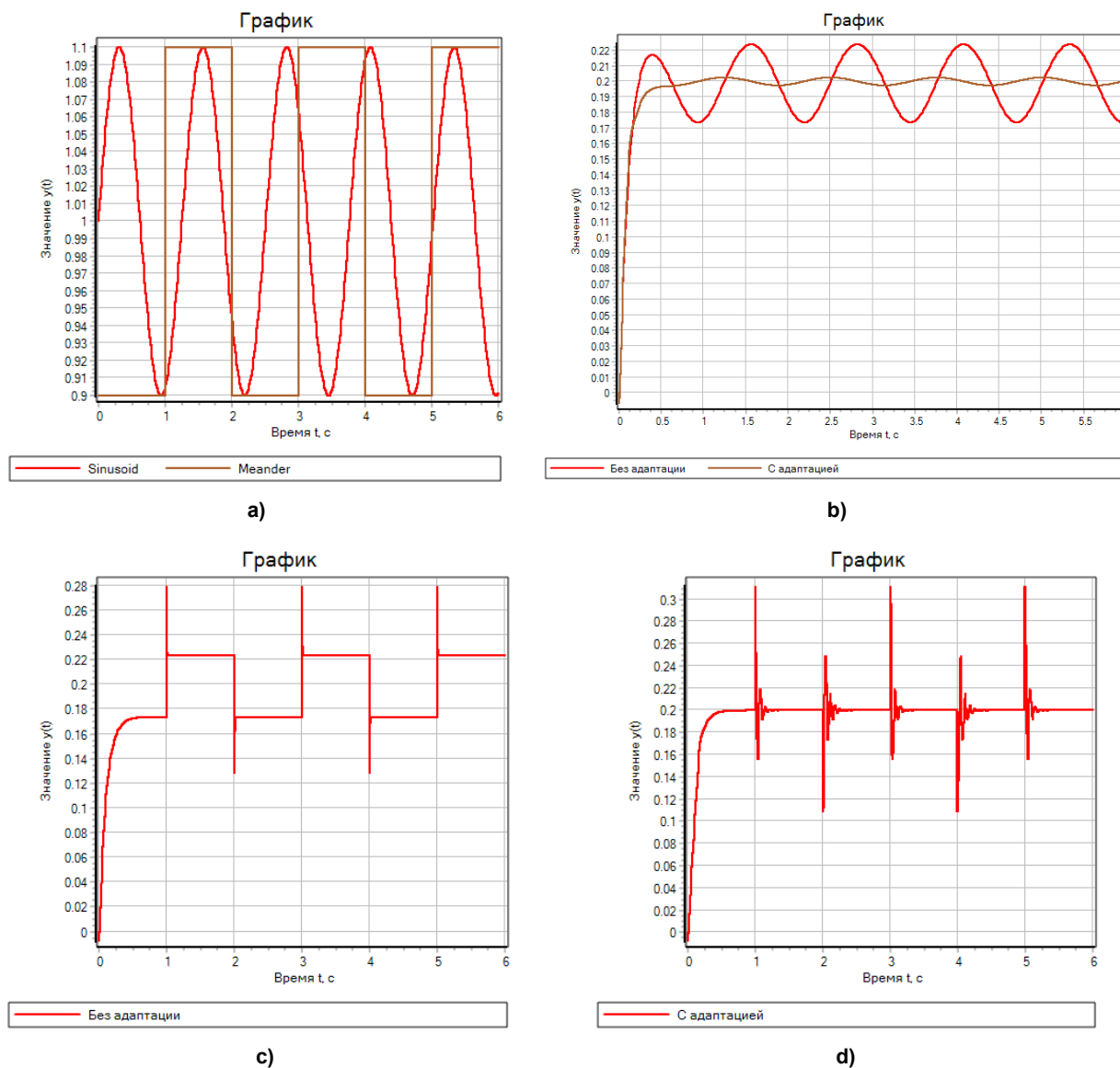


Рис. 5. Графики переходных процессов в СНС при отработке параметрических возмущений
 Fig. 5. Graphs of transients in the SAS during the processing of parametric perturbations

На рис. 5а приведены графики изменений проводимости $G_0 = \frac{1}{R_{вх} + R_c}$, соответствующие параметрическим возмущениям синусоидального и периодического ступенчатого (меандр) характера соответственно. На рис. 5б представлены графики, иллюстрирующие отработку системой параметрических синусоидальных возмущений при отключенном и включенном контуре адаптации. Аналогично на рис. 5с и 5д приведены графики при действии на систему параметрических периодических ступенчатых возмущений также при отключенном и включенном контуре адаптации.

Обсуждение результатов

Для построения математической динамической модели НК использован метод электроанalogии, который позволил затем перейти к аппарату передаточных функций и исходному структурному представлению системы управления (см. рис. 2).

Синтезированный далее алгоритм управления беспоисковой СНС с эталонной моделью основан на градиентном методе синтеза структуры СНС (см. рис. 3) и использовании автоматически регулируемого канала байпаса НК.

Необходимо отметить, что быстродействие процессов регулирования по каналу байпаса изначально принципиально выше, чем быстродействие по каналу частоты вращения ЦН, так как их инерционность различается как минимум на порядок и более. Поэтому скорость отработки рассматриваемых параметрических возмущений в первом случае будет, безусловно, значительно больше.

Полученные в результате численных экспериментов с использованием компьютерной модели (см. рис. 4) графики переходных процессов в системе (см. рис. 5) свидетельствуют о работоспособности синтезированной СНС, высоком качестве отработки в ней как плавных периодических, так и ступенчатых (в том числе периодических) параметрических возмущений.

При этом устойчивость процессов самонастройки в построенной адаптивной системе может быть обеспечена выбором подходящего коэффициента передачи λ при численном моделировании процессов в СНС.

Заключение

Осуществлен синтез алгоритма управления беспоисковой самонастраивающейся системы с эталонной моделью для решения задачи отработки параметрических возмущений в насосном комплексе с использованием автоматически регулируемого канала байпаса.

Результаты анализа численных экспериментов подтверждают возможность построения и реализации адаптивной системы управления насосным комплексом для более эффективной (быстродействующей) автоматической отработки параметрических возмущений, обусловленных, в частности, изменениями гидравлических сопротивлений сети, насоса, входного трубопровода, а также колебаниями параметров перекачиваемой жидкости.

Применение адаптивного управления с использованием регулируемого канала байпаса позволит повысить эффективность координатно-параметрического управления НК в целом, особенно в условиях нестационарных гидравлических процессов: вибраций, элементов гидроудара, помпажа, кавитации.

Список литературы

1. Лютов А.Г., Новоженин М.Б., Огородов В.А. Исследование условий возникновения колебательных процессов при автоматизированном управлении насосными комплексами на основе прецедентов // Вестник УГАТУ. 2021. Т. 25, № 4. С. 101–110. DOI: 10.54708/19926502_2021_25494101
2. Карелин В.Я. Кавитационные явления в центробежных и осевых насосах. М.: Машиностроение, 1975. 336 с.
3. Лютов А.Г., Новоженин М.Б. Моделирование и диагностика нестационарных режимов автоматизированных насосных комплексов // Вестник УГАТУ. 2018. Т. 22, № 1. С. 113–120.
4. Истомин Д.А., Столбов В.Ю., Платон Д.Н. Экспертная система оценки технического состояния узлов электроцентробежных насосов на основе продукционного представления знаний и нечеткой логики // Вестник ЮУрГУ. Серия «Компьютерные технологии, управление, радиоэлектроника». 2020. Т. 20, № 1. С. 133–143. DOI: 10.14529/ctcr200113
5. Лютов А.Г., Новоженин М.Б., Шевцов И.К. Моделирование динамических процессов при прецедентном управлении автоматизированным насосным комплексом с учетом канала байпаса // Вестник ЮУрГУ. Серия «Компьютерные технологии, управление, радиоэлектроника». 2022. Т. 22, № 4. С. 119–130. DOI: 10.14529/ctcr220412
6. Лютов А.Г., Новоженин М.Б., Огородов В.А. Анализ условий возникновения колебательных процессов в системах топливоподачи авиационной техники // Известия высших учебных заведений. Авиационная техника. 2022. № 1. С. 4–10.
7. Антонов В.В., Конев К.А., Куликов Г.Г. Трансформация модели системы поддержки принятия решений для типовых ситуаций с применением интеллектуальных и аналитических методов // Вестник ЮУрГУ. Серия «Компьютерные технологии, управление, радиоэлектроника». 2021;21(3):14–25. DOI: 10.14529/ctcr210302

8. Лезнов Б.С. Энергосбережение и регулируемый привод в насосных и воздуходувных установках. М.: Энергоатомиздат, 2006. 360 с.
9. Люттов А.Г., Новоженин М.Б. Методология автоматизированного контроля и управления режимами работы насосного комплекса в условиях возникновения кавитации // Мехатроника, автоматизация, управление. 2021. Т. 22, № 9. С. 468–474. DOI: 10.17587/mau.22.468-474
10. Принципы построения и проектирования самонастраивающихся систем управления / Б.Н. Петров, В.Ю. Рутковский, И.Н. Крутова, С.Д. Земляков. М.: Машиностроение, 1972. 260 с.
11. Козлов Ю.М., Юсупов Р.М. Беспоисковые самонастраивающиеся системы. М.: Наука, 1969. 456 с.
12. Чикуров Н.Г. Синтез математических моделей технических систем методом электроаналогов. Вестник УГАТУ. 2009. Т. 12, № 2. С. 156–165.
13. Goppelt F., Hieninger T., Schmidt-Vollus R. Modeling centrifugal pump systems from a system-theoretical point of view // 18th International Conference on Mechatronics – Mechatronika (ME). 2018. P. 1–8.
14. Певзнер Л.Д. Теория систем управления: учеб. пособие. 2-е изд., испр. и доп. СПб.: Лань, 2013. 424 с.
15. Люттов А.Г., Новоженин М.Б. Автоматизированная система диагностики и управления режимами работы насосного комплекса при нестационарных процессах // Вестник УГАТУ. 2018. Т. 22, № 3. С. 114–123.

References

1. Lutov A.G., Novozhenin M.B., Ogorodov V.A. Research of the conditions for the occurrence of vibratory processes in the automated control of pumping complexes based on precedents. *Vestnik UGATU*. 2021;25(4):101–110. (In Russ.) DOI: 10.54708/19926502_2021_25494101
2. Karelin V.Ya. *Kavitatsionnye yavleniya v tsentrobeznykh i osevykh nasosakh* [Cavitation Phenomena in Centrifugal and Axial Pumps]. Moscow: Mashinostroenie Publ.; 1975. 336 p. (In Russ.)
3. Lutov A.G., Novozhenin M.B. Modeling and diagnostics of non-stationary regimes automated pumping complexes. *Vestnik UGATU*. 2018;22(1):113–120. (In Russ.)
4. Istomin D.A., Stolbov V.Yu., Platon D.N. Expert System for Assessment of Technical Condition of Electric Centrifugal Pump Assemblies Based on Productive Presentation of Knowledge and Fuzzy Logic. *Bulletin of the South Ural State University. Ser. Computer Technologies, Automatic Control, Radio Electronics*. 2020;20(1):133–143. (In Russ.) DOI: 10.14529/ctcr200113
5. Lutov A.G., Novozhenin M.B., Shevtcov I.K. Simulation of dynamic processes during precedent control of the automated pump system taking into account the bypass channel. *Bulletin of the South Ural State University. Ser. Computer Technologies, Automatic Control, Radio Electronics*. 2022;22(4):119–130. (In Russ.) DOI: 10.14529/ctcr220412
6. Lyutov A.G., Novozhenin M.B., Ogorodov V.A. Analysis of conditions of oscillation onset in aircraft fuel supply systems. *Izvestiya vysshikh uchebnykh zavedenii. Aviatsionnaya tekhnika*. 2022;1:4–10. (In Russ.)
7. Antonov V.V., Konev K.A., Kulikov G.G. Transformation of the Decision Support System Model for Standard Situations Using Intellectual and Analytical Methods. *Bulletin of the South Ural State University. Ser. Computer Technologies, Automatic Control, Radio Electronics*. 2021;21(3):14–25. (In Russ.) DOI: 10.14529/ctcr210302
8. Leznov B.S. *Energoberezhenie i reguliruemyy privod v nasosnykh i vozdukhoduvnykh ustanovkakh* [Energy Saving and Adjustable Drive in Pumping and Blowing Plants]. Moscow: Energoatomizdat Publ.; 2006. 360 p. (In Russ.)
9. Lutov A.G., Novozhenin M.B. Methodology of automated monitoring and control of pump complex operation modes in conditions of cavitation occurrence. *Mechatronics, automation, control = Mekhatronika, avtomatizatsiya, upravlenie*. 2021;22(9):468–474. (In Russ.) DOI: 10.17587/mau.22.468-474
10. Petrov B.N., Rutkovskiy V.Yu., Krutova I.N., Zemlyakov S.D. *Printsipy postroeniya i proektirovaniya samonastroyayushchikhsya sistem upravleniya* [Principles of construction and design of self-adjusting control systems]. Moscow: Mashinostroenie Publ.; 1972. 260 p. (In Russ.)
11. Kozlov Yu.M., Yusupov R.M. *Bespoiskovyye samonastroyayushchiesya sistemy* [Searchless self-adjusting systems]. Moscow: Nauka Publ.; 1969. 456 p. (In Russ.)

12. Chikurov N.G. Synthesis of mathematical models of technical systems by electroanalogue method. *Vestnik UGATU*. 2009;12(2):156–165. (In Russ.)
13. Goppelt F., Hieninger T., Schmidt-Vollus R. Modeling centrifugal pump systems from a system-theoretical point of view. In: *18th International Conference on Mechatronics – Mechatronika (ME)*; 2018. P. 1–8.
14. Pevzner L.D. *Teoriya sistem upravleniya: uchebnoe posobie* [Theory of Control Systems: Textbook]. 2nd ed., rev. and additional. St. Petersburg: Lan'; 2013. 424 p. (In Russ.)
15. Lutov A.G., Novozhenin M.B. Automated diagnostic and control system works of the pump complex under non-stationary processes. *Vestnik UGATU*. 2018;22(3):114–123. (In Russ.)

Информация об авторах

Лютюв Алексей Германович, д-р техн. наук, проф., заведующий кафедрой автоматических систем, МИРЭА – Российский технологический университет, Москва, Россия; lutov1@mail.ru.

Новоженин Максим Борисович, канд. техн. наук, старший преподаватель кафедры автоматических систем, МИРЭА – Российский технологический университет, Москва, Россия; novozhenin.maxim@yandex.ru.

Information about the authors

Alexey G. Lutov, Dr. Sci. (Eng.), Prof., Head of the Department of Automatic Systems, MIREA – Russian Technological University, Moscow, Russia; lutov1@mail.ru.

Maxim B. Novozhenin, Cand. Sci. (Eng.), Senior Lecturer of the Department of Automatic Systems, MIREA – Russian Technological University, Moscow, Russia; novozhenin.maxim@yandex.ru.

Вклад авторов: все авторы сделали эквивалентный вклад в подготовку публикации.

Авторы заявляют об отсутствии конфликта интересов.

Contribution of the authors: the authors contributed equally to this article.

The authors declare no conflicts of interests.

Статья поступила в редакцию 01.05.2023

The article was submitted 01.05.2023

ИНФОРМАЦИОННАЯ МОДЕЛЬ ПОДДЕРЖКИ ПРОЦЕССОВ УПРАВЛЕНИЯ ПРОИЗВОДСТВЕННЫМИ ПОТОКАМИ АВТОМАТИЗИРОВАННОГО ПРОИЗВОДСТВА

С.А. Баркалов, *bsa610@yandex.ru*
В.Е. Белоусов, *belousov@vgasu.vrn.ru*
Д.В. Дорофеев, *upr_stroy_kaf@vgasu.vrn.ru*
К.А. Нижегородов, *eng@gmail.com*
Е.А. Серебрякова, *sea-parish@mail.ru*

Воронежский государственный технический университет, Воронеж, Россия

Аннотация. В данной работе формулируется задача формирования эффективной информационной поддержки процессов управления иерархическим производством, включающим операции комплектования изделия, узлов, подузлов и так далее, вплоть до подузлов заданного уровня, при заданных нормативных уровнях числа комплектов с учетом длительности сборочных циклов и уровней комплектных запасов. Описанная схема реализует многоуровневое управление с оператором высшего уровня иерархии, однако не предусматривает резервирования производственных мощностей на цели управления, что противоречит задачам системы и обуславливает актуальность данной статьи. **Цель исследования** заключается в необходимости повышения эффективности автоматизированных информационных систем управления производственными структурами на основе статистических имитационных моделей. **Методы исследования.** Рассмотрим основные принципы, положенные в основу метода вероятностно-автоматного моделирования. Метод базируется на теории автоматов, заключающейся в использовании результатов машинного эксперимента при создании сложных самоорганизующихся информационных систем, а также в системах автоматизации производственных процессов. Вероятностно-автоматная модель информационной системы представляет собой не что иное как агрегативную модель при раздроблении системы на самые мелкие одномерные агрегаты. Основными понятиями автоматного моделирования являются вероятностный автомат и система вероятностных автоматов. **Результаты.** С ростом сложности производственной системы переход к двухуровневому, а затем и к многоуровневому управлению обеспечивает более эффективное использование ресурсов (мощностей и запасов) в целях упорядочения процесса выпуска готовой продукции. **Заключение.** Определено, что полная гармония интересов объектов управления достижима только при мощности потоков, равном 1. Двухуровневое управление обеспечивает достижение целей системы управления даже при полной дисгармонии интересов объектов управления. Для повышения эффективности использования ресурсов информационной поддержки необходимо строить не двухуровневую, а многоуровневую систему управления, в которой число «нижестоящих» операторов, подчиняющихся одному «вышестоящему» оператору, достаточно мало, чтобы обеспечить требуемый уровень гармонии их интересов. Таким образом, многоуровневое управление наряду с другими задачами решает важнейшую проблему обеспечения определенного уровня гармонии целей системы как целого и ее элементов.

Ключевые слова: автомат, агрегаты, знания, модели, имитация, система, состояние, параметры, управление

Для цитирования: Информационная модель поддержки процессов управления производственными потоками автоматизированного производства / С.А. Баркалов, В.Е. Белоусов, Д.В. Дорофеев и др. // Вестник ЮУрГУ. Серия «Компьютерные технологии, управление, радиоэлектроника». 2023. Т. 23, № 4. С. 47–56. DOI: 10.14529/ctcr230405

INFORMATION MODEL OF SUPPORT OF PROCESSES OF MANAGEMENT OF PRODUCTION FLOWS OF THE AUTOMATED PRODUCTION

S.A. Barkalov, *bsa610@yandex.ru*
V.E. Belousov, *belousov@vgasu.vrn.ru*
D.V. Dorofeev, *upr_stroy_kaf@vgasu.vrn.ru*
K.A. Nizhegorodov, *eng@gmail.com*
E.A. Serebryakova, *sea-parish@mail.ru*

Voronezh State Technical University, Voronezh, Russia

Abstract. In this work the problem of forming to effective information support of processes of management of the hierarchical production including operations of completing of a product, nodes, subnodes and so on up to subnodes of the set level, at the set normative levels of number of sets taking into account duration of assembly cycles and levels of complete stocks is formulated. The described scheme implements multilevel management with the operator of the highest level of hierarchy, however do not provide reservation of production capacities on the purpose of management that contradicts problems of a system and causes relevance of this article. **The research objective consists** in need of increase in efficiency automated information to management systems by production structures on the basis of statistical simulation models. **Research methods.** Let's consider the basic principles which are been the basis for a method of probabilistic and automatic modeling. The method is based on the automata theory consisting in use of results of a machine experiment during creation of complex self-organizing information systems and also in the systems of automation of productions. The probabilistic and automatic model of an information system represents no other than aggregate model when smashing a system to the smallest one-dimensional units. The basic concepts of automatic modeling are the probabilistic automatic machine and the system of probabilistic automatic machines. **Results.** With growth of complexity of a production system transition to two-level, and then and to multilevel management provides more effective use of resources (capacities and stocks) for the purpose of streamlining of process of release of finished goods. **Conclusion.** It is defined that the full harmony of interests of control objects is achievable only at the power of flows equal 1. Two-level management provides achievement of goals of management system even at full disharmony of interests of control objects. For increase in efficiency of use of resources of information support it is necessary to build not two-level, but multilayer system of management in which the number of the “subordinate” operators submitting to one “higher” operator is not enough to provide the required level of harmony of their interests. Thus, multilevel management, along with other tasks, solves the most important problem of ensuring a certain level of harmony of the purposes of a system as whole and its elements.

Keywords: task, knowledge, models, rules, system, status, resource, elements, experts

For citation: Barkalov S.A., Belousov V.E., Dorofeev D.V., Nizhegorodov K.A., Serebryakova E.A. Information model of support of processes of management of production flows of the automated production. *Bulletin of the South Ural State University. Ser. Computer Technologies, Automatic Control, Radio Electronics*. 2023;23(4):47–56. (In Russ.) DOI: 10.14529/ctcr230405

Введение

Производственные структуры древовидного типа, к которым относятся автоматизированные системы управления производством, требуют иерархического управления, так как оно в наибольшей мере соответствует организационной структуре объекта и демонстрирует как трансформируется система управления применительно к рассматриваемым объектам. Тогда на выходе такого производства формируется конечный продукт как состав потока полных комплектов (ПК). Информационная поддержка данных процессов управления включает операции комплектования изделия, узлов, подузлов и так далее, вплоть до подузлов заданного уровня, при заданных нормативных уровнях числа комплектов с учетом длительности сборочных циклов и уровней комплектных запасов.

Описанная схема реализует многоуровневое (многоуровневое, согласно [1]) управление с оператором высшего уровня иерархии. Необходимо также учесть, что производственных мощностей для

целей управления должно быть тем больше, чем выше порядковый номер органа управления, т. е. чем далее от конечной операции находится наш объект в древовидной производственной структуре.

Отметим, что действующие методики и нормативы [2, 3] не предусматривают резервирования производственных мощностей на цели управления, что противоречит задачам системы и обуславливает актуальность данной статьи.

Анализ исследуемой системы

Настоящая работа посвящена процессам управления в классе производств, функционирование которых характеризуется свойствами потока комплектов (ПК). Таковы сборочные, а также многие другие типы производств, в которых поток готовой продукции образуется путем «смешения» в определенной пропорции продуктов, поступающих по многим питающим потокам [4, 5].

Каждый из потоков $x_i(t)$ выдается производственным объектом θ_i , управляемым «собственной» системой регулирования V_i , на вход которой поступает сигнал рассогласования:

$$q_i(t) = X_i^0(t) - Q_i - X_i(t), \quad (1)$$

где $X_i^0(t)$ – программа выпуска продукции, задаваемая объекту θ_i ;

$X_i(t)$ – суммарный (накопленным итогом) выпуск продукции объектом θ_i , полученный интегрированием в блоке Σ потока $X_i(t)$;

Q_i – параметр, связанный с нормативным запасом, i -го продукта.

При надлежащем выборе единиц измерения продуктов, поступающих по питающим потокам, без нарушения общности можно положить, что в комплект входит по единице каждого из n продуктов.

Тогда ПК в каждый момент времени будет определяться самым «отсталым» из потоков:

$$x(t) = \frac{d}{dt} X(t), \quad (2)$$

$$X(t) = \min_{1 \leq i < n} X_i(t).$$

Одной из основных задач настоящей работы является обоснование эффективности двух- и многоуровневого управления в исследуемых производственных системах, в то время как существующая практика ориентирована на использование лишь одноуровневого независимого управления каждым потоком [6, 7].

Двухуровневое управление (рис. 1) обеспечивается сочетанием операторов V_i нижнего с оператором V верхнего уровня.

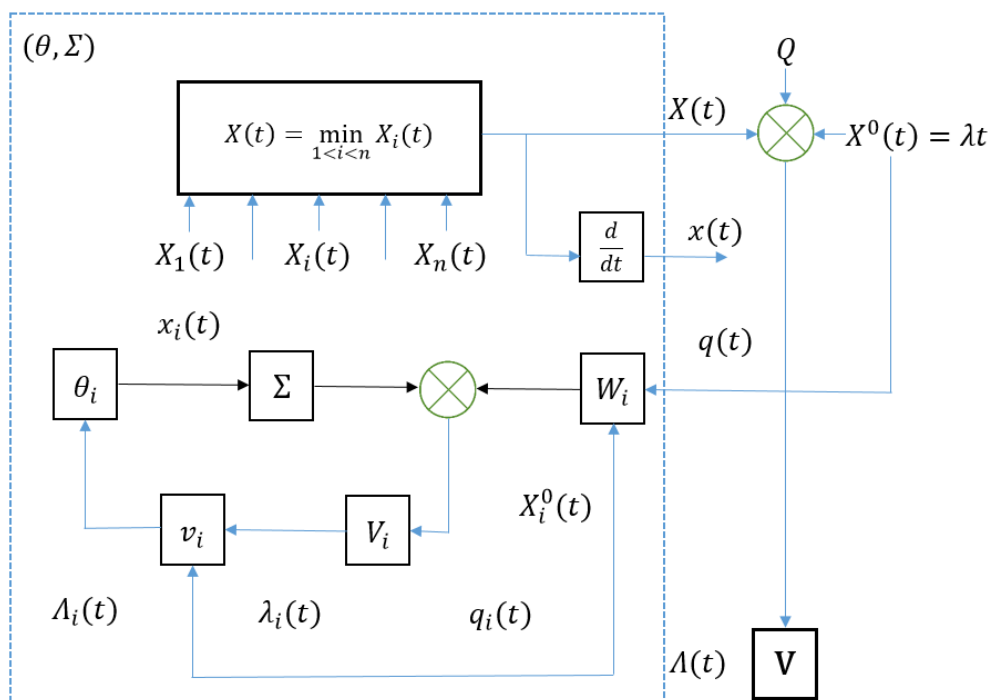


Рис. 1. Модель двухуровневого управления процессом формирования потока комплектов из заданных питающих потоков

Fig. 1. Model of two-level process control of forming of a flow of sets from the set feeding flows

Двухуровневая модель управления питающими потоками ПК

Вмешательство оператора V в работу объектов θ_i осуществляется с помощью вспомогательных операторов v_i и w_i , влияя на формирование программ $X_i^0(t)$ и корректируя в интересах системы решения $\lambda_i(t)$ операторов V_i , исходящих в своей работе из «эгоистических» интересов подведомственных им производств [8].

Оператор V вырабатывает координирующие решения путем преобразования сигнала рассогласования:

$$q_i(t) = X_i^0(t) + Q - X_i(t), \quad (3)$$

где $X^0(t) = \lambda t$ – заданная системе программа выпуска комплектов, принимаемая далее линейной функцией времени;

Q – параметр, задающий нормативный уровень комплектных запасов в системе.

В современной практике управления [9] рассматриваемые производственные системы соответствуют одноуровневому независимому управлению каждым из потоков:

$$V = \begin{cases} \Lambda_i(t) = \lambda_i(t) \\ X_i^0(t) = X^0(t) \end{cases}, \quad (4)$$

которые отражают невмешательство оператора V в функционирование системы.

$X_i(t)$ соответствуют операторы v_i и w_i , обеспечивающие соотношения.

Согласно работе [6, 10], в такого рода системах процесс (поток) $x(t)$ относится к классу управляемых, т. е. дисперсия сигнала рассогласования $q(t)$ будет ограниченной даже при

$$\lim_{n \rightarrow \infty} D(n) < \infty, \quad (5)$$

что вытекает из сформулированных выше утверждений E и F .

Таким образом, начиная с некоторой сложности системы, определяемой величиной n_k^i числа питающих потоков в ней, двухуровневая система управления (оператор V на верхнем уровне и операторы V_i – на нижнем) способна обеспечить более высокую упорядоченность ПК, нежели одноуровневое независимое управление каждым питающим потоком (рис. 2).

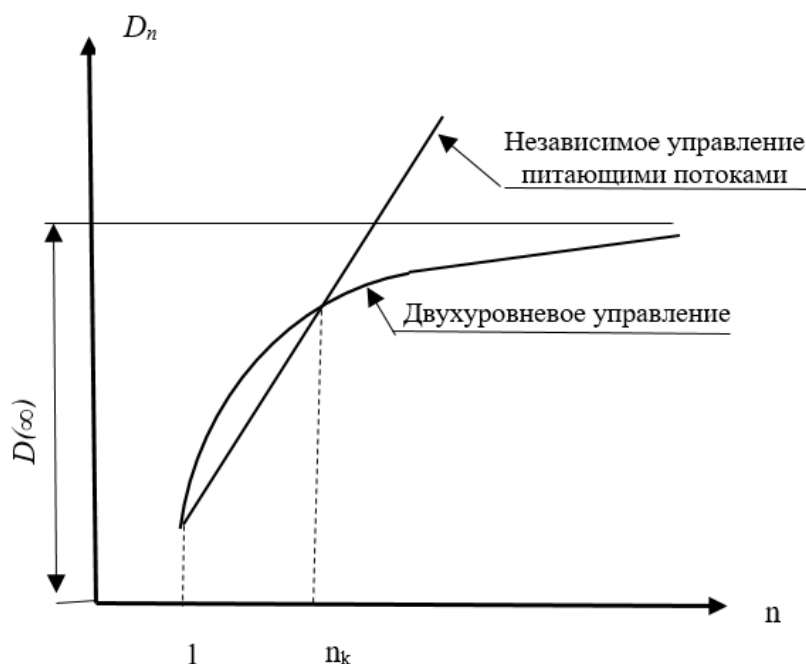


Рис. 2. Сравнительные графики оценки упорядоченности одноуровневого и двухуровневого управления питающими потоками
Fig. 2. Comparative diagrams of assessment of orderliness of single-level and two-level management of the feeding flows

Многие реальные производственные системы, моделируемые рис. 1, состоят из сотен и даже многих тысяч питающих потоков [7, 11].

Существующая практика управления такого рода системами основана на принципе незави-

симого управления каждым потоком, т. е. на выполнении условий (4). Девиз такого управления: «Система будет работать ритмично, если все питающие потоки ритмичны».

Будучи в принципе правильным, этот девиз толкает на максимальное «выжимание» ритмичной работы каждого питающего потока [8, 12].

Однако если таких потоков много, то даже небольшая неупорядоченность каждого из них приводит к хаотическому поведению ПК, вынуждая поддерживать высокие уровни управления, и работа должна быть построена таким образом, чтобы обеспечить ритмичный выпуск продукции при неритмичных шатающихся потоках.

Эффективность такого подхода иллюстрирует один из возможных подходов к координации деятельности объектов θ_i , состоит в выработке оператором V сигнала Λ_i , задающего интенсивность ПК; операторы v_i и w_i соответствуют равенствам:

$$\begin{cases} \Lambda_i(t) = \frac{\Lambda(t)}{\lambda} \lambda_i(t); \\ \frac{dx_i^0(t)}{dt} = \frac{\Lambda(t)}{\lambda} \cdot \frac{dx^0(t)}{dt} = \Lambda(t) \end{cases} \quad (6)$$

комплектных запасов в качестве средства, сглаживающего выпуск готовой продукции.

Предложенный выше переход к двухуровневому управлению системой потоков реализует подход, свидетельствующий о пренебрежении индивидуальными особенностями объектов θ_i и регуляторов V_i . Учет таких особенностей потребовал провести сбор больших объемов статистической информации, соответствующей ее обработке и воплощению полученных результатов в алгоритмах v_i и w_i .

Если все объекты θ_i характеризуются тем, что величина $\Lambda_i(t)$ пропорциональна интенсивности всех внутренних процессов объекта, формирующих поток $x_i(t)$, а операторы V_i безынерционны, то вмешательство в функционирование i -го замкнутого контура может быть интерпретировано как управление «ходом времени» в нем [2, 6, 13].

Действительно, при сделанных выше допущениях относительно свойств θ_i , V_i , v_i и w_i мы можем представить, что все контуры в замкнутых системах функционируют взаимозависимо, руководствуясь часами, отсчитывающими время τ , а оператор Λ вмешивается в скорость хода этих часов таким образом, что

$$\frac{d\tau(t)}{dt} = \frac{\Lambda(t)}{\lambda}. \quad (7)$$

За интервал натурального времени длительностью t процессы в объектах θ_i и в целом в замкнутых системах, генерирующих питающие потоки, «проживут» $\tau(t)$ часов. Указанным способом можно интерпретировать, например, управление продолжительностью рабочего дня (введение сверхурочных работ), либо управление скоростью движения сборочного конвейера [12, 14].

Совершенно естественным будет допущение, что процесс $\tau(t)$ удовлетворяет условиям:

$$\lim_{T \rightarrow \infty} \frac{1}{2T} \cdot \int_{-T}^T \frac{d\tau(t)}{dt} \cdot dt = \lim_{T \rightarrow \infty} \frac{\tau(T) - \tau(-T)}{2T} = 1; \quad (8)$$

$$0 \leq \Lambda(t) = \lambda \cdot \frac{d(\tau)}{dt} \leq \Lambda^* > \lambda, \quad (9)$$

первое из которых свидетельствует о том, что ресурсы, находящиеся в распоряжении оператора V , используются только для корректировки поведения ПК, а не для компенсации недостатка ресурсов, подведомственных операторам V_i ; второе условие (9) свидетельствует об ограниченности ресурсов, находящихся в централизованном подчинении оператора V .

Очевидно, что для выполнения условий (8) и (9) необходимо, чтобы

$$0 \leq \lambda_i(t) \leq \lambda_i^* = \Lambda_i^* \cdot \frac{\lambda}{\Lambda^*} > \lambda, \quad (10)$$

т. е. операторы V_i должны располагать собственными резервами производственной мощности, обеспечивающими возможность выполнения программы $X^0(t)$.

Отметим также, что условиям (4) независимого функционирования питающих потоков соответствует равенство

$$\tau(t) = t, \quad -\infty \leq t \leq +\infty. \quad (11)$$

В связи с этим далее исследуется общий случай двухуровневой координации, из которого найдем частный случай независимого управления каждым из n питающих потоков, полагая справедливым условие (11). В рассматриваемом общем случае вместо условий (1) и (2) запишем (с учетом (10)):

$$\begin{cases} q_i(\tau(t)) = X^0(\tau(t) + Q_i - X_i(\tau(t))); \\ q(t) = X^0(t) + Q - X(\tau(t)). \end{cases} \quad (12)$$

Введем также специальное обозначение для рассогласования $q(t)$ при отсутствии координации, т. е. при условии

$$\tilde{q}(t) = q(t)_{\tau(t)=t} = X^0(t) + Q - X(t) \quad (13)$$

с учетом формул (13) и (3) получим

$$q(t) = \tilde{q}(\tau(t)) + \lambda \cdot [t - \tau(t)]. \quad (14)$$

Показав эффективность двухуровневого управления, мы должны установить: не потребует ли такое управление дополнительных ресурсов – запасов и производственных мощностей в качестве «платы» за упорядоченность ПК.

Проанализируем это на примере координации, использующей управление «ходом времени» в автономных контурах управления [9, 10].

Использование ресурсов

Исследуем уровень некомплектного запаса t -го продукта, определяемый соотношением

$$z_{i,n}(\tau(t)) = X_i(\tau(t)) - X(\tau(t)) = \tilde{q}(\tau(t)) - q_i(\tau(t)) + Q_i - Q. \quad (15)$$

Характеристики системы определяются средними по времени уровнями запасов. Рассмотрим результаты усреднения по времени отдельных слагаемых выражения (15).

Введем для операции усреднения по времени некоторой функции $\psi(t)$ обозначение

$$\int_T^* \psi(t) dt = \lim_{T \rightarrow \infty} \frac{1}{2T} \cdot \int_{-T}^T \psi(t) dt, \quad (16)$$

с учетом которого, а также равенства (16) имеем

$$\lambda^2 \cdot \int^* [\tau(t) - t] \cdot d[\tau(t) - t] = \lim_{T \rightarrow \infty} \frac{1}{2T} \cdot \frac{1}{2} \cdot [\tilde{q}(\tau(t)) - q(t)]^2 \Bigg|_{t=-T}^{t=T}. \quad (17)$$

Последний предел равен нулю по вероятности в силу ограниченности дисперсий сигналов $\tilde{q}(\tau(t))$ и $q(t)$.

Теперь рассмотрим результат усреднения процесса $\tilde{q}(\tau(t))$ с учетом соотношений (15), (17) и (10):

$$\begin{aligned} \int^* \tilde{q}(\tau(t)) d(t) &= \int^* \tilde{q}(\tau(t)) d\tau(t) - \int^* q(t) \cdot \left[\frac{\Lambda(t)}{\lambda} - 1 \right] \cdot dt = \\ &= \bar{q}(n) - \int^* q(t) \cdot \left[\frac{\Lambda(t)}{\lambda} - 1 \right] dt. \end{aligned} \quad (18)$$

Второе слагаемое в этом выражении есть коэффициент корреляции процессов $q(t)$ и $\Lambda(t)$, детерминистская связь между которыми определяется оператором V .

Для последнего естественно предположить выполнение условий:

$$\frac{\lambda(t)}{\lambda} - 1 = \begin{cases} > 0, q(t) > q^* \\ 0, q(t) = q^* \\ < 0, q(t) < q^* \end{cases}, \quad (19)$$

где $<, =, >$ – параметр системы управления.

Условия, подобные (19), всегда выполняются алгоритмами регулирования, используемыми в практике управления производством [10, 15].

Из условий (18) и равенства (19) следует

$$\int^* \tilde{q}(\tau(t)) d(t) \leq \bar{q}(n) = \int^* \tilde{q}(t) dt, \quad (20)$$

причем равенство имеет место при условии (13), когда согласно равенству (9)

$$\Lambda(t) = \lambda, \quad -\infty \leq t \leq +\infty. \quad (21)$$

Отметим, что левая и правая части неравенства (21) отличаются друг от друга на конечную величину

$$\int^* q(t) \cdot \left[\frac{\Lambda(t)}{\lambda} - 1 \right] \cdot dt \quad (22)$$

коэффициента корреляции, в то время как правая часть неограниченно возрастает с ростом числа n питающих потоков.

Перейдем теперь к усреднению второго слагаемого в формуле (16):

$$\int^* q(\tau(t)) dt = \int^* q_i(\tau(t)) \cdot \frac{\lambda}{\Lambda(t)} \cdot d\tau(t). \quad (23)$$

Примем при этом во внимание статистическую независимость процессов $\tilde{q}(\tau)$ и $q(\tau)$ при $n \rightarrow \infty$, откуда вытекает асимптотическая взаимозависимость обоих сомножителей под знаком интеграла в равенстве (23), так что при достаточно большом числе n питающих потоков

$$\int^* q_i(\tau(t)) dt \cong \int^* q_i(t) dt = \bar{q}_i \quad (24)$$

из питающих потоков. При этом разность правой и левой частей неравенства есть величина конечная и относительно малая.

Рассмотрим поведение уровня комплектного запаса, который в соответствии с формулами (16) и (17) равен

$$z(t) = X(\tau(t)) - X^0(t) = Q - q(t) = Q - \tilde{q}(\tau(t)) - \lambda \cdot [t - \tau(t)], \quad (25)$$

и отметим, что поддержание комплектного запаса обеспечивает ритмичность выдачи продукции сборочными производствами, для которых величина

$$P(z(t) < 0) \leq p \quad (26)$$

есть вероятность «срыва» производственной программы, характеризующая качество функционирования системы, ограниченное заданным значением p .

Очевидно, что организация двухуровневой координации может рассматриваться в качестве одного из способов выполнения условия (26) путем стабилизации комплектного запаса на среднем уровне

$$\bar{z}(p, n) = \int^* z(t) \cdot dt = Q - \int^* q(t) dt < \infty, \quad (27)$$

определяемом путем надлежащего выбора параметра

$$Q = Q(p, n).$$

Сопоставление полученных выше соотношений (22) и (24) с выражением (17) приводит к справедливому при большом n соотношению

$$\int^* z_{i,n}(\tau(t)) \cdot dt \leq \int^* z_{i,n}(t) = \bar{z}_{i,n}, \quad (28)$$

утверждающему, что в условиях двухуровневой координации средний уровень некомплектных запасов не превысит уровня, образующегося в условиях независимого управления каждым

$$\lim_{n \rightarrow \infty} \bar{z}(p, n) = \bar{z}_p = \infty$$

в силу ограниченности дисперсии сигнала $q(t)$ согласно условию (9).

Переходя к условию (15), определяющему одноуровневое независимое управление каждым питающим потоком, имеем из формул (26), (17)

$$\bar{z}(p, n) = Q - \int^* \tilde{q}(t) dt = Q - \bar{q}(n),$$

откуда с учетом равенств (7) и (8) следует

$$\lim_{n \rightarrow \infty} \bar{z}(p, n) = \infty. \quad (29)$$

Отсюда, сравнивая выражения (28) и (29) и учитывая при этом равенство (25), сделаем вывод: основной эффект при переходе к двухуровневому управлению достигается за счет сокращения уровня комплектных запасов в системе, что иллюстрируется рис. 1.

Очевидно, что при $n > n_{k,i}$ суммарный запас в условиях двухуровневой координации будет ниже запаса при одноуровневом независимом управлении каждым из питающих потоков [2, 11, 14]. Однако это потребовало введения в эксплуатацию дополнительной производственной мощности, подведомственной оператору V верхнего уровня.

Величина введенных дополнительно ресурсов мощности для объекта составит согласно равенствам (5) и (13)

$$\left[\frac{\Lambda^*}{\lambda} - 1 \right] \cdot \Lambda_i^*.$$

Снижения суммарного запаса в системе можно достичь, также и не привлекая извне дополнительных ресурсов, но централизуя распоряжение частью мощности, имеющейся у объектов Q_i .

Снижение производственной мощности, подведомственной операторам V_i , приведет к тому, что поведение запасов будет соответствовать пунктирным кривым на рис. 1, так что двухуровневое управление будет эффективным при

$$n > n_{k,i}^* > n_{k,i}.$$

Таким образом, с ростом сложности производственной системы (см. рис. 1) переход к двухуровневому, а затем и к многоуровневому управлению обеспечивает более эффективное использование ресурсов (мощностей и запасов) в целях упорядочения процесса выпуска готовой продукции.

Заключение

Рассматривая построение многоуровневой системы, можно обратить внимание на то, что, стремясь к достижению целей системы (см. рис. 1), мы не учитывали цели отдельных ее элементов, т. е. в нашем случае – операторов V_i .

Судить о том, насколько гармонируют решения, принимаемые оператором V , реализующим цели системы, и решения, принимаемые операторами V_i , стремящимися к достижению собственных целей, можно, воспользовавшись в качестве меры этой гармонии какой-либо статистической характеристикой связи между процессами. Например, в роли такой меры может выступить коэффициент корреляции этих процессов.

Система кривых, обозначенных жирными линиями, иллюстрирует поведение запаса i -го продукта с ростом числа питающих потоков. Очевидно, что при $n > n_{k,i}$ суммарный запас в условиях двухуровневой координации будет ниже запаса при одноуровневом независимом управлении каждым из питающих потоков.

Однако это потребовало введения в эксплуатацию дополнительной производственной мощности, подведомственной оператору V верхнего уровня. Величина введенных дополнительно ресурсов мощности для объекта составит согласно равенствам (5) и (13)

$$\left[\frac{\Lambda^*}{\lambda} - 1 \right] \cdot \Lambda_i^*.$$

Снижения суммарного запаса в системе можно достичь, также и не привлекая извне дополнительных ресурсов, но централизуя распоряжение частью мощности, имеющейся у объектов Q_i .

Снижение производственной мощности, подведомственной операторам V_i , приведет к тому, что поведение запасов будет соответствовать пунктирным кривым на рис. 1, так что двухуровневое управление будет эффективным. Очевидно, что максимум достигается при $n = 1$, когда $\Lambda(t)$ и $\lambda_i(t)$ связаны между собой детерминированной зависимостью.

Изложенное может трактоваться следующим образом:

во-первых, полная гармония интересов V и V_i достижима только при $n = 1$;

во-вторых, можно говорить о полной дисгармонии интересов, но, несмотря на это, цели системы достигаются;

в-третьих, если при построении системы (см. рис. 1) мы, повышая эффективность использования ресурсов, хотим сохранить некоторый допустимый уровень гармонии интересов операторов верхнего и нижнего уровня, в результате естественно приходим к необходимости строить не двухуровневую, а многоуровневую систему управления, в которой число «нижестоящих» операторов, подчиняющихся одному «вышестоящему» оператору, достаточно мало, чтобы обеспечить требуемый уровень гармонии их интересов.

Многоуровневое управление наряду с другими задачами решает важнейшую проблему обеспечения определенного уровня гармонии целей системы как целого и ее элементов.

Список литературы

1. Вентцель Е.С. Теория вероятностей. М.: Издат. центр «Академия», 2003. 576 с.
2. Белоусов В.Е., Нгуен В.Т. Алгоритм выбора наилучшего варианта проведения натурального эксперимента в многокритериальных задачах моделирования сложных технических объектов // Системы управления и информационные технологии. 2016. № 1 (63). С. 55–59.
3. Белоусов В.Е., Кончаков С.А. Алгоритм для оперативного определения состояний объектов в многоуровневых технических системах // Экономика и менеджмент систем управления. 2015. № 3.2. (17). С. 227–232.
4. Бурков В.Н., Данев Б.К., Еналеев А.К. Большие системы: моделирование организационных механизмов. М.: Наука, 1989. 245 с.
5. Бурков В.Н., Кондратьев В.В. Механизмы функционирования организационных систем. М.: Наука, 1981. 301 с.
6. Белоусов В.Е., Нижегородов К.И., Соха И.С. Алгоритмы получения упорядоченных правил предпочтения в задачах принятия решений при планировании производственных программ // Управление строительством. 2019. № 1 (14). С. 105–111.
7. Белоусов В.Е., Баркалов С.А., Нижегородов К.А. Ресурсно-временной анализ в задачах календарного планирования строительных предприятий // Материалы XVI Всероссийской школы-

конференции молодых ученых «Управление большими системами». Тамбов: Изд-во ТГТУ, 2019. Т. 1. С. 98–101.

8. Jordan M.I. Attractor dynamics and parallelism in a connectionist sequential machine // The Eighth Annual Conference of the Cognitive Science Society. Amherst, MA, 1986. P. 531–546.

9. Горелик А.Л., Скрипкин В.А. Методы распознавания. М.: Высшая школа. 2004. 341 с.

10. Афанасьев В.Н., Юзбашев М.М. Анализ временных рядов и прогнозирование. М.: Финансы и статистика, 2001. С. 203–211.

11. Моделирование системы оценки компетенций в управлении профессорско-преподавательским составом вуза / С.А. Баркалов, В.Е. Белоусов, Н.Ю. Калинина и др. // XXI Международная конференция по мягким вычислениям и измерениям (SCM-2018): сб. докл. в 2 т. СПб.: СПбГЭТУ «ЛЭТИ», 2018. Т. 1. С. 355–358.

12. Вапник В.Н. Восстановление зависимости по эмпирическим данным. М.: Наука, 1979. 295 с.

13. Губко М.В., Караваев А.П. Согласование интересов в матричных структурах управления // Автоматика и телемеханика. 2001. № 10. С. 132–146.

14. Баркалов С.А., Бурков В.Н., Порядина В.Л. Механизмы активной экспертизы в задачах комплексного оценивания // Вестник Воронежского государственного технического университета. 2009. Т. 5, № 6. С. 64–67.

15. Hart O.D., Holmstrom B. Theory of contracts // Advances in economic theory. 5-th World Congress. Cambridge: Cambridge Univ. Press; 1987. P. 71–155.

References

1. Venttsel' E.S. *Teoriya veroyatnostey* [Probability theory]. Moscow: Publishing center “Akademiyu”; 2003. P. 576. (In Russ.)

2. Belousov V.E., Nguyen V.T. Algorithm of the choice of the best option of carrying out natural experiment in multicriteria problems of design of difficult technical objects. *Sistemy upravleniya i informatsionnyye tekhnologii*. 2016;1(63):55–59. (In Russ.)

3. Belousov V.E., Konchakov S.A. [Algorithm for operational definition of statuses of objects in multilayer technical systems]. *Ekonomika i menedzhment sistem upravleniya*. 2015;3.2(17):227–232. (In Russ.)

4. Burkov V.N., Danev B.K., Enaleev A.K. *Bol'shie sistemy: modelirovanie organizatsionnykh mekhanizmov* [Big systems: modeling of organizational mechanisms]. Moscow: Nauka; 1989. 245 p. (In Russ.)

5. Burkov V.N., Kondrat'ev V.V. *Mekhanizmy funktsionirovaniya organizatsionnykh sistem* [Mechanisms of functioning of organizational systems]. Moscow: Nauka; 1981. 301 p. (In Russ.)

6. Belousov V.E., Nizhegorodov K.A., Soha I.S. Algorithms of obtaining the ordered rules of preference in problems of decision-making when planning production programs. *Upravleniye stroitel'stvom*. 2019;1(14):105–111. (In Russ.)

7. Belousov V.E., Barkalov S.A., Nizhegorodov K.A. [Resource timing analysis in problems of scheduling of the construction enterprises]. In: *Materials of the XVI All-Russian school conference of young scientists “Management of big systems”*. Tambov: TSTU Publ.; 2019. Vol. 1. P. 98–101. (In Russ.)

8. Jordan M.I. Attractor dynamics and parallelism in a connectionist sequential machine. In: *The Eighth Annual Conference of the Cognitive Science Society*. Amherst, MA; 1986. P. 531–546.

9. Gorelik A.L., Skripkin V.A. *Metody raspoznavaniya* [Recognition methods]. Moscow: Vysshaya shkola; 2004. 341 p. (In Russ.)

10. Afanas'ev V.N., Yuzbashev M.M. *Analiz vremennykh ryadov i prognozirovaniye* [Analysis of time series and forecasting]. Moscow: Finansy i statistika; 2001. P. 203–211. (In Russ.)

11. Barkalov S.A., Belousov V.E., Kalinina N.Yu., Nasonova T.V., Fomina M.A., Leksashov A.V. [Modeling of a system of assessment of competences of management of the faculty of higher education institution]. *XXI International conference on soft calculations and measurements (SCM-2018)*, in 2 volumes. St. Petersburg: Saint Petersburg Electrotechnical University “LETI”; 2018. Vol. 1. P. 355–358. (In Russ.)

12. Vapnik V.N. *Vosstanovlenie zavisimosti po empiricheskim dannym* [Recovery of dependence according to empirical data]. Moscow: Nauka; 1979. 295 p. (In Russ.)

13. Goubko M.V., Karavaeva A.P. Interest Reconciliation in Matrix Control Structures. *Automation and Remote Control*. 2001;62(10): 1658–1672. DOI: 10.1023/A:1012414500272
14. Barkalov S.A., Burkov V.N., Porjadina V.L. Mechanisms of active examination in problems complex estimation. *Bulletin of Voronezh state technical university*. 2009;5(6):64–67. (In Russ.)
15. Hart O.D., Holmstrom B. Theory of contracts. In: *Advances in economic theory. 5-th World Congress*. Cambridge: Cambridge Univ. Press; 1987. P. 71–155.

Информация об авторах

Баркалов Сергей Алексеевич, д-р техн. наук, проф., декан факультета экономики, менеджмента и информационных технологий, заведующий кафедрой управления, Воронежский государственный технический университет, Воронеж, Россия; bsa610@yandex.ru.

Белouсов Вадим Евгеньевич, канд. техн. наук, доц., заведующий базовой кафедрой кибернетики в системах организационного управления, Воронежский государственный технический университет, Воронеж, Россия; belousov@vgasu.vrn.ru.

Дорофеев Дмитрий Валериевич, аспирант кафедры управления, Воронежский государственный технический университет, Воронеж, Россия; upr_stroy_kaf@vgasu.vrn.ru.

Нижегородов Кирилл Александрович, аспирант кафедры управления, Воронежский государственный технический университет, Воронеж, Россия; eng@gmail.com.

Серебрякова Елена Анатольевна, канд. экон. наук, доц., доц. кафедры цифровой и отраслевой экономики, Воронежский государственный технический университет, Воронеж, Россия; sea-parish@mail.ru.

Information about the authors

Sergey A. Barkalov, Dr. Sci. (Eng.), Prof., Dean of the Faculty of Economics, Management and Information Technologies, Head of the Department of Management, Voronezh State Technical University, Voronezh, Russia; bsa610@yandex.ru.

Vadim E. Belousov, Cand. Sci. (Eng.), Ass. Prof., Head of the Basic Department of Cybernetics in the Systems of Organizational Management, Voronezh State Technical University, Voronezh, Russia; belousov@vgasu.vrn.ru.

Dmitry V. Dorofeyev, Postgraduate student of the Department of Management, Voronezh State Technical University, Voronezh, Russia; upr_stroy_kaf@vgasu.vrn.ru.

Kirill A. Nizhegorodov, Postgraduate student of the Department of Management, Voronezh State Technical University, Voronezh, Russia; eng@gmail.com.

Elena A. Serebryakova, Cand. Sci. (Econ.), Ass. Prof., Ass. Prof. of the Department of Digital and Industrial Economics, Voronezh State Technical University, Voronezh, Russia; sea-parish@mail.ru.

Статья поступила в редакцию 22.04.2023

The article was submitted 22.04.2023

ОПТИМИЗАЦИЯ СИСТЕМЫ УПРАВЛЕНИЯ ПРОГРАММНО-АППАРАТНОГО КОМПЛЕКСА ДЛЯ УЧЕТА ЭЛЕКТРОЭНЕРГИИ

Г.И. Волович¹, g_volovich@mail.ru, <https://orcid.org/0000-0002-3572-1823>

Д.В. Топольский², topolskiidv@susu.ru, <https://orcid.org/0000-0002-9370-7851>

Н.Д. Топольский², topolskiind@susu.ru, <https://orcid.org/0000-0002-0522-1748>

А.А. Максимов³, <https://orcid.org/0000-0002-1476-0663>

¹ ООО «Челэнергоприбор», Челябинск, Россия

² Южно-Уральский государственный университет, Челябинск, Россия

³ Государственная Дума Федерального Собрания Российской Федерации VIII созыва, Москва, Россия

Аннотация. В представленной статье исследуется тема оптимизации системы управления программно-аппаратного комплекса для учета электроэнергии. Система управления играет решающую роль в точном измерении и контроле потребления электроэнергии. Основной целью данного исследования является выявление и внедрение методов оптимизации, которые повышают производительность и результативность системы управления. **Цель исследования.** На основе анализа существующих электротехнических комплексов разработать архитектуру, имитационные цифровые модели, алгоритмы эффективного управления и методику эксплуатации электротехнического комплекса на базе трехфазных цифровых измерительных трансформаторов с системой управления отечественного производства для учета электроэнергии в высоковольтных сетях переменного тока, обеспечивающих работоспособность и качество функционирования в различных режимах при разнообразных внешних воздействиях. **Материалы и методы.** Поставленные научные задачи решены с применением общей теории электротехнических комплексов и систем, теории автоматического управления, методов физического, математического, имитационного и компьютерного моделирования компонентов электротехнических комплексов и систем. **Результаты.** В статье отражено развитие общей теории электротехнических комплексов, включающих в себя цифровые комбинированные измерительные трансформаторы и систему управления в виде отдельно стоящего модуля объединения, в части оптимизации системных связей компонентов электротехнических комплексов учета электроэнергии. Предлагается повысить интеллектуальный уровень оконечного устройства для обеспечения возможности проведения первичного анализа данных ещё на первом уровне архитектуры системы учета электроэнергии. **Заключение.** Основным практическим результатом проведенных исследований является изготовление прототипа электротехнического комплекса на основе опытных образцов адаптивных цифровых трансформаторов тока и напряжения и системы управления электротехнического комплекса для учета электроэнергии на основе универсальной платформы для измерительных трансформаторов. Такое построение цифрового трехфазного измерительного трансформатора и универсальный оконечный блок (модуль объединения) позволяют на основе разработанного прототипа сравнительно просто разрабатывать аналогичные устройства с другими диапазонами токов и напряжений. В существующих комбинированных измерительных трансформаторах такое сочетание первичных преобразователей не используется.

Ключевые слова: цифровой измерительный трансформатор, устройство объединения, МЭК-61850, АСУ ТП подстанции, цифровая подстанция, комплекс учета электроэнергии

Для цитирования: Оптимизация системы управления программно-аппаратного комплекса для учета электроэнергии / Г.И. Волович, Д.В. Топольский, Н.Д. Топольский, А.А. Максимов // Вестник ЮУрГУ. Серия «Компьютерные технологии, управление, радиоэлектроника». 2023. Т. 23, № 4. С. 57–65. DOI: 10.14529/ctcr230406

OPTIMIZATION OF THE CONTROL SYSTEM OF A SOFTWARE AND HARDWARE COMPLEX FOR ELECTRICITY ACCOUNTING

G.I. Volovich¹, g_volovich@mail.ru, <https://orcid.org/0000-0002-3572-1823>
D.V. Topolskii², topolskiidv@susu.ru, <https://orcid.org/0000-0002-9370-7851>
N.D. Topolskii², topolskiind@susu.ru, <https://orcid.org/0000-0002-0522-1748>
A.A. Maksimov³, <https://orcid.org/0000-0002-1476-0663>

¹ LLC Chelenergopribor, Chelyabinsk, Russia

² South Ural State University, Chelyabinsk, Russia

³ State Duma of the Federal Assembly of the Russian Federation of the VIII convocation, Moscow, Russia

Abstract. The presented article explores the topic of optimizing the control system software and hardware complex for electricity metering. The control system plays a crucial role in accurately measuring and monitoring electricity consumption. The main objective of this research is to identify and implement optimization techniques that enhance the performance and efficiency of the control system. **Aim.** Based on the analysis of existing electrical complexes, to develop an architecture, simulation digital models, effective control algorithms and methods of operation of an electrical complex based on three-phase digital measuring transformers with a control system of domestic production for electricity metering in high-voltage AC networks, ensuring operability and quality of functioning in various modes under various external influences. **Materials and methods.** The scientific tasks have been solved using the general theory of electrical complexes and systems, the control systems theory, methods of physical, mathematical, simulation and computer modeling of components of electrical complexes and systems. **Results.** The article reflects the development of the general theory of electrical complexes, including digital combined measuring transformers and a control system in the form of a stand-alone integration module, in terms of optimizing system connections of components of electrical power metering complexes. **Conclusion.** The main practical result of the conducted research is the production of a prototype of an electrical complex based on prototypes of adaptive digital current and voltage transformers and an electrical complex control system for electricity metering based on a universal platform for measuring transformers. Such a construction of a digital three-phase measuring transformer and a universal terminal block (unification module) make it relatively easy to develop similar devices with other current and voltage ranges based on the developed prototype. In existing combined measuring transformers, such a combination of primary converters is not used.

Keywords: electronic instrument transformer, merging unit, IEC-61850, Substation Automation System, digital substation, electricity metering complex

For citation: Volovich G.I., Topolskii D.V., Topolskii N.D., Maksimov A.A. Optimization of the control system of a software and hardware complex for electricity accounting. *Bulletin of the South Ural State University. Ser. Computer Technologies, Automatic Control, Radio Electronics*. 2023;23(4):57–65. (In Russ.) DOI: 10.14529/ctcr230406

Введение

Системы учета электроэнергии играют ключевую роль в энергетических системах, обеспечивая точное и эффективное управление энергопотреблением. С развитием цифровых технологий и автоматизации процессов все больше компаний стремятся оптимизировать свои системы учета электроэнергии. Оптимизация системы управления программно-аппаратного комплекса учета электроэнергии становится неотъемлемой частью этого процесса.

Цель данной статьи состоит в рассмотрении различных аспектов оптимизации системы управления программно-аппаратного комплекса учета электроэнергии. Мы рассмотрим основные проблемы, с которыми сталкиваются при управлении энергопотреблением, а также предложим решения, основанные на применении современных технологий и методов.

В ходе статьи будут рассмотрены следующие аспекты оптимизации системы управления программно-аппаратного комплекса учета электроэнергии:

- 1) оптимизация системы управления программно-аппаратным комплексом;
- 2) оптимизация выявления аварийной ситуации и реакции на нее;
- 3) предложение применения алгоритмов машинного обучения для прогнозирования и оптимизации выявления аварийных ситуаций [1–10].

1. Актуальность цифровой энергетики

Цифровая энергетика является важной составляющей цифровой экономики будущего. Ожидается, что в ближайшей перспективе цифровизация позволит компаниям в энергетическом секторе увеличить свою выручку на 3–4 % и создать основу для дальнейшего устойчивого роста.

Мировой рынок электроэнергии меняется в связи с цифровизацией, что приводит к увеличению сложности энергетической системы и требует большего обмена информацией между ее компонентами. В настоящее время определены основные тенденции развития электроэнергетики, такие как цифровизация производства и передачи энергии, создание распределенной генерации, агрегаторов спроса и виртуальных электростанций.

Однако существуют проблемы, связанные с высокой ценой электроэнергии для конечных потребителей и необходимостью строительства современной энергетической инфраструктуры с учетом различных факторов.

Для успешной реализации цифровой энергетики необходимо оптимизировать систему управления программно-аппаратным комплексом учета электроэнергии, что включает в себя сбор и передачу данных, анализ энергопотребления, применение алгоритмов машинного обучения и внедрение системы мониторинга и удаленного доступа.

Надежность и эффективность цифровых подстанций также играют важную роль. Необходимо правильно распределить трафик в сети и соблюдать стандарт цифровых подстанций IEC-61850, чтобы обеспечить универсальность компонентов и оптимизировать их стоимость и удобство использования.

В целом цифровая энергетика предоставляет большие возможности для развития и оптимизации энергетической системы. Однако необходимо учитывать различные факторы и принимать меры для реализации этих возможностей [11–20].

2. Система учета электроэнергии на базе измерительного трансформатора ТРАТОН-110

Цифровой трансформатор является обязательным компонентом системы учета электроэнергии. Существует много различных типов цифровых трансформаторов, и одним из перспективных является ТРАТОН-110. Это комбинированный измерительный трансформатор, который может измерять как ток, так и напряжение. Он отличается компактными размерами, небольшим весом и доступной ценой.

Задача состоит в создании системы учета электроэнергии на основе трех цифровых трансформаторов ТРАТОН-110 (рис. 1), которая соответствует стандарту МЭК-61850. Основным отличием этой системы от существующих является возможность быстрого реагирования на внештатные ситуации. Для этого система должна обладать следующими свойствами:

- 1) соответствие требованиям стандарта IEC-61850;
- 2) безыскаженная передача информации в экстремальных режимах;
- 3) высокая точность измерений (класс 0,2S);
- 4) встроенная диагностика и контроль тестирования;
- 5) передача данных в SCADA-систему.



Рис. 1. Цифровой трансформатор ТРАТОН-110
Fig. 1. Digital instrument transformer TRATON-110

Трансформатор передает информацию о значениях тока и напряжения, а также флаги качества измеренных данных. Блок слияния собирает посылку в формате IEC-61850-9-2 и анализирует флаги качества измерений. При возникновении аварийной ситуации блок слияния отправляет сообщение GOOSE в систему управления информацией. В настоящее время неизвестно, любое ли из существующих устройств этого типа сигнализирует об аварии [21–25]. Поэтому целесообразно использовать эту информацию для повышения интеллектуальности интерфейсного устройства. Это позволит сократить время реакции на внештатные ситуации в системе. Устройство считается интеллектуальным, если оно выполняет часть функций управления. Чем выше уровень интеллекта устройства, тем больше функций может выполнять система управления.

3. Цифровой трансформатор как часть системы учета электроэнергии

Цифровой трансформатор играет важную роль в архитектуре системы учета электроэнергии. Он является одним из ключевых компонентов, обеспечивающих точные и надежные измерения потребления электроэнергии.

Цифровой трансформатор преобразует измеренные данные о токе и напряжении в цифровой формат, что позволяет получать более точные результаты. Он также обладает высокой точностью измерений, что является важным фактором для достоверного учета электроэнергии.

В архитектуре системы учета электроэнергии цифровой трансформатор выполняет ряд функций. Он передает данные об измерениях в режиме реального времени, что позволяет операторам системы наблюдать и анализировать потребление электроэнергии в реальном времени. Это особенно важно для эффективного управления и оптимизации системы учета электроэнергии (рис. 2).

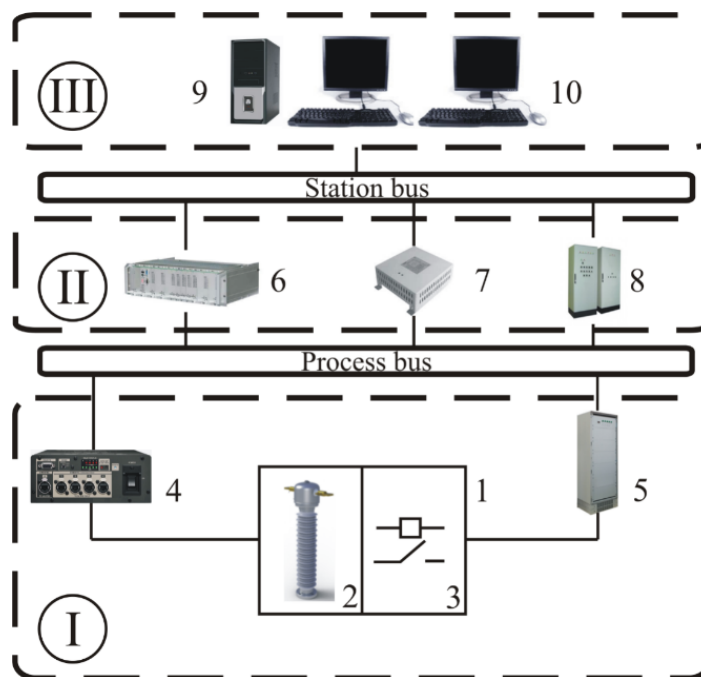


Рис. 2. Архитектура системы учета электроэнергии
Fig. 2. Architecture of the electricity metering system

Цифровой трансформатор также интегрируется с системой управления энергетическими данными. Он передает данные об измерениях в систему SCADA или другую систему управления, что позволяет операторам эффективно контролировать и управлять энергетическими процессами.

Кроме того, цифровой трансформатор поддерживает возможность удаленного мониторинга и управления. Операторы могут получать данные о потреблении электроэнергии и управлять энергетической системой из любого места, что повышает гибкость и эффективность управления.

Таким образом, цифровой трансформатор является важной частью архитектуры системы учета электроэнергии. Он обеспечивает точные измерения, передачу данных в режиме реального времени, интеграцию с системой управления и возможность удаленного мониторинга. Все это способствует повышению наблюдательности энергетической системы, и как следствие – улучшению энергоэффективности и сокращению затрат на электроэнергию.

4. Оптимизация реакции системы управления на аварийное событие

На цифровых подстанциях сигналы реакции системы управления на аварийные события вырабатываются устройствами второго и третьего уровня иерархии. Соответственно для передачи технологической информации с первого уровня системы управления на верхние и обратно требуются затраты времени. В том случае, если обеспечить выработку сигналов об аварийных ситуациях на первом уровне, время реакции на аварийные ситуации будет снижено. Для изучения теоретических предпосылок было проведено экспериментальное исследование. Использовались три измерительных трансформатора ТРАТОН-110 и оконечный блок «Авача» в качестве основы для реализации системы учета электроэнергии. Схема подключения представлена на рис. 3.

Рассмотрим подробнее реакцию системы учета электроэнергии на аварийное событие. Измеренные данные измерительными трансформаторами собираются в посылку формата МЭК-61850-9-2 внутри оконечного блока. Затем данные формата МЭК-61850-9-2 пересылаются через шину процесса остальным интеллектуальным устройствам системы учета электроэнергии, которые выполняют функции релейной защиты и автоматики. Таким образом данные собираются в посылку формата МЭК-61850-9-2 и затем разбираются для внутреннего пользования каждого из интеллектуальных устройств.

В целях оптимизации времени реакции на аварийные ситуации предлагается повысить интеллектуальный уровень оконечного устройства, чтобы производить первичный анализ данных еще на первом уровне архитектуры системы учета электроэнергии. Таким образом, оконечный блок при формировании посылки сможет также проанализировать измеренные цифровыми трансформаторами данные, которые он собирает в посылку МЭК-61850-9-2, и без дополнительных пересылок на другие уровни архитектуры системы учета электроэнергии определить аварийную ситуацию. После определения оконечный блок отправит в систему учета электроэнергии уже управляющее GOOSE-сообщение формата МЭК-61850-8-1 с данными об аварийной ситуации.

Подсчитаем сложность данного алгоритма. Согласно теории алгоритмов, все блоки, отвечающие за линейные действия, принято считать за 1, или на языке оценки сложности алгоритмов – $O(1)$. Цикл с одним параметром необходимо считать как $O(n)$. И есть правило, что сложность вложенных циклов – это перемноженные сложности внешнего и внутреннего цикла, а сложность линейных блоков – сумма сложностей. Так же, так как сложность алгоритма является по своей сути пределом функции от n , слагаемые у многочленов меньших степеней можно сокращать.

Оценим сложности алгоритмов реакции на аварийную ситуацию. Блок-схемы рассматриваемых алгоритмов представлены на рис. 4 и 5. При пересылке данных сложность алгоритма при обработке данных оконечным блоком составляет $O(n^2)$. Сложность алгоритма пересылки данных – $O(1)$. Сложность алгоритма повторной обработки данных на РЗА – $O(n^2)$. Таким образом, сложность текущего алгоритма составит

$$O(1 + n^2 + 1 + n^2) = O(2n^2 + 2) = O(2n^2). \quad (1)$$

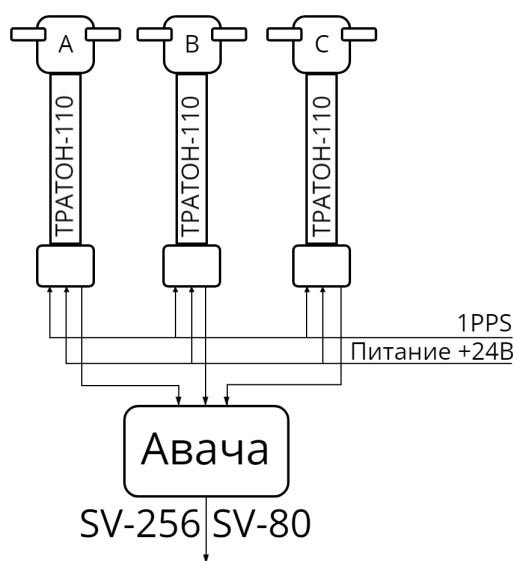


Рис. 3. Схема подключения оконечного блока системы учета электроэнергии
Fig. 3. Connection diagram of merging unit of the electricity metering system

Оценим сложность алгоритма в случае, когда данные проверяются на аварийную ситуацию в конечном блоке:

$$O(1 + n^2 + 1) = O(n^2 + 2) = O(n^2). \quad (2)$$

Зная (1) и (2), сравним полученные результаты оценки алгоритмов:

$$O(2n^2) \gg O(n^2). \quad (3)$$

Зная (3), очевидно, что в случае применения оптимизации, когда данные проверяются на аварийную ситуацию в конечном блоке, сложность вычислений ниже, соответственно, в этом случае теоретически оптимизация является существенной.

В процессе испытаний цифровых измерительных трансформаторов ТРАТОН-110 в связке с конечным блоком «Авача» измерительная система работала корректно. Кроме того, во время теста измерялась мощность процессора «Авача». Во время работы процессор блока был загружен не полностью.

Расчеты показали, что мощности этого устройства достаточно, чтобы не задерживать посылку стандарта МЭК-61850-9-2 и дополнительно анализировать измеренные данные, генерировать и отправлять управляющее GOOSE-сообщение формата МЭК-61850-8-1 об аварии. В результате моделирования данной ситуации аварии были зарегистрированы в среднем в 1,6 раза быстрее.

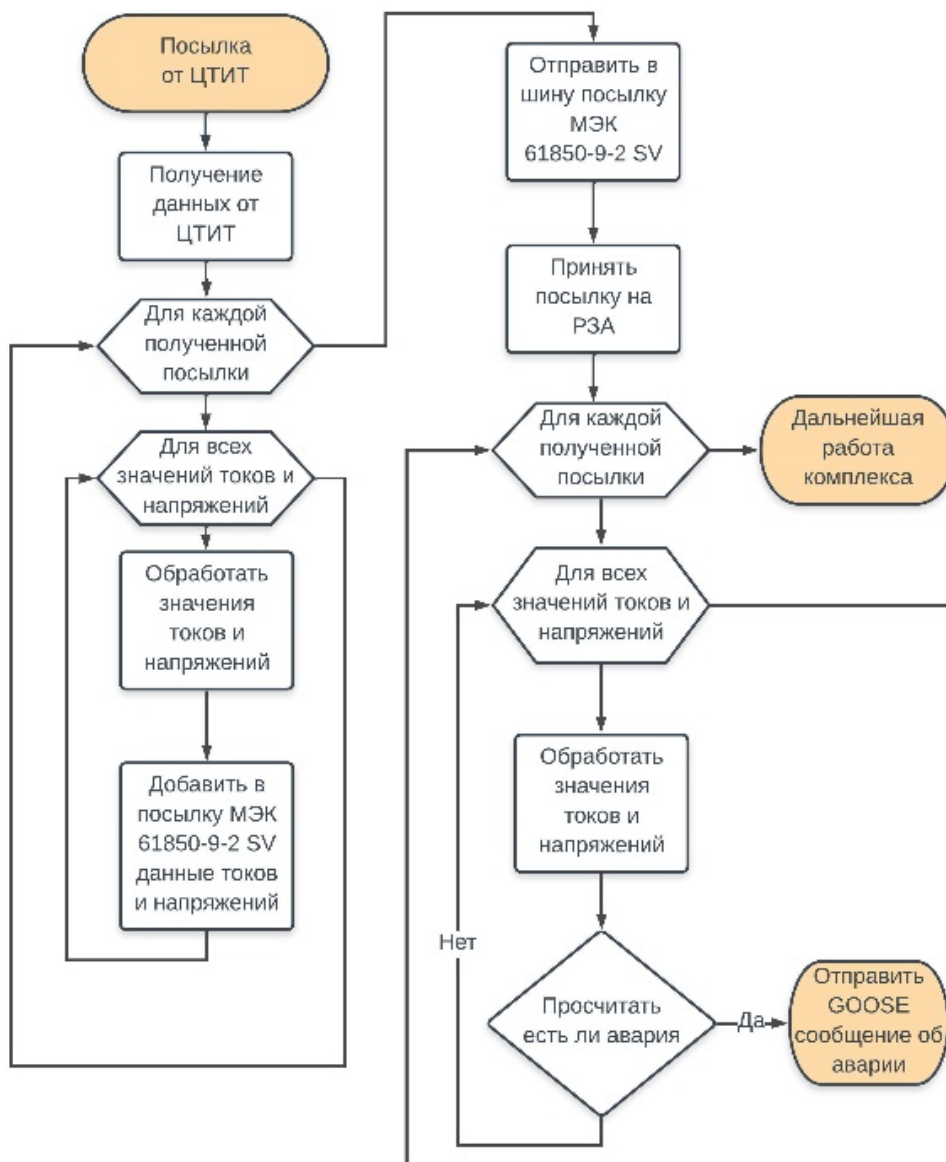


Рис. 4. Стандартный алгоритм обработки данных
Fig. 4. Standard data processing algorithm

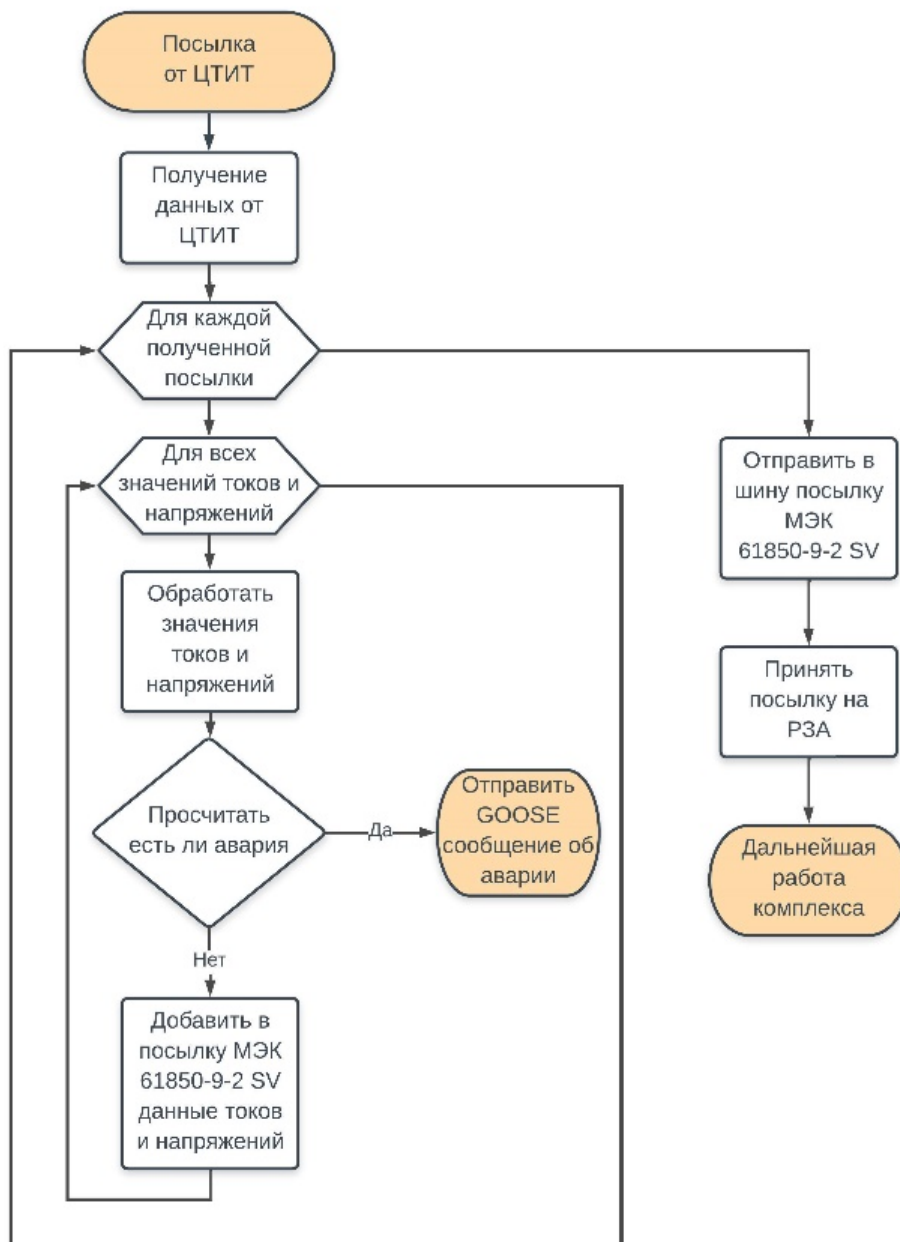


Рис. 5. Оптимизированный алгоритм обработки данных
Fig. 5. Optimized data processing algorithm

Чтобы снизить нагрузку на оконечное устройство и охватить большее количество аварийных ситуаций, предлагается применить алгоритмы машинного обучения на основе данных от реальных объектов с указанием выявленных аварийных ситуаций. После использования алгоритмов машинного обучения на выходе будет нейронная сеть, которая сможет делать более точное предсказание об аварийной ситуации и срабатывать в больших количествах аварийных случаев.

Выводы

Основываясь на результатах исследования, были сделаны следующие выводы.

1. Система управления программно-аппаратным комплексом была оптимизирована.
2. Оптимизация выявления аварийной ситуации является теоретически и практически существенной.
3. Предложена оптимизация системы с применением алгоритмов машинного обучения для прогнозирования и оптимизации выявления аварийных ситуаций.
4. Цели исследования достигнуты.

Список литературы/References

1. Smith J. Optimization Techniques for Control System Software and Hardware Complexes. *International Journal of Electrical Engineering*. 2018;42(3):156–167.
2. Brown A., Johnson R. Improving Performance of Control System Software and Hardware Complexes for Electricity Metering through Optimization. *Journal of Power Engineering*. 2019;28(2):89–102.
3. Anderson T. Advanced Algorithms for Optimization of Control System Software and Hardware Complexes in Electricity Metering Applications. *IEEE Transactions on Power Systems*. 2020;35(4):2567–2582.
4. White S., Davis M. Optimization Strategies for Control System Software and Hardware Complexes in Electricity Metering. *International Journal of Energy Optimization and Engineering*. 2017;7(1):45–57.
5. Garcia L., Martinez C. Optimization Techniques for Control System Software and Hardware Complexes in Smart Grids. *Energy Procedia*. 2016;100:123–132.
6. Johnson E., Thompson G. Enhancing Efficiency of Control System Software and Hardware Complexes for Electricity Metering through Optimization. *International Journal of Power and Energy Systems*. 2018;38(2):78–91.
7. Brown M., Wilson D. Optimization Models for Control System Software and Hardware Complexes in Electricity Metering. *Journal of Electrical Engineering and Automation*. 2019;23(3):167–180.
8. Anderson J., Smith K. Application of Optimization Techniques in Control System Software and Hardware Complexes for Electricity Metering. *International Journal of Power Electronics and Energy Conversion Systems*. 2020;10(4):234–247.
9. Davis R., Garcia L. Optimization Approaches for Control System Software and Hardware Complexes in Electricity Metering. *Journal of Energy Engineering*. 2017;143(6):1–14.
10. Thompson E., Martinez C. Optimization of Control System Software and Hardware Complexes for Improved Electricity Metering. In: *Proceedings of the International Conference on Power Engineering and Renewable Energy*. 2016. P. 45–52.
11. Zhao Y.-B., Zhou S.-B., Ma Z.-Y. Research and manufacture of merging unit based on IEC 61850-9-2. *Dianli Xitong Baohu yu Kongzhi/Power System Protection and Control*. 2010.
12. Mohagheghi S., Stoupis J., Wang Z. Communication protocols and networks for power systems – Current status and future trends. In: *2009 IEEE/PES Power Systems Conference and Exposition*. 2009, no. 4840174.
13. Mackiewicz R.E. Overview of IEC 61850 and benefits // In: *2006 IEEE Power Engineering Society General Meeting. PES*. 2006, no. 1709546.
14. Djokić B., So E. Calibration system for electronic instrument transformers with digital output. *IEEE Transactions on Instrumentation and Measurement*. 2005;54(2):479–482.
15. Manbachi M., Sadu A., Farhangi H., Monti A., Palizban A., Ponci F., Arzanpour S. Real-Time Co-Simulation Platform for Smart Grid Volt-VAR Optimization Using IEC 61850. *IEEE Transactions on Industrial Informatics*. 2016;12(4):1392–1402, no. 7470528.
16. Hoyos J., Dehus M., Brown T.X. Exploiting the GOOSE protocol: A practical attack on cyber-infrastructure // In: *2012 IEEE Globecom Workshops*. 2012. P. 1508–1513, no. 6477809.
17. Yamada T., Kon S., Hashimoto N., Yamaguchi T., Yazawa K., Kondo R., Kurosawa K. ECT evaluation by an error measurement system according to IEC 60044-8 and 61850-9-2. *IEEE Transactions on Power Delivery*. 2012;27(3):1377–1384, no. 6180207.
18. Palensky P., Dietrich D. Demand side management: Demand response, intelligent energy systems, and smart loads. *IEEE Transactions on Industrial Informatics*. 2011;7(3):381–388, no. 5930335.
19. Sidhu T.S., Yin Y. Modeling and simulation for performance evaluation of IEC 61850-based substation communication systems. *IEEE Transactions on Power Delivery*. 2007;22(3):1482–1489.
20. Andersson L., Brunner C., Engler F. Substation automation based on IEC 61850 with new process-close technologies. In: *2003 IEEE Bologna PowerTech – Conference Proceedings*. 2003. Vol. 2. P. 6–11, no. 1304321.
21. IEC 61850-3:2013 Communication networks and systems for power utility automation – Part 3: General requirements. URL: <https://webstore.iec.ch/publication/6010> (accessed: 20.08.2023).
22. IEC 61850-5:2013 Communication networks and systems for power utility automation – Part 5: Communication requirements for functions and device models. Available at: <https://webstore.iec.ch/publication/6012> (accessed 20.08.2023).

23. IEC 61850-7-1:2011+AMD1:2020 CSV Consolidated version. Communication networks and systems for power utility automation – Part 7-1: Basic communication structure – Principles and models. Available at: <https://webstore.iec.ch/publication/67536> (accessed 20.08.2023).

24. IEC 61850-8-1:2011+AMD1:2020 CSV Consolidated version. Communication networks and systems for power utility automation – Part 8-1: Specific communication service mapping (SCSM) – Mappings to MMS (ISO 9506-1 and ISO 9506-2) and to ISO/IEC 8802-3. Available at: <https://webstore.iec.ch/publication/66585> (accessed 20.08.2023).

25. IEC 61850-9-2:2011 Communication networks and systems for power utility automation – Part 9-2: Specific communication service mapping (SCSM) – Sampled values over ISO/IEC 8802-3. Available at: <https://webstore.iec.ch/publication/66549> (accessed 20.08.2023).

Информация об авторах

Волович Георгий Иосифович, д-р техн. наук, проф., директор, ООО «Челэнергоприбор», Челябинск, Россия; g_volovich@mail.ru.

Топольский Дмитрий Валерианович, кандидат технических наук, доцент, доцент кафедры электронных вычислительных машин, Южно-Уральский государственный университет, Челябинск, Россия; topolskiidv@susu.ru.

Топольский Никита Дмитриевич, аспирант кафедры электронных вычислительных машин, Южно-Уральский государственный университет, Челябинск, Россия; topolskiind@susu.ru.

Максимов Александр Александрович, д-р техн. наук, депутат, Государственная Дума Федерального Собрания Российской Федерации VIII созыва, Москва, Россия.

Information about the authors

Georgiy I. Volovich, Dr. Sci. (Eng.), Prof., Director, LLC Chelenergopribor, Chelyabinsk, Russia; g_volovich@mail.ru.

Dmitrii V. Topolskii, Cand. Sci. (Eng.), Ass. Prof., Ass. Prof. of the Department of Electronic computing machines, South Ural State University, Chelyabinsk, Russia; topolskiidv@susu.ru.

Nikita D. Topolskii, Postgraduate student of the Department of Electronic computing machines, South Ural State University, Chelyabinsk, Russia; topolskiind@susu.ru.

Alexander A. Maksimov, Dr. Sci. (Eng.), Deputy, State Duma of the Federal Assembly of the Russian Federation of the VIII convocation, Moscow, Russia.

Статья поступила в редакцию 28.08.2023

The article was submitted 28.08.2023

Управление в социально-экономических системах Control in social and economic systems

Научная статья
УДК 004.942
DOI: 10.14529/ctcr230407

О МОДЕЛИ ПРОГНОЗИРОВАНИЯ ВЫРУЧКИ ОРГАНИЗАЦИИ С БЫСТРЫМ РОСТОМ

О.И. Дранко¹, olegdranko@gmail.com, <https://orcid.org/0000-0002-4664-1335>
К.К. Тароян², taroyan.kk@phystech.edu, <https://orcid.org/0009-0000-9662-2100>

¹ Институт проблем управления им. В.А. Трапезникова Российской академии наук, Москва, Россия

² Московский физико-технический институт (национальный исследовательский университет), Москва, Россия

Аннотация. В работе рассмотрена модель прогнозирования выручки быстрорастущих организаций. В качестве приближения кривой роста рассмотрена логистическая кривая. **Цель работы** состоит в задаче прогнозирования развития быстрорастущих организаций с применением функции логистической кривой. **Материалы и методы.** Используется комплекс имитационных моделей системной динамики для прогнозирования показателей организаций. Частным случаем приближения прогноза выручки является логистическая кривая как вариант сигмоиды. Информационной основой исследования выступили открытые данные Федеральной службы государственной статистики (Росстат), Государственного информационного ресурса бухгалтерской (финансовой) отчетности Федеральной налоговой службы. Для идентификации параметров использован метод наименьших квадратов. **Результаты.** В работе выявлены более 1200 быстрорастущих организаций всех отраслей с выручкой более 1000 млн руб. Критерием выявления быстрорастущих организаций установлен среднегодовой темп роста выручки более 50 % в год. По фактическим данным были идентифицированы параметры логистической кривой: потенциал роста, темп роста и точка перегиба. Более детально рассмотрен пример быстрорастущей компании по доставке продуктов питания «СберМаркет». По модельному прогнозу, предельное значение логистической кривой выручки составило около 700 млрд руб. **Заключение.** Проведено исследование быстрорастущих организаций России. Модель логистической кривой применена к быстрорастущим компаниям. Приближение роста компании логистической кривой позволило сделать оценку по росту выборки организаций. Оценка роста «СберМаркета» показывает, что при текущих параметрах организация может стать одним из доминирующих участников на розничном рынке.

Ключевые слова: прогнозирование, логистическая кривая, сигмоида, рост, экосистема организаций, финансовое моделирование, идентификация параметров

Для цитирования: Дранко О.И., Тароян К.К. О модели прогнозирования выручки организации с быстрым ростом // Вестник ЮУрГУ. Серия «Компьютерные технологии, управление, радиоэлектроника». 2023. Т. 23, № 4. С. 66–75. DOI: 10.14529/ctcr230407

Original article

DOI: 10.14529/ctcr230407

THE REVENUE FORECASTING MODEL OF FAST-GROWING ORGANIZATION

O.I. Dranko¹, olegdranko@gmail.com, <https://orcid.org/0000-0002-4664-1335>**K.K. Taroyan**², taroyan.kk@phystech.edu, <https://orcid.org/0009-0000-9662-2100>¹ V.A. Trapeznikov Institute of Control Sciences of Russian Academy of Sciences, Moscow, Russia² Moscow Institute of Physics and Technology (National Research University), Moscow, Russia

Abstract. We consider a revenue forecasting model for fast-growing organizations. We use the logistic curve for approximation of the growth curve. **The purpose of the work** is to predict the development of fast-growing organizations using the logistic curve function. **Materials and methods.** A set of system dynamics simulation models is used to predict the indicators of organizations. A particular case of approximating the revenue forecast is the logistic curve as a variant of the sigmoid. The information basis of the study was the open data of the Federal State Statistics Service (Rosstat), the State Information Resource of accounting (financial) statements of the Federal Tax Service. The least squares method was used to identify the parameters. **Results.** We identified more than 1200 fast-growing organizations of all industries with revenue of more than 1000 million rubles. The criterion for identifying fast-growing organizations is a compound annual growth rate of revenue of more than 50% per year. According to the actual data, the following parameters of the logistics curve were identified: growth potential, growth rate, and inflection point. The example of a fast-growing food delivery company, “SberMarket” is considered in more detail. According to the model forecast, the marginal value of the logistics revenue curve will be about 700 billion rubles. **Conclusion.** A study of fast-growing organizations in Russia has been conducted. The logistics curve model is applied to fast-growing companies. The approximation of the company’s growth by the logistics curve allowed us to assess of the growth of a sample of organizations. The growth assessment of “SberMarket” shows that the organization could become one of the dominant participants in the retail market with the current forecasting parameters.

Keywords: forecasting, logistic curve, growth, sigmoid, ecosystem of organizations, financial modeling, identification of parameters

For citation: Dranko O.I., Taroyan K.K. The revenue forecasting model of fast-growing organization. *Bulletin of the South Ural State University. Ser. Computer Technologies, Automatic Control, Radio Electronics.* 2023;23(4):66–75. (In Russ.) DOI: 10.14529/ctcr230407

Введение

В современной реальности компании должны принимать управленческие решения только после тщательного анализа. Методы моделирования и прогнозирования [1] позволяют выявить закономерности, сценарии развития и указать наиболее вероятный из них.

В рамках анализа тренда выделяют много способов аппроксимации временных рядов. Большинство из них по мере роста времени стремятся в бесконечность, в то время как логистическая кривая стремится к уровню насыщения [2, 3]. Такая особенность логистической кривой делает ее популярной в прогнозировании временных рядов. В работах [4, 5] рассмотрена модель по оценке эффективности ряда организаций России.

В рамках задачи прогнозирования развития организаций интересно работать с быстрорастущими организациями (БРО). Такие организации играют ключевую роль в развитии своих отраслей, оказывая положительное влияние на динамику экономических индикаторов страны. Одна из главных особенностей БРО – это их способность быстро адаптироваться к изменениям на рынке и гибкость в принятии стратегических решений. Они чувствительны к требованиям потребителей и быстро реагируют на новые тенденции в своей отрасли. Это позволяет им занимать прочные позиции на рынке и успешно конкурировать с другими компаниями.

Особенностью таких организаций является короткий срок жизнедеятельности. Поэтому применение методов их прогнозирования требует особенности статистического материала.

За основу выявления БРО было принято условие: не менее 50 % среднегодового роста выручки за последние 5 лет.

1. Обзор

Быстрорастущие организации, которые показывают высокий темп роста и успешно развиваются на рынке, часто называют «газелями» – в аналогии с животным мира. «Газели» в экономике также характеризуются быстрым и гибким развитием, способностью адаптироваться к изменяющимся условиям рынка и стремлением к лидерству в своей отрасли. Это понятие было введено в экономическую терминологию американским экономистом Д. Берчем [6] и быстро стало широко используемым для обозначения таких предприятий.

Подход, предложенный Г. Симоном [7–9], экспертом по ценообразованию, представляет немало иную точку зрения. Он рассматривает немецкие организации и выделяет «скрытых чемпионов» быстрого роста, которые включают в себя малые и средние предприятия, играющие важную роль в экономике Германии.

Исследование «газелей» в России приведено в работах [6–15]. В каждой из работ существует своя особенность. Так, в работе [13] Ю.А. Полуни и А.Ю. Юданов выделили «газели» с реальным ростом выручки (за вычетом инфляции) более 20 процентов в год. В работе [15] приведено исследование вклада быстрорастущих организаций в валовый региональный продукт.

В работе [16] приведена классификация моделей прогнозирования экономического состояния. В данной статье нас будет интересовать отраслевой долгосрочный поисковый прогноз.

Прогнозирование экономических явлений и процессов включает в себя следующие этапы [17]:

- постановка задачи и сбор необходимой информации;
- первичная обработка исходных данных;
- определение круга возможных моделей прогнозирования;
- оценка параметров моделей;
- исследование качества выбранных моделей, адекватности их реальному процессу и выбор лучшей из моделей;
- построение прогноза;
- содержательный анализ полученного прогноза.

Существует несколько методов выбора кривых роста [17].

1. На основе графического изображения, т. е. визуальный (если на графике тенденцию сложно выявить, то можно провести преобразования и затем подобрать функцию в соответствии с преобразованным временным рядом).

2. Метод характеристик приростов (с помощью скользящей средней выравнивается временной ряд, определяются средние приросты, вычисляются производные характеристик приростов).

3. Метод последовательных разностей (учитывает тенденцию, представленную полиномом соответствующей степени).

2. Математическая модель

История логистической кривой берет свое начало из области математической биологии, в основу которой легли утверждения Роя Чапмана [2] о том, что рост одноклеточных популяций определяется биотическим потенциалом (потенциальная скорость увеличения популяции в условиях без каких-либо ограничений) и сопротивлением среды (ограничение на рост популяции, пищи, хищников и др.).

Математическое описание логистической кривой приведено бельгийским математиком Пьером Франсуа Ферхюльстом в 1838 г. (она также называется «кривая Ферхюльста») [2, 18]. Существует геометрический рост популяции с сопротивлением среды, который измеряется как неосуществленная часть потенциального прироста. Классическое уравнение кривой Ферхюльста получило вид:

$$\frac{dQ}{dt} = \frac{\delta \cdot Q \cdot (K - Q)}{K}, \quad (1)$$

где Q – число организмов; K – максимальный размер популяции при заданном размере ресурсов в среде; δ – потенциальная скорость размножения; t – время.

Классическое решение уравнения Ферхюльста (1) имеет вид:

$$\frac{Q}{K - Q} = C \cdot e^{\delta t}.$$

Закладываемые «биологические» предпосылки также характерны и для экономической среды:

- большой потенциал роста из-за большого спектра товаров и услуг;
- ограниченное производство из-за конкуренции;
- ограниченный бюджет потребителя на определенный товар.

Логистическая кривая – это S-образная кривая, которая может быть применена для прогнозирования кумулятивного роста с насыщением [3]. Это означает, что прогнозируемая накопленная величина имеет предел. Проведя параллель с ростом популяции из области математической биологии, данный предел как раз и является аналогом «сопротивления среды». Кривую можно применять к динамическим компаниям, обгоняющим рынок, использовать для описания динамики рынка по имеющимся показателям роста [6].

Рассмотрим функцию логистической кривой

$$F(t) = \frac{L}{1+e^{-k(t-t_0)}} \quad (2)$$

где $F(t)$ – функция от времени; t_0 – точка перегиба; k – параметр, который влияет на скорость экспоненциального роста; L – потенциал роста (горизонтальная асимптота).

Динамику логистической кривой можно разбить на 3 этапа [2, 16]:

- медленный рост, близкий по своему характеру к экспоненциальному;
- бурный (почти линейный) рост;
- замедляющийся рост, близкий к гиперболическому (уровню насыщения).

Если рассмотреть эти 3 этапа, то можно провести параллель с биологическими предпосылками (рис. 1). В логистических функциях числитель также дает нам предельное (асимптотическое) поведение функции по мере увеличения времени.

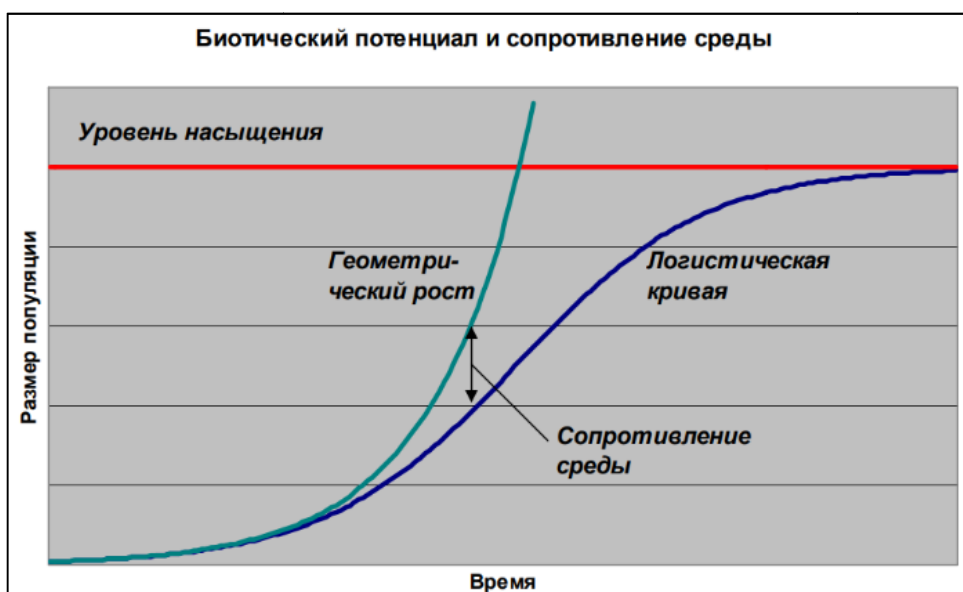


Рис. 1. Логистическая кривая в области математической биологии [2]

Fig. 1. Logistic curve in the field of mathematical biology [2]

Прогнозирование по логистической кривой, как и по всем кривым роста, предполагает экстраполяцию, т. е. продление выявленной тенденции на будущий период. Для этого нужно решить задачу идентификации неизвестных параметров L , k , t_0 .

Методы решения:

1. Визуальный – реализован в виде программного комплекса. Программный комплекс реализован на языке Python. Он формирует визуальное приближение фактических данных логистической кривой с помощью окна с ползунками, в котором мы подстраиваем логистическую кривую под исходные данные (рис. 2). Ползунком называем элемент интерфейса, над которыми можно произвести воздействие движением по вертикальной оси, меняя таким образом значение одного

параметра. Таких ползунков 5. Первые три относятся к изменению расположения данных, последние два влияют на логистическую кривую:

- 1) растягивание по горизонтали;
- 2) растягивание по вертикали;
- 3) перемещение по горизонтали;
- 4) перемещение горизонтальной асимптоты L ;
- 5) изменение коэффициента экспоненциального роста k .

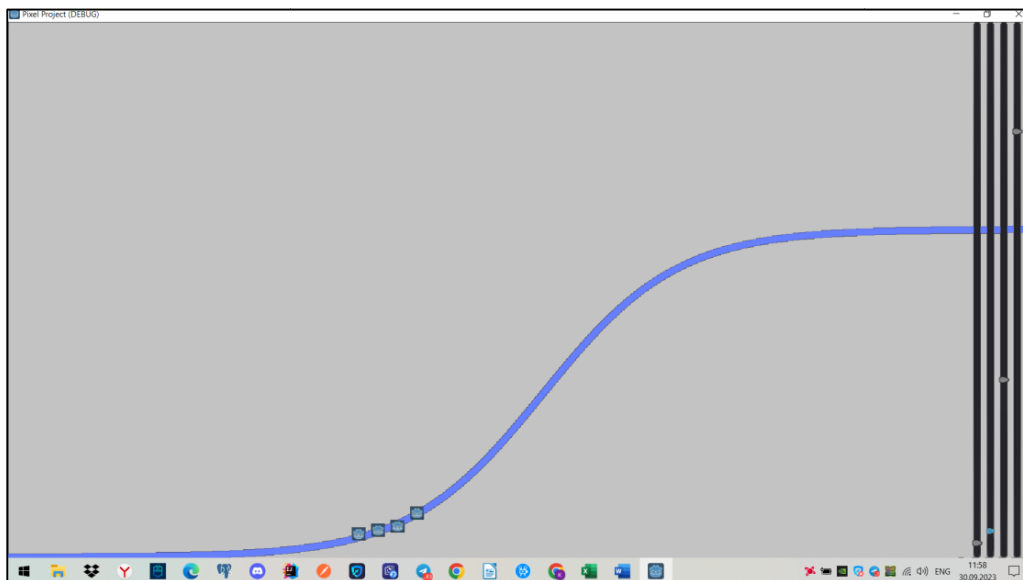


Рис. 2. Окно программного обеспечения настройки логистической кривой
Fig. 2. Software window of the logistics curve

2. Метод наименьших квадратов (МНК). В нашем случае он заключается в том, что параметры L , k , t_0 подбираются такими, при которых сумма квадратов разниц фактических и оценочных значений минимальны.

3. Исходные данные

В качестве исходных данных использованы открытые данные по финансовой отчетности российских организаций. Источником информации с 2012 по 2018 г. является Росстат [19], а с 2019 по 2022 г. – сервис Государственного информационного ресурса бухгалтерской отчетности ФНС России [20]. В общей сложности обработана финансовая отчетность около 2,5 млн организаций России, из которых около 1 млн организаций имеют нулевую выручку. Можно отметить, что предоставление информации в санкционном режиме ограничено рядом факторов. Для анализа выделены организации с выручкой более 1 млрд руб. Таких организаций с выручкой более 1 млрд руб. в разные годы около 50 тыс. единиц всех отраслей («выборка 50 000»).

Выявлено около 1200 быстрорастущих организаций (БРО) в «выборке 50 000» всех отраслей.

4. Результаты численного моделирования

В качестве одного из примеров для прогнозирования была рассмотрена быстрорастущая организация ООО «Инстамарт Сервис» (ИНН 9705118142), представляющая «СберМаркет». В качестве исходных данных была взята выручка с 2018 по 2022 г. (табл. 1) [19–21]. Данные финансовой отчетности ООО «Инстамарт Сервис» за 2022 г. показывают выручку 46,8 млрд руб. По другим данным, в 2022 г. «оборот сервиса» «СберМаркета» вырос до 103,5 млрд руб. [22]. Различие между значениями выручки, принятой в учете данной организации, и оборотом объясняется тем, что выручка по агентским договорам признается в сумме агентского вознаграждения.

Таблица 1

Фактические данные по выручке «СберМаркета»

Table 1

“SberMarket” actual revenue

Год	Факт. выручка, тыс. руб.	Оценка выручки, тыс. руб.	Отношение оценки к фактической выручке
2018	132 344	1 248 846	9,44
2019	1 525 887	3 832 259	2,51
2020	14 603 496	11 714 859	0,80
2021	34 379 146	35 398 255	1,03
2022	46 790 369	49 996 789	1,07

Решим задачу идентификации параметров L , k , t_0 с помощью МНК по критерию корня среднеквадратичного отклонения оценки от фактических данных:

$$D = \sqrt{\frac{\sum_{t=t_0}^{t_0} \left(Yt - \frac{L}{1+e^{-k(t-t_0)}} \right)^2}{(N+1)}} \rightarrow \min_{L,k,t_0}, \quad (3)$$

где D – корень среднеквадратичного отклонения; Y – значение показателя (выручки) в период t ; t_0 – последний период фактических данных; t_N – начальный период фактических данных.

В расчетах приняты ограничения:

$$t_0^{\min} \leq t_0 \leq t_0^{\max}, \quad (4)$$

$$Y_0 \leq L. \quad (5)$$

В последующих расчетах принято $t_0^{\min} = 2019$, $t_0^{\max} = 2032$ для ограничения пределов точки перегиба (4). Формула (5) имеет простой смысл: потенциал должен быть не менее последнего значения выручки.

Результаты идентификации параметров по формуле (3) для «СберМаркета» можно проинтерпретировать следующим образом:

- $L = 683$ млрд руб.: насыщение (предельный уровень выручки) может составить около 700 млрд руб.;
- $k = 0,667$: среднегодовой темп роста начального периода составляет 67 %;
- $t_0 = 2025,8$: точка перегиба – примерно 2026 г.

При таких значениях параметров роста кривой логистическая функция хорошо приближается на фактические данные (рис. 3, табл. 1).

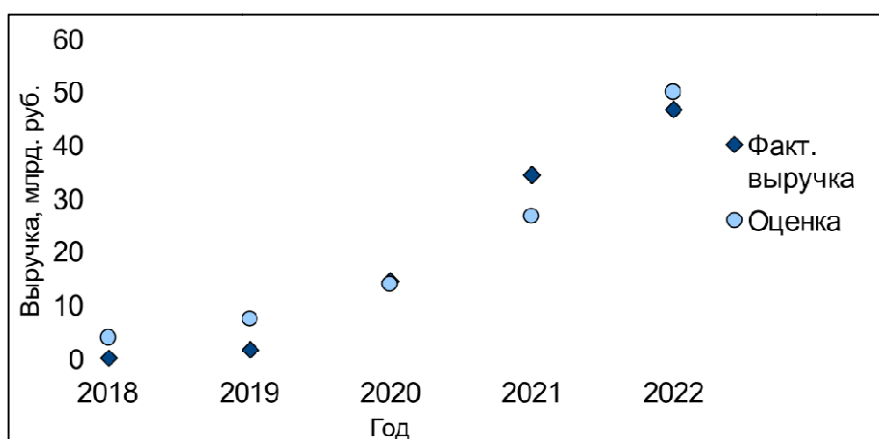


Рис. 3. Приближение на фактические данные логистической кривой при идентифицируемых параметрах

Fig. 3. Approximation to the actual data of the logistic curve with identifiable parameters

На рис. 4 показаны фактические данные и оценка выручки на 2018–2022 гг., а также экстраполяция функции (2) с идентифицированными параметрами до насыщения (в расчете до 2032 г.).

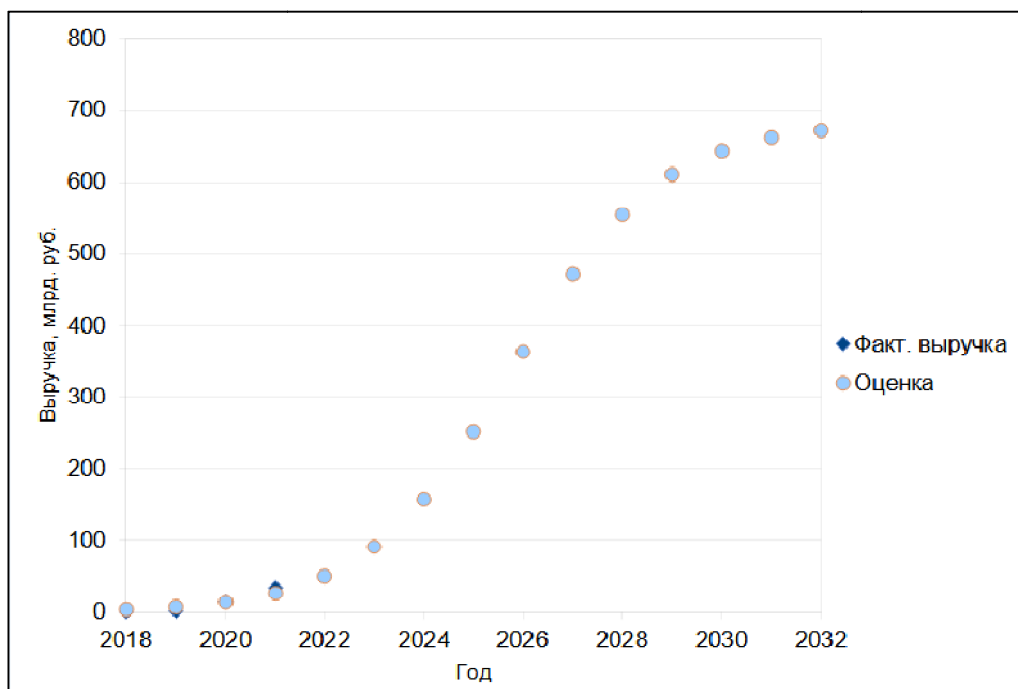


Рис. 4. Прогноз показателя до 2032 г.
Fig. 4. Forecast of the indicator until 2032

По нашим модельным оценкам к 2032 г. выручка организации по прогнозу начнет стремиться к горизонтальной асимптоте (выйдет на уровень насыщения).

Визуально результат приближения оценки фактических данных выручки компании получился достаточно хорошим, несмотря на маленький набор данных.

Предполагается, что временные ряды с большим количеством данных дадут лучший результат. Так, например, приведем приближение компании Walmart логистической кривой (рис. 5) – американской компании, управляющей крупнейшей в мире сетью розничной торговли. Компания зарегистрирована в 1962 г., а значит, временной ряд включает около 50 точек.

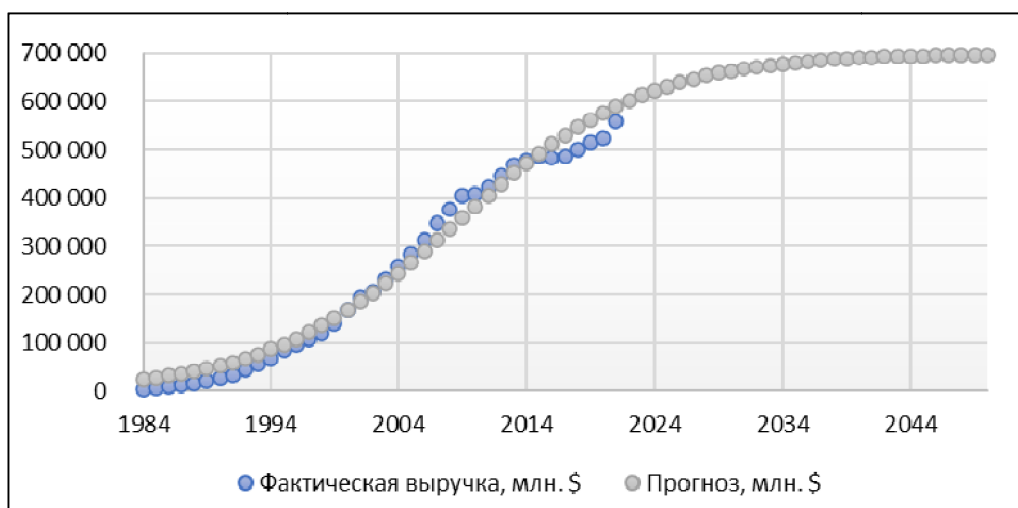


Рис. 5. Приближение выручки компании Walmart логистической кривой
Fig. 5. Walmart's revenue approximation of the logistics curve

По аналогичному алгоритму проведена идентификация параметров логистического приближения для других быстрорастущих компаний. Результаты расчета для некоторых организаций приведены в табл. 2.

Таблица 2

Некоторые быстрорастущие организации России

Table 2

Some fast-growing organizations in Russia

Наименование	Выручка за 2014 г., млрд руб.	Выручка за 2022 г., млрд руб.	Рост выручки 2014–2022, %	Потенциал L , млрд руб.	Рост k , %	Перегиб t_0 , год
ООО «ДНС Ритейл»	0,852	597,0	127	614	107	2018,9
ОАО «Ямал СПГ»	12,428	1101,2	75	6 490	68	2024,4
ООО «Газ-Ойл»	0,103	285,4	170	647	60	2022,0
ООО «Газпромнефть-Ямал»	2,845	376,6	84	404	45	2019,0
ООО «Т2 Мобайл»	9,372	206,8	47	297	34	2019,0
ООО «Ильский НПЗ»	3,394	195,4	66	244	98	2020,4

Заключение

В работе рассмотрен подход по выделению быстрорастущих организаций. Для БРО предложена модель приближения роста компаний логистической кривой (уравнение Ферхюльста).

По открытым данным Росстата и Федеральной налоговой службы (ФНС) России выделены БРО с ростом выручки более 50 % в год за последние 8 лет в текущих ценах. Для данной выборки проведена идентификация параметров на обучающей выборке фактических данных и построен прогноз выручки до 2032 г. Такая задача актуальна в случае оценки стоимости динамично развивающихся компаний и стартапов.

В работе более детально приведены расчеты прогноза выручки для компании «СберМаркет». Выручка розничной торговли (кроме автомобилей) 384 крупнейших торговых организаций России составляет 12,1 трлн руб. в 2022 г. со среднегодовым ростом около 9,8 % (расчеты авторов по открытым данным Федеральной налоговой службы России [10]). Наши оценки показывают, что при текущих оценочных параметрах «СберМаркет» может достигнуть около 6 % российского розничного рынка и стать одним из доминирующих «игроков» на этом рынке.

Данный подход по оценке роста быстрорастущих компаний позволяет сформировать набор компаний, позволяющих динамично развивать экономику России.

Список литературы

- Новиков Д.А. Теория управления организационными системами. М.: Изд-во физ.-мат. лит., 2012. 604 с.
- Иванов И.Ф. Использование логистической кривой для оценки стоимости компании на развивающемся рынке // Корпоративные финансы. 2008. № 1 (5). С. 47–62.
- Нижегородцев Р.М. Логистическое моделирование экономической динамики. Ч. I // Проблемы управления. 2004. № 1. С. 46–53.
- Пашенко Ф.Ф., Иванюк В.А., Абдикеев Н.М. Нейросетевая модель многофакторного анализа экономической эффективности предприятия // Датчики и системы. 2019. № 10. С. 9–17.
- Dranko O.I., Rezhnikov A.F. Forecast of the Industry Development as a Large System // IFAC-PapersOnLine. 2022. Vol. 55 (3). P. 240–244. DOI: 10.1016/j.ifacol.2022.05.042
- Birch D., Medoff J. Gazelles // Solmon L., Levenson A. (Eds.). Labour Markets, Employment Policy and Job Creation. Westview Press, Boulder, Co, 1994. P. 159–168.
- Симон Г. Скрытые чемпионы XXI века: финансирование, организация и деловое окружение // Российский журнал менеджмента. 2013. Т. 11, № 3. С. 129–152.
- Симон Г. Скрытые чемпионы 21 века. Стратегия успеха неизвестных лидеров мирового рынка. М.: КноРус, 2015. 240 с.
- Симон Г. Скрытые чемпионы – новые правила игры в век Китая. М.: Библос, 2021. 310 с.
- Долгин А.Н. Феномен компаний-«газелей» в мире и в России // Вестник Челябинского государственного университета. 2014. № 21 (350). Экономика. Вып. 47. С. 184–191.
- Кириллов Ю.Г., Коновалов И.А., Енза Э.К. Быстрорастущие компании: качество роста,

региональное измерение // Экономика, предпринимательство и право. 2022. Т. 12, № 1. С. 103–118. DOI: 10.18334/epp.12.1.114048

12. Юданов А. «Быстрые» фирмы и эволюция российской экономики // Вопросы экономики. 2007. № 2. С. 85–100. DOI: 10.32609/0042-8736-2007-2-85-100

13. Полуниин Ю.А., Юданов А.Ю. Темпы роста компаний и заполнение рыночной ниши // Проблемы прогнозирования. 2020. № 2 (179). С. 101–112.

14. Механик А. Газели невысоких технологий // Стимул. 2021. URL: <https://stimul.online/articles/sreda/gazeli-nevysokikh-tekhnologiy/> (дата обращения: 20.09.2023).

15. Управление развитием региона: моделирование возможностей / О.И. Дранко, Д.А. Новиков, А.Н. Райков, И.В. Чернов. М.: Ленанд, 2023. 432 с.

16. Финансовое планирование и прогнозирование / Е.А. Разумовская, М.С. Шуклин, В.И. Баженова, Е.С. Панфилова; под общ. ред. Е.А. Разумовской. Екатеринбург: Изд-во Урал. ун-та, 2017. 284 с.

17. Дуброва Т.А., Архипова М.Ю. Статистические методы прогнозирования в экономике. М., 2004. 136 с.

18. Московкин В.М., Журавка А.В. Пьер-Франсуа Ферхюльст – забытый первооткрыватель закона логистического роста и один из основателей экономической динамики // Оригинальные исследования. 2020. № 7. С. 207–218.

19. Федеральная служба государственной статистики [Электронный ресурс]. URL: <https://rosstat.gov.ru/> (дата обращения: 20.09.2023).

20. Государственный информационный ресурс бухгалтерской (финансовой) отчетности. [Электронный ресурс]. URL: <https://bo.nalog.ru/> (дата обращения: 20.09.2023).

21. ООО «Инстамарт Сервис»: бухгалтерская отчетность и финансовый анализ // Audit-it.ru: сайт. URL: https://www.audit-it.ru/buh_otchet/9705118142_ooo-instamart-servis (дата обращения: 10.09.2023).

22. «СберМаркет» отчитался за 2022-й год // Retailer: сайт. URL: <https://retailer.ru/sbermarket-otchitalsja-za-2022-j-god/> (дата обращения: 25.09.2023).

References

1. Novikov D.A. *Teoriya upravleniya organizatsionnymi sistemami* [Theory of management of organizational systems]. Moscow: Publishing House of Physical and Mathematical Literature; 2012. 604 p. (In Russ.)

2. Ivanov I.F. [The use of a logistic curve to assess the value of a company in a developing market]. *Journal of Corporate Finance Research*. 2008;1(5):47–62. (In Russ.)

3. Nizhegorodtsev R.M. [Logistic modeling of economic dynamics. Part I]. *Control Sciences*. 2004;1:46–53. (In Russ.)

4. Ivanyuk V.A., Abdikeev N.M., Pashchenko F.F. Neural network model of multivariate analysis of economic efficiency of an enterprise. *Sensors and Systems*. 2019;10:9–17. (In Russ.)

5. Dranko O.I., Rezhnikov A.F. Forecast of the Industry Development as a Large System. *IFAC-PapersOnLine*. 2022;55(3):240–244. DOI: 10.1016/j.ifacol.2022.05.042

6. Birch D., Medoff J. Gazelles. In: *Solmon L., Levenson A. (Eds.). Labour Markets, Employment Policy and Job Creation*. Westview Press, Boulder, Co; 1994. P. 159–168.

7. Simon H. [Hidden champions of the XXI century: financing, organization and business environment]. *Russian Management Journal*. 2013;11(3):129–152. (In Russ.)

8. Simon H. *Skrytye chempiony 21 veka. Strategiya uspekha neizvestnyh liderov mirovogo rynka* [Hidden Champions of the 21st century. The strategy of success of unknown leaders of the world market]. Moscow: KnoRus; 2015. 240 p. (In Russ.)

9. Simon H. *Skrytye chempiony – novye pravila igry v vek Kitaya* [Hidden Champions – New rules of the game in the age of China]. Moscow: Biblos; 2021. 310 p. (In Russ.)

10. Dolgin A.N. Phenomenon of fast growing companies in the world and Russia. *Bulletin of Cheljabinsk State University*. 2014;21(350):184–191. (In Russ.)

11. Kirillov Yu.G., Kononov I.A., Enza E.K. Fast-growing companies: growth quality and regional dimension. *Economics, entrepreneurship and law*. 2022;12(1):103–118. (In Russ.) DOI: 10.18334/epp.12.1.114048

12. Yudanov A. Fast Growing Firms (“Gazelles”) and the Evolution of Russian Economy. *Voprosy Ekonomiki*. 2007;2:85–100. (In Russ.) DOI: 10.32609/0042-8736-2007-2-85-100
13. Polunin Y.A., Yudanov A.Y. Growth rates of companies and filling of a market niche. *Studies on Russian Economic Development*. 2020;31(2):202–211. DOI: 10.1134/S1075700720020094
14. Mechanic A. [Gazelles of low technologies]. *Stimul*. 2021. (In Russ). Available at: <https://stimul.online/articles/sreda/gazeli-nevysokikh-tehnologiy/> (accessed 20.09.2023).
15. Dranko O.I., Novikov D.A., Raykov A.N., Chernov I.V. *Upravlenie razvitiem regiona: modelirovanie vozmozhnostey* [Regional development management: modeling opportunities]. Moscow: Lenand; 2023. 432 p. (In Russ.)
16. Razumovskaya E.A., Shuklin M.S., Bazhenova V.I., Panfilova E.S. *Finansovoe planirovanie i prognozirovaniye* [Financial planning and forecasting; under the general]. Ekaterinburg: Ural University Publ.; 2017. 284 p. (In Russ.)
17. Dubrova T.A., Arkhipova M.Yu. *Statisticheskie metody prognozirovaniya v ekonomike* [Statistical methods of forecasting in economics]. Moscow; 2004. 136 p. (In Russ.)
18. Moskovkin V.M., Zhuravka A.V. Pierre Francois Verhulst – the forgotten pioneer of the law of logistic growth and one of the creators of economic dynamics. *Original'nye issledovaniya*. 2020;7:207–218. (In Russ.)
19. *Federal'naya sluzhba gosudarstvennoy statistiki* [Federal State Statistics Service]. (In Russ.) Available at: <https://rosstat.gov.ru/> (accessed 20.09.2023).
20. *Gosudarstvennyy informatsionnyy resurs bukhgalterskoy (finansovoy) otchetnosti* [State Information Resource of Accounting (Financial) Statements]. (In Russ.) Available at: <https://bo.nalog.ru/> (accessed 20.09.2023).
21. [“Instamart Service”: accounting and financial analysis]. *Audit-it.ru: website* (In Russ.) Available at: https://www.audit-it.ru/buh_otchet/9705118142_ooo-instamart-servis (accessed 10.09.2023).
22. [“SberMarket” reported for 2022]. *Retailer: website* (In Russ.) Available at: <https://retailer.ru/sbermarket-otchitalsja-za-2022-j-god/> (accessed 25.09.2023).

Информация об авторах

Дранко Олег Иванович, д-р техн. наук, Институт проблем управления им. В.А. Трапезникова Российской академии наук, Москва, Россия; olegdranko@gmail.com.

Тароян Карина Кареновна, магистр, Московский физико-технический институт (национальный исследовательский университет), Москва, Россия; taroyan.kk@phystech.edu.

Information about the authors

Oleg I. Dranko, Dr. Sci. (Eng.), V.A. Trapeznikov Institute of Control Sciences of the Russian Academy of Sciences, Moscow, Russia; olegdranko@gmail.com.

Karina K. Taroyan, Master, Moscow Institute of Physics and Technology (National Research University), Moscow, Russia; taroyan.kk@phystech.edu.

Вклад авторов: все авторы сделали эквивалентный вклад в подготовку публикации.

Авторы заявляют об отсутствии конфликта интересов.

Contribution of the authors: the authors contributed equally to this article.

The authors declare no conflicts of interests.

Статья поступила в редакцию 26.09.2023

The article was submitted 26.09.2023

ПОВЫШЕНИЕ ЭФФЕКТИВНОСТИ ДЕЯТЕЛЬНОСТИ ПРОМЫШЛЕННЫХ ПРЕДПРИЯТИЙ, СВЯЗАННЫХ С ПРОИЗВОДСТВОМ И ИСПОЛЬЗОВАНИЕМ БИМЕТАЛЛИЧЕСКИХ ЛИСТОВЫХ МАТЕРИАЛОВ

А.В. Голлай¹, alexander@hollay.ru, <https://orcid.org/0000-0002-5070-6779>

Л.Ю. Костылева¹, kostylevali@susu.ru, <https://orcid.org/0009-0008-2451-3042>

К.А. Коренная², kkris221@mail.ru

О.В. Логиновский¹, loginovskii@susu.ru, <https://orcid.org/0000-0003-3582-2795>

¹ Южно-Уральский государственный университет, Челябинск, Россия

² АО «Кузнецкие ферросплавы», Новокузнецк, Россия

Аннотация. Повышение эффективности деятельности промышленных предприятий во многом зависит от технологий, используемых в производстве и практическом применении выпускаемых предприятиями изделий и конструкций. Анализ выполненных авторами исследований в области методов контроля качества выпускаемой продукции и технологического оборудования из биметаллических листовых материалов показал, что в рамках сложившегося технологического уклада одним из средств удешевления производства является использование методов неразрушающего контроля. Показано, что одним из наиболее продуктивных среди методов неразрушающего контроля является тепловой метод. **Цель исследования:** обоснование выбора метода теплового контроля как средства совершенствования технологий контроля качества выпускаемой продукции и оборудования из биметаллических листовых материалов, а также повышения эффективности управления промышленными предприятиями соответствующего профиля. **Материалы и методы:** анализ исследований в области технологий и методов теплового контроля для предприятий. **Результаты.** Показана целесообразность и экономическая эффективность использования метода теплового контроля на предприятиях, выпускающих продукцию и использующих технологическое оборудование на основе биметаллических листовых материалов. Сформулированы требования и сформирована структура системы контроля качества указанных материалов на основе применения метода теплового контроля. Предложена математическая модель теплового состояния биметаллической пластины, а также возможности ее программной реализации. **Заключение.** Метод теплового неразрушающего контроля в современных условиях способен быть эффективным и продуктивным, позволяющим сделать приемлемыми в современных условиях ведения бизнеса расходы на внедрение в производство и эксплуатацию систем контроля качества. Полученные результаты могут быть использованы на промышленных предприятиях, деятельность которых в той или иной степени связана с использованием изделий и конструкций из многослойных биметаллических материалов.

Ключевые слова: биметаллы, тепловой неразрушающий контроль, дефектоскопия, управление промышленным предприятием, контроль качества

Для цитирования: Повышение эффективности деятельности промышленных предприятий, связанных с производством и использованием биметаллических листовых материалов / А.В. Голлай, Л.Ю. Костылева, К.А. Коренная, О.В. Логиновский // Вестник ЮУрГУ. Серия «Компьютерные технологии, управление, радиоэлектроника». 2023. Т. 23, № 4. С. 76–88. DOI: 10.14529/ctcr230408

Original article
DOI: 10.14529/ctcr230408

IMPROVING THE EFFICIENCY OF INDUSTRIAL ENTERPRISES INVOLVED IN THE PRODUCTION AND USE OF BIMETALLIC SHEET MATERIALS

A.V. Hollay¹, alexander@hollay.ru, <https://orcid.org/0000-0002-5070-6779>

L.Yu. Kostyleva¹, kostylevali@susu.ru, <https://orcid.org/0009-0008-2451-3042>

K.A. Korennaya², kkris221@mail.ru

O.V. Loginovskiy¹, loginovskiiiov@susu.ru, <https://orcid.org/0000-0003-3582-2795>

¹ South Ural State University, Chelyabinsk, Russia

² JSC "Kuznetsk Ferroalloys", Novokuznetsk, Russia

Abstract. Improving the efficiency of industrial enterprises is heavily reliant on the technologies employed in production and the practical application of the products and structures produced by the companies. The authors' research on quality control methods for manufacturing bimetallic sheet materials and technological equipment has revealed that non-destructive testing methods can significantly reduce production costs. The study identifies thermal testing as one of the most effective forms of non-destructive testing. **Aim.** The research aims to explore these testing methods and their cost-saving benefits within current technological procedures. Justifying the use of thermal non-destructive testing as a method for improving the quality control of bimetallic sheet materials during the manufacturing process and enhancing the efficiency of management in industrial enterprises of the relevant profile. **Materials and methods.** Analysis of researches in the field of technologies and methods of thermal non-destructive testing for enterprises. **Results.** The benefits and cost-effectiveness of using thermal non-destructive testing methods in manufacturing companies that produce products and use technological equipment with bimetallic sheet materials are demonstrated. Requirements are outlined and a quality control system structure for these materials is established based on the thermal non-destructive testing method. A mathematical model for determining the thermal state of a bimetallic plate is presented alongside the potential for its software implementation. **Conclusion.** The method of thermal nondestructive testing proves to be efficient and productive in modern conditions, enabling acceptable cost implementation of quality control systems in production and operation. The findings can be applied in industrial companies that work with multilayer bimetallic materials in their products and constructions.

Keywords: bimetal, thermal non-destructive testing, flaw detection, industrial enterprise management, quality control

For citation: Hollay A.V., Kostyleva L.Yu., Korennaya K.A., Loginovskiy O.V. Improving the efficiency of industrial enterprises involved in the production and use of bimetallic sheet materials. *Bulletin of the South Ural State University. Ser. Computer Technologies, Automatic Control, Radio Electronics.* 2023;23(4):76–88. (In Russ.) DOI: 10.14529/ctcr230408

Введение

На многих современных предприятиях, а также в сфере эксплуатации разнообразных изделий широко используются многослойные биметаллические материалы. Это дает возможность существенно снизить расходы на производство и эксплуатацию произведенных на их основе конструкций, изделий, бытовой продукции. Подобная экономия достигается за счет уменьшения использования дорогостоящих материалов со специальными свойствами, повышенной коррозионной стойкости конструкций, снижения веса, повышения прочностных характеристик и эксплуатационных свойств изделий [1].

В то же время важно понимать, что дефекты внутри биметаллического материала, нарушение целостности отдельных слоёв представляют собой довольно большую опасность, так как могут привести к увеличению затрат на производство и расходов на эксплуатацию разнообразных конструкций и изделий. Поэтому для повышения надежности и долговечности работы машин и других изделий, изготавливаемых из биметаллов, необходимо проводить непрерывный контроль их качества.

Как известно, в целом ряде технологических процессов многих промышленных предприятий широко используются методы повышения качества выпускаемой продукции за счет современных

средств мониторинга параметров изделий. На сегодняшний день подобный мониторинг осуществляется либо с помощью уже довольно устаревших методов разрушающего контроля (когда о качестве партии изделий судят по результатам проверки отдельных ее образцов), либо с применением более современных методов неразрушающего контроля (ультразвуковой, радиационный, вихретоковый, тепловой, магнитный и др.). Анализ практического использования перечисленных методов показал, что вихретоковый и ультразвуковой методы являются контактными и требуют применения дорогостоящего оборудования, которое может эксплуатироваться лишь аттестованными, высококвалифицированными специалистами; радиационный метод хотя и обеспечивает бесконтактный контроль, тем не менее не слишком хорош в использовании, так как связан с опасным излучением, которое наносит вред операторам; одним из наименее затратных и наиболее перспективных является тепловой метод, который осуществляется бесконтактным способом и позволяет получить изображение большого участка поверхности или изделия в целом [2]. Кроме того, данным методом можно проводить проверку всей партии изделий, в том числе непосредственно в ходе технологического процесса. Устройства для проведения теплового контроля более компактны, существенно ниже по стоимости, чем оборудование для других методов, а также позволяют передавать изображение контролируемых изделий непосредственно на компьютер, в том числе по беспроводной связи [3, 4].

Следует отметить, что применение методов ультразвукового контроля для тонколистовых биметаллических материалов менее эффективно, поскольку подобные материалы имеют неоднородную структуру, их слои отличаются по химическому составу, механическим и физическим свойствам, что влияет на стабильность акустических свойств и приводит к погрешностям измерения координат дефектов [5].

Можно констатировать, что методы теплового контроля по сравнению со всеми иными упомянутыми методами являются наиболее выигрышными как в плане производительности, мобильности, безопасности, возможности автоматизации и т. п., так и в плане минимизации капитальных затрат и эксплуатационных расходов, а соответственно, и сроков окупаемости.

Важно понимать, что методы теплового контроля можно применять не только на металлургических предприятиях, выпускающих продукцию из листовых многослойных биметаллических материалов, но и на производствах различного профиля, где используется оборудование и изделия из этих материалов (химических, машиностроительных, судостроительных, нефтеперерабатывающих и пр.).

1. Совершенствование технологий контроля качества выпускаемой продукции и оборудования из биметаллических листовых материалов как средство повышения эффективности управления промышленными предприятиями соответствующего профиля

Повышение производительности труда на промышленных предприятиях нашей страны, как, впрочем, и в зарубежных странах, на протяжении уже многих десятилетий является в сущности одной из основных задач развития экономики. Установление неких процентных показателей, которые должны характеризовать подобный рост производительности, в прошлые годы было гораздо более простой задачей, чем сегодня, поскольку совершенствование технологий производств давало возможность добиваться более существенных результатов, чем в настоящее время, когда производственные возможности уже практически достигли предела в рамках современных технологических укладов [6, 7].

В данном контексте полезно вспомнить идеи, высказанные Н.Д. Кондратьевым еще в начале прошлого века, связанные с длинными циклами экономической конъюнктуры [8].

Излагая концепцию длинных циклов экономической конъюнктуры, Н.Д. Кондратьев указывал, что динамика конъюнктуры промышленного рынка не линейна, а циклична. Причины этого «лежат в цикличности действия накапливающегося основного общественного капитала и его размещения и, соответственно, в цикличности развития и перераспределения производительных сил». Н.Д. Кондратьев обосновал и на анализе исторического опыта доказал, что наблюдаются и понижающиеся волны больших циклов: «Большие циклы конъюнктур, на фоне которых протекают малые циклы, обуславливаются процессами радикального перераспределения накопленных и накапливающихся капиталов, выражающимися внешне в глубоких реформах индустрии и революции техники, в привлечении новых территорий, в подготовке новых кадров квалифицирован-

ного труда». Он отмечал также, что большие циклы конъюнктуры увязаны с «подготовкой новых кадров квалифицированного труда», а также с «широким распространением поколений техники нового технологического уклада», лежащего в основе циклической динамики.

При этом «радикальные изменения в условиях и организации производства требуют нового уровня квалификации труда и приводят к перевороту, революции в образовании».

Большие циклы экономической конъюнктуры, по мнению Н.Д. Кондратьева, по-разному отражаются на динамике различных показателей и синхронизируются в ведущих странах: «установленные выше большие циклы важнейших элементов экономической жизни имеют международный характер».

Анализ объективных основ больших циклов конъюнктуры позволил Н.Д. Кондратьеву сделать вывод о том, что «в процессе воспроизводства, в периодическом обновлении основных фондов в результате технологических переворотов, в освоении значительных технических изобретений и открытий направления и интенсивность научно-технических открытий и изобретений являются функцией запросов практической действительности и предшествующего развития науки и техники. Однако для их широкого практического использования нужны экономические условия: научно-технические изобретения могут быть, но могут оставаться недействительными, пока не появятся необходимые экономические условия для их реализации... Само развитие техники включено в закономерный процесс экономической динамики» [9].

Таким образом, материальную основу волн больших или длинных циклов Н.Д. Кондратьев видел в массовом обновлении основного капитала или последовательной смене технологических укладов.

Таким образом, одним из важнейших выводов, следующих из анализа больших циклов, является то, что экономическая востребованность или, если быть более точными, общественная необходимость в смене сложившегося экономического уклада лежит в основе всей цивилизационной динамики [10]. Разумеется, что возникновение такого уклада не состоится без достижения техническим базисом цивилизации уровня, на котором научные открытия, изобретения, а также технологии их воплощения смогут быть использованы человечеством для очередного прорыва в будущее [11].

На основе указанных теоретических построений становится достаточно ясным, что увеличение роста производительности может быть достигнуто в том числе за счет развития новых технологий контроля качества продукции.

Развитие электроники и робототехники, компьютерных технологий и систем в конце XX – начале XXI в., появление тепловизионных устройств нового поколения (неохлаждаемых портативных тепловизоров) и мощных импульсных нагревателей способствовали росту интереса к использованию теплового неразрушающего контроля для проведения различных исследований [4]. Современные компьютерные системы позволяют в реальном времени обрабатывать изображения термограмм, применять для анализа теплового состояния многослойных материалов сложные математические модели и методы их реализации.

Тепловой контроль в последние годы с успехом применяется при обследовании строительных конструкций, обнаружении потерь тепла в зданиях и сооружениях. В то же время анализ существующих национальных стандартов в области использования данного метода неразрушающего контроля показывает, что в других отраслях внедрение в практику термографических технологий контроля и диагностики объектов находится на начальном этапе [3]. При этом результаты многочисленных исследований российских и зарубежных авторов, подробный анализ которых представлен в [4, 12], дают понять, что методы теплового неразрушающего контроля позволяют выявлять самые разные виды скрытых дефектов (расслоения, трещины, пустоты, посторонние включения, примеси и пр.), что способствует раннему обнаружению и устранению брака выпускаемой продукции, а также своевременному планированию ремонта или замены технологического оборудования.

Таким образом, применение методов теплового неразрушающего контроля для биметаллических листовых материалов является эффективным и целесообразным при совершенствовании технологий контроля качества выпускаемой продукции металлургических производств и технологического оборудования крупных предприятий.

2. Построение системы контроля качества выпускаемой продукции и оборудования из биметаллических листовых материалов с использованием методов теплового неразрушающего контроля

Необходимо пояснить, что тепловой контроль, представляющий собой метод дистанционной регистрации, визуализации и анализа тепловых (температурных) полей объектов, среди прочих является одним из наиболее эффективных в практическом использовании методов.

При его использовании изменения температуры на поверхности объекта регистрируют различными средствами измерения, чаще всего инфракрасной камерой (тепловизором). Если объект имеет однородную температуру, равную или близкую к температуре окружающей среды, его предварительно нагревают (или охлаждают) с использованием дополнительного источника тепловой стимуляции (такой способ называют активным тепловым контролем). Скрытые дефекты вызывают появление температурных аномалий на поверхности в виде локального перегрева или понижения температуры [2, 4]. Полученные данные фиксируют в виде набора значений температуры в различных точках поверхности или изображения, отображающего распределение интенсивности инфракрасного излучения (термограммы), а затем проводят их анализ при помощи разнообразных алгоритмов и методов с целью определения наличия, типа и размеров дефекта.

Учитывая вышеизложенное, формируемая система контроля качества многослойных биметаллических листовых материалов, базирующаяся на использовании методов теплового неразрушающего контроля, должна выполнять следующие функции:

- 1) обеспечивать заданный режим нагрева (или охлаждения) объекта контроля до определенной температуры, позволяющий достичь пригодного для регистрации температурного сигнала;
- 2) измерять и регистрировать температурное поле объекта (температуру и координаты точек поверхности объекта контроля);
- 3) по характеристикам температурного поля (величине и форме температурных сигналов, их изменению во времени) определять наличие дефекта и оценивать его параметры.

Для нагрева (охлаждения) объекта контроля применяют различные источники теплового нагружения. Для металлических материалов наиболее часто используют оптический нагрев лампами различной мощности или лазером, индукционный нагрев вихревыми токами, пропусканием электрического тока через объект, а также конвекционный нагрев потоками жидкости или газов (рис. 1).



Рис. 1. Способы проведения активного теплового контроля
Fig. 1. Methods of active thermal non-destructive testing

Для проведения измерений нужно подобрать устройство, позволяющее одновременно регистрировать температурное распределение на всей поверхности биметаллического листа. Это может быть выполнено при помощи тепловизора.

Расположение источников нагрева и средств измерения относительно объекта контроля влияет на выявляемость дефектов. Наиболее точные результаты дает односторонняя процедура, при которой нагрев и измерение проводятся с одной стороны контролируемого объекта [2, 4]. Двухсторонняя процедура, при которой нагрев производится с одной стороны образца, а измерение температуры – с другой, также пригодна для контроля многослойных биметаллических пластин, поскольку они имеют относительно небольшую толщину и хорошую теплопроводность.

Полученные в ходе проведения контроля термограммы позволяют выявить участки объекта, различающиеся по температуре. Определить наличие дефекта под аномальным участком и оценить его параметры можно лишь при наличии адекватных алгоритмов и математических моделей, теоретически описывающих зависимость результатов контроля от свойств объекта и выбранных технологических режимов. При этом модель должна учитывать особенности контролируемого объекта (форму, геометрические и теплофизические характеристики, способ крепления слоев, возможное расположение и типы дефектов) и применяемого режима теплового контроля [12].

Для получения расчетных значений и обработки экспериментальных данных необходимо также выбрать методы и разработать алгоритмы решения задачи теплового состояния объекта контроля и на их основе создать специализированное программное обеспечение с применением известных математических пакетов или универсальных языков программирования высокого уровня.

Применение методов теплового неразрушающего контроля на предприятиях регламентируется различными документами по стандартизации и локальными нормативными документами предприятия.

Таким образом, для выполнения требуемых функций формируемая система контроля качества выпускаемой продукции и технологического оборудования должна иметь в составе технические и программные средства, алгоритмическое, методическое и нормативное обеспечение (рис. 2).



Рис. 2. Состав системы контроля качества, базирующейся на использовании методов теплового неразрушающего контроля
Fig. 2. Composition of the quality control system based on the use of thermal non-destructive testing methods

К техническим средствам относятся тепловизионные системы для регистрации характеристик теплового поля объекта, источник тепловой стимуляции и аппаратные средства компьютерной системы, отвечающей за сбор, обработку и хранение информации. Программные средства включают системное и прикладное, стандартное и специальное программное обеспечение.

Важную роль играет алгоритмический компонент системы, интегрирующий методику проведения контроля, математические модели теплового состояния объекта контроля и алгоритмы решения тепловых задач. Методические рекомендации по проведению процедур теплового контроля определяют эффективные условия применения конкретных способов и режимов контроля, выбора типа источника теплового нагружения, формы и размеров зон тепловой стимуляции и регистрации температуры, взаимного расположения устройств нагрева и измерения температуры.

Регламентация работ по контролю качества на конкретном предприятии находит отражение в нормативных документах организаций, учитывающих возможности предприятия по выбору тех или иных методов, параметров и режимов теплового неразрушающего контроля. Разумеется, что локальные нормативные акты разрабатываются с учетом действующих документов национальной системы стандартизации и не могут им противоречить.

При формировании структуры системы для активного ТК исследуемого объекта (рис. 3) необходимо обеспечить управление источником тепловой стимуляции для установления заданного режима нагрева (охлаждения), получение данных температурного поля через определенные промежутки времени, сбор и хранение данных в виде последовательности значений температур или изображений (термограмм), их передачу для обработки специализированными программными средствами.

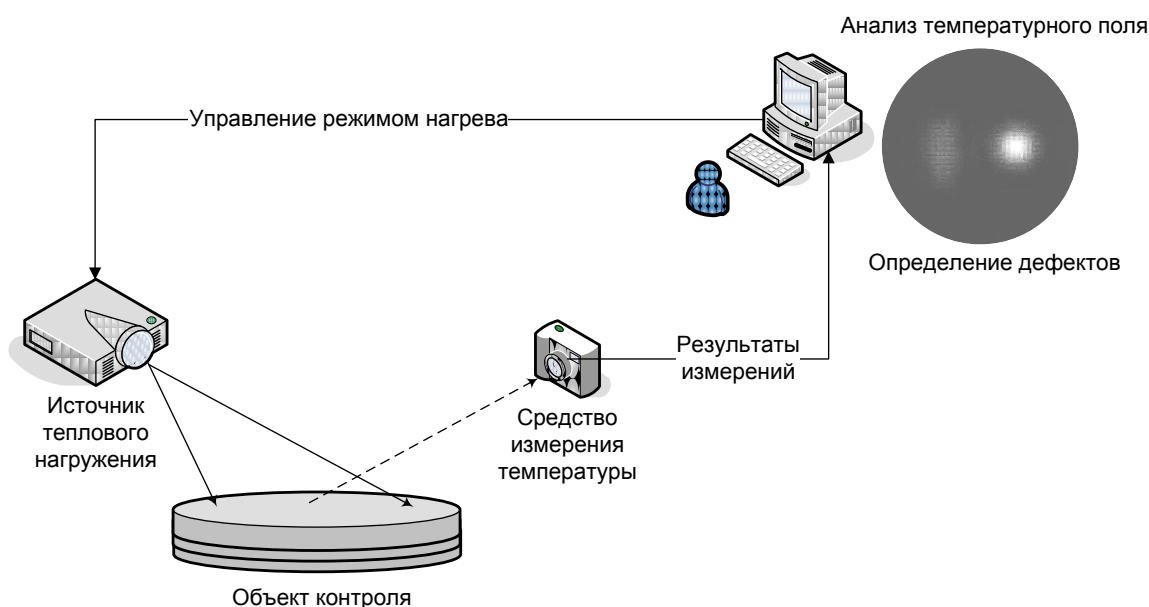


Рис. 3. Структура системы активного теплового контроля многослойных биметаллических материалов
Fig. 3. Structure of the active thermal non-destructive testing system for multilayer bimetallic materials

Накопление и обработка информации, полученной в ходе экспериментальных исследований, позволит сформировать зависимости, позволяющие по результатам обработки термограмм не только найти дефект, но и определить его тип, параметры, глубину залегания и пр. Для выработки производственных решений стоит обеспечить удобный для восприятия вывод данных, свидетельствующих о наличии дефектов и результатах оценки их параметров.

3. Развитие информационных систем для поддержки процессов оценки качества биметаллических листовых материалов с использованием тепловых методов неразрушающего контроля

Логика того, как должна создаваться и развиваться информационная система промышленного предприятия, должна состоять в следующем.

Главная идея, на которой должна строиться автоматизированная информационная система управления корпорацией, состоит в том, что автоматизация деятельности всех подразделений компании должна быть максимально ориентирована на получение руководством организации качественной, непротиворечивой и своевременной информации для принятия управленческих

решений. При этом информационная система предприятия должна давать возможность его руководству осуществлять эффективное управление операционной деятельностью компании.

В этой связи основные приоритеты информационной системы предприятия должны быть связаны ни с чем иным, как с использованием новейших информационных технологий и моделей в тех бизнес-процессах, которые реализуют процедуры подготовки и принятия оперативных и стратегических решений руководством предприятия [13, 14]

В ходе исследования и проектирования процессов и систем активного теплового контроля разрабатываются сложные математические модели теплового состояния, для реализации которых применяют современные средства компьютерного моделирования. При выборе программных продуктов для моделирования теплового состояния многослойных биметаллических листовых материалов и изделий из них необходимо учитывать следующие основные требования:

1) возможность проведения расчетов по математической модели аналитическими или численными методами на основе линейных или дифференциальных уравнений с учетом теплофизических характеристик материалов и граничных условий различной степени сложности;

2) расчет двумерного и/или трехмерного температурного поля;

3) визуализация результатов температурного поля в виде графиков и/или модельных термограмм;

4) обработка и анализ температурного поля с натурной или модельной термограммы для целей дефектоскопии (решение обратной тепловой задачи).

Таким образом, современные системы оценки качества многослойных биметаллических листовых материалов методами теплового контроля помимо источника теплового нагружения и устройства регистрации и визуализации температурного поля включают также программные средства для моделирования теплового состояния и обработки экспериментальных данных.

Для целей моделирования процессов теплового контроля могут быть использованы существующие системы класса CAE (computer-aided engineering).

Для выполнения математических расчетов аналитическими и численными методами применяют проприетарные программные пакеты MATLAB, MathCAD, Maple, Mathematica и др. Среди свободно распространяемых пакетов с аналогичными функциями можно выделить GNU Octave (www.gnu.org/software/octave), который по своим возможностям является наиболее полным аналогом MATLAB. Также широко используется научный программный пакет для численных расчетов Scilab (www.scilab.org) с открытым исходным кодом, включающий сотни математических функций, сложные структуры данных (списки, рациональные функции, полиномы, линейные системы) с возможностью интерактивного добавления программ на разных языках (C, C++, Fortran). Среди альтернатив проприетарному ПО можно также отметить систему компьютерной алгебры Sage (www.sagemath.org), которая включает алгебру, комбинаторику, вычислительную математику и математический анализ. Из перечисленных свободно распространяемых пакетов наиболее высокую скорость вычислений и широкий ассортимент функций имеет GNU Octave [15].

Среди проприетарного ПО для моделирования методом конечных элементов доступным в текущих условиях остается программный пакет COMSOL (www.comsol.ru), позволяющий решать задачи электромагнитного, теплового, гидрогазодинамического и механического анализа, в том числе совмещенные (мультифизические). Бесплатные ограниченные версии программ предоставляют разработчики российского пакета конечно-элементного моделирования ELCUT (www.elcut.ru) его европейского аналога QuickField (www.quickfield.com) [16]. Облачная платформа моделирования SimScale (www.simscale.com) предоставляет доступ к инструментам моделирования через браузер без использования специального оборудования. Модуль теплопередачи позволяет вычислять распределение температуры и тепловой поток в твердых телах при тепловых нагрузках для стационарных и переходных процессов. Геометрическая модель загружается из CAD-системы, при этом SimScale поддерживает форматы широко распространенных САПР (Autodesk Inventor, CATIA, SolidWorks и др.).

Среди свободно распространяемых программных продуктов для расчетов методом конечных элементов наиболее широкими возможностями обладает Agros2D (www.agros2d.org), разработанный в Университете Западной Богемии (Чехия) [17].

Помимо пакетов CAE общего применения для моделирования процессов теплового контроля создается специализированное программное обеспечение. В частности, для анализа некоторых

задач моделирования теплового состояния многослойных пластин, разработаны программные модули Multilayer-3D, ThermoCalc-2D, ThermoCalc-6L Томского политехнического университета [4]. В программе ThermoCalc-2D реализовано численное решение задачи нагрева трехслойной пластины с дисковидным дефектом (двумерная модель в цилиндрических координатах), а в программе ThermoCalc-6L можно исследовать процесс нагрева трехслойного параллелепипеда с дефектами аналогичной формы (трехмерная модель в декартовых координатах) [12].

Отметим также разработанную и апробированную авторами модель теплового состояния трехслойной биметаллической пластины с дефектом в виде воздушной прослойки между металлами [18].

Модель представляет собой систему дифференциальных уравнений второго порядка, описывающих условия проведения процедуры активного теплового неразрушающего контроля с возможностью задания геометрических размеров и теплофизических характеристик материалов слоев пластины, различных вариантов нагрева и охлаждения пластины, имитирующих все возможные способы взаимного расположения источника нагрева и устройства регистрации температуры.

Для решения задач моделирования авторами разработан алгоритм решения методом конечных разностей и его программная реализация в GNU Octave. Результатом работы программы является вычисление значений температуры в заданных точках многослойной пластины и построение графиков распределения температуры по радиусу для верхней и нижней поверхностей пластины после ее нагрева и дальнейшего охлаждения на воздухе (рис. 4).

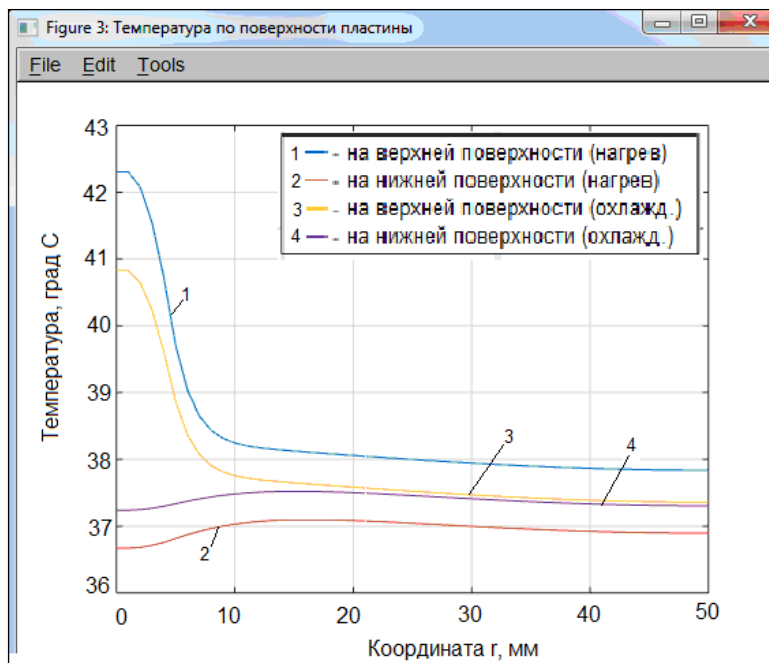


Рис. 4. Графическое представление результатов моделирования теплового состояния многослойной биметаллической пластины в GNU Octave
Fig. 4. Graphical representation of the results of modelling the thermal state of a multilayer bimetallic plate in GNU Octave

Разработанный программный модуль на интерпретируемом языке программирования MATLAB/Octave позволяет сформировать любые графики на основе полученных расчетных данных переходного теплового процесса.

Кроме того, в [18] представлено решение задачи моделирования теплового состояния указанной пластины методом конечных элементов в программном пакете Agros2D. Данный пакет также позволяет производить вычисление значений температуры в любой точке пластины и представлять результаты в виде диаграмм распределения температурного поля в сечении и различных графиков. Отличительной особенностью графического постпроцессора пакета Agros2B является возможность построения трехмерной модели объекта, которую можно поворачивать относительно начала координат и просматривать в различных режимах, в любой момент времени (рис. 5).

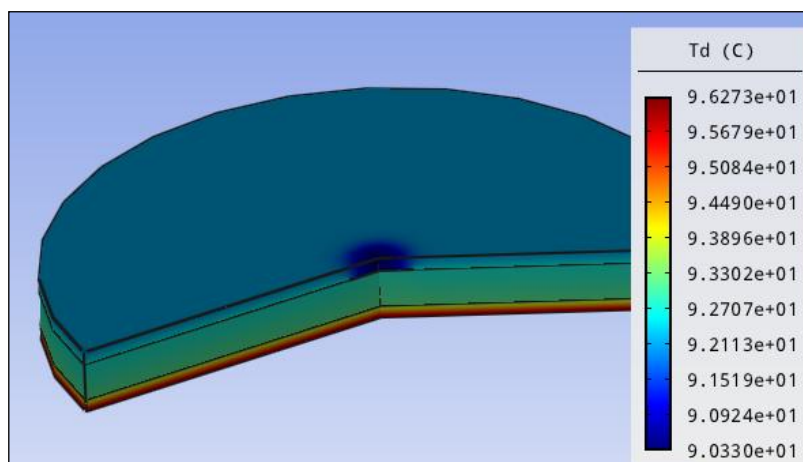


Рис. 5. Трехмерная визуализация распределения температуры в многослойной биметаллической пластине (программный пакет Agros2D)
Fig. 5. Three-dimensional visualisation of temperature distribution in a multilayer bimetallic plate (Agros2D software package)

Рассмотренные программные средства дают возможность в ходе моделирования оценить результирующие температурные поля для распознавания дефектов в реальных условиях контроля.

Совершенствование информационных систем для поддержки процессов оценки качества биметаллических листовых материалов с использованием тепловых методов неразрушающего контроля возможно за счет использования методов искусственного интеллекта для классификации дефектов по изображениям термограмм в реальном времени. Данный шаг станет доступным в результате накопления массивов данных, реальных и модельных термограмм для различных типов и видов дефектов и последующего обучения алгоритмов компьютерного зрения на основе наборов изображений и совокупности признаков наличия или отсутствия того или иного дефекта.

Таким образом, многие существующие программные продукты могут быть использованы для решения задач моделирования процессов теплового контроля в ходе оценки качества выпускаемой продукции и технологического оборудования из биметаллических листовых материалов. Интеграция существующих и вновь разрабатываемых программных модулей в составе информационных систем поддержки процессов оценки качества подобных изделий позволяет существенно сократить затраты на подготовку и обработку данных, многократно задействовать разработанные модели в различных экспериментах. Развитие указанных информационных систем основано на использовании алгоритмов методов конечных разностей и конечных элементов, с оптимальным построением сеточных моделей для анализа объектов со сложной геометрией, неровностями поверхности, малоразмерными дефектами, с возможностью ручного или автоматического изменения шага по времени, а также автоматизации расчетов за счет разработки дополнительных программных модулей на различных языках программирования и использования методов искусственного интеллекта.

Заключение

По результатам анализа исследований в области практического применения методов теплового неразрушающего контроля выявлены требования к системе контроля качества продукции и технологического оборудования из многослойных биметаллических листовых материалов. Система должна обеспечивать не только возможность проведения измерений в оптимальных условиях и представление результатов, но и их программную обработку на основе адекватных математических моделей объекта теплового контроля, методов и алгоритмов решения тепловых задач. С учетом данных требований определены состав и структура системы контроля качества, базирующейся на использовании методов теплового неразрушающего контроля. Проведенный анализ позволяет сделать вывод о том, что используемый метод в условиях современного технологического уклада способен быть эффективным и продуктивным, позволяющим сделать приемлемыми в современных условиях ведения бизнеса расходы на внедрение в производство и эксплуатацию систем контроля качества.

Список литературы

1. Материаловедение. Технология композиционных материалов / А.Г. Кобелев, М.А. Шаронов, О.А. Кобелев, В.П. Шаронова. М.: КНОРУС, 2016. 270 с.
2. Приборы для неразрушающего контроля материалов и изделий: справ.: в 2 кн. / под ред. В.В. Клюева. М.: Машиностроение, 1986. Кн. 1. 488 с.
3. Инженерные основы теплового контроля. Опыт практического применения: моногр. / З.Г. Салихов, О.Н. Будадин, Е.Н. Ишметьев [и др.]. М.: МИСИС, 2008. 476 с.
4. Вавилов В.П. Инфракрасная термография и тепловой контроль: научное издание. М.: ИД Спектр, 2009. 544 с.
5. Алешин Н.П. Физические методы неразрушающего контроля сварных соединений. М.: Машиностроение, 2019. 576 с.
6. Эффективное управление организационными и производственными структурами: моногр. / О.В. Логиновский, А.В. Голлай, О.И. Дранко и др. М.: Инфра-М, 2020. 456 с. DOI: 10.12737/1087996
7. Управление промышленными предприятиями: стратегии, механизмы, системы: моногр. / О.В. Логиновский, А.А. Максимов, В.Н. Бурков и др. М.: Инфра-М, 2018. 410 с.
8. Управление промышленным предприятием в условиях глобальной нестабильности: моногр. / К.А. Коренная, О.В. Логиновский, А.А. Максимов, А.Л. Шестаков. Челябинск.: Издат. центр ЮУрГУ, 2013. 403 с.
9. Кондратьев Н.Д., Яковец Ю.В., Абалкин Л.И. Большие циклы конъюнктуры и теория предвидения: избранные труды / М.: Экономика, 2002. 767 с.
10. Логиновский О.В. Динамика глобального мира. М.: Машиностроение, 2011. 1152 с.
11. Коренная К.А., Голлай А.В., Логиновский О.В. Модели управления промышленными предприятиями в условиях нестабильности внешней среды и необходимости технологического перевооружения // Проблемы управления. 2021. № 4. С. 40–49. DOI: 10.25728/ru.2021.4.4
12. Vavilov V., Burleigh D. Infrared Thermography and Thermal Nondestructive Testing. Springer Nature Switzerland AG, 2020. 610 p. DOI: 10.1007/978-3-030-48002-8
13. Стратегическое и оперативное управление промышленными предприятиями: учеб. пособие / О.В. Логиновский, А.В. Голлай, О.И. Дранко, А.Л. Шестаков. Челябинск: Издат. центр ЮУрГУ, 2021. 325 с.
14. Методы и модели управления промышленными предприятиями и корпорациями / О.В. Логиновский [и др.]. Челябинск: Издат. центр ЮУрГУ, 2022. 221 с.
15. Sharma N., Gobbert M.K. A comparative evaluation of Matlab, Octave, FreeMat, and Scilab for research and teaching [Электронный ресурс]. URL: <https://www.researchgate.net/publication/266492293> (дата обращения: 05.02.2023).
16. Есьман Р.И., Шевцов В.Ф. Компьютерное моделирование тепловых процессов в многослойных композиционных структурах // Энергетика. Известия высших учебных заведений и энергетических объединений СНГ. 2006. № 5. С. 62–67.
17. Костылева Л.Ю. Моделирование процессов активного теплового контроля многослойных биметаллических пластин при помощи современных программных средств // Научный поиск: Материалы четырнадцатой научной конференции аспирантов и докторантов. Челябинск: Издат. центр ЮУрГУ, 2022. С. 148–157.
18. Костылева Л.Ю., Логиновский О.В. Моделирование процессов активного теплового контроля многослойных биметаллических пластин // Управление большими системами: труды XVIII Всероссийской школы-конференции молодых ученых. Челябинск: Издат. центр ЮУрГУ, 2022. С. 70–77.

References

1. Kobelev A.G., Sharonov M.A., Kobelev O.A., Sharonova V.P. *Materialovedenie. Tekhnologiya kompozitsionnykh materialov* [Materials Science. Technology of composite materials]. Moscow: KNORUS; 2016. 270 p. (In Russ.)
2. Klyuev V.V. (Ed.). *Pribory dlya nerazrushayushchego kontrolya materialov i izdeliy: spravochnik* [Nondestructive testing instruments for materials and products. Handbook]. In 2 books. Book 1. Moscow: Mashinostroenie Publ.; 1986. 488 p. (In Russ.)

3. Salikhov Z.G., Budadin O.N., Ishmet'ev E.N. et al. *Inzhenernyye osnovy teplovogo kontrolya. Opyt prakticheskogo primeneniya: monografiya* [Thermal nondestructive testing engineering basics. Practical application experience. Monograph]. Moscow, MISIS; 2008. 476 p. (In Russ.)
4. Vavilov V.P. *Infrakrasnaya termografiya i teplovoy kontrol'* [Infrared Thermography and Thermal Nondestructive Testing]. Moscow: ID Spektr; 2009. 544 p. (In Russ.)
5. Aleshin N.P. *Fizicheskie metody nerazrushayushchego kontrolya svarnykh soedineniy* [Physical methods of non-destructive testing of welded joints]. Moscow: Mashinostroenie Publ.; 2019. 576 p. (In Russ.)
6. Loginovskiy O.V., Gollay A.V., Dranko O.I., Shestakov A.L., Shinkarev A.A. *Effektivnoe upravlenie organizatsionnymi i proizvodstvennymi strukturami: monografiya* [The effective management of organizational and production structures. Monograph]. Moscow: Infra-M; 2020. 456 p. (In Russ.) DOI: 10.12737/1087996
7. Loginovskiy O.V., Maksimov A.A., Burkov V.N. et al. *Upravlenie promyshlennymi predpriyatiyami: strategii, mekhanizmy, sistemy: monografiya* [Industrial Enterprise Management: Strategies, Mechanisms, Systems. Monograph]. Moscow: Infra-M; 2018. 410 p. (In Russ.)
8. Korennaya K.A., Loginovskiy O.V., Maksimov A.A., Shestakov A.L. *Upravlenie promyshlennym predpriyatiem v usloviyakh global'noy nestabil'nosti: monografiya* [Management of an industrial enterprise in conditions of global instability. Monograph]. Chelyabinsk: South Ural St. Univ. Publ.; 2013. 403 p. (In Russ.)
9. Kondrat'ev N.D., Yakovets Yu.V., Abalkin L.I. *Bol'shie tsikly kon'yunktury i teoriya predvideniya: izbrannye trudy* [Large cycles of conjuncture and anticipation theory. Selected works]. Moscow: Ekonomika Publ.; 2002. 767 p. (In Russ.)
10. Loginovskiy O.V. *Dinamika global'nogo mira* [Dynamics of the global world]. Moscow: Mashinostroenie Publ.; 2011. 1152 p. (In Russ.)
11. Korennaya K.A., Hollay A.V., Loginovskiy O.V. Models of managing industrial enterprises under an unstable environment and technological re-equipment. *Control Sciences*. 2021;(4):40–49. (In Russ.) DOI: 10.25728/pu.2021.4.4
12. Vavilov V., Burleigh D. *Infrared Thermography and Thermal Nondestructive Testing*. Springer Nature Switzerland AG; 2020. 610 p. DOI: 10.1007/978-3-030-48002-8
13. Loginovskiy O.V., Gollay A.V., Dranko O.I., Shestakov A.L. *Strategicheskoye i operativnoye upravleniye promyshlennymi predpriyatiyami* [Strategic and operational management of industrial enterprises: textbook]. Chelyabinsk: South Ural St. Univ. Publ.; 2021. 325 p. (In Russ.)
14. Loginovskiy O.V. et al. *Metody i modeli upravleniya promyshlennymi predpriyatiyami i korporatsiyami* [Methods and models of management of industrial enterprises and corporations]. Chelyabinsk: South Ural St. Univ. Publ.; 2022. 221 p. (In Russ.)
15. Sharma N. Gobbert M.K. A comparative evaluation of Matlab, Octave, FreeMat, and Scilab for research and teaching. Available at: <https://www.researchgate.net/publication/266492293> (accessed 05.02.2023).
16. Yesman R.I., Shevtsov V.F. Computer simulation of heating processes in multi-layer composite structures. *Izvestiâ vysshikh uchebnykh zavedeniy i energeticheskikh ob"edinenij SNG. Énergetika*. 2006;5:62–67. (In Russ.)
17. Kostyleva L.Yu. [Modelling of processes of active thermal non-destructive testing of multilayer bimetallic plates using modern software]. In: *Scientific Search: Proceedings of the fourteenth scientific conference of postgraduate students and doctoral students*. Chelyabinsk: South Ural St. Univ. Publ.; 2022. P. 148–157. (In Russ.)
18. Kostyleva L.Yu. Loginovskiy O.V. [Modelling of processes of active thermal non-destructive testing of multilayer bimetallic plates]. In: *Management of Large Systems: Proceedings of the XVIII All-Russian School-Conference of Young Scientists*. Chelyabinsk: South Ural St. Univ. Publ.; 2022. P. 70–77. (In Russ.)

Информация об авторах

Голлай Александр Владимирович, д-р техн. наук, доц., проф. кафедры информационно-аналитического обеспечения управления в социальных и экономических системах, Южно-Уральский государственный университет, Челябинск, Россия; alexander@hollay.ru.

Костылева Лилия Юрьевна, старший преподаватель кафедры информационно-аналитического обеспечения управления в социальных и экономических системах, Южно-Уральский государственный университет, Челябинск, Россия; kostylevali@susu.ru.

Коренная Кристина Александровна, канд. техн. наук, генеральный директор, АО «Кузнецкие ферросплавы», Новокузнецк, Россия; kkris221@mail.ru.

Логиновский Олег Витальевич, д-р техн. наук, проф., заведующий кафедрой информационно-аналитического обеспечения управления в социальных и экономических системах, Южно-Уральский государственный университет, Челябинск, Россия; loginovskiiiov@susu.ru.

Information about the authors

Alexander V. Hollay, Dr. Sci. (Eng.), Ass. Prof., Prof. of the Department of Informational and Analytical Support of Control in Social and Economic Systems, South Ural State University, Chelyabinsk, Russia; alexander@hollay.ru.

Liliya Yu. Kostyleva, Senior Lecturer of the Department of Informational and Analytical Support of Control in Social and Economic Systems, South Ural State University, Chelyabinsk, Russia; kostylevali@susu.ru.

Kristina A. Korennaya, Cand. Sci. (Eng.), General Director, JSC “Kuznetsk Ferroalloys”, Novokuznetsk, Russia; kkris221@mail.ru.

Oleg V. Loginovskiy, Dr. Sci. (Eng.), Prof., Head of the Department of Informational and Analytical Support of Control in Social and Economic Systems, South Ural State University, Chelyabinsk, Russia; loginovskiiiov@susu.ru.

Вклад авторов: все авторы сделали эквивалентный вклад в подготовку публикации.

Авторы заявляют об отсутствии конфликта интересов.

Contribution of the authors: the authors contributed equally to this article.

The authors declare no conflicts of interests.

Статья поступила в редакцию 30.05.2023

The article was submitted 30.05.2023

ИСПОЛЬЗОВАНИЕ МОДЕЛИ МНОЖЕСТВЕННОЙ ЛИНЕЙНОЙ РЕГРЕССИИ ДЛЯ КРАТКОСРОЧНОГО ПРОГНОЗИРОВАНИЯ ЦЕН НА КАЛИЙНУЮ ПРОДУКЦИЮ

А.В. Копотева, kopoteva_av@mail.ru

А.В. Затонский, z Xenon@narod.ru, <https://orcid.org/0000-0003-1863-2535>

Пермский национальный исследовательский политехнический университет,
Березниковский филиал, Березники, Россия

Аннотация. Нестабильность современной экономики вследствие глобальных и региональных конфликтов и противоречий приводит к существенным колебаниям на сырьевых рынках. Непредсказуемость спроса и цен приводит к повышению рисков деятельности добывающих отраслей и ограничивает их успешное функционирование и развитие. **Цель исследования.** В данной работе произведена попытка использования модели множественной линейной регрессии для получения приемлемого качества прогнозной цены калийной продукции. Несмотря на распространенность и простоту построения и интерпретации, прогностические свойства таких моделей, как правило, неудовлетворительны. Тем не менее при адекватном подборе факторов и объема выборки, используемой для оценки неизвестных параметров модели, можно добиться приемлемого качества прогноза на ее основании. **Материалы и методы.** Оценка неизвестных параметров модели множественной линейной регрессии в работе осуществляется на основании данных государственной геологической службы Соединенных Штатов Америки. Выборка содержит сведения об американском рынке калийной продукции в период с 1900 по 2020 г. Качество прогнозирования проверяется методом постпрогноза на 2019 и 2020 гг. Модель, построенная на всем доступном временном интервале, дает неудовлетворительное значение относительной ошибки прогнозирования. Для уменьшения ее значения в работе выполнен перебор объемов выборок, на основании которых оцениваются параметры модели, и выбран тот из них, для которого ошибка прогноза минимальна. Расчеты выполнены средствами *MS Excel* и *Python 3.8.5* в среде *Jupyter Notebook 6.1.4*. **Результаты.** Проведенное исследование позволило установить, что для минимизации относительной погрешности прогнозирования цены калийной продукции на внутреннем рынке США моделирование целесообразно производить с использованием временных интервалов длиной от 9 до 13 лет. При этом удастся улучшить прогноз на 2019 г. на 118-летнем временном интервале на 23,9 %, а аналогичный прогноз на 2020 г. – на 83,70 %. **Заключение.** По результатам проделанной работы можно утверждать, что модель множественной линейной регрессии может быть успешно использована для краткосрочного прогнозирования цены калийной продукции, а удачный выбор длины интервала моделирования позволяет достичь приемлемого качества прогнозирования.

Ключевые слова: множественная линейная регрессия, статистические данные, калийная отрасль, краткосрочное прогнозирование, цена калийной продукции

Для цитирования: Копотева А.В., Затонский А.В. Использование модели множественной линейной регрессии для краткосрочного прогнозирования цен на калийную продукцию // Вестник ЮУрГУ. Серия «Компьютерные технологии, управление, радиоэлектроника». 2023. Т. 23, № 4. С. 89–97. DOI: 10.14529/ctcr230409

Original article
DOI: 10.14529/ctcr230409

APPLICATION OF MULTIPLE LINEAR REGRESSION MODEL FOR POTASH PRICES SHORT-TERM FORECASTING

A.V. Kopoteva, kopoteva_av@mail.ru

A.V. Zatonkiy, zxenon@narod.ru, <https://orcid.org/0000-0003-1863-2535>

Perm National Research Polytechnic University, Berezniki Branch, Berezniki, Russia

Abstract. The modern economy instability due to global and regional conflicts and contradictions leads to significant fluctuations in commodity markets. The demand and prices unpredictability leads to the raw materials industries risks increase and limits their successful functioning and development. **The purpose of the study.** In this paper, we made an attempt of a multiple linear regression model application to obtain a forecast price of potash products acceptable quality. Despite the wide application and simplicity of construction and interpretation, the forecasting properties of such models are usually unsatisfactory. Nevertheless, an adequate selection of factors and the sample size used to estimate unknown parameters of the model, allows to achieve an acceptable forecasting quality. **Materials and methods.** In the issue the evaluation of the multiple linear regression model unknown parameters is performed on the basis of United States of America Geological Survey data. The sample contains information about the American potash market in the period from 1900 to 2020. The quality of forecasting is tested using the post-forecast method for years 2019 and 2020. The model built using the entire dataset gives an unsatisfactory relative prediction error. To reduce its value, a search of the sample volumes of data used for model parameters estimation was performed, and the one with the minimal forecast error was selected as optimal. The calculations were performed using MS Excel and Jupyter Notebook 6.1.4 environment for Python 3.8.5. **Results.** The conducted research allowed us to determine that in order to minimize the US domestic market potash products price relative error, it is necessary to use from 9 to 13 years time intervals for modeling. By doing that it is possible to improve the 118-year time interval forecast for 2019 year by 23.9%, and a similar forecast for 2020 by 83.70%. **Conclusion.** Based on the results of the work done, it can be stated that the multiple linear regression model can be successfully used for short-term forecasting of the potash products price, and by an adequate modeling interval length choice it is possible to achieve acceptable forecasting quality.

Keywords: multiple linear regression, statistical data, potash industry, short-term forecasting, potash products price

For citation: Kopoteva A.V., Zatonkiy A.V. Application of multiple linear regression model for potash prices short-term forecasting. *Bulletin of the South Ural State University. Ser. Computer Technologies, Automatic Control, Radio Electronics.* 2023;23(4):89–97. (In Russ.) DOI: 10.14529/ctcr230409

Введение

К настоящему времени внутри мирового сообщества накопились многочисленные противоречия, приводящие к локальным экономическим, политическим и военным конфликтам и, как следствие, к нестабильности мировой экономики. Резким скачкам цен и спроса подвержены и сырьевые отрасли Российской Федерации, обеспечивающие существенные доли доходов бюджетов всех уровней. Не является исключением и калийная отрасль, представленная на территории Березниковско-Соликамского промышленного узла предприятиями ПАО «Уралкалий» и ООО «ЕвроХим-Усольский калийный комбинат». С учетом ограниченного числа месторождений калийных солей, а также достаточно стабильного спроса на калий как один из основных жизненно важных для сельскохозяйственных культур элементов наибольшие риски при краткосрочном планировании операционной и инвестиционной деятельности калийных предприятий связаны с волатильностью отраслевых цен. Сложность их прогнозирования повышает производственные и финансовые риски и снижает инвестиционную привлекательность отрасли. В данной работе предпринята попытка построения многофакторной линейной эконометрической модели средней годовой цены 1 т калийной продукции на основании данных открытой долгосрочной статистики с целью достижения приемлемого качества ее краткосрочного прогноза. Наличие такого прогноза

является необходимым условием эффективного краткосрочного производственного и инвестиционного планирования, а также быстрой окупаемости реализуемых предприятиями инвестиционных программ.

Существуют различные методы прогнозирования цен на природные ресурсы [1, 2]. Наиболее активно отечественные и иностранные исследователи занимаются прогнозированием цен на энергетических рынках [3, 4]. Обзор открытых источников не выявил актуальных исследований по прогнозированию цен в калийной отрасли. Наиболее свежий англоязычный обзор мировой торговли удобрениями в целом выполнен за период 2014–2018 гг. [5]. Русскоязычный обзор тенденций мирового рынка минеральных удобрений выполнен в [6], обзор калийной отрасли – в [7]. В [8] авторы строят прогнозы биржевых цен на азотные удобрения. В [9] представлены результаты исследования на тему прогноза пиковой добычи и потребления калия в рамках теории жизненного цикла продукции. В [10] авторы моделируют и прогнозируют соотношения спроса и предложения в калийной отрасли, а в [11] выполнен сценарный анализ динамики запасов сырья для производства калийных удобрений в Китае в зависимости от их потребления. При наличии статистических данных для прогнозирования используются эконометрические модели. Модели временных рядов строятся в случае, если имеются сведения только о динамике изучаемого показателя в последовательные моменты времени [12]. При наличии данных о значениях системы показателей, определяющих уровень и динамику изучаемой величины, возможно построение линейных и нелинейных многофакторных моделей [13], а также моделей машинного обучения [14]. При этом не существует универсального метода прогнозирования, дающего гарантированно приемлемое качество результата, а прогнозирование цен на хлористый калий если и выполняется, то в специализированных платных отраслевых обзорах, не доступных широкой общественности.

В данном исследовании рассмотрена возможность использования модели множественной линейной регрессии для целей оперативного прогнозирования цен в калийной отрасли на примере внутреннего рынка Соединенных Штатов Америки. Для этого необходимо выполнить сбор статистических данных о стоимости 1 т хлористого калия и влияющих на него факторах из открытых источников, построить модель множественной линейной регрессии, оценить качество прогноза на ее основе и, в случае неудовлетворительного его уровня, попытаться подобрать факторы и параметры моделирования для его улучшения.

1. Моделирование цены калийной продукции на внутреннем рынке Соединенных Штатов Америки

Построение эконометрических моделей предполагает выбор формы зависимости объясняемой переменной от определяющих ее факторов, оценку неизвестных параметров этого уравнения по статистической выборке и проверку качества полученной модели. Эконометрическая модель с одной объясняемой переменной y и p объясняющими переменными x_1, x_2, \dots, x_p определяется уравнением

$$y = f(x_1, x_2, \dots, x_p) + \varepsilon,$$

где f – функция, выражающая зависимость y от x_1, x_2, \dots, x_p ; ε – ошибка модели, выражаемая случайной величиной. В случае линейной функции f возникает модель множественной линейной регрессии

$$y = \beta_0 + \beta_1 \cdot x_1 + \beta_2 \cdot x_2 + \dots + \beta_p \cdot x_p + \varepsilon,$$

где $\beta = (\beta_0, \beta_1, \dots, \beta_p)$ – вектор неизвестных параметров модели, подлежащих определению методом наименьших квадратов [15]. Для оценки качества аппроксимации модели множественной регрессии используется, в частности, исправленный коэффициент детерминации $R_{adj}^2 \in [0; 1]$, чем ближе значение показателя к единице, тем выше качество построенной модели. Для целей прогнозирования более важной характеристикой модели является качество прогноза, которое может быть оценено методом постпрогноза¹, когда модель оценивается по укороченной на несколько

¹ https://help.sap.com/saphelp_scm70/helpdata/ru/ac/216b77337b11d398290000e8a49608/frameset.htm.

наблюдений выборке, для пропущенных наблюдений строятся прогнозные значения объясняемой переменной и сравниваются с фактическими.

Оценка параметров эконометрического уравнения осуществляется на основании статистических данных об изучаемой величине и определяющих ее факторах. При этом чем больше объем выборки, тем более высокого качества моделирование можно добиться. Анализ открытых источников показал, что наибольший объем данных по ценам в калийной отрасли доступен для внутреннего рынка Соединенных Штатов Америки на официальном сайте *U.S. Geological Survey*². Данные включают сведения об объемах внутреннего выпуска (*Production*), импорта (*Imports*), экспорта (*Exports*), складских запасов (*Stocks*), потребления (*Apparent consumption*), цене в пересчете на 1 т K_2O (*Unit_value*), а также мировых объемах производства (*World_production*) с 1900 по 2020 г., причем данные о производстве, экспорте, складских запасах и мировом производстве не полные. Таким образом, непосредственно в качестве факторов начиная с 1900 г. можно выбрать только *Imports* (коэффициент корреляции с ценой 0,504) и *Apparent_consumption* (коэффициент корреляции с ценой 0,377), т. е. для обоих факторов характерна прямая средняя теснота связи с объясняемым показателем. Несмотря на достаточно тесную корреляцию двух данных фактов, в модель пришлось включить оба, поскольку расчеты показали, что исключение одного из них приводит к существенному ухудшению качества модели. Также в качестве фактора, влияющего на цену, можно выбрать время $t = 1, 2, \dots, 120$, поскольку динамика имеет выраженный восходящий тренд. Коэффициент парной линейной корреляции времени с ценой составляет 0,531, т. е. связь показателей также является прямой средней. Кроме того, анализ автокорреляционной функции цены 1 т K_2O показал наличие тесной прямой зависимости текущего *Unit_value*, и предшествующего *Unit_value_{t-1}* значений, коэффициент корреляции составил 0,925. Таким образом, результирующая модель оказалась четырехфакторной с уравнением вида

$$Unit_value_t = b_0 + b_1 \cdot t + b_2 \cdot Unit_value_{t-1} + b_3 \cdot Imports_t + b_4 \cdot Apparent_consumption_t. \quad (1)$$

Оценка неизвестных параметров уравнения (1) на всем доступном временном интервале была выполнена с помощью средства «Регрессия» надстройки «Пакет анализа» *MS Excel*. Были рассмотрены варианты с нулевым и ненулевым значениями константы b_0 (см. таблицу).

Модели цены K_2O в 2019 и 2020 гг. по данным за 1901–2018 гг.
 K_2O price models in 2019 and 2020 based on 1901–2018 data

№	b_0	b_1	b_2	b_3	b_4	R_{adj}^2	Ошибка прогноза, %	
							2019	2020
1	0,00	0,73	$1,88 \cdot 10^{-5}$	$-2,10 \cdot 10^{-5}$	0,86141	0,92	31,46	-52,71
2	-0,57	0,75	$1,87 \cdot 10^{-5}$	$-2,11 \cdot 10^{-5}$	0,86142	0,87	34,45	-51,46

Обе модели оказались значимыми на 5%-ном уровне значимости, причем более высоким исправленным коэффициентом детерминации (почти 91,8 %) обладает модель с нулевой константой. Тем не менее обе модели по данным за 118 лет дают низкое качество прогноза: более 31 % на 2019 г. и более 51 % – на 2020 г. по абсолютной величине.

2. Выбор длины интервала моделирования с целью минимизации погрешности прогноза цены калийной продукции на внутреннем рынке Соединенных Штатов Америки

Высокая погрешность прогноза цены калийной продукции по данным за 1901–2018 гг. позволяет предположить, что для прогнозирования цены калийных удобрений на основании выбранной модели следует выбрать более короткий временной интервал. При этом минимизировать можно как среднюю ошибку прогнозирования на этом интервале, так и актуальную ошибку прогнозирования (в случае рассмотренных данных это 2019 и 2020 гг.). Практическая реализация поставленной задачи предполагает:

– определение количества наблюдений в частичных рядах n , для целей данного исследования мы ограничились случаями $8 \leq n \leq 27$;

² <https://www.usgs.gov/centers/national-minerals-information-center/potash-statistics-and-information>.

- выбор из полного набора данных частичных рядов длины n ;
- разбивку каждого частичного ряда на обучающую и тестовую выборки. В данном исследовании прогноз выполняется на 2 временных периода, поэтому в тестовую часть необходимо включить 2 последних наблюдения частичного временного ряда, в обучающую – первые $n-2$ наблюдения;
- оценку неизвестных параметров уравнения (1) по обучающей выборке;
- прогнозирование значений $Unit_value_i^{mod}$ для $i = n-1, n$ (наблюдений тестовой выборки);
- расчет относительной погрешности прогноза по формуле $\varepsilon_i^n = (Unit_value_i - Unit_value_i^{mod}) / Unit_value_i \cdot 100\%$, $i = n-1, n$;
- расчет абсолютной величины относительной погрешности $|\varepsilon_i^n|$, $i = n-1, n$;
- расчет среднего значения $|\varepsilon_i^n|_{cp}$ по всем частичным рядам длины n ;
- выбор длины частичных рядов $n1^*$, обеспечивающего минимум $|\varepsilon_i^n|_{cp}$, $i = n-1, n$;
- выбор длины частичных рядов $n2^*$, обеспечивающего минимум погрешности прогноза в 2019 и 2020 гг.

При относительно небольшом объеме исходных данных рассмотренный алгоритм может быть реализован вручную, однако в нашем распоряжении сведения за 120 лет, что приводит к необходимости оценить параметры от 95 уравнений в случае $n = 27$ до 114 уравнений в случае $n = 8$. Такой объем действий потребовал программной реализации, выполненной нами средствами *MS Excel* и *Python 3.8.5* в среде *Jupyter Notebook 6.1.4*. В *Jupyter Notebook* были выполнены перебор по длине частичных рядов с формированием соответствующих выборок, оценка параметров регрессии, расчет относительной погрешности вычислений и формирование таблиц погрешностей, которые выгружались в книгу *MS Excel*. Результирующая книга содержала 20 листов с данными об относительных погрешностях прогнозирования на 2 года при различных n . На их основании в книге *MS Excel* рассчитывались абсолютные значения погрешностей, их средние величины и формировались итоговая таблица и график зависимости абсолютной величины средней относительной погрешности прогнозирования от объема обучающей выборки $n-2$ (рис. 1). Кроме того, была построена зависимость средней погрешности прогноза на 2019 и 2020 гг. от объема обучающей выборки $n-2$ (рис. 2).

Анализ средней погрешности прогноза по абсолютной величине показал, что наименьшая ее величина на 1 год достигается на 13-летнем объеме обучающей выборки, соответствующее значение составляет 26,19 % с размахом вариации от 0,08 до 232,36 %. Наименьшая средняя погрешность прогноза на 2 года достигается на 24-летнем объеме обучающей выборки, ее величина при этом составляет 38,38 % с размахом вариации от 0,24 до 424,84 %.

Анализ погрешности прогноза по абсолютной величине на 2019 г. показал, что наименьшая ее величина достигается при 9-летнем объеме обучающей выборки. Соответствующее значение погрешности составляет 23,95 %, а уравнение регрессии имеет вид

$$Unit_value_t = 5816,6985 - 36,9229 \cdot t - 0,5732 \cdot Unit_value_{t-1} - 0,0003 \cdot Imports_t + 0,0001 \cdot Apparent_consumption_t.$$

Это значение точнее, чем наилучший прогноз на 118-летнем временном интервале, равный 31,46 % (см. таблицу), на 23,87 %. Наименьшая погрешность прогноза на 2020 г. достигается на 10-летнем объеме обучающей выборки. Соответствующее значение погрешности составляет 8,39 %, а уравнение регрессии имеет вид

$$Unit_value_t = 2959,6712 - 19,0386 \cdot t - 0,1083 \cdot Unit_value_{t-1} - 0,0003 \cdot Imports_t + 0,0003 \cdot Apparent_consumption_t.$$

Это значение точнее, чем наилучший прогноз на 118-летнем временном интервале, равный 51,46 % (см. таблицу), на 83,70 %.

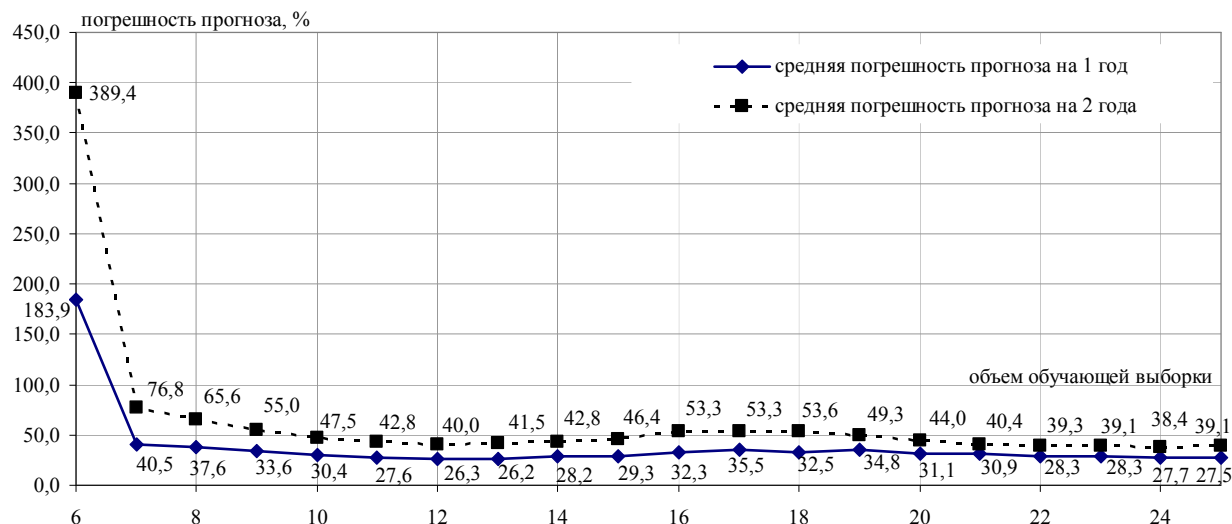


Рис. 1. Зависимость средней погрешности прогноза на 1 и 2 года от объема обучающей выборки
Fig. 1. 1 and 2 years average forecast error dependence on training sample volume

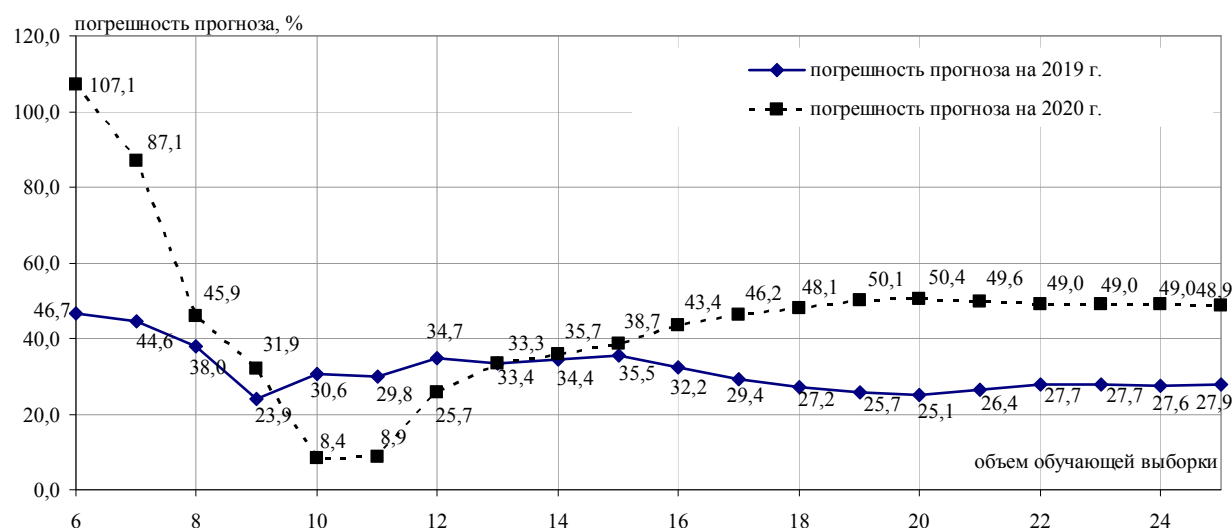


Рис. 2. Зависимость средней погрешности прогноза на 2019 и 2020 гг. от объема обучающей выборки
Fig. 2. 2019 and 2020 average forecast error dependence on training sample volume

Таким образом, прогнозирование цены 1 т K_2O на внутреннем рынке США на два ближайших года на основании модели линейной зависимости ее от времени, значения цены в предыдущий год, а также уровней импорта и внутреннего потребления (1) целесообразно производить с использованием временных интервалов длиной от 9 до 13 лет, поскольку именно при таких объемах обучающих выборок достигаются минимальные погрешности прогноза на 1 и 2 года. При этом существенно улучшается качество прогнозной цены по сравнению с ее значением, смоделированным по полному ряду данных за 118 лет, – погрешность на один год сокращается примерно на треть, на два года – более чем на 80 %.

Заключение

На основании проведенного исследования можно заключить, что модель множественной линейной регрессии может быть успешно использована для краткосрочного прогнозирования цены калийной продукции на внутреннем рынке США. В качестве исходных данных использовалась статистика с официального сайта американской геологической службы за 120 лет. Установлено, что линейная зависимость цены 1 т K_2O от времени, значения цены в предыдущий год, импорта и внутреннего потребления обеспечивает минимальную погрешность актуального прогноза на два года при моделировании на временных интервалах длиной от 9 до 13 лет. Наименьшая средняя

погрешность прогноза на 1 год равна 26,19 % и достигается на 13-летнем временном интервале. Наименьшая средняя погрешность прогноза на 2 года составляет 38,38 % и достигается на 24-летнем временном интервале. Наименьшая погрешность прогнозирования на 2019 г., равная 23,95 %, достигается на 9-летнем временном интервале. Наименьшая погрешность прогнозирования на 2020 г., равная 8,39 %, достигается на 10-летнем временном интервале. Несмотря на существенное улучшение прогностических свойств модели за счет подбора длины интервала моделирования, погрешность среднего прогноза на два года составляет почти 40 %, т. е. остается на достаточно высоком уровне. При этом объем доступных данных достаточно велик, что позволяет попытаться использовать для получения более точных прогнозов модели машинного обучения.

Список литературы

1. Alternative techniques for forecasting mineral commodity prices / C.A. Tapia Cortez, S. Saydam, J. Coulton, C. Sammut // *International Journal of Mining Science and Technology*. 2018. Vol. 28, iss. 2. P. 309–322. DOI: 10.1016/j.ijmst.2017.09.001
2. Progress and prospects of data-driven stock price forecasting research / C. Zhao, M. Wu, J. Liu et al. // *International Journal of Cognitive Computing in Engineering*. 2023. Vol. 4. P. 100–108. DOI: 10.1016/j.ijcce.2023.03.001
3. Бушуев В.В. Структурно-волновой анализ и прогноз мировой динамики нефтяных цен // *Энергетическая политика*. 2019. № 3. С. 54–61.
4. Forecasting oil, coal, and natural gas prices in the pre-and post-COVID scenarios: Contextual evidence from India using time series forecasting tools / M.Sh. Alam, M. Murshed, P. Manigandan et al. // *Resources Policy*. 2023. Vol. 81. DOI: 10.1016/j.resourpol.2023.103342. URL: <https://www.sciencedirect.com/science/article/pii/S0301420723000508> (дата обращения: 20.07.2023).
5. Gutiérrez-Moya E., Lozano S., Adenso-Díaz B. A pre-pandemic analysis of the global fertiliser trade network // *Resources Policy*. 2023. Vol. 85. Part B. DOI: 10.1016/j.resourpol.2023.103859. URL: <https://www.sciencedirect.com/science/article/pii/S0301420723005706> (дата обращения: 20.07.2023).
6. Торопцев Е.Л., Гурнович Т.Г., Мурадова И.Ю. Прогнозирование ценовой конъюнктуры рынка минеральных удобрений // *π-Economy*. 2010. № 1 (92). С. 73–82.
7. Земсков А.А., Максимович Н.Г., Мещерякова О.Ю. Современные тенденции в развитии калийной промышленности в мире // *Известия ТулГУ. Науки о Земле*. 2022. № 3. URL: <https://cyberleninka.ru/article/n/sovremennye-tendentsii-v-razviti-i-kaliynoy-promyshlennosti-v-mire> (дата обращения: 20.07.2023).
8. Mao S., Zeng X.-J. SimVGNets: Similarity-Based Visibility Graph Networks for Carbon Price Forecasting // *Expert Systems with Applications*. 2023. Vol. 230. DOI: 10.1016/j.eswa.2023.120647. URL: <https://www.sciencedirect.com/science/article/pii/S0957417423011491> (дата обращения 20.07.2023).
9. Al Rawashdeh R. World peak potash: An analytical study // *Resources Policy*. 2020. Vol. 69. DOI: 10.1016/j.resourpol.2020.101834. URL: <https://www.sciencedirect.com/science/article/pii/S0301420720308667> (дата обращения: 20.07.2023).
10. Al Rawashdeh R., Xavier-Oliveira E., Maxwell P. The potash market and its future prospects // *Resources Policy*. 2016. Vol. 47. P. 154–163. DOI: 10.1016/j.resourpol.2016.01.011
11. Dynamic potassium flows analysis in China for 2010–2019 / X. Song, Y. Geng, Y. Zhang et al. // *Resources Policy*. 2022. Vol. 78. DOI: 10.1016/j.resourpol.2022.102803. URL: <https://www.sciencedirect.com/science/article/pii/S0301420722002513> (дата обращения: 20.07.2023).
12. Morales M.Á.S., Anguiano F.I.S. Data science – time series analysis of oil & gas production in mexican fields // *Procedia Computer Science*. 2022. Vol. 200. P. 21–30. DOI: 10.1016/j.procs.2022.01.201
13. Сиротина Н.А., Копотева А.В., Затонский А.В. Метод конечно-разностного социально-экономического прогнозирования // *Прикладная математика и вопросы управления*. 2021. № 1. С. 174–189. DOI: 10.15593/2499-9873/2021.1.10
14. Копотева А.В., Максимов А.А., Сиротина Н.А. Модели машинного обучения в задаче прогнозирования природно-ресурсного потенциала Пермского края // *Вестник ЮУрГУ. Серия «Компьютерные технологии, управление, радиоэлектроника»*. 2021. Т. 21, № 4. С. 126–136. DOI: 10.14529/ctcr210411

15. Эконометрика / Елисеева И.И., Курышева С.В., Костеева Т.В. и др.; под ред. И.И. Елисеевой. М.: Финансы и статистика, 2007. 576 с.

References

1. Tapia Cortez C.A., Saydam S., Coulton J., Sammut C. Alternative techniques for forecasting mineral commodity prices. *International Journal of Mining Science and Technology*. 2018;28(2):309–322. DOI: 10.1016/j.ijmst.2017.09.001
2. Zhao C., Wu M., Liu J., Duan Z., Li J., Shen L., Shanguan X., Liu D., Wang Y. Progress and prospects of data-driven stock price forecasting research. *International Journal of Cognitive Computing in Engineering*. 2023;4:100–108. DOI: 10.1016/j.ijcce.2023.03.001
3. Bushuev V.V. Structural and wave analysis and the forecast of world dynamics of oil prices. *Energy Policy*. 2019;3:54–61. (In Russ.)
4. Alam M.Sh., Murshed M., Manigandan P., Pachiyappan D., Shamansurova Z.A. Forecasting oil, coal, and natural gas prices in the pre-and post-COVID scenarios: Contextual evidence from India using time series forecasting tools. *Resources Policy*. 2023;81. DOI: 10.1016/j.resourpol.2023.103342. Available at: <https://www.sciencedirect.com/science/article/pii/S0301420723000508> (accessed 20.07.2023).
5. Gutiérrez-Moya E., Lozano S., Adenso-Díaz B. A pre-pandemic analysis of the global fertiliser trade network. *Resources Policy*. 2023;85(B). DOI: 10.1016/j.resourpol.2023.103859. Available at: <https://www.sciencedirect.com/science/article/pii/S0301420723005706> (accessed 20.07.2023)
6. Toroptsev E.L., Gurnovich T.G., Muradova I.Yu. [Mineral Fertilizers Market Price Situation Forecasting]. *π-Economy*. 2010;1(92):73–82. (In Russ.)
7. Zemskov A.N., Maksimovich N.G., Meshcheryakova O.Yu. Modern trends in the development of potassium industry in the world. *Izvestiya Tula State University. Nauki o Zemle*. 2022;3. (In Russ.) Available at: <https://cyberleninka.ru/article/n/sovremennye-tendentsii-v-razvitii-kaliynoy-promyshlennosti-v-mire> (accessed 20.07.2023).
8. Mao S., Zeng X.-J. SimVGNets: Similarity-Based Visibility Graph Networks for Carbon Price Forecasting. *Expert Systems with Applications*. 2023;230. DOI: 10.1016/j.eswa.2023.120647. Available at: <https://www.sciencedirect.com/science/article/pii/S0957417423011491> (accessed 20.07.2023).
9. Al Rawashdeh R. World peak potash: An analytical study. *Resources Policy*. 2020;69. DOI: 10.1016/j.resourpol.2020.101834. Available at: <https://www.sciencedirect.com/science/article/pii/S0301420720308667> (accessed 20.07.2023).
10. Al Rawashdeh R., Xavier-Oliveira E., Maxwell P. The potash market and its future prospects. *Resources Policy*. 2016;47:154–163. DOI: 10.1016/j.resourpol.2016.01.011
11. Song X., Geng Y., Zhang Y., Zhang X., Gao Z., Li M. Dynamic potassium flows analysis in China for 2010–2019. *Resources Policy*. 2022;78. DOI: 10.1016/j.resourpol.2022.102803. Available at: <https://www.sciencedirect.com/science/article/pii/S0301420722002513> (accessed 20.07.2023).
12. Morales M.Á.S., Anguiano F.I.S. Data science – time series analysis of oil & gas production in mexican fields. *Procedia Computer Science*. 2022;200:21–30. DOI: 10.1016/j.procs.2022.01.201
13. Sirotina N.A., Kopoteva A.V., Zatonkiy A.V. Finite Differences Method for Socio-Economic Modeling *Applied Mathematics and Control Sciences*. 2021;1:174–189. DOI: 10.15593/2499-9873/2021.1.10 (In Russ.)
14. Kopoteva A.V., Maksimov A.A., Sirotina N.A. Perm Region Natural Resource Potential Forecasting Using Machine Learning Models. *Bulletin of the South Ural State University. Ser. Computer Technologies, Automatic Control, Radio Electronics*, 2021;21(4):126–136. (In Russ.) DOI: 10.14529/ctcr210411
15. Eliseeva I.I., Kuryshva S.V., Kosteeva T.V. et al. *Ekonometrika* [Econometrics]. Moscow: Finansy i statistika; 2007. 576 p. (In Russ.)

Информация об авторах

Копотева Анна Владимировна, канд. техн. наук, доц. кафедры общенаучных дисциплин, Пермский национальный исследовательский политехнический университет, Березниковский филиал, Березники, Россия; kopoteva_av@mail.ru.

Затонский Андрей Владимирович, д-р техн. наук, проф., заведующий кафедрой автоматизации технологических процессов, Пермский национальный исследовательский политехнический университет, Березниковский филиал, Березники, Россия; zxenon@narod.ru.

Information about the authors

Anna V. Kopoteva, Cand. Sci. (Eng.), Ass. Prof. of the Department of General Scientific Disciplines, Perm National Research Polytechnic University, Berezniki Branch, Berezniki, Russia; kopoteva_av@mail.ru.

Andrey V. Zatonskiy, Dr. Sci. (Eng.), Prof., Head of the Department of Automation of Technological Processes, Perm National Research Polytechnic University, Berezniki Branch, Berezniki, Russia; zxenon@narod.ru.

Статья поступила в редакцию 20.07.2023

The article was submitted 20.07.2023

Краткие сообщения Brief reports

Краткое сообщение
УДК 65.012
DOI: 10.14529/ctcr230410

РАЗВИТИЕ МЕТОДОВ И МОДЕЛЕЙ УПРАВЛЕНИЯ ДЕЯТЕЛЬНОСТЬЮ ВЫСШИХ УЧЕБНЫХ ЗАВЕДЕНИЙ

A.P. Вагнер, admin@susu.ru, <https://orcid.org/0000-0001-6049-2121>
O.V. Логиновский, loginovskiiov@susu.ru, <https://orcid.org/0000-0003-3582-2795>
Южно-Уральский государственный университет, Челябинск, Россия

Аннотация. Вопросы развития методов, моделей и механизмов управления деятельностью высших учебных заведений в условиях противостояния стран Запада и России приобрели особую значимость. Эти внешние воздействия на органы государственной власти, предприятия, учреждения и организации субъектов РФ недопустимо не учитывать в развитии вузовской науки и ее участия в оценке эффективности деятельности всех хозяйствующих субъектов на территории региона. Развитие отечественных учреждений высшего образования нуждается в новых подходах, концепциях, методах и моделях либо существенной трансформации тех, которые сегодня используются на практике. **Цель работы** состоит в создании комплекса механизмов, методов и моделей повышения эффективности управления деятельностью высших учебных заведений и их более грамотного взаимодействия с органами государственной власти и управления, а также промышленными предприятиями и организациями, дислоцированными на территории региона. **Материалы и методы.** Используются результаты анализа исследований по улучшению методов, моделей и технологий управления работой высших учебных заведений, а также предприятий и организаций. **Результаты.** Показана целесообразность модернизации механизмов управления деятельностью высших учебных заведений, а также методов и моделей, используемых в этом процессе. **Заключение.** Сформулированы научно обоснованные положения, определяющие ключевые направления стратегии развития системы управления деятельностью высших учебных заведений.

Ключевые слова: управление, повышение эффективности, образовательные учреждения, механизмы управления, методы управления, модели управления

Для цитирования: Вагнер А.Р., Логиновский О.В. Развитие методов и моделей управления деятельностью высших учебных заведений // Вестник ЮУрГУ. Серия «Компьютерные технологии, управление, радиоэлектроника». 2023. Т. 23, № 4. С. 98–102. DOI: 10.14529/ctcr230410

Brief report
DOI: 10.14529/ctcr230410

DEVELOPMENT OF METHODS AND MODELS OF HIGHER EDUCATION INSTITUTIONS' ACTIVITY MANAGEMENT

A.R. Wagner, admin@susu.ru, <https://orcid.org/0000-0001-6049-2121>
O.V. Loginovskiy, loginovskiiov@susu.ru, <https://orcid.org/0000-0003-3582-2795>
South Ural State University, Chelyabinsk, Russia

Abstract. The issues of development of methods, models and mechanisms for managing the activities of higher education institutions in the conditions of confrontation between Russia and western countries have become increasingly significant. These external influences on public authorities, enterprises, institutions and organizations of the subjects of the Russian Federation cannot be ignored in the development of higher education science and its participation in the assessment of the effectiveness of all economic entities in the region. The development of national institutions of higher education needs new approaches, concepts, methods and models, or a significant transformation of those that are currently used in practice.

© Вагнер А.Р., Логиновский О.В., 2023

Aim. The aim of the work is to create a set of mechanisms, methods and models to improve the efficiency of management of higher education institutions and their more competent interaction with public authorities and management bodies, as well as industrial enterprises and organizations located on the territory of the region. **Materials and methods.** The results of analysis of researches on improvement of methods, models and technologies of management of work of higher educational institutions, as well as enterprises and organizations are used. **Results.** The expediency of modernization of mechanisms of management of higher education institutions, as well as methods and models used in this process is shown. **Conclusion.** The scientifically grounded provisions defining the key directions of the development strategy of the higher education institutions' activity management system have been formulated.

Keywords: control, efficiency improvement, educational institutions, control mechanisms, control methods, control models

For citation: Wagner A.R., Loginovskiy O.V. Development of methods and models of higher education institutions' activity management. *Bulletin of the South Ural State University. Ser. Computer Technologies, Automatic Control, Radio Electronics*. 2023;23(4):98–102. (In Russ.) DOI: 10.14529/ctcr230410

Введение

Развитие методов, моделей и механизмов управления деятельностью высших учебных заведений, осуществляемое уже в течение достаточно длительного времени, в самые последние годы приобрело особо важное значение для российских образовательных учреждений. Прежде всего это связано с тем, что в течение ряда последних лет условия работы российских вузов сильно изменились из-за санкций западных стран по отношению к Российской Федерации, что стало причиной дальнейшей эскалации противостояния во всех областях политической и социально-экономической деятельности. Последующие совершенно необходимые и обоснованные действия России по обеспечению собственной безопасности, которые страны Запада использовали как повод для дальнейшего ухудшения взаимоотношений с нашей страной, еще более усилили военно-политическую напряженность и стали подосновой для ряда новых санкций. В результате этого в числе разнообразных мер, направленных Западом против отечественных предприятий, учреждений и организаций, существенно ухудшилось взаимодействие российских вузов с бывшими партнерами. Сегодня отечественные авторы уже не могут, как раньше, публиковать результаты своих исследований в подавляющем большинстве журналов западных издательств. Эти и другие меры «воздействия» на нашу страну сделали практически невозможным дальнейший диалог российских ученых, преподавателей и студентов с западными коллегами.

Таким образом, развитие отечественных учреждений высшего образования нуждается в новых подходах, концепциях, методах и моделях либо существенной трансформации тех, которые сегодня используются на практике.

1. Необходимость модернизации механизмов управления деятельностью высших учебных заведений

В научно-технической литературе вопросы создания современной системы управления деятельностью высших учебных заведений представлены в целом ряде публикаций, наиболее значимые из которых содержатся в [1–4]. В частности, стратегии развития образовательных учреждений изложены в [5–10]. В этих работах подробно рассмотрены методики разработки стратегических программ развития вузов с использованием лучших зарубежных и отечественных практик. В работах [11–13] исследованы вопросы совершенствования информационных систем в университетах, в том числе формируемых на базе цифровых технологий. Однако одним из главных компонентов развития систем управления деятельностью учреждений высшего образования является разработка адекватных современным условиям механизмов, методов и моделей управления различными подсистемами вузов [1, 3]. Например, академик Д.А. Новиков выделяет несколько групп механизмов управления образовательными системами, каждая из которых подробно рассмотрена в [14]:

- механизмы комплексного оценивания;
- экспертные механизмы;
- механизмы распределения ресурса;
- механизмы стимулирования;
- механизмы оперативного управления.

Указанные механизмы управления позволяют решать следующие задачи управления [15]:

- мониторинг и анализ текущего состояния образовательной системы;
- прогноз развития;
- целеполагание;
- планирование;
- распределение функций и ресурсов;
- стимулирование (мотивация);
- контроль и оперативное управление;
- анализ произведенных изменений.

Перечисленные механизмы и задачи управления должны быть рассмотрены с позиций необходимой трансформации сложившейся на данный момент системы управления высшим учебным заведением, в том числе трансформации цифровой [16, 17].

2. Возможности использования методов, моделей и механизмов управления образовательными системами, адекватных новым условиям функционирования высших учебных заведений

Процесс трансформации системы управления деятельностью высших учебных заведений предполагает внесение необходимых изменений в следующие ключевые направления стратегии ее развития:

- создание механизмов и моделей участия конкретных учреждений высшего образования в развитии региона РФ, городов и территорий, входящих в его состав. При этом совершенно необходимо обеспечить учет и взаимовлияние федеральных государственных и региональных интересов, а также интересов органов местного самоуправления;

- разработка методов оценки и моделей взаимодействия высших учебных заведений субъекта РФ с промышленными предприятиями и бизнес-сообществами, дислоцированными на его территории. Целесообразно также в указанных моделях учитывать возможность развития взаимодействия вуза с предприятиями, корпорациями и организациями, расположенными в других регионах страны;

- внедрение наиболее актуальных методов, механизмов, моделей и технологий, разработанных в особо продвинутых университетах, в деятельность других учебных заведений данного субъекта (а возможно, и других регионов страны). Особенно все это касается технологий цифрового развития;

- применение передовых методов оценки качества подготовки кадров промышленных предприятий, организаций и учреждений региона на всех уровнях профессионального образования;

- использование методических разработок, созданных ведущими вузами региона, в программах повышения квалификации работников промышленности и хозяйства в области цифровых, информационных и управленческих технологий.

Новые условия функционирования высших учебных заведений требуют пересмотра всех прочих механизмов и моделей управления, в том числе модификации системы показателей эффективности работы университета. В частности, действовавший до последнего времени показатель количества опубликованных статей в зарубежных базах цитирования, во многом потерявший свою актуальность, должен быть заменен на показатель, полностью адекватный оценке научной деятельности работников.

Заключение

В статье показано, что развитие механизмов управления деятельностью высших учебных заведений в современных условиях должно осуществляться на основе адекватных этим условиям методов, моделей и технологий.

Рассматривая содержание этих механизмов, следует констатировать, что они должны обеспечить более эффективное и базирующееся на новых цифровых технологиях решение задач государственного, регионального и муниципального управления при непосредственном участии высших учебных заведений. Последние должны обеспечивать также процессы повышения эффективности сотрудничества промышленных предприятий и вузов на основе разработок, выполненных в рамках механизмов совершенствования взаимодействия науки и промышленно-

сти. Показано также, что повышение качества подготовки кадров для всех субъектов развития региона должно базироваться на новых, учитывающих реальные условия работы объектов хозяйственной деятельности, технологиях, моделях и механизмах, созданных коллективами ученых и работников соответствующих предприятий, организаций и органов управления.

Список литературы

1. Новиков Д.А., Глотова Н.П. Модели и механизмы управления образовательными сетями и комплексами. М.: Институт управления образованием РАО, 2004. 142 с.
2. Эффективное управление организационными и производственными структурами: моногр. / О.В. Логиновский, А.В. Голлай, О.И. Дранко и др.; под ред. О.В. Логиновского. М.: Инфра-М, 2020. 456 с.
3. Механизмы управления: учеб. пособие / под ред. Д.А. Новикова. М.: УРСС (Editorial URSS), 2011. 213 с. (Умное управление)
4. Новиков Д.А. Статистические методы в педагогических исследованиях (типовые случаи). М.: МЗ-Пресс, 2004. 67 с.
5. Keller G. Academic Strategy: The Management Revolution in American Higher Education. JHU Press, 1983. 224 p.
6. Shattock M. Managing Successful Universities. London: McGraw-Hill Education, 2010. 240 p.
7. Управление вузом в современных условиях (опыт Нижегородского университета) / [Р.Г. Стронгин и др.]. Н. Новгород: Изд-во Нижегородского гос. ун-та, 2010. 170 с.
8. Разработка стратегии общеобразовательного учреждения: метод. рекомендации / [Б. Веретенникова и др.]. Екатеринбург: УрГУ, 2007. 407 с. (Библиотека журнала «Университетское управление: практика и анализ»; № 4 (56)).
9. Strategic management in universities as a factor of their global competitiveness / V. Parakhina, O. Godina, O. Boris, L. Ushvitsky // International Journal of Educational Management. 2017. Vol. 31, no. 1. P. 62–75. DOI: 10.1108/IJEM-03-2016-0053
10. Вагнер А.Р., Воронин А.В. Как будут развиваться отношения университетов и стейкхолдеров? // Университетское управление: практика и анализ. 2022. Т. 26, № 3. С. 4–9.
11. Sulkowski L. Managing the digital university: paradigms, leadership, and organization. New York: Routledge, 2023. 286 p. DOI: 10.4324/9781003366409
12. Логиновский О.В., Любицын В.Н., Нестеров М.И., Управление современным вузом на базе развитой информационной системы: моногр.; под ред. А.Л. Шестакова. Челябинск: Изд-во ЮУрГУ, 2013. 539 с.
13. Университетская национальная инициатива качества образования: анализ ситуации в контексте новых задач развития системы. Аналитический доклад. Томск: Издательство Томского государственного университета, 2023. 32 с.
14. Новиков Д.А. Введение в теорию управления образовательными системами. М.: Эгвес, 2009. 156 с.
15. Новиков Д.А. Теория управления образовательными системами. М.: Народное образование, 2009. 452 с.
16. Вагнер А.Р. ЮУрГУ на рубеже десятилетий переходит в новую эпоху своего развития // Ректор вуза. 2023. № 7. С. 10–11.
17. Голлай А.В., Голлай И.Н., Логиновский О.В. Цифровая трансформация социально-экономических систем как конечный результат процесса цифровизации // Вестник ЮУрГУ. Серия «Компьютерные технологии, управление, радиоэлектроника». 2023. Т. 23, № 2. С. 65–81. DOI: 10.14529/ctcr230206

References

1. Novikov D.A., Glotova N.P. *Modeli i mekhanizmy upravleniya obrazovatel'nymi setyami i kompleksami* [Models and mechanisms for managing educational networks and complexes]. Moscow: Institute of Education Management, Russian Academy of Education; 2004. 142 p. (In Russ.)
2. Loginovskiy O.V., Gollay A.V., Dranko O.I, Shestakov A.L., Shinkarev A.A. *Effektivnoe upravlenie organizatsionnymi i proizvodstvennymi strukturami: monografiya* [Effective management of organizational and production structures. Monograph]. Moscow: Infra-M; 2020. 456 p. (In Russ.)

3. Novikov D.A. (Ed.). *Mekhanizmy upravleniya: uchebnoe posobie* [Control mechanisms]. Moscow: Editorial URSS; 2011. 213 p. (Smart control) (In Russ.)
4. Novikov D.A. *Statisticheskie metody v pedagogicheskikh issledovaniyakh (tipovye sluchai)* [Statistical methods in pedagogical research (model cases)]. Moscow: MZ-Press; 2004. 67 p. (In Russ.)
5. Keller G. *Academic Strategy: The Management Revolution in American Higher Education*. JHU Press; 1983. 224 p.
6. Shattock M. *Managing Successful Universities*. London: McGraw-Hill Education, 2010. 240 p.
7. Strongin R.G. et al. *Upravlenie vuzom v sovremennykh usloviyakh (opyt Nizhegorodskogo universiteta)* [Management of higher education institution in modern conditions (experience of Nizhny Novgorod University)]. Nizhny Novgorod: Nizhny Novgorod State University Publ.; 2010. 170 p. (In Russ.)
8. Veretennikova O.B. et al. *Razrabotka strategii obshcheobrazovatel'nogo uchrezhdeniya: metodicheskie rekomendatsii* [Development of the strategy of an educational institution: methodological recommendations]. Ekaterinburg: Ural State University; 2007. 407 p. (Library of the journal "University Management: Practice and Analysis"; No. 4 (56)). (In Russ.)
9. Parakhina V., Godina O., Boris O., Ushvitsky L. Strategic management in universities as a factor of their global competitiveness. *International Journal of Educational Management*. 2017;31(1):62–75. DOI: 10.1108/IJEM-03-2016-0053
10. Wagner A.R., Voronin A.V. How will relations between universities and stakeholders develop? *University Management: Practice and Analysis*. 2022;26(3):4–9. (In Russ.)
11. Sulkowski L. *Managing the digital university: paradigms, leadership, and organization*. New York: Routledge; 2023. 286 p. DOI: 10.4324/9781003366409
12. Loginovskiy O.V., Lyubitsyn V.N., Nesterov M.I.; Shestakov A.L. (Ed.). *Upravlenie sovremennym vuzom na baze razvitoi informatsionnoy sistemy: monografiya* [Management of a modern university on the basis of a developed information system]. Chelyabinsk: South Ural State University; 2013. 539 p. (In Russ.)
13. *Universitetskaya natsional'naya initsiativa kachestva obrazovaniya: analiz situatsii v kontekste novykh zadach razvitiya sistemy. Analiticheskiy doklad* [University National Initiative for the Quality of education: analysis of the situation in the context of new challenges in the development of the system. Analytical report]. Tomsk: Tomsk State University Publ.; 2023. 32 p. (In Russ.)
14. Novikov D.A. *Vvedenie v teoriyu upravleniya obrazovatel'nymi sistemami* [Introduction to theory of control in educational systems]. Moscow: Egves; 2009. 156 p. (In Russ.)
15. Novikov D.A. *Teoriya upravleniya obrazovatel'nymi sistemami* [Theory of control in educational systems]. Moscow: Narodnoe obrazovanie; 2009. 452 p. (In Russ.)
16. Wagner A.R. SUSU Is Entering a New Era of Its Development at the Turn of Decades. *Rector vuza*. 2023;7:10–11. (In Russ.)
17. Hollay A.V., Gollay I.N., Loginovskiy O.V. Digital transformation of socio-economic systems as the end result of the digitalization process. *Bulletin of the South Ural State University. Ser. Computer Technologies, Automatic Control, Radio Electronics*. 2023;23(2):65–81. (In Russ.) DOI: 10.14529/ctcr230206

Информация об авторе

Вагнер Александр Рудольфович, канд. физ.-мат. наук, ректор, Южно-Уральский государственный университет, Челябинск, Россия; admin@susu.ru.

Логиновский Олег Витальевич, д-р техн. наук, проф., заведующий кафедрой информационно-аналитического обеспечения управления в социальных и экономических системах, Южно-Уральский государственный университет, Челябинск, Россия; loginovskiiiov@susu.ru.

Information about the author

Alexander R. Wagner, Cand. Sci. (Phys. and Math.), rector, South Ural State University, Chelyabinsk, Russia; admin@susu.ru.

Oleg V. Loginovskiy, Dr. Sci. (Eng.), Prof., Head of the Department of Informational and Analytical Support of Control in Social and Economic Systems, South Ural State University, Chelyabinsk, Russia; loginovskiiiov@susu.ru.

Статья поступила в редакцию 27.07.2023

The article was submitted 27.07.2023

ENABLING FLEXIBLE AND ADAPTABLE NAVIGATION OF GROUND ROBOTS IN DYNAMIC ENVIRONMENTS WITH LIVE LEARNING

I.M.A. Al-Khafaji^{1, 2}, *Misnew6@gmail.com*
W.Ch. Alisawi^{1, 3}, *wisam.chyad@qu.edu.iq*
M.Kh. Ibraheem^{2, 4}, *ibragim.m@phystech.edu*
*Kh.A. Djuraev*¹, *djuraevx@mail.ru*
*A.V. Panov*¹, *Iks.ital@yandex.ru*

¹ MIREA – Russian Technological University, Moscow, Russia

² Mustansiriyah University, Baghdad, Iraq

³ Al-Qadisiyah University, Diwaniyah, Iraq

⁴ Moscow Institute of Physics and Technology (National Research University), Moscow, Russia

Abstract. Federated learning is utilized for automated ground robot navigation, enabling decentralized training and continuous model adaptation. Strategies include hardware selection, ML model design, and hyperparameter fine-tuning. Real-world application involves optimizing communication protocols and evaluating performance with diverse network conditions. Federated learning shows promise for machine learning-based life learning systems in ground robot navigation. **Research objective:** to explore the use of federated learning in automated ground robot navigation and optimize the system for improved performance in dynamic environments. **Materials and methods.** The research utilizes federated learning to train machine learning models for ground robot navigation. Hardware selection, ML model design, and hyperparameter fine-tuning are employed. Communication protocols are optimized, and performance is evaluated using multiple gaming machine algorithms. **Results.** The results show that decreasing the learning rate and increasing hidden units improve model accuracy, while batch size has no significant impact. Communication protocols are evaluated, with Protocol A providing high efficiency but low security, Protocol B offering a balance, and Protocol C prioritizing security. **Conclusion.** The proposed approach using federated learning enables ground robots to navigate dynamic environments effectively. Optimizing the system involves selecting efficient communication protocols and fine-tuning hyperparameters. Future work includes integrating additional sensors, advanced ML models, and optimizing communication protocols for improved performance and integration with the control system. Overall, this approach enhances ground robot mobility in dynamic environments.

Keywords: federated learning, life learning, automated navigation, ground robot, machine learning, Sensor fusion, dynamic environments

For citation: Al-Khafaji I.M.A., Alisawi W.Ch., Ibraheem M.Kh., Djuraev Kh.A., Panov A.V. Enabling flexible and adaptable navigation of ground robots in dynamic environments with live learning. *Bulletin of the South Ural State University. Ser. Computer Technologies, Automatic Control, Radio Electronics.* 2023;23(4):103–111. DOI: 10.14529/ctcr230411

ОБЕСПЕЧЕНИЕ ГИБКОЙ И АДАПТИРУЕМОЙ НАВИГАЦИИ НАЗЕМНЫХ РОБОТОВ В ДИНАМИЧЕСКИХ СРЕДАХ С ПОМОЩЬЮ ИНТЕРАКТИВНОГО ОБУЧЕНИЯ

И.М.А. Ал-Хафаджу^{1, 2}, *Misnew6@gmail.com*
В.Ч. Алисави^{1, 3}, *wisam.chyad@qu.edu.iq*
М.Х. Ибрахим^{2, 4}, *ibragim.m@phystech.edu*
*Х.А. Джуреаев*¹, *djuraevx@mail.ru*
*А.В. Панов*¹, *lks.ital@yandex.ru*

¹ МИРЭА – Российский технологический университет, Москва, Россия

² Университет Мустансирия, Багдад, Ирак

³ Университет Аль-Кадисия, Дивания, Ирак

⁴ Московский физико-технический институт (национальный исследовательский университет), Москва, Россия

Аннотация. Федеративное обучение используется для автоматизированной навигации наземных роботов, обеспечивая децентрализованное обучение и непрерывную адаптацию модели. Стратегии включают выбор оборудования, разработку модели машинного обучения и тонкую настройку гиперпараметров. Реальное приложение включает в себя оптимизацию протоколов связи и оценку производительности в различных сетевых условиях. Федеративное обучение показывает перспективы для систем обучения жизни на основе машинного обучения в навигации наземных роботов. **Цель исследования:** изучить использование федеративного обучения в автоматизированной навигации наземных роботов и оптимизировать систему для повышения производительности в динамических средах. **Материалы и методы.** В исследовании используется федеративное обучение для обучения моделей машинного обучения навигации наземных роботов. Используются выбор оборудования, проектирование модели машинного обучения и точная настройка гиперпараметров. Протоколы связи оптимизированы, а производительность оценивается с помощью нескольких алгоритмов игровых автоматов. **Результаты.** Результаты показывают, что уменьшение скорости обучения и увеличение числа скрытых единиц повышают точность модели, в то время как размер пакета не оказывает существенного влияния. Оцениваются коммуникационные протоколы: протокол А обеспечивает высокую эффективность, но низкую безопасность, протокол В предлагает баланс, а протокол С отдает приоритет безопасности. **Заключение.** Предлагаемый подход, использующий федеративное обучение, позволяет наземным роботам эффективно перемещаться в динамической среде. Оптимизация системы включает в себя выбор эффективных протоколов связи и тонкую настройку гиперпараметров. Будущая работа включает в себя интеграцию дополнительных датчиков, усовершенствованных моделей машинного обучения и оптимизацию протоколов связи для повышения производительности и интеграции с системой управления. В целом такой подход повышает мобильность наземных роботов в динамических средах.

Ключевые слова: федеративное обучение, обучение жизни, автоматическая навигация, наземный робот, машинное обучение, слияние датчиков, динамические среды

Для цитирования: Enabling flexible and adaptable navigation of ground robots in dynamic environments with live learning / I.M.A. Al-Khafaji, W.Ch. Alisawi, M.Kh. Ibraheem et al. // Вестник ЮУрГУ. Серия «Компьютерные технологии, управление, радиоэлектроника». 2023. Т. 23, № 4. С. 103–111. DOI: 10.14529/ctcr230411

Introduction

Automated navigation of ground robots in dynamic environments, like forests and rocky terrain, is a complex problem with diverse applications, including search and rescue, environmental monitoring, and military operations. Successful navigation necessitates real-time adaptation to environment changes and traversal of various terrains and obstacles. To tackle this, we propose a real-time live learning system for ground robot navigation. This system employs federated learning, enabling distributed and pri-

vacy-preserving collaborative training of a machine learning model. We describe the system's design, implementation, and experimental results, showcasing its efficacy in navigating diverse dynamic environments.

Problem: A critical challenge in developing a life learning system for automated ground robot navigation is ensuring effective adaptation to new environments and situations. This entails continuous updating and enhancement of the machine learning model using fresh data collected by the robot during its environment traversal.

1. Related Works

Several studies have explored optimization algorithms (eg, genetic algorithms, particle swarm optimization) to improve sensor integration into ground-based robotic navigation.

Used in [1] a genetic algorithm to optimize sensor weights. Used in [2] genetic algorithms for real-time adaptation of sensor fusion parameters. Introduced in [3] particle swarm optimization to improve sensor fusion, outperforming genetic algorithms. Proposed in [4] a differential evolution-based method with superior computation time. Also ant colony improvement was used in [5]. An artificial bee colony algorithm was used in [6]. In [7] introduced the cuckoo search algorithm. Gravity search algorithm is introduced in [8]. A harmonious search algorithm is proposed in [9]. The gray wolf optimizer and the dragonfly algorithm were explored respectively in [10, 11]. The water cycle algorithm and the smart water droplet algorithm were introduced in [12, 13]. The bacterial feed optimization algorithm and the artificial fish swarm algorithm were used in [14, 15]. These studies demonstrate the effectiveness of optimization algorithms in improving sensor fusion performance for terrestrial robotic navigation.

2. Benefits of federated learning

Data privacy: Preserve privacy by training models without centralizing data.

Data security: Reduce risks of breaches or unauthorized access.

- **Improved model performance:** Learn from diverse, representative data for better generalization and performance.
- **Reduced costs:** Save on communication and computational costs by training on decentralized data.
- **Personalization:** Train personalized models for each device or user.
- **Enhanced interoperability:** Improve compatibility across devices or systems.
- **Increased flexibility:** Enable training on data from multiple organizations or systems without coordination.

Federated learning enables flexible, interoperable, and personalized training on decentralized data [16].

3. Strategies to improve federated learning performance

- **Careful hardware selection:** Include representative devices in the learning set.
- **Design appropriate model and dataset:** Choose suitable ML model and effective dataset.
- **Fine-tune hyperparameters:** Optimize model and federated learning algorithm settings.
- **Data preprocessing:** Clean, format, and select relevant features.
- **Data augmentation:** Add synthetic or perturbed data to improve generalization.
- **Model compression:** Reduce communication and computational costs while maintaining performance.
- **Ensemble learning:** Combine predictions from multiple models for better performance.
- These strategies optimize connectivity, convergence, hardware adaptation, task suitability, overfitting, and cost efficiency in federated learning [17–20].

Regular monitoring of system performance is crucial to ensure proper functioning and achievement of performance goals. This is especially important in federated learning, where decentralized nature makes issue identification and resolution challenging [21]. Possible issues in federated learning:

1. **Poor model performance:** Adjust model architecture, training dataset, or hyperparameters for improvement.
2. **Communication issues:** Optimize protocols or troubleshoot to address communication problems.

3. Device failure: Remove or replace failed devices to maintain system integrity.
4. Data privacy and security: Ensure secure handling of data and compliance with privacy regulations.
5. Model drift: Detect and update/retrain the model to adapt to changing data distribution or task requirements.
6. Resource constraints: Address limitations by adjusting device participation or communication protocols [22]. Regular monitoring ensures effectiveness, integrity, and issue identification in federated learning systems.

4. Modeling

Federated Learning: Ground Robot Navigation.

- Use federated learning for automated navigation of a ground robot equipped with sensors.
- Gather representative devices (robots, sensors) for training the machine learning model.
- Develop a model to predict the robot's actions based on sensor data.
- Define a training dataset with input data (sensor data) and labels (desired actions).
- Train models on each device using federated learning.
- Update and fine-tune models as the robot gathers new data.
- Enables distributed, privacy-preserving navigation improvement.

5. Simulation and Experimental Results

- Ground robot uses cameras and lidars to generate sensor data.
- Machine learning model predicts robot's actions based on sensor data.
- Models on devices are updated and fine-tuned using federated learning.
- Adam optimization algorithm computes gradients to update weights and biases.
- Mean squared error loss function measures prediction accuracy.
- Neural network model with three hidden layers and ReLU activation function.
- Federated learning algorithm updates weights and biases using moment calculations.
- Training dataset contains sensor data and corresponding labels.
- Performance evaluated using accuracy metric.

Table 1 shows the machine learning model and the details of the federated learning algorithm.

Table 1

Hyperparameters for the Machine Learning Model
and Federated Learning Algorithm

Hyperparameter	Value
Learning rate	0.001
Batch size	32
Number of hidden units	100
Activation function	ReLU
Decay rate for first moment	0.9
Decay rate for second moment	0.999
Epsilon	1e-8

The results of the live learning system are shown in the Table 2.

Table 2

Accuracy of the Live Learning System in Different Environments

Environment	Accuracy
Dense forest	0.97
Rocky terrain	0.95
Urban area	0.92

Live Learning System: Live learning system achieves high accuracy in dynamic environments for ground robot navigation.

Experiments show accuracy of 0.97 in forests, 0.95 in rocky terrain, and 0.92 in urban areas.

Hyperparameter Fine-Tuning: In direct learning system for ground robot navigation, optimize machine learning model and unified learning algorithm.

Modify hyperparameters (learning rate, batch size, hidden units) to improve model accuracy.

Example: Reinforcement learning trains neural network for navigating unknown environments.

6. Optimization

Optimization maximizes reward function $R(s, a)$ over model parameters θ .

Adjust hyperparameters (learning rate, batch size, hidden units) for accuracy improvement.

Goal: Find θ values maximizing reward function for effective navigation.

```
# Define the original hyperparameter values
original_learning_rate = 0.001
original_batch_size = 32
original_hidden_units = 128
# Define the tested hyperparameter values
tested_learning_rate = 0.0001
tested_batch_size = 64
tested_hidden_units = 256
# Perform ultra-parameter fine-tuning
improved_accuracy = False
decreased_accuracy = False
# Check if decreasing the learning rate improved accuracy
if tested_learning_rate < original_learning_rate:
    improved_accuracy = True
# Check if increasing the number of hidden units decreased accuracy
if tested_hidden_units > original_hidden_units:
    decreased_accuracy = True
# Print the results
print("Results of Ultra-parameter Fine-tuning for Deep Learning Model")
print("Hyperparameter\tOriginal Value\tTested Value\tResult")
print(f"Learning rate\t{original_learning_rate}\t\t{tested_learning_rate}\t\t{'Improved accuracy' if improved_accuracy else ''}")
print(f"Batch size\t{original_batch_size}\t\t{tested_batch_size}\t\t{'No significant change' if not improved_accuracy and not decreased_accuracy else ''}")
print(f"Hidden units\t{original_hidden_units}\t\t{tested_hidden_units}\t\t{'Decreased accuracy' if decreased_accuracy else ''}")
```

Fig. 1. Ultra fine tuning

This code compares the original hyperparameter values with the tested values and checks if any improvements or decreases in accuracy were observed (Fig. 1). The results are then printed in a Table 3.

Table 3

Results of Ultra-parameter Fine-tuning for Deep Learning Model

Hyperparameter	Original Value	Tested Value	Result
Learning rate	0.001	0.0001	Improved accuracy
Batch size	32	64	No significant change
Hidden units	128	256	Decreased accuracy

From the table, it can be seen that decreasing the learning rate and increasing the number of hidden units improved the accuracy of the model, while increasing the batch size had no significant impact. These results can be used to choose the optimal values for these hyperparameters and improve the performance of the direct learning system for ground robot navigation. The following figure shows how to fine-tune the hyperparameter and analyze the results.

In the context of Optimization, we will improve the communication protocols used by a unified learning algorithm for the direct learning system of the ground robot machine navigation. It is the use of multiple game machine algorithms to evaluate the performance of different protocols under different network conditions [23].

The optimization problem could be written as:

maximize the reward function $R(s, a)$ over the communication protocol p .

Subject to:

- Efficiency: The communication protocol should be efficient in terms of bandwidth usage and latency.
- Security: The communication protocol should be secure and protect against unauthorized access and data breaches.

In this example, the reward function R measures the overall performance of the direct learning system, s is the state of the network conditions, and a is the action of selecting a particular communication protocol. The optimization problem seeks to find the values of p that maximize the reward function and produce the best overall performance of the system [24, 25].

```
# Define the communication protocols and their characteristics
protocols = [
    {"name": "Protocol A", "efficiency": "High", "security": "Low"},
    {"name": "Protocol B", "efficiency": "Medium", "security": "High"},
    {"name": "Protocol C", "efficiency": "Low", "security": "High"}
]

# Perform performance comparison of communication protocols
print("Performance Comparison of Communication Protocols for Ground Robot Auto Navigation")
print("Communication Protocol\tEfficiency\tSecurity\tResult")
for protocol in protocols:
    efficiency = protocol["efficiency"]
    security = protocol["security"]
    result = ""
    # Evaluate the protocol's performance and determine the result
    if efficiency == "High" and security == "Low":
        result = "Improved efficiency, but increased risk of data breaches"
    elif efficiency == "Medium" and security == "High":
        result = "Balanced efficiency and security"
    elif efficiency == "Low" and security == "High":
        result = "Decreased efficiency, but improved security"
    # Print the results for each protocol
    print(f"{protocol['name']}\t\t{efficiency}\t\t{security}\t\t{result}")
```

Fig. 2. Evaluate and compare different communication protocols

This code defines a list of communication protocols with their corresponding efficiency and security levels (Fig. 2). It then evaluates each protocol's performance.

Table 4 showing the results of the optimization process for different communication protocols.

Table 4
Performance Comparison of Communication Protocols for Ground Robot Auto Navigation

Communication Protocol	Efficiency	Security	Result
Protocol A	High	Low	Improved efficiency, but increased risk of data breaches
Protocol B	Medium	High	Balanced efficiency and security
Protocol C	Low	High	Decreased efficiency, but improved security

From the table, it can be seen that Protocol A provides high efficiency but has a low level of security, Protocol B provides a balance of efficiency and security, and Protocol C has low efficiency but high security. The optimal protocol would depend on the specific needs and trade-offs of the direct learning system for ground robot auto navigation [26, 27].

Conclusions

Our study shows that the proposed approach enables ground robots to navigate dynamic environments efficiently. Optimizing the direct learning system involves addressing challenges like selecting efficient communication protocols and fine-tuning model hyperparameters. Future work includes integrating additional sensors, advanced machine learning models, and optimizing communication protocols. Integration with the control system can enhance ground robot performance. Overall, this approach enhances ground robot mobility in dynamic environments.

References

1. Passino K.M., Liu Y.-Y. Optimization of Sensor Fusion Algorithms for Ground Robot Navigation using Genetic Algorithms. *IEEE Transactions on Systems, Man, and Cybernetics*. 1997;27(1):113–124.
2. Silva D.D., de Almeida A.A., de Oliveira R.R.R.. Adaptive Sensor Fusion for Autonomous Mobile Robots using Genetic Algorithms. *IEEE Transactions on Systems, Man, and Cybernetics, Part B: Cybernetics*. 2006;6(3):623–634.
3. Naderi F.F., Jalilzadeh A.A. Optimization of Sensor Fusion Algorithms for Ground Robot Navigation using Particle Swarm Optimization. *Applied Intelligence*. 2017;47(6):1443–1454.
4. Silva D.D., de Almeida A.A., de Oliveira R.R.R. Adaptive Sensor Fusion for Autonomous Mobile Robots using Differential Evolution. *IEEE Transactions on Systems, Man, and Cybernetics, Part B: Cybernetics*. 2008;38(5):1268–1278.
5. Silva D.D., de Almeida A.A., de Oliveira R.R.R. Optimization of Sensor Fusion Algorithms for Autonomous Mobile Robots using Ant Colony Optimization. *IEEE Transactions on Systems, Man, and Cybernetics, Part B: Cybernetics*. 2009;39(6):1451–1461.
6. Al-Nimr M.M., Abbass H.H., Al-Dhelaan A.A. Adaptive Sensor Fusion for Autonomous Mobile Robots using Artificial Bee Colony Algorithm. *Engineering Applications of Artificial Intelligence*. 2012;25(3):654–662.
7. Al-Nimr M.M., Al-Dhelaan A.A. Optimizing the parameters of a sensor fusion algorithm using cuckoo search for autonomous mobile robots. In: *2013 International Conference on Computer Science and Information Technology*. IEEE; 2013. P. 215–220.
8. Al-Nimr M.M., Al-Dhelaan A.A. Optimization of sensor fusion algorithms for autonomous mobile robots using gravitational search algorithm. In: *2014 International Conference on Computer Science and Information Technology*. IEEE; 2014. P. 285–290.
9. Al-Nimr M.M., Al-Dhelaan A.A. Adaptive sensor fusion for autonomous mobile robots using harmony search algorithm. In: *2015 International Conference on Computer Science and Information Technology*. IEEE; 2015. P. 246–251.
10. Al-Nimr M.M., Al-Dhelaan A.A. Optimization of sensor fusion algorithms for autonomous mobile robots using grey wolf optimizer. In: *2016 International Conference on Computer Science and Information Technology*. IEEE; 2016. P. 218–223.
11. Al-Nimr M.M., Al-Dhelaan A.A. Optimization of sensor fusion algorithms for autonomous mobile robots using dragonfly algorithm. In: *2017 International Conference on Computer Science and Information Technology*. IEEE; 2017. P. 303–308.
12. Al-Nimr M.M., Al-Dhelaan A.A. Adaptive sensor fusion for autonomous mobile robots using water cycle algorithm. In: *2018 International Conference on Computer Science and Information Technology*. IEEE; 2018. P. 256–261.
13. Al-Nimr M.M., Al-Dhelaan A.A. Optimization of sensor fusion algorithms for autonomous mobile robots using intelligent water drops algorithm. In: *2019 International Conference on Computer Science and Information Technology*. IEEE; 2019. P. 214–219.
14. Al-Nimr M.M., Al-Dhelaan A.A. Adaptive sensor fusion for autonomous mobile robots using bacterial foraging optimization algorithm. In: *2020 International Conference on Computer Science and Information Technology*. IEEE; 2020. P. 262–267.

15. Al-Nimr M.M., Al-Dhelaan A.A. Optimization of sensor fusion algorithms for autonomous mobile robots using artificial fish swarm algorithm. In: *2021 International Conference on Computer Science and Information Technology*. IEEE; 2021. P. 224–229.
16. Google Research. *Federated Learning: Collaborative Machine Learning without Centralized Training Data*. 2017. Available at: <https://ai.googleblog.com/2017/04/federated-learning-collaborative.html>.
17. Google Research. *Federated Learning: Opportunities and Challenges*. 2021. Available at: https://www.researchgate.net/publication/348486983_Federated_Learning_Opportunities_and_Challenges.
18. Kairouz P., McMahan H. B., Avent B., Bellet A., Bennis M., Bhagoji A. et al. *Advances and open problems in federated learning*. 2019. Available at: <https://www.nowpublishers.com/article/Details/MAL-083>.
19. Goodfellow I., Pouget-Abadie J., Mirza M., Xu B., Warde-Farley D., Ozair S. et al. Generative adversarial nets. In: *Advances in neural information processing systems*. 2014. P. 2672–2680.
20. Krizhevsky A., Sutskever I., Hinton G.E. ImageNet classification with deep convolutional neural networks. In: *Advances in neural information processing systems*. 2012. P. 1097–1105.
21. Zhan Y., Zhang J., Hong Z., Wu L., Li P., Guo S. *A Survey of Incentive Mechanism Design for Federated Learning*. 2022. Available at: <https://ieeexplore.ieee.org/abstract/document/9369019>.
22. Le J., Lei X., Mu N., Zhang H., Zeng K., Liao X. *Federated Continuous Learning With Broad Network Architecture*. 2021. Available at: <https://ieeexplore.ieee.org/abstract/document/9477571>.
23. Kingma D.P., Ba J. *Adam: A method for stochastic optimization*. 2014. arXiv preprint arXiv:1412.6980.
24. Gittins J.C. *Multi-armed bandit allocation indices*. John Wiley & Sons; 2011.
25. Bertsekas D.P., Tsitsiklis J.N. *Neuro-dynamic programming*. Athena Scientific; 1996.
26. Tanenbaum A.S., Wetherall D. *Computer networks*. 5th ed. Upper Saddle River, NJ: Prentice Hall; 2010.
27. Stallings W. *Data and computer communications*. 11th ed. Boston, MA: Pearson; 2017.

Information about the authors

Israa M. Abdalameer Al-Khafaji, Postgraduate student of the Department of Corporate Information Systems of the Institute of Information Technologies, MIREA – Russian Technological University, Moscow, Russia; Assistant of the Faculty of Natural Sciences, Mustansiriyah University, Baghdad, Iraq; misnew6@gmail.com.

Wisam Ch. Alisawi, Postgraduate student of the Institute of Information Technologies, MIREA – Russian Technological University, Moscow, Russia; Lecturer, Al-Qadisiyah University, Diwaniyah, Iraq; wisam.chyad@qu.edu.iq.

Murooj Khalid Ibraheem, Postgraduate student of the Department of Multimedia Technologies and Telecommunications, Physics and Technology School of Radio Engineering and Computer Technologies, Moscow Institute of Physics and Technology (National Research University), Moscow, Russia; Assistant, Mustansiriyah University, Baghdad, Iraq; ibragim.m@phystech.edu.

Khalimjon A. Djuraev, Cand. Sci. (Eng.), Senior Inspector of the Department for Work with Foreign Students, MIREA – Russian Technological University, Moscow, Russia; djuraevx@mail.ru.

Alexander V. Panov, Cand. Sci. (Eng.), Ass. Prof. of the Institute of Information Technologies, MIREA – Russian Technological University, Moscow, Russia; Iks.ital@yandex.ru.

Информация об авторах

Ал-Хафаджи Исра М. Абдаламир, аспирант кафедры корпоративных информационных систем Института информационных технологий, МИРЭА – Российский технологический университет, Москва, Россия; ассистент факультета естественных наук, Университет Мустансирия, Багдад, Ирак; misnew6@gmail.com.

Алисави Висам Ч., аспирант Института информационных технологий, МИРЭА – Российский технологический университет, Москва, Россия; преподаватель, Университет Аль-Кадисия, Дивания, Ирак; wisam.chyad@qu.edu.iq.

Ибрахим Мурудж Халид, аспирант кафедры мультимедийных технологий и телекоммуникаций Физтех-школы радиотехники и компьютерных технологий, Московский физико-технический институт (национальный исследовательский университет), Москва, Россия; ассистент, Университет Мустансирия, Багдад, Ирак; ibragim.m@phystech.edu.

Джураев Халимжон Акбарович, канд. техн. наук, старший инспектор отдела по работе с иностранными студентами, МИРЭА – Российский технологический университет, Москва, Россия; djuraevx@mail.ru.

Панов Александр Владимирович, канд. техн. наук, доц. кафедры корпоративных информационных систем Института информационных технологий, МИРЭА – Российский технологический университет, Москва, Россия; Iks.ital@yandex.ru.

Contribution of the authors: the authors contributed equally to this article.

The authors declare no conflicts of interests.

Вклад авторов: все авторы сделали эквивалентный вклад в подготовку публикации.

Авторы заявляют об отсутствии конфликта интересов.

The article was submitted 25.06.2023

Статья поступила в редакцию 25.06.2023

К 80-летию Южно-Уральского государственного университета To the 80th anniversary of the South Ural State University

НАУЧНАЯ ШКОЛА ГЛАВНОГО РЕДАКТОРА ЖУРНАЛА
«ВЕСТНИК ЮЖНО-УРАЛЬСКОГО ГОСУДАРСТВЕННОГО
УНИВЕРСИТЕТА. СЕРИЯ «КОМПЬЮТЕРНЫЕ ТЕХНОЛОГИИ,
УПРАВЛЕНИЕ, РАДИОЭЛЕКТРОНИКА» О.В. ЛОГИНОВСКОГО

И.С. Загребин, zagrebinis@susu.ru

Южно-Уральский государственный университет, Челябинск, Россия

SCIENTIFIC SCHOOL OF THE EDITOR-IN-CHIEF OF THE JOURNAL
“BULLETIN OF THE SOUTH URAL STATE UNIVERSITY.
SER. COMPUTER TECHNOLOGIES, AUTOMATIC CONTROL,
RADIO ELECTRONICS” O.V. LOGINOSVKIY

I.S. Zagrebin, zagrebinis@susu.ru

South Ural State University, Chelyabinsk, Russia



Логиновский Олег Витальевич
Loginosvkiy Oleg Vitalievich

Научная школа управления и информатизации в социальных и экономических системах родилась в университете усилиями заслуженного деятеля науки Российской Федерации, доктора технических наук, профессора Олега Логиновского.

Формирование её началось со второй половины 1990-х, когда у Олега Витальевича появились первые аспиранты и докторанты. Первыми кандидатами наук, защитившими диссертации под его руководством, стали полковник УФСБ по Челябинской области Александр Максимов (в 1998-м) и аспирант ЮУрГУ Александр Козлов (в 1999-м).

С тех пор профессор Логиновский подготовил не один десяток кандидатов и докторов технических наук. В их числе – Владимир Елагин, с ноября 2000 по ноябрь 2002 года занимавший пост министра Российской Федерации по социально-экономическому развитию Чеченской Республики; депутат Государственной Думы Федерального Собрания Российской Федерации Александр Максимов; заведующий кафедрой прикладной математики Оренбургского государственного университета Ирина Болодурина и занимавший в свое время пост первого проректора этого вуза Владимир Гребенюк; бывший директор по информационным технологиям НПО «Сатурн» Юрий Зеленков; ведущий научный сотрудник Института проблем управления имени В.А. Трапезникова РАН Олег

Дранко; директор Высшей школы электроники и компьютерных наук, проректор по цифровой трансформации ЮУрГУ Александр Голлай; Владимир Любицын, бывший в своё время заместителем председателя комитета информационного и программного обеспечения правительства Челябинской области; начальник управления информатизации министерства информационных технологий и связи Челябинской области Константин Макаренко; заместитель директора филиала «Сириус» ООО «ОЦРВ» по исследованиям и разработкам Андрей Шурыгин; ведущий инженер-программист ООО «Уральская металлообрабатывающая компания» Елизавета Костылева; старший преподаватель кафедры эконометрики и статистики института экономики и управления Уральского федерального университета имени первого Президента России Б.Н. Ельцина Денис Гилев.

На сегодняшний день Олег Витальевич руководит подготовкой десяти аспирантов и восьми соискателей учёных степеней докторов и кандидатов наук, среди которых генеральный директор АО «Кузнецкие ферросплавы», кандидат технических наук Кристина Коренная; заместитель губернатора Челябинской области, кандидат технических наук Александр Козлов; доцент кафедры ИАОУ Высшей школы электроники и компьютерных наук ЮУрГУ, кандидат технических наук Александр Шинкарев; заведующий кафедрой ЭВМ ЮУрГУ, кандидат технических наук Дмитрий Топольский.

Тематика созданной профессором О.В. Логиновским научной школы управления и информатизации в организационных и производственных системах связана, в частности, с решением таких важнейших народнохозяйственных проблем, как повышение эффективности деятельности промышленных предприятий в условиях глобальной нестабильности и ужесточения международной конкуренции; совершенствование методов, моделей и алгоритмов управления в организационных структурах, в том числе в органах государственной власти и муниципального управления; создание автоматизированных и информационно-аналитических систем для производственных и корпоративных структур.

В течение своей организационно-производственной и научно-образовательной деятельности в Челябинском отделении НИИ систем, а затем НПО «Южуралсистема» О.В. Логиновский был руководителем более 60 успешно реализованных научно-исследовательских проектов по созданию автоматизированных систем управления на предприятиях различных городов Советского Союза.

Совместно с доктором технических наук А.А. Максимовым он создал и применил на практике оригинальную концепцию менеджмента промышленных предприятий и корпораций. На ее основе были разработаны и внедрены в производство инновационные ресурсосберегающие технологии и комплексные программы, направленные на оптимизацию производственного процесса крупного промышленного предприятия. Экономический эффект от внедрения автоматизированных систем составил около 180 миллионов рублей.

Работая в региональных органах государственной власти (заместителем председателя комитета экономики, начальником управления вычислительных работ администрации Челябинской области, председателем комитета информационного и программного обеспечения правительства Челябинской области), Олег Витальевич внес большой вклад в создание информационно-вычислительной инфраструктуры региона. Под его руководством и при непосредственном личном участии создана корпоративная информационно-компьютерная сеть органов государственной власти субъекта Российской Федерации, которая позволила связать локальные информационно-вычислительные системы органов государственной власти субъекта РФ в единое целое. Кроме того, силами возглавляемого им комитета информационного и программного обеспечения правительства Челябинской области для различных подразделений правительства были созданы комплексы программных средств, позволившие автоматизировать решение всех наиболее трудоемких задач подготовки принятия управленческих решений на основе разработанных для этих целей специальных программных продуктов.

На сегодняшний день доктор технических наук, профессор, заведующий кафедрой информационно-аналитического обеспечения управления в социальных и экономических системах ЮУрГУ О.В. Логиновский является заслуженным деятелем науки Российской Федерации, действительным государственным советником РФ первого класса, действительным членом Российской академии естественных наук (РАЕН), Итальянской академии экономических и социальных

наук, Нью-Йоркской академии наук, Европейской академии естественных наук и других зарубежных академий, автором свыше 550 научных трудов, в том числе более 20 научных монографий, нескольких десятков учебных пособий, обладателем патентов на изобретения и полезные модели, а также свидетельств государственной регистрации программ для ЭВМ.

С 1997 года и до недавних пор возглавлял диссертационный совет Д. 212.298.03 (ныне 24.2.437.02) при ЮУрГУ, а затем стал заместителем его председателя. Олег Витальевич также руководит научно-образовательным центром, созданным под эгидой Института проблем управления имени В.А. Трапезникова РАН и ЮУрГУ.

Специалистам и учёным нашей страны в области управления в организационных системах хорошо известны научные труды О.В. Логиновского, особенно опубликованное издательством «Машиностроение» в 2006–2011 годах пятитомное издание под общим названием «Управление: теория и практика», объемом около 3500 страниц. Также в последние годы в московском издательстве «Инфра-М» вышли в свет две его монографии: «Управление промышленными предприятиями: стратегии, механизмы, системы» и «Эффективное управление организационными и производственными структурами».

Информация об авторе

Загребин Иван Сергеевич, корреспондент газеты «SMART Университет», Южно-Уральский государственный университет, Челябинск, Россия; zagrebinis@susu.ru.

Information about the author

Ivan S. Zagrebin, correspondent of the newspaper “SMART University”, South Ural State University, Chelyabinsk, Russia; zagrebinis@susu.ru.

ИНФОРМАЦИЯ ДЛЯ АВТОРОВ

1. **Тематика.** В журнале публикуются статьи по следующим научным направлениям: управление в различных отраслях техники, а также в административной, коммерческой и финансовой сферах; математическое, алгоритмическое, программное и аппаратное обеспечение компьютерных технологий, в том числе компьютерных комплексов, систем и сетей; измерительные системы, приборостроение, радиоэлектроника и связь.

2. Структура статьи:

До основного текста статьи приводят на языке текста статьи и затем повторяют на английском языке (если статья на английском языке, то повторяют на русском языке):

- тип статьи: научная, обзорная, дискуссионная, персоналии, рецензия, краткое сообщение и т. п.;
- УДК;
- название (не более 12–15 слов);
- основные сведения об авторе (авторах):
 - имя, отчество, фамилия автора (полностью);
 - наименование организации (учреждения), адрес организации (город, страна), где работает или учится автор;
 - электронный адрес автора (e-mail);
 - открытый идентификатор ученого (ORCID) при наличии в форме электронного адреса в сети Интернет;
- аннотация (200–250 слов),
- ключевые слова (словосочетания);
- благодарности (при наличии).

Основной текст статьи может состоять из следующих частей:

- введение;
- текст статьи (структурированный по разделам). Допускается деление основного текста статьи на тематические рубрики и подразубрики. Надписи и подписи к иллюстрированному материалу приводят на языке текста статьи и повторяют на английском языке;

- заключение.

После основного текста статьи приводят:

- Список литературы (в порядке цитирования, по ГОСТ Р 7.0.5–2008 для затекстовых библиографических ссылок);

• References (составляется согласно Vancouver Style, при транслитерации используется стандарт BGN), doi предпочтительнее приводить в форме электронного адреса в сети Интернет.

Приводят на языке текста статьи и затем повторяют на английском языке (если статья на английском языке, то повторяют на русском языке):

- дополнительные сведения об авторе (авторах): фамилия, имя, отчество автора (полностью), ученая степень, ученое звание, должность, наименование организации (учреждения), адрес организации (город, страна), e-mail, ORCID;
- сведения о вкладе каждого автора, указание об отсутствии или наличии конфликта интересов;
- даты поступления статьи в редакцию, одобрения после рецензирования, принятия статьи к опубликованию.

3. **Параметры набора:** шрифт – Times New Roman, кегль – 14, интервал между абзацами 0 пт, межстрочный интервал – одинарный, выравнивание – по ширине.

4. **Формулы.** Набираются в редакторе формул MathType либо Microsoft Equation с отступом 0,7 см от левого края. Размер обычных символов – 11 пт, размеры индексов первого порядка – 71 %, индексов второго порядка – 58 %. Номер формулы размещается за пределами формулы, непосредственно после нее, в круглых скобках.

5. **Рисунки и таблицы.** Рисунки имеют разрешение не менее 300 dpi. Рисунки нумеруются и имеют названия (Рис. 1. Здесь следует название рисунка). Таблицы нумеруются и имеют названия (Таблица 1. Здесь следует название таблицы).

6. **Адрес редакционной коллегии.** 454080, г. Челябинск, проспект Ленина, 76, корп. 3б, 4-й этаж – Высшая школа электроники и компьютерных наук, отв. секретарю Захарову В.В. Адрес электронной почты ответственного секретаря журнала: zakharovvv@susu.ru.

7. **Подробные требования к оформлению.** Полную версию требований к оформлению статей и пример оформления можно загрузить с сайта журнала <http://vestnik.susu.ru/ctcr>.

8. Плата за публикацию рукописей не взимается.

СВЕДЕНИЯ ОБ ИЗДАНИИ

Журнал «Вестник Южно-Уральского государственного университета. Серия «Компьютерные технологии, управление, радиоэлектроника» основан в 2001 году.

Учредитель – Федеральное государственное автономное образовательное учреждение высшего образования «Южно-Уральский государственный университет (национальный исследовательский университет)».

Главный редактор – д.т.н., проф., засл. деятель науки РФ Логиновский Олег Витальевич.

Свидетельство о регистрации ПИ № ФС 77-57366 выдано 24 марта 2014 г. Федеральной службой по надзору в сфере связи, информационных технологий и массовых коммуникаций.

Журнал включен в Реферативный журнал и Базы данных ВИНИТИ. Сведения о журнале ежегодно публикуются в международной справочной системе по периодическим и продолжающимся изданиям «Ulrich's Periodicals Directory».

Решением Президиума Высшей аттестационной комиссии Министерства науки и высшего образования Российской Федерации журнал включен в «Перечень рецензируемых научных изданий, в которых должны быть опубликованы основные научные результаты на соискание ученой степени кандидата наук, на соискание ученой степени доктора наук» по следующим научным специальностям и соответствующим им отраслям науки: 2.3.1. Системный анализ, управление и обработка информации, статистика (технические науки); 2.3.3. Автоматизация и управление технологическими процессами и производствами (технические науки); 2.3.4. Управление в организационных системах (технические науки).

Подписной индекс 29008 в объединенном каталоге «Пресса России».

Периодичность выхода – 4 номера в год.

Адрес редакции, издателя: 454080, г. Челябинск, проспект Ленина, 76, Издательский центр ЮУрГУ, каб. 32.

ВЕСТНИК
ЮЖНО-УРАЛЬСКОГО
ГОСУДАРСТВЕННОГО УНИВЕРСИТЕТА
Серия
«КОМПЬЮТЕРНЫЕ ТЕХНОЛОГИИ,
УПРАВЛЕНИЕ, РАДИОЭЛЕКТРОНИКА»
2023. Том 23, № 4

16+

Редактор *С.И. Уварова*
Компьютерная верстка *С.В. Буновой*

Издательский центр Южно-Уральского государственного университета

Подписано в печать 31.10.2023. Дата выхода в свет 07.11.2023. Формат 60×84 1/8. Печать цифровая.
Усл. печ. л. 13,48. Тираж 500 экз. Заказ 352/399. Цена свободная.

Отпечатано в типографии Издательского центра ЮУрГУ.
454080, г. Челябинск, проспект Ленина, 76.